

30к-1
10528

Пралятары ўсіх краёў, злучайцеся!

ЗАПІСКІ

БЕЛАРУСКАЙ ДЗЯРЖАЎНАЙ АКАДЭМІІ
СЕЛЬСКАЕ ГАСПАДАРКІ
ІМЯ КАСТРЫЧНІКАВАЙ РЭВАЛЮЦЫІ

№ 2

ЗАПИСКИ

БЕЛОРУССКОЙ ГОСУДАРСТВЕННОЙ АКАДЕМИИ
СЕЛЬСКОГО ХОЗЯЙСТВА
ИМЕНИ ОКТЯБРЬСКОЙ РЕВОЛЮЦИИ

80675

00 05
1851A

XIII

XVШ
5999

ГОРКІ, БССР.

ВЫДАВЕЦТВА АКАДЭМІІ

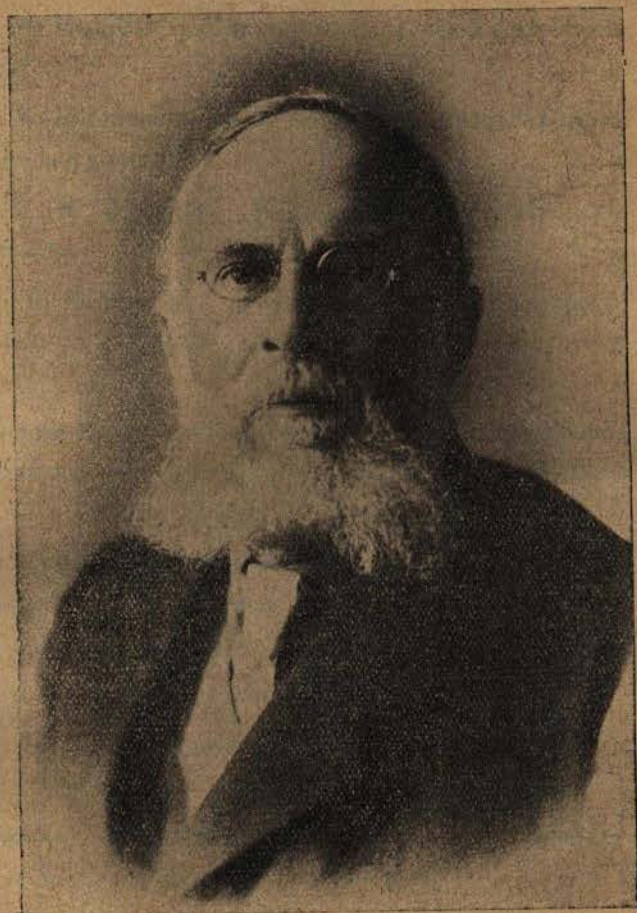
1 9 2



ЗЬМЕСТ

	стар.
1. Проф. А. Костяев. „Профессор В. В. Шкателов“ . . .	I — VI
2. Проф. В. Киркор. „Проектирование полос формы трапеции аналитическим методом“	1—33
3. Проф. П. Ходорович. „О формулах линейных невязок в угломерных полигонах“	34—53
4. Проф. Н. Мышкин. „Законности в строении планетной системы Солнца“	54—117
5. Проф. И. Богоявленский. „Вычисление интегралов от произведения двух функций“	118—150
6. Проф. В. И. Переход. „К изучению интенсивности лесного хозяйства“	151—162
7. Праф. С. П. Мельнік. „Лесаводныя фітафэнамэтрычныя нагляданьні ў Горацкім дэндралёгічным гадавальніку (ў 1924 г.)“	163—178
8. Ф. Турыцын. „Уплыў акругленьняў пры памерах вышынь і дыямэтраў на дакладнасьць вылічэньня аб'ёмаў дрэў“	179—182
9. А. Ю. Лявіцкі. „Намнажэньне мінэральнай матэрыі ў асобных ворганях аўса ў час росту“	183—200
10. А. Г. Мядзьведзеў. „Мікрарэльеф лёсавых плято і ўплыў яго на глыбіню пакладу карбанатнага пазёму“	201—222
11. П. С. Трус. „Да пытаньня аб скарыстаньні азоту з торфу ў сельскай гаспадарцы“	223—238
12. І. Красікаў і С. Каржанеўскі. „Гідроліз крухмалу дэстыляванаю вадою пад ціскам“	239—240
13. К. М. Корткаў. „Оптымум тэмпературы і вакууму ў працэсе раскладаньня дрэўнага парашку серкаваю кісьляю“	241—243





В. В. Шкелов.

1886—1926.

Профессор В. В. Шкателов.

(к 40-летию его научной деятельности).

9 ноября сего 1926 года исполнилось 40 лет деятельности профессора Владимира Викторовича Шкателова, работающего ныне в Белорусской Государственной Академии Сельского Хозяйства.

Имя В. В. хорошо знакомо не только русским лесоведам, но и пользуется известностью в западно-европейской специальной литературе. Академия Сельского Хозяйства, высоко ценя научную, учебную и практическую деятельность В. В., постановила отметить 40-летний юбилей в жизни почтенного ученого и принять в праздновании этого дня участие всеми 4-мя факультетами Академии.

В. В. Шкателов родился 7 мая 1861 г. в С.-Петербурге*). Отец его был небольшой чиновник одного из учреждений ведомства финансов. Уже в 9-летнем возрасте он теряет своего отца и остается всецело на попечении своей матери, которая и дает ему последующее воспитание.

Среднее образование В. В. получает сначала во 2-ой, а потом в 1-ой классической гимназии. Отсюда по окончании 7-ми классов, он поступает в 1878 году по особому экзамену в Московское Техническое Училище, которое и оканчивает успешно по химическому отделению в 1884 году с званием инженер-технолога и награждением особым нагрудным знаком.

По отбытии в том же 1884 г. 3-х месячной воинской повинности, в качестве вольноопределяющегося I разряда, В. В. увольняется в запас и поступает сначала на службу на Московско-Брестскую железную дорогу в качестве лаборанта, где ведет разные работы по испытанию железнодорожных материалов.

9 ноября 1886 года В. В. избирается в ассистенты Петровско-Разумовской Земледельческой Академии к проф. В. М. Рудневу, под авторитетным руководством которого он и занимается сельско-хозяйственной технологией, продолжая оставаться на железно-дорожной службе вплоть до конца 1893 года. Лесной технологией В. В. в это время приходится заниматься лишь с немногими лесоведами-дипломниками, так как Лесное Отделение Академии в это время (с 1886 г.) было уже закрыто.

Служа одновременно ассистентом Академии и лаборантом М.-Б. ж. д., В. В. занимается исследованием химического состава смол и, главным образом, русской живицы и канифоли, плодом какого исследования и явилась напечатанная им диссертация „О химическом составе смол“. По защите этой работы 10 декабря 1889 г. В. В. удостоивается Педагогическим Советом Технического Училища редкого для того времени звания „ученого инженер-технолога“. Звание это в последующие годы отвечало примерно званию „ад'юнкта Института“ или даже ученой степени доктора.

Указанная работа имела большое значение. В начале 90-х годов наш знаменитый химик Д. И. Менделеев, основываясь на данных работы В. В., пропагандировал в своем „Толковом Тарифе“ повышение ставок

*) Все даты в настоящем очерке показаны по новому стилю.

на иностранные скипидар и смолы и как-бы попутно давал с своей стороны благоприятную рецензию указанному труду В. В.

Эта же работа сыграла и в дальнейшем свою роль. В 1893 г. набирался преподавательский персонал во вновь преобразованный в то время Ново-Александрийский Институт сельского хозяйства и лесоводства. Бывший в то время управляющий Институтом знаменитый русский почвовед В. В. Докучаев приглашает В. В., по рекомендации известного в то время проф. Петровской Академии Г. Г. Густавсона, в Ново-Александрию на должность адъюнкт-профессора по кафедре сельскохозяйственной и лесной технологии, но каковую должность он и зачисляется с 14 января 1894 года.

В Ново-Александрии В. В. остается до середины 1914 года, когда, вследствие разразившейся мировой войны, Институт со своим учебным персоналом вынужден был эвакуироваться в гор. Харьков. Таким образом, в Ново-Александрии В. В. остается в продолжении свыше 20 лет. В декабре 1896 г. он назначается ординарным профессором по занимаемой кафедре сельскохозяйственной и лесной технологии.

За время своего пребывания в Ново-Александрии В. В. участвует в строительстве Института. Здесь им, в сотрудничестве с Н. А. Кугушевым, устраивается газовый завод. Затем, им же в 1898 г., но без посторонней помощи, устраивается завод сухой перегонки дерева для практических занятий со студентами Лесного Отделения. Впервые на этом заводе В. В. предсказывает большую будущность древесному газу для освещения с лампочками накаливания (Ауэровские газовые горелки), что, как известно, впоследствии вполне оправдалось в жизни.

На протяжении своего долголетнего пребывания в Ново-Александрии В. В. занимает самые разнообразные должности по административной и учебной части, вплоть до исп. об. директора Института.

В. В. не раз поручалось заведывание техническими сооружениями Института, ему же приходилось в течение некоторого времени брать на себя и заведывание химической лабораторией. Помимо сельскохозяйственной и лесной технологии Институтом поручалось ему чтение курсов: то органической, то неорганической, то даже агрономической химии.

Справедливость требует отметить, что В. В. со всеми возлагавшимися на него в порядке отдельных поручений обязанностями справлялся, вследствие живости своего характера и практичности, вполне успешно и он являлся видным и ценным работником Ново-Александрийского Института Сельского Хозяйства и Лесоводства.

Его подвижность и жажда знания давала ему возможность почти ежегодно бывать в командировках то в России, то за границею.

С переводом в Харьков живая деятельность В. В. продолжается и в Харьковском Сельско-хозяйственном Институте, в который был переименован эвакуированный туда Ново-Александрийский Институт.

В 1919 г. по представлению Совета Харьковского Сельско-хозяйственного Института за 25-летнее пребывание в звании профессора В. В. получает звание заслуженного профессора названного Института.

В 1923 г. пленумом Сельско-хозяйственного Научного Комитета Украины В. В. избирается в члены этого Комитета.

В июле того же 1923 г., оставаясь пока в Харькове, В. В. переходит на службу в гор. Минск, на кафедру сельскохозяйственной и лесной технологии в Белорусский Государственный Институт Сельского и Лесного Хозяйства, по приглашению б. своего ученика проф. А. Т. Кирсанова ректора и организатора этого Института. В. В. и здесь принимает по

сильное участие в строительстве и в частности устраивает газовый завод для учебно-вспомогательных учреждений.

С июня 1924 В. В. оставляет службу в Харьковском Сельско-хозяйственном Институте и окончательно переселяется в гор. Минск.

С 1 октября 1925 г., вследствие слияния двух Белорусских Сельскохозяйственных Институты: Минского и Горы-Горещкого и образования из них Белорусской Государственной Сельскохозяйственной Академии, В. В. по приглашению Главпрофобра переезжает к новому месту службы в Горы-Горки.

Хотя В. В. был профессором сельскохозяйственной и лесной технологии, но в научных своих работах большее внимание им уделялось лесным вопросам, к которым у него было главное тяготение.

Владея хорошо французским языком, В. В. свои работы сам довольно подробно резюмировал на этом языке. Одна из его работ была издана в Париже на французском языке. Впоследствии работа эта по просьбе лаборатории „Исследования смола“, затем расширившейся в крупное исследовательское учреждение „Institut de Pin“, была издана Бордоским Университетом отдельным изданием.

В свое время В. В., находясь в научном контакте с заведывающим указанной лабораторией проф. Vezès, пожертвовал ей целую коллекцию смоляных кислот в чистом виде, полученных им от разных видов сосны: русских, французских и американских.

Много лет спустя, когда В. В. в 1925 г. собирался вновь посетить Францию—страну образцовой подсочки—для ознакомления с новейшими достижениями в деле подсочки, он мог приятно убедиться из переписки с директором Institut de Pin проф. Dupont, что имя его там хорошо известно и что французы желали бы видеть его своим гостем.

Ланды были В. В. посещены 3 раза: в 1907, 1908 и 1912 г.г., а французский способ подсочки получил в его лице убежденного поборника.

В немецкой литературе работы В. В. цитируются, например, в 1908 г. в „Chemisches Centralblatt“ и, далее, у Friedrich'a Czapek'a в „Biochemie der Pflanzen“, В. III, 2-te Auflage, Jena. 1921., в отделе „Die Harzsubstanzen“. Автор этого капитального 3-х-томного труда приводит данные из французской работы В. В. и отводит последней сравнительно много места, сопоставляя ее с исследованиями западно-европейских ученых.

Нечто подобное повторяется и в недавней работе П. А. Боброва „Смолокурение и его продукты“, помещенной в „Трудах Вятского Научно-исследовательского Института Краеведения“, Том II, 1926, где автор уделяет много внимания работам В. В., при чем то сопоставляет добытые результаты с такими же иностранных ученых, то подчеркивает оригинальность полученных В. В. данных, то констатирует подтверждение результатов иностранными учеными и т. п. Интереснее всего то, что П. А. Бобров в своих суждениях о соответствующих работах В. В. пользуется, главным образом, иностранною литературою...

Во время своей многолетней службы В. В. работал по подсочке в Пермской губ., Польше, Крыму, Украине, а с 1925 г. стал работать в Белоруссии.

Бывший лесной департамент министерства земледелия очень ценил знания и авторитет В. В. и, начиная с 1910 по 1914 год, ежегодно приглашал его на совещания по лесному опытному делу. Здесь давались ему по его представлениям разного рода поручения и отпускались на производство работ соответствующие суммы. В отчетах по опытному

лесному делу за указанные годы можно найти результаты исполненных В. В. работ и предположения о предстоящих в следующем году (за отчетным) работах.

С 1 октября 1926 г. при Центральной Лесной Опытной Станции Белоруссии образован Отдел лесной технологии и, следовательно, В. В., как авторитетному заведывающему этим Отделом, предоставлена полная возможность поработать и в белорусских лесах по интересующим его и Лесное Управление Республики вопросам лесной технологии.

Говоря о научной деятельности В. В., надлежит указать, что он является одним из первых исследователей, остановившихся на высоких качествах русского скипидара. На основании своих работ В. В. определенно считает русский скипидар неизмеримо выше американского и, по видимому, даже выше французского скипидара.

Лаборатория В. В. как-то всегда умела одной из первых отмечать у себя всякие новинки по лесной технологии, к которым она была особенно чувствительна. На это в свое время было обращено внимание еще проф. Н. Ст. Нестеровым в издававшемся им „Лесопромышленном Вестнике“.

В настоящее время в Лаборатории В. В. изготовлены, например, альбомы с образцами бумаги, полученной им из следующих древесных пород: ели, сосны, березы, осины и ольхи.

В последнюю свою поездку в Крым, летом 1926 г. В. В. вновь заинтересовался добыванием живицы и канифоли из крымской сосны.

К особенности характера В. В. надлежит отнести его органическую нелюбовь ко всякого рода саморекламе и, действительно, в своих работах он неизменно оставался далек от нее, при том до самого последнего времени.

В заключение нельзя не отметить и того обстоятельства, что В. В. не чужд был и общественной деятельности. В разное время им был прочитан целый ряд публичных лекций по наиболее важным экономическо-техническим вопросам, как-то: о нефти, каменном угле, холодильном деле, атмосферном азоте и его утилизации, искусственном каучуке и т. п. Точно также В. В. участвовал и на многочисленных с'ездах, из которых можно особо отметить несколько Менделеевских и два холодильных с'езда—в Париже и Москве.

Заканчивая настоящий очерк о жизни и деятельности юбиляра, надлежит указать, что В. В. продолжает и в Белорусской Государственной Академии Сельского Хозяйства пользоваться таким же авторитетом и уважением, какими он до сего времени пользовался в Ново-Александрии, Харькове и Минске, как среди своих сослуживцев—научных работников, так и среди своих учеников—студентов, а равно и технических служащих, с которыми ему приходится по своей деятельности так или иначе сталкиваться.

Вступив в 41-ую годовщину своего служения Высшей Сельско-хозяйственной Школе, В. В. чувствует себя вполне бодрым для дальнейшей успешной научной работы. Как и раньше, он продолжает интересоваться естественными и преимущественно лесными богатствами в техническом отношении. Только теперь его мысль и внимание всецело устремлены на указанные богатства Белоруссии, которой В. В. и предполагает посвятить дальнейшие годы своей трудовой жизни.

ПЕРЕЧЕНЬ

наиболее значительных печатных работ профессора В. В. Шкателова*).

- 1.** О составе русской смолы из *Pinus sylvestris*. Ж. Р. Ф.-Х. О. 1888.
2. О химическом составе смол (диссертация). Москва. 1889.
3. О нефтяно-газовой смоле и о применении ее для получения ароматических углеводов и анилиновых красок. Т. Сб. и В. Пр. 1893.
4. О подсочке русской сосны. Лесн. Журн. 1895.
5. Нефть. Публичная лекция. Варшава. 1896.
6. О тождестве абиэтиновой кислоты с одним из изомеров сильвиновой. Ж. Р. Ф.-Х. О. 1897.
7. О живице различных хвойных, ее составе и свойствах и о новом способе получения скипидара и канифоли. Зап. Ново-Александр. Института. 1897.
8. Каменный уголь. Варшава. 1900.
9. Нефтяно-газовый завод Ново-Александр. Инстит. Варшава. 1898.
10. Коньяк. Варшава. 1900.
11. Переработка меласной патоки на поташ. Т. Сб. и В. Пр.
12. О синтезе сахаристых веществ. Т. Сб. и В. Пр.
13. О новом открытии Гольдшмидта (алюминотермия) Т. Сб. и В. Пр.
14. О приготовлении коньяка. Т. Сб. и В. Пр.
15. О получении соды по способу Ставели. Т. Сб. и В. Пр.
16. О нахождении шавелевой кислоты на скалах южного берега Крыма. Ж. Р. Ф.-Х. О. 1906.
17. С родины подсочки. Лесопром. Вестн. 1907. №№ 31, 34 и 35.
18. Sur la composition des differents conifères de la gemme et colorane. „Moniteur scientifique“. Paris. 1908.
19. Об искусственном охлаждении. В „Хозяйстве“. Киев. 1911.
20. Опыты подсочки сосны по французскому способу в казенной лесной даче Руда Люблинской губ. Тр. по лесн. оп. делу. 1912.

*) Приняты следующие сокращения наименований журналов: Ж. Р. Ф.-Х. О.—Журнал Русского Физико-Химического Общества; Т. Сб. и В. Пр.—Технический Сборник и Вестник Промышленности.

***) Работы за №№ 1, 2, 3, 4, 6, 7, 16, 18, 20, 21, 22, 23, 24, 26 и 27 являются самостоятельными научными работами, а остальные номера показывают статьи и издания научного характера.

21. О новом способе получения сахара кустарным путем. Доклад. Харьков. 1917.

22. О составе золы Крымской водоросли *Cystoseira barbata* и о нахождении брома, иода и калиевых солей. Ж. Р. Ф.-Х. О. 1917.

23. О подсочке на Севере России. Журн. Сельск. Хоз. и Лесоводства. 1917.

24. К вопросу о выпрямлении окружностей и приближенной величине π . Зап. Бел. Гос. Инст. С. и Л. Хоз. 1924.

25. Древесно-газовый завод Бел. Инст. С. и Л. Хоз. В „Зап. Бел. Инст. С. и Л. Хоз.“ 1925.

26. Об окислительной способности русскоо скипидара из *Pinus sylvestris*. Зап. Бел. Гос. Инст. С. и Л. Хоз. 1925 г.

27. О подсочке сосны в Белоруссии. Зап. Бел. Гос. С. Х. Академии. 1926.

Кроме того перу В. В. принадлежат все статьи по лесной технологии и многие по сельско-хозяйственной в „Полной Энциклопедии русского сельск. хозяйства“. Изд. Девриена. 1910.

Таким образом, общее число всех печатных работ В. В. будет равно не менее 60.

Проф. А. КОСТЯЕВ.

ПРОЕКТИРОВАНИЕ

полос формы трапеции аналитическим методом.

Пусть требуется нам разбить участок формы трапеции на полосы той же формы линиями, параллельными основаниям данной трапеции.

При этом безразлично, будет ли трапеция прямоугольной или косоугольной.

В моем курсе „Землеустроительное Проектирование“ (Москва, Госиздат, 1925 г.) разобран способ проектирования таких участков, и при работе без счетных машин способ этот можно рекомендовать предпочтительно перед всякими другими, но при наличии счетной машины можно работу проектирования ускорить, пользуясь прилагаемыми ниже способами.

Прежде всего напомним, что проектирование трапеции рекомендуемым в моем курсе способом состоит из следующих операций: 1) вычисления второго основания a' по формуле

$$a' = \sqrt{a^2 + 2Q \operatorname{tg} \alpha} \quad (*)$$

для прямоугольной (см. черт. 1-а) и по формуле

$$a' = \sqrt{a^2 + 2Q (\operatorname{tg} \beta + \operatorname{tg} \gamma)} \quad (**)$$

для косоугольной трапеции (см. черт. 1-б), где a есть данное основание трапеции, Q —ее площадь, α —угол между боковыми сторонами, а β и γ —углы боковых сторон с высотой трапеции; 2) вычисления высоты h по формуле

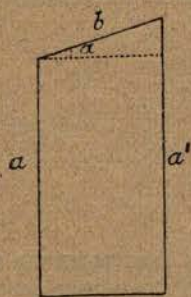
$$h = \frac{2Q}{a + a'}$$

и 3) вычисления боковых сторон по формулам:

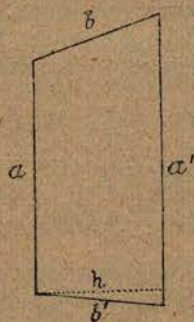
$$b = \frac{h}{\cos \alpha} \quad (\text{см. черт. 1-а}),$$

$$b = \frac{h}{\cos \beta} \quad (\text{ " } \text{ " } 1-б),$$

$$b' = \frac{h}{\cos \gamma} \quad (\text{ " } \text{ " } \text{ " }),$$



Черт. 1-а.

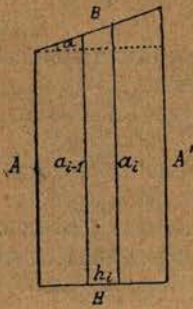


Черт. 1-б.

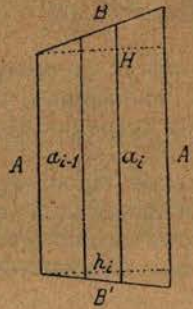
и вот операция вычисления второго основания, связанная с извлечением квадратного корня, при которой преимущества счетных машин перед

таблицами уже становятся до некоторой степени сомнительными, может быть заменена по предлагаемому способу другой, более быстро выполняемой и не связанной с извлечением квадратного корня операций, в чем и заключается значительное преимущество этого способа.

Пусть дан для разбивки на полосы участок формы прямоугольной (см. черт. 2^а) или косоугольной (черт. 2^б) трапеции, в котором меньшее основание A , большее A' и высота H .



Черт. 2-а.



Черт. 2-б.

Будем вести счет проектируемых полос слева от основания A и обозначим их основания, высоты и площади соответственно через

- A , a_1 , h_1 и q_1 для полосы 1-й ,
 a_1 , a_2 , h_2 и q_2 ” ” 2-й ,

 a_{i-1} , a_i , h_i и q_i ” ” i -й ,

 a_{n-1} , A' , h_n и q_n ” ” n -й и последней.

Тогда полоса номер i будет иметь (см. черт. 2^а и 2^б) меньшее основание a_{i-1} , большее a_i , высоту h_i и площадь q_i .

Для случая прямоугольной трапеции мы имеем:

$$a_i - a_{i-1} = h_i \operatorname{tg} \alpha \quad (1) \quad ,$$

а для косоугольной трапеции соответственно

$$a_i - a_{i-1} = h_i (\operatorname{tg} \beta + \operatorname{tg} \gamma) \quad (2) \quad .$$

При проектировании трапеции под номером i мы будем иметь величину a_{i-1} , и если каким-либо способом мы определим величину разности

$$a_i - a_{i-1} \quad ,$$

то по ней найдем затем второе основание a_i и среднюю линию m_i ; для удобства же вычисления m_i найдем непосредственно

$$m_i - a_{i-1} = \frac{1}{2} (a_i - a_{i-1}) \quad ,$$

вместо

$$a_i - a_{i-1} \quad ,$$

и формулы (1) и (2) заменим соответственно формулами

$$m_i - a_{i-1} = \frac{1}{2} h_i \operatorname{tg} \alpha \quad (3)$$

и

$$m_i - a_{i-1} = \frac{1}{2} h_i (\operatorname{tg} \beta + \operatorname{tg} \gamma) \quad (4) .$$

Принимая во внимание, что

$$\operatorname{tg} \alpha = \frac{A' - A}{H}$$

и

$$\operatorname{tg} \beta + \operatorname{tg} \gamma = \frac{A' - A}{H}$$

и подставляя в формулы (3) и (4) вместо

$$\operatorname{tg} \alpha \text{ и } \operatorname{tg} \beta + \operatorname{tg} \gamma$$

их значения, получим общую формулу, как для прямоугольной, так и для косоугольной трапеции:

$$m_i - a_{i-1} = \frac{h_i (A' - A)}{2H} \quad (5) .$$

Заменяя в формуле (5) высоту h_i ее величиной

$$h_i = \frac{q_i}{m_i} \quad ,$$

получим

$$m_i - a_{i-1} = \frac{q_i (A' - A)}{2H m_i} = \frac{A' - A}{2H m_i} q_i \quad ,$$

или иначе

$$m_i - a_{i-1} = k_i \cdot q_i \quad (6) \quad ,$$

где

$$k_i = \frac{A' - A}{2H m_i} \quad (7) .$$

Сущность предлагаемого способа заключается в предварительном вычислении для всех полос величины коэффициентов k_i , а зная k_i можно затем определить по формуле (6) все

$$m_i - a_{i-1}$$

и по ним все

m_i и a_i .

Рассмотрим прежде всего частный случай, при котором все вычисления являются особенно простыми.

Если разница между

A' и A

невелика, то можно принять приближенно в формуле (7) величину средней линии m_i для всех полос одинаковой и равной средней линии M всего участка, и тогда для всех полос будем иметь общий коэффициент k_i , который мы обозначим просто через k , и формула (7) примет вид

$$k = \frac{A' - A}{2HM} ,$$

или после замены HM через площадь данного участка Q

$$k = \frac{A' - A}{2Q} \quad (8) .$$

Геометрическое значение коэффициента k в этом случае очень простое и является, как легко видеть, средней величиной половины разности между параллельными сторонами, приходящейся на единицу площади.

Все вычисления полезно вести в ведомости прилагаемой здесь формы, которая ясна сама по себе.

№№ по.лос	q_i	$m_i - a_{i-1}$	m_i	a_i	h_i		b_i	b_i'	Примечание
					выч.	испр.			
1	q_1	$m_1 - A$	m_1	A	h_1	h_1	b_1	b_1'	$k = \frac{A' - A}{2Q} ,$ $b_i = h_i \frac{B}{H} ,$ $b_i' = h_i \frac{B'}{H} .$
2	q_2	$m_2 - a_1$	m_2	a_1	h_2	h_2	b_2	b_2'	
				a_2					
i	q_i	$m_i - a_{i-1}$	m_i	a_{i-1}	h_i	h_i	b_i	b_i'	
				a_i					
$n-1$	q_{n-1}	$m_{n-1} - a_{n-2}$	m_{n-1}	a_{n-2}	h_{n-1}	h_{n-1}	b_{n-1}	b_{n-1}'	
n	q_n	$m_n - a_{n-1}$	m_n	a_{n-1}	h_n	h_n	b_n	b_n'	
				A'					
	Q	$\frac{A' - A}{2}$			$\sum_{i=1}^n h_i$	H	B	B'	

Здесь высоты h_i определяются, как и в общем случае, т. е. по формуле

$$h_i = \frac{q_i}{m_i} ,$$

а боковые стороны b_i и b_i' можно рекомендовать вычислять, если работа выполняется помощью арифмометра, либо путем умножения высот h_i на отношения

$$\frac{B}{H} \text{ или } \frac{B'}{H} ,$$

заменяющие

$$\frac{1}{\cos \alpha}$$

для прямоугольной трапеции и

$$\frac{1}{\cos \beta} \text{ и } \frac{1}{\cos \gamma}$$

для косоугольной трапеции, — либо, при незначительности разности между B и H или B' и H , путем простого распределения поправок подобно тому, как при увязке приращений.

Правильность вычислений $m_i - a_{i-1}$ поверяется тем, что величины эти для всех полос должны дать в сумме $\frac{A' - A}{2}$, так как

$$\sum_{i=1}^n (m_i - a_{i-1}) = kq_1 + kq_2 + \dots + kq_i + \dots + kq_n = k(q_1 + q_2 + \dots + q_n) = \kappa Q$$

или, после подстановки значения k из формулы (8),

$$\sum_{i=1}^n (m_i - a_{i-1}) = \frac{A' - A}{2} .$$

m_i и a_i вычисляются последовательным добавлением

$$m_i - a_{i-1} \quad \text{к} \quad a_{i-1}$$

для получения m_i и

$$m_i - a_{i-1} = a_i - m_i \quad \text{к} \quad m_i$$

для получения a_i ; проверкой служит здесь получение A' из m_n .

Ниже будет показано, что высоты h_i получаются здесь с некоторой положительной погрешностью, так что

$$\sum_{i=1}^n h_i > H ;$$

произведя исправления этих высот так, чтобы

$$\sum_{i=1}^n h_i = H ,$$

и вычислив b_i и b'_i , будем иметь для проверки

$$\sum_{i=1}^n b_i = B ,$$

$$\sum_{i=1}^n b'_i = B' .$$

В разобранным частном случае мы при вычислении k принимали

$$m_i = M ,$$

вследствие чего величина k бралась у нас с определенной погрешностью, приближенно, и приближенно же определялись по ней величины

$$m_i = a_{i-1} ,$$

а, следовательно, и самые величины

$$a_i \text{ и } m_i .$$

В дальнейшем будет показано, с какой точностью находятся этим способом величины

$$a_i \text{ и } m_i$$

и в соответствии с этим будут установлены пределы применения данного частного упрощенного случая, а пока перейдем к общему случаю и приступим к определению коэффициентов k_i .

Из формулы (7) мы видим, что k_i будет заключаться между

$$k_0 = \frac{A' - A}{2HA} \text{ и } k'_0 = \frac{A' - A}{2HA'} .$$

К первому из этих предельных значений будет приближаться k_i при $i=1$ и при приближении площади q_1 к нулю, так как средняя линия будет при этом стремиться сделаться равной основанию; ко второму пределу k_i будет приближаться при

$$i=n$$

и q_n , стремящейся к нулю.

Задача наша заключается в установлении для k в указанных пределах n различных значений в порядке постепенного убывания.

В рассмотренном частном случае мы имели, что

$$m_i = a_{i-1}$$

пропорционально площади q_i , теперь же, в общем случае, мы установим принцип, что самое изменение коэффициента k_i будет пропорционально площади q_i .

Установим сверх того принцип, что каждое значение k_i будет приурочиваться к средней линии соответствующей трапеции под номером i , и что изменения значения k_i от средней линии до обоих оснований будут одинаковы.

Заметим между прочим, что этим последним условием вводится поправка в принцип изменения k_i пропорционально площади, ибо обе части трапеции между средней линией и основаниями по площади не одинаковы.

Установивши такие принципы, мы легко можем вычислить все коэффициенты k_i , но сделаем это сначала для случая, когда все q_i одинаковы, т. е. общая площадь Q делится на n равных частей.

Общее изменение коэффициента k будет таково:

$$k_0 - k_0' = \frac{A' - A}{2nA} - \frac{A' - A}{2nA'} = \frac{A' - A}{2n} \left(\frac{1}{A} - \frac{1}{A'} \right).$$

Изменение это соответствует всей площади Q , изменение же для площади q_i будет в n раз меньше, а для площади между средней линией полосы и одним из ее оснований будет в $2n$ раз меньше общего изменения коэффициента k , т. е. окажется равным

$$\frac{1}{2n} (k_0 - k_0') = \frac{A' - A}{4nH} \left(\frac{1}{A} - \frac{1}{A'} \right),$$

и тогда будем иметь, что для первой полосы k_1 будет таково:

$$k_1 = k_0 - \frac{1}{2n} (k_0 - k_0');$$

для 2-й полосы, средняя линия которой отделяется от линии A площадью, равной $\frac{3}{2n}$ общей площади, будем иметь:

$$k_2 = k_0 - \frac{3}{2n} (k_0 - k_0');$$

для i -й полосы, среднюю линию которой отделяет от линии A площадь, равная $\frac{2i-1}{2n}$ общей площади,

$$k_i = k_0 - \frac{2i-1}{2n} (k_0 - k_0') \dots (9),$$

и для последней полосы, при $i = n$

$$k_n = k_0 - \frac{2n-1}{2n} (k_0 - k_0').$$

Зная k_i , мы можем вычислить все

$$m_i - a_{i-1},$$

а уверенность в правильности вычисления этих величин получим из сравнения суммы

$$\sum_{i=1}^n (m_i - a_{i-1})$$

с ее ожидаемой согласно теории величиной.

Найдем эту сумму, для чего, согласно формулы (6), нужно все k_i умножить на q_i и результаты сложить, после чего получим:

$$\sum_{i=1}^n (m_i - a_{i-1}) = \sum_{i=1}^n k_i q_i = \frac{Q}{n} \sum_{i=1}^n k_i \dots (10),$$

или, подставляя сюда вычисленное ранее значение k_i из формулы (9), получим:

$$\begin{aligned} \sum_{i=1}^n (m_i - a_{i-1}) &= \frac{Q}{n} \sum_{i=1}^n \left[k_0 - \frac{2i-1}{2n} (k_0 - k_0') \right] = \\ &= \frac{Q}{n} \left[nk_0 - \frac{1+3+\dots+(2n-1)}{2n} (k_0 - k_0') \right] = \frac{Q}{n} \left[nk_0 - \frac{n}{2} (k_0 - k_0') \right] = \\ &= Q \frac{k_0 + k_0'}{2} = \frac{Q(A'-A)}{4H} \left(\frac{1}{A} + \frac{1}{A'} \right) = \frac{Q(A'^2 - A^2)}{4HAA'} \dots (11). \end{aligned}$$

Подставляя здесь вместо $\frac{Q}{H}$ его значение, получим окончательно:

$$\sum_{i=1}^n (m_i - a_{i-1}) = \frac{(A' - A)(A' + A)^2}{8AA'} \dots (12).$$

По виду формулы (12) делаем тот вывод, что

$$\sum_{i=1}^n (m_i - a_{i-1})$$

не зависит от n , и сверх того из равенства

$$\sum_{i=1}^n (m_i - a_{i-1}) = \frac{Q(k_0 + k_0')}{2}$$

имеем, что указанная сумма может быть получена по тому же принципу, как и каждое слагаемое

$$m_i - a_{i-1} = \kappa_i q_i,$$

если мы будем искать такое для одной трапеции площади Q , для которой κ равняется полусумме предельных значений коэффициентов, а это последнее обстоятельство при равенстве всех q_i может служить проверкой правильности вычисления

$$m_i - a_{i-1}.$$

Но легко показать, что то же самое относится и к случаю, когда q_i неодинаковы. В самом деле, при q_i неодинаковых всегда можно найти площадь q' , являющуюся общей мерой всех площадей q_i , содержащейся в Q , скажем, N раз, и тогда мы можем произвести с одной стороны суммирование

$$\sum_{j=1}^N (m_j - a_{j-1})$$

при одинаковых q' , а с другой предварительную группировку слагаемых

$\kappa_i q_i$ для каждой полосы, получить таким образом $\kappa_i q_i$ и уже затем найти

$$\sum_{i=1}^n (m_i - a_{i-1}) = \sum_{i=1}^n \kappa_i q_i ;$$

результат в обоих случаях очевидно должен быть одинаковым, и вследствие этого мы можем утверждать, что и при неодинаковых q_i формула (12) остается верной, а эта формула показывает, что

$$\sum_{i=1}^n (m_i - a_{i-1})$$

дает

$$\frac{(A' - A)(A' + A)^2}{8AA'}, \text{ вместо } \frac{A' - A}{2},$$

т. е. получается величина в

$$\frac{(A' + A)^2}{4AA'}$$

раз большая, и поэтому, прежде чем вычислять все m_i , и a_i , следует исправить

$$m_i - a_{i-1}$$

умножением на поправочный множитель

$$\frac{4AA'}{(A' + A)^2},$$

и лишь затем, вычислив m_i , а если нужно, то и a_i , найти по m_i и по q_i величины h_i , исправить последние таким образом, чтобы они дали в сумме H , по величинам h_i найти умножением на

$$\frac{B}{H} \text{ и } \frac{B'}{H}$$

величины b_i и b'_i .

Вычисления можно располагать в приводимой ниже ведомости, выписав при ней в примечании нужные при вычислениях величины.

Напомним здесь, что k_1 получается из k_0 отнятием Δk_1 , а k_2 из k_1 отнятием

$$\Delta \kappa_1 + \Delta \kappa_2$$

и вообще κ_i из κ_{i-1} отнятием

$$\Delta \kappa_{i-1} + \Delta \kappa_i,$$

что было установлено при выводе формул для κ_i .

Заметим также, что

$$\sum_{i=1}^n \Delta \kappa_i = \frac{\kappa_0 - \kappa_0'}{2}$$

и что m_i и a_i вычисляются параллельно и проверкой служит то, что в результате получается A' , и т. д.



№№ полос	q_i	$-\Delta k_i$	k_i	$m_i - a_{i-1}$		m_i	a_i	h_i		b_i	b'_i	Примечание
				выч.	испр.			выч.	исп.			
1	q_1	$-\Delta k_1$	k_1	$m_1 - A$	$m_1 - A$	m_1	A	h_1	h_1	b_1	b'_1	$\frac{A' - A}{2H} = \dots$
2	q_2	$-\Delta k_2$	k_2	$m_2 - a_1$	$m_2 - a_1$	m_2	a_1	h_2	h_2	b_2	b'_2	$k_0 = \dots$ $k'_0 = \dots$
							a_2					$\frac{A' - A}{2}$
												$\frac{Q^{k_0 + k'_0}}{2}$
i	q_i	$-\Delta k_i$	k_i	$m_i - a_{i-1}$	$m_i - a_{i-1}$	m_i	a_{i-1}	h_i	h_i	b_i	b'_i	$\frac{B}{H} = \dots$
							a_i					$\frac{B'}{H} = \dots$
$n-1$	q_{n-1}	$-\Delta k_{n-1}$	k_{n-1}	$m_{n-1} - a_{n-2}$	$m_{n-1} - a_{n-2}$	m_{n-1}	a_{n-2}	h_{n-1}	h_{n-1}	b_{n-1}	b'_{n-1}	
n	q_n	$-\Delta k_n$	k_n	$m_n - a_{n-1}$	$m_n - a_{n-1}$	m_n	a_{n-1}	h_n	h_n	b_n	b'_n	
			k'_0				A'					
Q	$\frac{k_0 - k'_0}{2}$			$Q \frac{k_0 + k'_0}{2}$	$\frac{A' - A}{2}$		$\sum_{i=1}^n h_i$	H	B	B'		

Перейдем теперь к установлению точности и пределов применения сначала для частного случая, а затем и для случая общего.

Пусть требуется нам разбить трапецию площади Q на n каких угодно трапеций площади

$$q_1, q_2, \dots, q_i, \dots, q_n;$$

мы будем вычислять при этом

$$a_i - m_{i-1}$$

по формуле

$$m_i - a_{i-1} = kq_i.$$

Вводя обозначения:

$$Q_1 = q_1,$$

$$Q_2 = q_1 + q_2,$$

$$\dots$$

$$Q_i = q_1 + q_2 + \dots + q_i,$$

$$\dots$$

$$Q_n = q_1 + q_2 + \dots + q_i + \dots + q_n,$$

будем иметь:

$$\begin{aligned}
 m_1 - A &= kq_1 \\
 a - m_1 &= kq_1 \\
 + \dots & \\
 m_i - a_{i-1} &= kq_i \\
 a_i - m_i &= kq_i \\
 \hline
 a_i - A &= k(2q_1 + 2q_2 + \dots + 2q_i) = 2kQ_i \quad (13).
 \end{aligned}$$

Введем сверх того обозначение

$$Q_i = jQ \quad (14) ,$$

где j удовлетворяет неравенствам:

$$0 < j < 1 ,$$

тогда, подставляя значение Q_i из формулы (14) в формулу (13), будем иметь:

$$a_i - A = 2kjQ ,$$

или

$$a_i = A + 2kjQ \quad (15) .$$

Найдем, при каком значении j точность в относительных единицах a_i будет наименьшей, или, другими словами, относительная погрешность a_i будет достигать своей границы.

Найдем для этого точное значение a_i , зная, что эта линия отделяет в данной трапеции площадь

$$Q_i = jQ ,$$

считая от линии A :

$$a_i = \sqrt{A^2 + 2jQ \frac{A' - A}{H}} ,$$

или по замене

$$\frac{2Q}{H} \text{ на } A' + A ,$$

будем иметь:

$$a_i = \sqrt{A^2 + j(A'^2 - A^2)} .$$

Из сравнения приближенного и точного значения a_i имеем Δa_i , т.е. действительную абсолютную погрешность a_i :

$$\Delta a_i = A + 2kjQ - \sqrt{A^2 + j(A'^2 - A^2)} ,$$

или, после замены k его значением из формулы (8),

$$\Delta a_i = A + j(A' - A) - \sqrt{A^2 + j(A'^2 - A^2)} ,$$

отсюда

$$\frac{\Delta a_i}{a_i} = \frac{A + j(A' - A)}{\sqrt{A^2 + j(A'^2 - A^2)}} - 1 ,$$

или, по разделении числителя и знаменателя на A и замене $\frac{A'}{A}$ через r ,

$$\frac{\Delta a_i}{a_i} = \frac{1 + j(r - 1)}{\sqrt{1 + j(r^2 - 1)}} - 1 \dots (16) .$$

В этой последней формуле j является независимой переменной, а $\frac{\Delta a_i}{a_i}$ ее функцией.

Найдем, при каких значениях j функция $\frac{\Delta a_i}{a_i}$ достигает своего Mx или Mn , для чего определим 1-ю и 2-ю производную этой функции по j .

$$\begin{aligned} \frac{d\left(\frac{\Delta a_i}{a_i}\right)}{dj} &= \frac{d\left[\frac{1+j(r-1)}{\sqrt{1+j(r^2-1)}}\right]}{dj} = \frac{r-1}{\sqrt{1+j(r^2-1)}} - \\ &= \frac{[1+j(r-1)](r^2-1)}{2[1+j(r^2-1)]^{3/2}} = \frac{(r-1)\{2+2j(r^2-1)-(r+1)[1+j(r-1)]\}}{2[1+j(r^2-1)]^{3/2}} = \\ &= \frac{(r-1)[1+j(r^2-1)-r]}{2[1+j(r^2-1)]^{3/2}} = \frac{(r-1)^2[j(r+1)-1]}{2[1+j(r^2-1)]^{3/2}}, \end{aligned}$$

откуда

$$j(r+1) - 1 = 0,$$

или

$$j = \frac{1}{r+1} \dots (17)$$

$$\begin{aligned} \frac{d^2\left(\frac{\Delta a_i}{a_i}\right)}{dj^2} &= \frac{(r-1)^2}{2} \frac{d}{dj} \left\{ \frac{j(r+1)-1}{[1+j(r^2-1)]^{3/2}} \right\} = \\ &= \frac{(r-1)^2}{2} \left\{ \frac{r+1}{[1+j(r^2-1)]^{3/2}} - \frac{3(r^2-1)[j(r+1)-1]}{2[1+j(r^2-1)]^{5/2}} \right\}; \end{aligned}$$

и так как 2-й член в фигурных скобках в силу равенства (17) для значения Mx или Mn обращается в нуль, то имеем:

$$\frac{d^2\left(\frac{\Delta a_i}{a_i}\right)}{dj^2} = \frac{(r-1)^2(r+1)}{2[1+j(r^2-1)]^{3/2}} > 0.$$

Таким образом относительная погрешность a_i имеет Mn при

$$j = \frac{1}{r+1}.$$

Принимая во внимание, что как при $j=0$, так и при $j=1$

$$\frac{\Delta a_i}{a_i} = 0$$

и что при

$$j = \frac{1}{r+1}$$

эта функция имеет Mn , приходим к выводу, что во всем промежутке от 0 до 1 функция $\frac{\Delta a_i}{a_i}$ имеет отрицательные значения и что по абсолютной величине она при

$$j = \frac{1}{r+1} \dots (17)$$

достигает Mx .

Таким образом оказывается, что наиболее грубо предлагаемым способом будет вычисляться a_i , ограничивающая площадь, равную $\frac{1}{r+1}$ общей площади, считая от линии A .



Черт. 3.

Откладывая вычисленные по приближенным формулам значения a_i от стороны B' (см. черт. 3), мы получим, что концы a_i расположатся примерно по кривой, изображенной на этом чертеже вдоль линии B и иллюстрирующей закон изменения $\frac{\Delta a_i}{a_i}$.

Вычислим теперь границу относительной погрешности a , т.е. e_a , равную абсолютному значению

$$\frac{\Delta a_i}{a_i} \text{ при } j = \frac{1}{r+1},$$

для чего подставим в формулу (16), переменявши предварительно знак перед $\frac{\Delta a_i}{a_i}$, значение j из формулы (17):

$$e_a = 1 - \sqrt{\frac{1 + \frac{r-1}{r+1}}{1 + \frac{r-1}{r+1}}} = 1 - \frac{2r}{(r+1)\sqrt{r}} = 1 - \frac{2\sqrt{r}}{r+1}.$$

Установим теперь, как изменяется e_a с изменением r , для чего найдем производную e_a по r :

$$\begin{aligned} \frac{de_a}{dr} &= -2 \frac{d}{dr} \left(\frac{\sqrt{r}}{r+1} \right) = -2 \left[\frac{1}{2(r+1)\sqrt{r}} - \frac{\sqrt{r}}{(r+1)^2} \right] = \\ &= -2 \frac{(r+1) - 2r}{2(r+1)^2\sqrt{r}} = \frac{r-1}{(r+1)^2\sqrt{r}} > 0. \end{aligned}$$

Так как производная e_a положительна, то с возрастанием r возрастает e_a .

Придавая теперь r в выражении для e_a различные частные значения, получим прилагаемую табличку, изображающую точность a при различных r .

Табличка эта показывает, что уже начиная со значения $r=1,1$ точность a_i делается меньшей, чем до 0,001.

Если мы поставим себе условие определять a_i с точностью, например, не меньшей, чем при полевых измерениях, то в соответствии с обычными линейными размерами при проектировании полос и таблицами наибольших допустимых разностей при двойном измерении линий, нам придется принять для границы относительной погрешности a предельное значение в 0,001 и для предельной допустимой при этом способе величины r значение 1,09.

Так как, далее, при небольших значениях r величина

$\frac{1}{r+1}$ будет близка к половине, то мы можем считать, что

наиболее грубо будут определяться a_i , а следовательно и m_i , около

r	e_a
1,01	0,00001
1,02	0,00005
1,03	0,00011
1,04	0,00019
1,05	0,00030
1,06	0,00043
1,07	0,00058
1,08	0,00074
1,09	0,00093
1,10	0,00114

средины данной трапеции; а так как h_i вычисляется у нас по формуле

$$h_i = \frac{q_i}{m_i} ,$$

при которой относительная погрешность m_i передается целиком h_i , то заключаем, что и h_i будет вычисляться наиболее грубо примерно посредине данной трапеции и наиболее точно в полосах, прилегающих к A и A' , а при сделанных ограничениях относительно величины r точность h_i в относительных единицах (без принятия во внимание погрешности от округления h_i) будет не ниже, чем до 0,001.

Знак погрешности h будет положителен, так как все a_i , а следовательно и m_i , ниже своей действительной величины, а поэтому имеем

$$\sum_{i=1}^n h_i > H .$$

Увязав все h_i так, чтобы

$$\sum_{i=1}^n h_i = H$$

и приняв во внимание при этом различную точность всех значений h_i , мы получим исправленные h_i очень близкими к их действительной величине; точность же a_i практического значения у нас иметь не может.

Перейдем теперь к установлению точности вычислений и пределов применения случая общего; мы имеем:

$$\begin{array}{r} m_1 - A = k_1 q_1 \\ a_1 - m_1 = k_1 q_1 \\ + \dots \dots \dots \\ m_i - a_{i-1} = k_i q_i \\ a_i - m_i = k_i q_i \\ \hline a_i - A = 2 \sum_1^i k_i q_i . \end{array}$$

Здесь q_i могут быть какие угодно, но так как нами было показано, что величина

$$\sum_1^i k_i q_i$$

и при неодинаковых q_i будет та же, что при одинаковых, то при определении приближенной величины a_i мы будем принимать все q_i одинаковыми и равными $\frac{Q}{n}$. Тогда будем иметь

$$a_i - A = \frac{2Q}{n} \sum_1^i k_i ;$$

подставляя здесь вместо k_i вычисленное ранее его значение из формулы (9), получим:

$$a_i - A = \frac{2Q}{n} \sum_1^i \left[k_0 - \frac{2i-1}{2n} (k_0 - k'_0) \right] = \frac{2Q}{n} \left[ik_0 - \frac{i^2}{2n} (k_0 - k'_0) \right] = \\ = \frac{Q(A' - A)}{nH} \left[\frac{i}{A} - \frac{i^2}{2n} \left(\frac{1}{A} - \frac{1}{A'} \right) \right],$$

или заменяя здесь $\frac{Q}{H}$ через $\frac{A' + A}{2}$ и избавляясь от знаменателей, будем иметь:

$$a_i - A = \frac{(A'^2 - A^2)i}{4nA'A} \left[2A' - \frac{i}{n} (A' - A) \right],$$

или, после умножения на поправочный множитель

$$\frac{4AA'}{(A' + A)^2},$$

получим

$$a_i - A = \frac{(A' - A)i}{n(A' + A)} \left[2A' - \frac{i}{n} (A' - A) \right] \dots \dots (18).$$

Таково приближенное значение a_i ; нетрудно получить теперь и точное значение этой линии.

Действительно, так как a_i отграничивает i полос в трапеции площади Q площадью каждая в $\frac{Q}{n}$, то по формулам (*) и (**), с заменой значения

$$tg \alpha \text{ или } tg \beta + tg \gamma \text{ через } \frac{A' - A}{H}$$

получим

$$a_i = \sqrt{A^2 + \frac{2Qi}{n} \frac{A' - A}{H}} = \sqrt{A^2 + \frac{2Qi(A' - A)}{nH}},$$

или, после замены $\frac{Q}{H}$ через $\frac{A' + A}{2}$, получим окончательно

$$a_i = \sqrt{A^2 + \frac{i}{n} (A'^2 - A^2)} \dots \dots (19).$$

По формулам (18) и (19) получаем теперь действительную относительную погрешность $\frac{\Delta a_i}{a_i}$ линии a_i :

$$\frac{\Delta a_i}{a_i} = \frac{A + \frac{(A' - A)i}{n(A' + A)} \left[2A' + \frac{i}{n} (A' - A) \right]}{\sqrt{A^2 + \frac{i}{n} (A'^2 - A^2)}} - 1,$$

или после замены $\frac{A'}{A}$ через r и $\frac{i}{n}$ через j :

$$\frac{\Delta a_i}{a_i} = \frac{1 + \frac{(r-1)j}{r+1} [2r - j(r-1)]}{\sqrt{1 + j(r^2-1)}} - 1 \dots (20).$$

Здесь j есть

$$\frac{i}{n} = \frac{iq}{nq} = \frac{Q_i}{Q}.$$

Найдем, при каком значении j точность a_i в относительных единицах будет наименьшей, для каковой цели найдем Mx и Mn функции

$$\frac{\Delta a_i}{a_i}.$$

Определим первую и вторую производную функции $\frac{\Delta a_i}{a_i}$ по j и найдем значения j , при которых первая производная обращается в нуль.

$$\begin{aligned} \frac{d \frac{\Delta a_i}{a_i}}{dj} &= \frac{d}{dj} \left\{ \frac{1 + \frac{(r-1)j}{r+1} [2r - j(r-1)]}{\sqrt{1 + j(r^2-1)}} \right\} = \\ &= \frac{\frac{r-1}{r+1} [2r - 2j(r-1)]}{\sqrt{1 + j(r^2-1)}} - \frac{(r^2-1) \left\{ 1 + \frac{(r-1)j}{r+1} [2r - j(r-1)] \right\}}{2 [1 + j(r^2-1)]^{3/2}} = \\ &= (r-1) \frac{4[r - j(r-1)][1 + j(r^2-1)] - (r+1) \left\{ (r+1) + (r-1)j [2r - j(r-1)] \right\}}{2(r+1) [1 + j(r^2-1)]^{3/2}} = \\ &= \frac{(r-1) [4r - 4j(r-1) + 4rj(r^2-1) - 4j^2(r^2-1)(r-1) - (r+1)^2 - 2rj(r^2-1) + j^2(r-1)(r^2-1)]}{2(r+1) [1 + j(r^2-1)]^{3/2}} = \\ &= \frac{(r-1) [-3j^2(r^2-1)(r-1) + 2j(r-1)^2(r+2) - (r-1)^2]}{2(r+1) [1 + j(r^2-1)]^{3/2}} = \\ &= \frac{-(r-1)^3 [3j^2(r+1) - 2j(r+2) + 1]}{2(r+1) [1 + j(r^2-1)]^{3/2}} = 0, \end{aligned}$$

откуда

$$3j^2(r+1) - 2j(r+2) + 1 = 0 \dots (21),$$

или

$$j = \frac{r+2 \pm \sqrt{(r+2)^2 - 3(r+1)}}{3(r+1)} = \frac{r+2 \pm \sqrt{r^2+r+1}}{3(r+1)}$$

$$j = \frac{r+2 - \sqrt{r^2+r+1}}{3(r+1)} \dots (22)$$

$$j_2 = \frac{r+2 + \sqrt{r^2+r+1}}{3(r+1)} \dots (23).$$

Найдем теперь вторую производную функции $\frac{\Delta a_i}{a_i}$ при значениях $j = j_1$ и $j = j_2$.

$$\frac{d^2 \left(\frac{\Delta a_i}{a_i} \right)}{dj^2} = \frac{-(r-1)^3}{2(r+1)} \left\{ \frac{6j(r+1) - 2(r+2)}{[1+j(r^2-1)]^{3/2}} - \frac{3(r^2-1)[3j^2(r+1) - 2j(r+2) + 1]}{2[1+j(r^2-1)]^{5/2}} \right\},$$

или в силу равенства (21) и так как

$$3j(r+1) - (r+2) = \pm \sqrt{r^2 + r + 1},$$

имеем

$$\frac{d^2 \left(\frac{\Delta a_i}{a_i} \right)}{dj^2} = \frac{-(r-1)^3 [3j(r+1) - (r+2)]}{(r+1)[1+j(r^2-1)]^{3/2}} = \frac{\pm (r-1)^3 \sqrt{r^2 + r + 1}}{(r+1)[1+j(r^2-1)]^{3/2}};$$

отсюда заключаем, что при $j = j_1$ имеем Mn и при $j = j_2$ Mx функции

$$\frac{\Delta a_i}{a_i}.$$

Принимая же во внимание, что j лежит в промежутке от 0 до 1 и при значениях $j = 0$ и $j = 1$

$$\frac{\Delta a_i}{a_i} = 0,$$

приходим к выводу, что при постепенном изменении j от 0 до 1 функция $\frac{\Delta a_i}{a_i}$ вначале равна нулю, затем получает отрицательные значения, достигая Mn при $j = j_1$, потом переходит через нуль, получая положительные значения и достигая при $j = j_2$ своего Mx , а при $j = 1$ делается равной нулю.

Другими словами, вычисленные по приближенным формулам значения a_i в первой части данной трапеции меньше истинных значений a_i , а во второй больше таковых, с наибольшим относительным отклонением в сторону уменьшения при $j = j_1$ и в сторону увеличения при $j = j_2$.



Черт. 4.

Закон изменения $\frac{\Delta a_i}{a_i}$ можно иллюстрировать чертежом 4, где на кривой при боковой стороне трапеции B' располагаются концы a_i , отложенных от B' .

Покажем теперь, что с возрастанием r функция $\frac{\Delta a_i}{a_i}$ будет увеличиваться по своему абсолютному значению при $j = j_1$ и $j = j_2$, для чего найдем производную этой функции по r .

$$\frac{d \left(\frac{\Delta a_i}{a_i} \right)}{dr} = \frac{d}{dr} \left\{ \frac{1 + \frac{(r-1)j}{r+1} [2r - j(r-1)]}{\sqrt{1+j(r^2-1)}} \right\} =$$

$$= \frac{\left\{ \frac{2j}{(r+1)^2} [2r-j(r-1)] + \frac{(r-1)j}{r+1} (2-j) \right\} [1+j(r^2-1)] - rj \left\{ 1 + \frac{(r-1)j}{r+1} [2r-j(r-1)] \right\}}{[1+j(r^2-1)]^{3/2}} =$$

$$= j \frac{\left\{ 2[2r-j(r-1)] + (r^2-1)(2-j) \right\} [1+j(r^2-1)] - r(r+1) \left\{ (r+1) + (r-1)j [2r-j(r-1)] \right\}}{(r+1)^2 [1+j(r^2-1)]^{3/2}}$$

Из равенства нулю функции $\frac{d \Delta a_i}{a_i dj}$ имеем, что

$$(r+1) \left\{ (r+1) + (r-1)j [2r-j(r-1)] \right\} = 4[r-j(r-1)] [1+j(r^2-1)] ;$$

принимая это во внимание, имеем:

$$\frac{d \left(\frac{\Delta a_i}{a_i} \right)}{dr} = j \frac{2 [2r-j(r-1)] + (r^2-1)(2-j) - 4r[r-j(r-1)]}{(r+1)^2 \sqrt{1+j(r^2-1)}} =$$

$$= j \frac{4r-2j(r-1)+2(r^2-1)-j(r^2-1)-4r^2+4rj(r-1)}{(r+1)^2 \sqrt{1+j(r^2-1)}} = j \frac{3j(r-1)^2 - 2(r-1)^2}{(r+1)^2 \sqrt{1+j(r^2-1)}} =$$

$$= j(r-1)^2 \frac{3j-2}{(r+1)^2 \sqrt{1+j(r^2-1)}} = \frac{j(r-1)^2 [3j(r+1) - 2(r+1)]}{(r+1)^3 \sqrt{1+j(r^2-1)}} =$$

$$= \frac{j(r-1)^2 [3j(r+1) - (r+2) - r]}{(r+1)^3 \sqrt{1+j(r^2-1)}} ,$$

или, после замены выражения

$$3j(r+1) - (r+2) \text{ на } \mp \sqrt{r^2+r+1} ,$$

получим:

$$\frac{d \left(\frac{\Delta a_i}{a_i} \right)}{dr} = \frac{j(r-1)^2 [-r \mp \sqrt{r^2+r+1}]}{(r+1)^3 \sqrt{1+j(r^2-1)}} ,$$

и так как

$$\sqrt{r^2+r+1} > r ,$$

то при $j=j_1$

$$\frac{d \left(\frac{\Delta a_i}{a_i} \right)}{dr} < 0 ,$$

а при $j=j_2$

$$\frac{d \left(\frac{\Delta a_i}{a_i} \right)}{dr} > 0 ,$$

из чего заключаем, что как при $j=j_1$, когда

$$\frac{\Delta a_i}{a_i} < 0 ,$$

Вследствие разных знаков Δh_i , увязав h_i так, чтобы

$$\sum_{i=1}^n h_i = H \quad ,$$

мы не получим приближения h_i к их истинным значениям, и величины эти остаются приближенными, найденными с точностью не ниже 0,001.

Представляется возможным путем дополнительных вычислительных операций, пользуясь приближенными значениями m_i и h_i найти их точные значения. Для этой цели достаточно по вычисленным величинам h_i найти, пользуясь формулами (5), $m_i - a_{i-1}$ во втором приближении, которые можно принять уже за величины точные; из сравнения прежних значений $m_i - a_{i-1}$ с новыми получим поправки для этих величин

$$\delta(m_i - a_{i-1}) \quad ,$$

а пользуясь этими поправками, найдем сначала δm_i , а потом и δh_i , по которым можно иметь точные значения h_i и a_i .

Нахождение поправок δh_i по δm_i основано на следующих соображениях при определении h_i ; по формуле

$$h_i = \frac{q_i}{m_i}$$

относительная погрешность m_i и h_i будет одинакова по абсолютной величине при разных знаках, т.е. имеем

$$\frac{\delta h_i}{h_i} = - \frac{\delta m_i}{m_i} \quad ,$$

или

$$- \frac{\delta h_i}{\delta m_i} = \frac{h_i}{m_i} \quad ,$$

таким образом, поправки δh_i и δm_i обратных знаков и по абсолютной величине пропорциональны h_i и m_i ; отсюда δh_i находится очень легко, так сказать, с первого взгляда на величины δm_i , h_i и m_i .

Нахождение точных h_i может быть произведено двумя путями—параллельным для всех h_i и последовательным для каждого h_i по очереди, начиная с h_1 .

Рассмотрим сначала первый способ. Пользуясь этим способом, мы найдем прежде всего все точные значения $m_i - a_{i-1}$ по формулам (5), по ним найдем все $\delta(m_i - a_{i-1})$, и так как мы приближенные значения m_i получали путем прибавления к A суммы некоторого количества значений $m_i - a_{i-1}$, то величины m_i будут заключать в себе и все погрешности просуммированных значений $m_i - a_{i-1}$, которые мы получим суммированием соответствующих $\delta(m_i - a_{i-1})$. Таким путем мы найдем подряд все δm_i , а по ним все δh_i и все точные значения h_i . Точных же значений a_i , как не имеющих для нас интереса, мы искать не будем. Дополнительные вычисления располагаются в 3-х новых столбцах:

$$1) \delta(m_i - a_{i-1}) \quad , \quad 2) \delta m_i \quad \text{и} \quad 3) \delta h_i$$

точные же значения h_i ставятся вместо прежних исправленных увязкой значений h_i .

Второй способ отличается от первого тем, что во избежание накопления погрешностей в m_i не производится вычислений всех m_i по при-

ближенным данным, а находится лишь m_i , да притом по $m_i - A$, несправленному умножением на поправочный множитель

$$\frac{4AA'}{(A'+A)^2} ;$$

пользуясь m_1 , найдем по нем приближенное h_1 по формуле

$$h_1 = \frac{q_1}{m_1}$$

и затем $m_1 - A$ во втором приближении по формуле (5), что даст нам

$$\delta m_1 = \delta (m_1 - A),$$

по которой мы определим δh_1 и точное h_1 ; переходя ко 2-й трапеции, мы найдем попутно точное a_1 добавлением к A два раза по точному $m_1 - A$ и затем приближенное m_2 и т. д. пока не получим A' .

Покажем теперь, что значения m_i и h_i , получаемые обоими этими способами, можно принять за точные, для чего найдем границы их относительных погрешностей.

Для обоих способов вместе мы имеем следующие формулы:

$$\frac{\Delta h_i}{h_i} = - \frac{\Delta m_i}{m_i}$$

откуда

$$\Delta h_i = - \frac{\Delta m_i}{m_i} h_i ;$$

так как для $m_i - a_{i-1}$ во втором приближении имеем формулу (5)

$$m_i - a_{i-1} = h_i \frac{A' - A}{2H} ,$$

то обозначая действительную абсолютную погрешность m_i во втором приближении через $\Delta' m_i$, получим:

$$\Delta' m_i = \Delta (m_i - a_{i-1}) = \frac{A' - A}{2H} \Delta h_i = - \frac{A' - A}{2H} \cdot \frac{\Delta m_i}{m_i} \cdot h_i ,$$

а так как

$$\frac{\Delta' h_i}{h_i} = - \frac{\Delta' m_i}{m_i} ,$$

где $\Delta' h_i$ есть действительная погрешность h_i , найденного во втором приближении, то имеем:

$$\frac{\Delta' h_i}{h_i} = \frac{A' - A}{m_i} \cdot \frac{h_i}{2H} \cdot \frac{\Delta m_i}{m_i} \dots (24).$$

Теперь для первого случая, независимо от значения i , имеем, что

$$\frac{\Delta m_i}{m_i} \leq 0,001 , \quad \frac{A' - A}{m} = \frac{r - 1}{m} < \frac{r - 1}{A} \leq 0,4$$

при $r \leq 1,4$;

$\frac{h_i}{2H}$ можно принять при этом способе, который для проектирования еди-

ничных участков применяться не будет, удовлетворяющим формуле

$$\frac{h_i}{2H} \leq 1/8 ;$$

отсюда получим

$$\frac{\Delta^1 h_i}{h_i} \leq 0,4 \cdot 1/8 \cdot 0,001 = 0,0005 ,$$

или

$$e_h = 0,0005 .$$

Хотя при нашем выводе не приняты во внимание погрешности от округления, но все же с такой незначительной величиной e_h можно принять практически полученные во 2-м приближении значения h_i за точные.

Перейдем теперь ко 2-му способу и представим себе, что мы вычисляем элементы $i^{\text{н}}$ полосы.

При нахождении этих элементов мы будем принимать найденную ранее a_{i-1} за точную величину и погрешность m_i будет вытекать лишь из приближенности найденного значения $m_i - a_{i-1}$. Определим прежде всего действительную относительную погрешность m_i , найденной в первом приближении.

Пусть у нас площадь от линии A до средней линии проектируемой полосы m_i будет

$$Q_i = jQ .$$

Тогда точное значение m_i определится по формуле

$$m_i = \sqrt{A^2 + 2Qj \frac{A' - A}{H}} = \sqrt{A^2 + j(A'^2 - A^2)} ,$$

что же касается Δm_i , то для определения ее примем такой порядок: найдем ту площадь, исходя из которой вычисляется коэффициент k_i для $i^{\text{н}}$ полосы, найдем затем величину этого коэффициента и, наконец, приближенное значение $m_i - a_{i-1}$ по формуле

$$m_i - a_{i-1} = k_i q_i$$

и точное значение той же величины по формуле

$$m_i - a_{i-1} = \frac{h_i (A' - A)}{2H} ,$$

откуда

$$\Delta m_i = k_i q_i - \frac{h_i (A' - A)}{2H} . . . (25).$$

При принятом у нас принципе исчисления коэффициентов k_i должна при этом приниматься площадь не до средней линии m_i , а до a_{i-1} плюс $\frac{q_i}{2}$, а эта площадь Q'_i больше площади Q_i на величину треугольника OAB (см. черт 5), у которого основание

$$m_i - a_{i-1} , \text{ высота } \frac{h_i}{2} \text{ и площадь } \frac{h_i (m_i - a_{i-1})}{4} = \frac{h_i^2 (A' - A)}{8H} ,$$

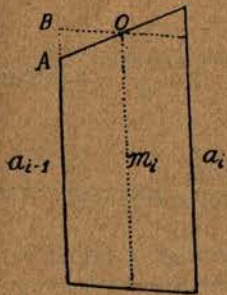
и, таким образом, имеем:

$$Q'_i = jQ + \frac{h_i^2(A' - A)}{8H}$$

тогда k_i по принятому у нас принципу определится формулой

$$\begin{aligned} k_i &= k_0 - \frac{Q'_i}{Q} (k_0 - k'_0) = k_0 - \left[j + \frac{h_i^2(A' - A)}{8HQ} \right] (k_0 - k'_0) = \\ &= \frac{A' - A}{2H} \left\{ \frac{1}{A} - \left[j + \frac{h_i^2(A' - A)}{8QH} \right] \left(\frac{1}{A} - \frac{1}{A'} \right) \right\} = \\ &= \frac{A' - A}{2HAA'} \left\{ A' - \left[j + \frac{h_i^2(A' - A)}{4H^2(A' + A)} \right] (A' - A) \right\} = \\ &= \frac{A' - A}{2HAA'} \left\{ A' - j(A' - A) - \frac{(A' - A)^2}{A' + A} \left(\frac{h_i}{2H} \right)^2 \right\}, \end{aligned}$$

Черт. 5.



а согласно формулы (25)

$$\begin{aligned} \Delta m_i &= \frac{(A' - A) q_i}{2HAA'} \left\{ A' - j(A' - A) - \frac{(A' - A)^2}{A' + A} \left(\frac{h_i}{2H} \right)^2 \right\} - \frac{h_i(A' - A)}{2H} = \\ &= \frac{(A' - A) m_i}{AA'} \cdot \frac{h_i}{2H} \left\{ A' - j(A' - A) - \frac{(A' - A)^2}{A' + A} \left(\frac{h_i}{2H} \right)^2 \right\} - (A' - A) \frac{h_i}{2H}, \end{aligned}$$

отсюда получаем

$$\frac{\Delta m_i}{m_i} = \frac{A' - A}{AA'} \cdot \frac{h_i}{2H} \left\{ A' - j(A' - A) - \frac{(A' - A)^2}{A' + A} \left(\frac{h_i}{2H} \right)^2 \right\} - \frac{(A' - A) \frac{h_i}{2H}}{\sqrt{A^2 + j(A'^2 - A^2)}},$$

где вместо m_i взято его точное значение.

Принимая теперь прежние обозначения

$$\frac{h_i}{2H} = \rho \text{ и } \frac{A'}{A} = r$$

имеем

$$\begin{aligned} \frac{\Delta m_i}{m_i} &= \frac{r - 1}{r} \rho \left\{ r - (r - 1)j - \frac{(r - 1)^2}{r + 1} \rho^2 \right\} - \frac{(r - 1)\rho}{\sqrt{1 + j(r^2 - 1)}} = \\ &= \frac{(r - 1)\rho}{r} \left\{ r - j(r - 1) - \frac{(r - 1)^2 \rho^2}{r + 1} - \frac{r}{\sqrt{1 + j(r^2 - 1)}} \right\}. \end{aligned}$$

Подставляя это значение в формулу (24) и заменяя m_i ее точным значением, получаем

$$\begin{aligned} \frac{\Delta' h_i}{h_i} &= \frac{A' - A}{\sqrt{A^2 + j(A'^2 - A^2)}} \cdot \frac{h_i}{2H} \cdot \frac{\Delta m_i}{m_i} = \frac{(r - 1)\rho}{\sqrt{1 + j(r^2 - 1)}} \cdot \frac{\Delta m_i}{m_i} = \\ &= \frac{(r - 1)^2 \rho^2}{r \sqrt{1 + j(r^2 - 1)}} \left\{ r - j(r - 1) - \frac{(r - 1)^2 \rho^2}{r + 1} - \frac{r}{\sqrt{1 + j(r^2 - 1)}} \right\}. \end{aligned}$$

Так как член

$$\frac{(r-1)^2 \rho^2}{r+1}$$

очень мал по сравнению с другими членами в скобках, то $\frac{\Delta' h_i}{h_i}$ приблизительно пропорционально ρ^2 .

Найдем теперь, при каком значении j функция $\frac{\Delta' h_i}{h_i}$ имеет Mx или Mn , для чего найдем ее первую производную по j .

$$\begin{aligned} \frac{d\left(\frac{\Delta h_i}{h_i}\right)}{dj} &= \frac{(r-1)^2 \rho^2}{r} \frac{d}{dj} \left\{ \frac{r-j(r-1) - \frac{(r-1)^2 \rho^2}{r+1}}{\sqrt{1+j(r^2-1)}} - \frac{r}{1+j(r^2-1)} \right\} = \\ &= \frac{(r-1)^2 \rho^2}{r} \left\{ -\frac{r-1}{\sqrt{1+j(r^2-1)}} - \frac{(r^2-1) \left[r-j(r-1) - \frac{(r-1)^2 \rho^2}{r+1} \right]}{2[1+j(r^2-1)]^{3/2}} + \frac{r(r^2-1)}{[1+j(r^2-1)]^2} \right\} = \\ &= -\frac{(r-1)^3 \rho^2}{2r[1+j(r^2-1)]^{3/2}} \left\{ [r(r+1) - j(r^2-1) - (r-1)^2 \rho^2 + 2 + 2j(r^2-1)] - \frac{2r(r+1)}{\sqrt{1+j(r^2-1)}} \right\} = \\ &= -\frac{(r-1)^3 \rho^2}{2r[1+j(r^2-1)]^{3/2}} \left\{ [1+j(r^2-1)] + [1+r(r+1) - (r-1)^2 \rho^2] - \frac{2r(r+1)}{\sqrt{1+j(r^2-1)}} \right\} = 0 \end{aligned}$$

Вводя обозначения:

$$\sqrt{1+j(r^2-1)} = x, \quad 1+r(r+1) - (r-1)^2 \rho^2 = p \quad \text{и} \quad -2r(r+1) = q, \quad \text{имеем}$$

$$x^2 + p + \frac{q}{x} = 0$$

или

$$x^3 + px + q = 0$$

Так как в нашем кубическом уравнении $p > 0$, ибо при принимаемых у нас значениях r

$$(r-1)^2 \rho^2 < 1,$$

то наше уравнение имеет 2 мнимых и один вещественный корень, выражаемый радикалами

$$x = \sqrt[3]{-\frac{q}{2} + \sqrt{\frac{q^2}{4} + \frac{p^3}{27}}} + \sqrt[3]{-\frac{q}{2} - \sqrt{\frac{q^2}{4} + \frac{p^3}{27}}}$$

Мнимые корни интересовать нас не могут, а определив вещественный корень данного уравнения, мы получим j из уравнения

$$1 + j(r^2 - 1) = x^2,$$

откуда

$$j = \frac{x^2 - 1}{r^2 - 1} .$$

Частные значения j , соответствующие различной величине r и значению $\rho = 0,1$, что дает

$$h_i = {}^{1/5}H ,$$

помещены в прилагаемой ниже табличке.

Возникает теперь вопрос, Mx или Mn функции $\frac{\Delta' h_i}{h_i}$ имеем мы при указанных значениях j .

r	j	e_h
1,1	0,47	0,000001
1,2	0,44	0,000005
1,3	0,41	0,000019
1,4	0,39	0,000048
1,5	0,37	0,000101
1,6	0,35	0,000182
1,7	0,33	0,00033

Для решения этого вопроса мы найдем при каком-либо частном значении r , например $r = 1,5$, значение функции $\frac{\Delta' h_i}{h_i}$ и сравним его с каким-либо соседним значением этой функции.

Так как

$$\text{при } r = 1,5 , j = 0,37 , \rho = 0,1 \text{ имеем } \frac{\Delta' h_i}{h_i} = e_h = 0,0001 ,$$

$$\text{а при } r = 1,5 , j = 0 , \rho = 0,1 \text{ получаем } \frac{\Delta' h_i}{h_i} = -\frac{(r-1)^2 \rho^4}{r(r+1)} = -0,000007$$

и при $r = 1,5, j = 1, \rho = 0,1$ соответств. $\frac{\Delta' h_i}{h_i} = -\frac{(r-1)^2 \rho^4}{r^2(r+1)} = -0,000005$,

т.-е. другими словами при $j = 0,37$ $e_h = 0,0001$,

а при $j = 0$ и $j = 1$

$\frac{\Delta' h_i}{h_i}$ имеет очень малую отрицательную величину, то из этого заключаем, что при значениях j , обращающих в нуль первую производную, мы имеем Mx функции $\frac{\Delta' h_i}{h_i}$, т.-е. e_h .

Значение e_h для различных r показано в прилагаемой табличке, из которой усматриваем, что при $\rho = 0,1$ для всех значений r , не превосходящих 1,5, e_h (не принимая во внимание погрешности от округлений) не превосходит 0,0001, а эта величина является достаточно малой для того, чтобы практически считать h точной величиной.

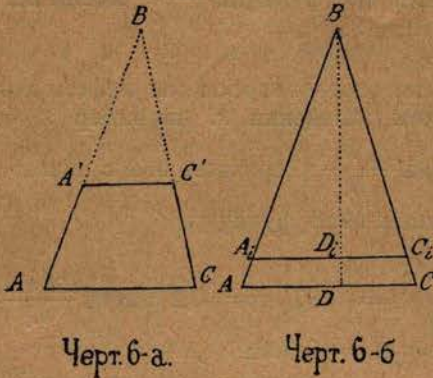
Пределы применения второго способа можно считать поэтому не ниже, чем способа первого. На этом и заканчиваем способ проектирования полос по приближенным формулам.

Остановимся здесь еще на способе проектирования полос, который обладает по отношению к величине $r = \frac{A'}{A}$ обратными свойствами, т.-е., способ этот применим при всяком r , за исключением случаев, когда эта

величина близка к 1, и он поэтому вместе с изложенным способом друг друга дополняют.

Это способ дополнения до треугольника.

В своем курсе „Землеустроительное проектирование“ (Москва, Госиздат, 1925 г) при проектировании единичных участков (хуторов, отрубов и проч.) применять способ этот я не рекомендовал, так как затрата времени на вычисление данных дополняющего треугольника не является в этом случае рациональной.



Если же предстоит разбить трапецию на несколько полос, то выводы получатся обратные, так как та же затрата времени дает возможность произвести проектирование более легким способом (по принципу деления треугольника, а не трапеции) уже нескольких участков, в данном случае полос.

Если нам нужно треугольник ABC площади $Q' + Q$, где Q площадь трапеции, а Q' площадь дополняющего треугольника, разбить линиями, параллельными AC , на n частей с площадью,

считая от вершины, $Q_1, Q_2, Q_3, \dots, Q_n = Q' + Q$, то для всякой Q_i мы имеем равенства:

$$\frac{Q_i}{Q' + Q} = \frac{A_i C_i^2}{AC^2} = \frac{BA_i^2}{BA^2} = \frac{BC_i^2}{BC^2} = \frac{BD_i^2}{BD^2},$$

в которых неизвестными оказываются $A_i C_i, BA_i, BC_i$ и BD_i . Величины эти можно определить из этих равенств по формулам:

$$A_i C_i = \frac{AC}{\sqrt{Q' + Q}} \cdot \sqrt{Q_i} = n_1 \sqrt{Q_i}, \dots (26).$$

$$BA_i = \frac{BA}{\sqrt{Q' + Q}} \sqrt{Q_i} = n_2 \sqrt{Q_i}, \dots (27).$$

$$BC_i = \frac{BC}{\sqrt{Q' + Q}} \cdot \sqrt{Q_i} = n_3 \sqrt{Q_i}, \dots (28).$$

$$BD_i = \frac{BD}{\sqrt{Q' + Q}} \cdot \sqrt{Q_i} = n_4 \sqrt{Q_i} \dots (29),$$

где n_1, n_2, n_3 и n_4 не зависят от i , т. е., годятся для всех полос.

Следует заметить, что отнюдь не нужно вычислять все величины $A_i C_i, BA_i, BC_i$ и BD_i по приведенным формулам, а достаточно найти лишь одну из них, и тогда остальные элементы полосы, могут быть вычислены более простым способом.

Возникает поэтому вопрос, какую же именно из этих величин нужно вычислять по приведенным формулам.

При решении этого вопроса следует принять прежде всего во внимание, какие из величин заданной для разбивки трапеции можно считать точными и какие являются приближенными.

Параллельные стороны трапеции AC и $A'C'$ явились в результате вычислительных операций, согласованных с координатными данными, и эти линии можно принимать за точные (параллельные линии в заснятых на местности ходах могут быть лишь как крайне редкие исключения). Высота трапеции H была исправлена при вычислении элементов трапеции, и её также можно принять за точную величину; что же касается линий AA' и CC' , то обычно обе они, или по крайней мере одна из них, берется по данным измерений в натуре и неисправленную от увязки полигона. Эти стороны являются поэтому приближенными.

Целесообразнее и точнее положить в основу вычислений данные точные, и поэтому мы формулы (27) и (28) отбросим, а из двух других формул примем в основу пока формулу (26) и разберем подробно все последующие операции.

Перепишем прежде всего эту формулу, по соображениям, которые обнаружатся в дальнейшем, следующим образом

$$A_i C_i = \frac{AC}{\sqrt{2Q' + 2Q}} \sqrt{2Q_i} = n \sqrt{2Q_i} .$$

Составим ведомость, помещенную ниже, для чего прежде всего возьмем все заданные для проектирования площади q_i , где счет i идет от основания $C'A'$, и удвоим их; потом суммированием определим все $2Q_i$, где

$$2Q_i = 2q_1 + 2q_2 + 2q_3 + \dots + 2q_i .$$

Найдя величину коэффициента $n = \frac{AC}{\sqrt{2Q' + 2Q}}$, определим все

$A_i C_i = a_i$ по указанной формуле

$$a_i = n \sqrt{2Q_i}$$

и запишем вместе с ними заданные величины

$$A'C' = A = a_0 \text{ и } AC = A' = a_n .$$

Определив затем удвоенные средние линии $2m_i$ и, имея для проверки, что

$$\sum_{i=1}^{i=n} 2m_i = 2 \sum_{i=1}^{i=n} a_i - (A + A'),$$

найдем все h_i по формуле

$$h_i = \frac{2q_i}{2m_i} .$$

Для проверки имеем

$$\sum_{i=1}^{i=n} h_i = H .$$

Вот здесь уже обнаруживается, что мы брали $2Q_i$ вместо Q_i для того, чтоб можно было ограничиться нахождением $2m_i$ вместо m_i и избаться от деления $a_{i-1} + a_i$ на 2.

N	$2q_i$	$2Q_i$	$\sqrt{2O_i}$	$a_i =$ $= n \sqrt{2Q_i}$	$2m_i =$ $= a_{i-1} + a_i$	$h_i =$ $= \frac{2q_i}{2m_i}$	$b_i =$ $= h_i \frac{B}{H}$	$b'_i =$ $= h_i \cdot \frac{B'}{H}$	Примечания
1	$2q_1$	$2Q'$	$\sqrt{2Q'}$	a_0	$a_0 + a_1$	h_1	b_1	b'_1	
2	$2q_2$	$2Q_1$	$\sqrt{2Q_1}$	a_1	$a_1 + a_2$	h_2	b_2	b'_2	
		$2Q_2$	$\sqrt{2Q_2}$	a_2					
i	$2q_i$	$2Q_{i-1}$	$\sqrt{2Q_{i-1}}$	a_{i-1}	$a_{i-1} + a_i$	h_i	b_i	b'_i	
		$2Q_i$	$\sqrt{2Q_i}$	a_i					
n-1	$2q_{n-1}$	$2Q_{n-2}$	$\sqrt{2Q_{n-2}}$	a_{n-2}	$a_{n-2} + a_{n-1}$	h_{n-1}	b_{n-1}	b'_{n-1}	
		$2Q_{n-1}$	$\sqrt{2Q_{n-1}}$	a_{n-1}					
n	$2q_n$				$a_{n-1} + a_n$	h_n	b_n	b'_n	
		$2Q' + 2Q$	$\sqrt{2Q' + 2Q}$	a_n					
	$2Q$			$\sum_{i=0}^n a_i$	$2 \sum_{i=1}^n a_i - (a_0 + a_n)$	H	B	B'	

Боковые стороны b_i и b'_i определяются из формул:

$$b_i = h_i \cdot \frac{B}{H}$$

$$b'_i = h_i \cdot \frac{B'}{H},$$

где B и B' суть боковые стороны заданной трапеции; поверкой служат здесь формулы:

$$\sum_{i=1}^n b_i = B,$$

$$\sum_{i=1}^n b'_i = B'.$$

Теперь представим себе, что какое либо основание проектируемой полосы, например a_i , вычислено неверно и пусть

$$\Delta a_i > 0.$$

Такая ошибка могла получиться либо от неверного вычисления $\sqrt{2Q_i}$, либо от неверного выполнения умножения

$$n\sqrt{2Q_i};$$

тогда и $2m_i$ и $2m_{i+1}$, заключая в себе неверное слагаемое a_i , будут ошибочны и больше точных своих значений, а вследствие этого h_i и h_{i+1} окажутся меньшими, чем их истинные значения, и таким образом

$$\sum_{i=1}^n h_i$$

будет меньше H , и это покажет нам на неправильность вычислений.

Из треугольника, дополняющего нашу трапецию до нового треугольника, требуется нам при этом способе вычислений лишь площадь Q' , которую можно получить из подобия треугольников следующим образом:

$$\frac{Q'}{Q' + Q} = \frac{A^2}{A'^2},$$

откуда

$$\frac{Q'}{Q} = \frac{A^2}{A'^2 - A^2}$$

или

$$Q' = \frac{A^2 Q}{A'^2 - A^2} = \frac{A^2 Q}{(A' + A)(A' - A)} = \frac{A^2 H}{2(A' - A)},$$

где H есть высота заданной трапеции, и половина ее получается от деления площади трапеции Q на удвоенную среднюю линию $A' + A$.

Рассмотрим теперь тот случай, когда мы воспользуемся формулой (29), как основной для вычисления элементов проектируемых полос.

В той ведомости, которая будет соответствовать этому случаю и которую мы здесь за ее практической бесполезностью не помещаем, первые 3 столбца будут в точности соответствовать предыдущей ведомости, с той лишь разницей, что здесь будут взяты не удвоенные Q_i ; 4-й столбец даст нам H_i , а пятый

$$h_i = H_i - H_{i-1},$$

что соответствует в предыдущей ведомости

$$2m_i = a_{i-1} + a_i ;$$

но в дальнейшем между этими ведомостями обнаруживается резкая разница, ибо тогда как по 2-ой ведомости можно уже сразу вычислять b_i и b'_i , по первой нужно еще находить h_i , и вследствие этого может получиться впечатление, что 2-ая ведомость удобнее 1-ой.

Но на самом деле это совсем не так, ибо 2-ая ведомость не дает проверок и ошибка в H_i остается в дальнейшем незамеченной, отразившись на h_i и h_{i+1} .

Чтоб иметь здесь проверку, нужно найти все m_i и убедиться в правильности формулы

$$q_i = h_i m_i .$$

Нахождение же m_i можно произвести путем предварительного определения $m_i - a_{i-1}$ по формуле

$$m_i - a_{i-1} = h_i \frac{A' - A}{2H} ,$$

и последующего суммирования этих величин между собою и с A .

Сопоставив теперь проектирование полос по формулам (26) и (29), видим, что первый способ является значительно менее громоздким, и его можно рекомендовать предпочтительнее перед последним. Удобнее он и потому, что h_i при значительной величине H_i получаются менее точными, если не добавить в коэффициенте n лишний знак.

При близкой к 1 величине отношения $\frac{A'}{A}$ дополнение трапеции до треугольника окажется очень большим по площади и потому все Q_i окажутся еще большими числами, и извлечение из них корней будет громоздким.

Таким образом оказывается, что в смысле пределов применения оба упомянутые способа обладают обратными свойствами и в практическом отношении дополняют друг друга.

Относительно проектирования полос дополнением до треугольника имеется сообщение Л. Синельникова в № 10 „Землеустроителя“ за 1925 г., в котором с достаточной полнотой отмечен принцип выгодности использования коэффициентов n для вычисления всех H_i или боковых сторон по формулам (27) и (28), но в указанном сообщении намеченная схема не дает проверки результата, без чего применение ее рекомендовать не представляется возможным.

Далее, в части своих вариантов Л. Синельников рекомендует пользоваться логарифмами, с чем нельзя согласиться вследствие громоздкости этого метода, а в части вариантов рекомендует строить вычисления на тригонометрических функциях углов, что также нельзя рекомендовать, так как этот способ требует предварительного перечисления углов по увязанным данным, что создает лишнюю операцию. Далее, Л. Синельников не приводит варианта (26) вовсе, а он является особенно удобным.

Всеми изложенными соображениями вызвана необходимость частью дополнить, частью корректировать способы, предложенные Л. Синельниковым, что и ставит себе целью 2-ая часть настоящей статьи.

Следует отметить, что как способ проектирования полос по приближенным формулам, так и способ дополнения до треугольника выгодно

применять лишь в том случае, если заданный участок делится на более или менее значительное число полос, так как только в этом случае становится выгодным произвести сравнительно сложную предварительную подготовку участка.

В том же случае, когда нужно спроектировать лишь 3—4 полосы, можно рекомендовать проектирование по формулам (*) и (**), которые после замены в них

$$tq\alpha \text{ и } tq\beta + tq\gamma \text{ на } \frac{A' - A}{H}$$

дадут общую формулу

$$a' = \sqrt{a^2 + 2Q \frac{A' - A}{H}},$$

но тогда как для случая проектирования единичных участков формы косоугольной трапеции мною в моем курсе „Землеустроительное Проектирование“ рекомендуется по найденной высоте определить b и b' и по ним найти катеты, составляющие в алгебраической сумме $a' - a$, — в данном случае можно рекомендовать тотчас же по определении h найти $a' - a$ по формуле

$$a' - a = h(tq\beta + tq\gamma) = h \frac{A' - A}{H}$$

и тем поверить правильность проектирования полосы, отрезки же b_i и b'_i можно найти одновременно для всех полос умножением h_i на $\frac{B}{H}$ и $\frac{B'}{H}$, а это создает значительное упрощение в вычислительных операциях.

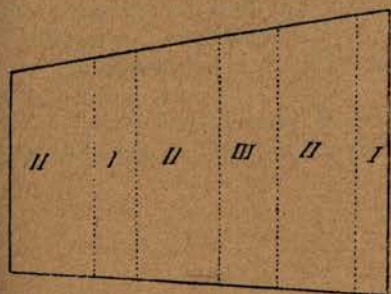
Скажем еще несколько слов о проектировании полос формы трапеции по данным оценки.

В курсе моем „Землеустроительное проектирование“ достаточно подробно развито то соображение, что проектирование по оценочным данным аналитическим способом удобно производить лишь в том случае, если оценочная работа будет согласована с работой по проектированию. С особенным успехом это соображение можно применить к проектированию полос по данным оценки.

Пусть требуется нам разбить трапецию $ABCD$ на полосы линиями, параллельными линиям AB и CD .

Производим оценку этого участка, независимо от предыдущей оценочной работы также линиями, параллельными линиям AB и CD и пусть пунктирные линии черт. 7 представляют собой оценочные линии, а римские цифры обозначают оценочные категории.

Здесь полосы, обозначенные одинаковыми категориями, могут и не представлять собою однородных по качеству площадей, но поскольку известно, что одни и те же земле-



Черт. 7.

пользователи получают землю насквозь от линии AD до BC , то ценить эти полосы можно таким образом, чтобы категория характеризовала

среднюю ценность этой полосы, и последнее обстоятельство неудобств при оценке не создаст.

Далее, для удобства расчетов основной категорией для данного участка можно избрать совсем не ту категорию, которая была основной при общей оценке земли дачи, а ту, которая является наиболее распространенной в данном участке, т.-е., для приведенного примера—II категорию. Переведя всю площадь в основную категорию, установим право на землепользование всех граждан, получающих землю в данном участке, произведем затем расчет, сколько какой категории получит каждый землепользователь и спроектируем полученные общие для каждого землепользователя площади.

Таким путем проектирование полос по оценке требует лишь незначительной дополнительной вычислительной работы и может быть с успехом применено повсеместно взамен бесконечных согласительных пререканий с гражданами.

Заканчивая настоящую статью, должен указать, что в практических испытаниях указанных способов принимали участие мои ученики — ассистент кафедры М. Л. Лейвиков и научный сотрудник по исследовательской части Г. Н. Чернявский, а натолкнул меня на мысль взяться за разработку способа проектирования по приближенным формулам студент 4-го курса Землеустроительного факультета Академии Л. Ш. Чернухин, за что приношу здесь им мою искреннюю благодарность.

Проф. В. Киркор.

1 Июня 1926 года
г. Горки.

Das Projektieren von Streifen, welche Trapezform besitzen, mittelst der analytischen Methode.

Bei Anwendung eines Aritmometers lassen sich zwecks Auseinanderlegung von Flächen, welche Trapezform besitzen, in Streifen—einige besondere, in Folgendem zum Vorschlag kommende Methoden anwenden.

1. Die erste von diesen Methoden besteht in einer vorhergehenden Berechnung des Unterschiedes zwischen den parallelen Seiten eines jeden Streifens nach dem Princip einer Anordnung dieser Unterschiede proportional den Flächen der Streifen nach der Formel:

$$\frac{a' - a}{2} = kq_i,$$

in welcher a' und a die parallelen Seiten der Streifen, q_i die Fläche des betreffenden Streifens, k jedoch den für alle Flächen gemeinsamen Koeffizienten, der Gleich ist $\frac{A' - A}{2Q}$, darstellen.

2. Die zweite Methode unterscheidet sich von der ersten dadurch, dass die Grösse des Koeffizienten k nicht für alle Flächen ein und dieselbe ist, sich vielmehr proportional den Flächen der Streifen ändert. Diese Methode lässt sich anwenden, wenn das Verhältniss zwischen den parallelen Seiten der Fläche in den Grenzen zwischen 1 und 1,4 schwankt.

3. Die dritte Methode besteht in einer Vervollkommnerung der in der russischen Literatur bereits bekannten Methode einer Ergänzung bis zur Form einer Dreieck's (Der Landeinrichtler (Semleustroitels) 1925 № 10), welche in einer vorhergehenden Berechnung der Grundlinien der Streifen und der Verwendung des Princip's der Proberechnung besteht. Diese Methode ergänzt die erste Methode und ist in dem Fall anwendbar, wenn die Anwendung der ersteren unbequem erscheint, und umgekehrt.

4. Die vierte Methode stellt an sich eine unmittelbare Abänderung für den gegebenen Fall der von mir in meinem Handbuch „Projektieren beim Feldmessen“ Moskau 1925 vorgeschlagenen Methode der Projektirung einzelner Landparzellen mit Hilfe der Berechnung einer zweiten Grundlinie nach der Formel dar.

Diese Abänderung besteht in der Anwendung der Proberechnung ohne vorhergehende Berechnung der Seitenlinien des Trapezes.

Prof. W. Kirkor.

О формулах линейных невязок в угломерных полигонах.

При последующих выводах мне придется сослаться на следующие источники:

№ 1. „О погрешностях и невязках в теодолитных полигонах“ проф. Ф. Красовский; Москва 1915 г.

№ 2. „Полигонометрическая сеть“ проф. Н. Н. Веселовский; посмертное издание под редакцией проф. А. С. Чеботарева; Москва 1923 г.

№ 3. „Оценка точности результатов измерений в угломерных полигонах“ проф. А. С. Чеботарев; Москва, журнал „Геодезист“ № 3; сентябрь 1925 г.

№ 4. „Увязывание полигонов“ А. С. Чеботарев; журнал „Труды Топографо-Геодезической Комиссии“ выпуск XXI; Москва 1907 г.

№ 5. „Приемы обработки результатов непосредственных измерений в сомкнутых теодолитных ходах“ Н. Н. Веселовский; Москва 1912 г.

№ 6. „Курс Низшей Геодезии“ проф. С. М. Соловьев; 3-е издан. Москва 1914 г.

№ 7. „Влияние размеров и формы теодолитного полигона на величину невязки в периметре“ проф. П. И. Шилов; журн. „Геодезист“ № 5-6; Москва, март 1926 г.

При ссылках условимся указывать приведенный выше номер источника.

§ 1... Известно, что в русской землемерной практике¹⁾ до сих пор держится обычай определять допустимость полученной линейной невязки

$$\rho = \sqrt{(\sum \Delta x)^2 + (\sum \Delta y)^2}$$

беря ее отношение к периметру P данного полигона. Не приходится доказывать произвольность этого способа. Иногда о допустимости невязки судят по „таблицам допускаемых разностей двойного измерения линий“. Этот прием тоже нельзя рекомендовать, т. к. приведенные таблицы учитывают лишь погрешности линейных измерений и совершенно не считаются с числом углов полигона и точностью угловых измерений. Для величины же допустимой линейной невязки замкнутого полигона преобладающее значение имеет как раз член, выражающий влияние ошибок измерения углов.²⁾ Поэтому понятно стремление геодезистов дать обоснованную формулу допустимой линейной невязки полигона. Особенно осложняется вопрос для случая свободного замкнутого полигона произвольной формы.

Обработку полевых данных полигонного хода можно вести двояким путем: 1) не увязывая углов вычислить азимуты, приращения и действительную линейную невязку ρ ; 2) сначала увязать углы и уже затем вычислять азимуты, приращения и невязку ρ . Сообразно этим двум путям

¹⁾ Имеются ввиду, главным образом, землемерные работы при землеустройстве.

²⁾ См. № 1 стр. 11-я.

выводится и два вида формул допустимых линейных невязок. Ввиду сложности вопроса во втором случае обычно допускают упрощающее дело предположение, а именно, полагают невязку разложенной на все углы поровну. По существу, при измерениях равноточных, это предположение вполне естественно. Если обозначить допустимую линейную невязку (среднюю квадрат. ошибку) через M , то, при условии независимости линейных и угловых измерений между собой, можно написать $M^2 = M_1^2 + M_A^2$, где M_1^2 и M_A^2 суть квадраты членов, выражающих влияние на невязку M ошибок линейных (M_1) и угловых (M_A) измерений. Очевидно, первый член (M_1^2) будет одинаков при обоих упомянутых способах обработки полевого материала. Вообще этот член лучше изучен и его можно принять тождественным во всех формулах допустимых невязок, предлагаемых разными учеными. Величина M_1 зависит от систематических и случайных погрешностей линейных измерений и полный вид этого члена будет:

$$M_1^2 = f^2 \rho^2 + \mu_1^2 [1]_1 + \mu_2^2 [1]_2 + \mu_3^2 [1]_3$$

Здесь f — коэффициент систематических ошибок, а μ_1, μ_2, μ_3 — коэффициенты случайных ошибок для 1-го, 2-го и 3-го классов местности.

Если местность не различать по классам, то три последние члена написанной формулы сольются в один член $\mu^2 \rho$, т. к. через l обозначены меры сторон полигона.

В замкнутых полигонах следует считать, что влияние систематических ошибок частично взаимно погашается ¹⁾.

Если в этом последнем случае квадрат влияния систематических ошибок линейных измерений на невязку обозначать через δ^2 , то следует положить $\delta^2 < f^2 \rho^2$.

Иногда для замкнутых полигонов этот член совсем отбрасывают. Обращаясь теперь к члену M_A^2 укажем, что формулы, даваемые для него различными авторами, значительно разнятся между собой, иногда лишь по внешнему виду, а иногда по существу. Особенно трудным становится вопрос определения M_A^2 для второго из упомянутых выше способов обработки полевого материала.

Но зато этот второй способ и есть характерный для приемов, принятых в нашем Союзе.

В последующем я все внимание буду посвящать именно этому члену M_A^2 и попытаюсь выразить его в наиболее простой функции результатов полевых измерений.

Первый же член M_1^2 , в согласии с выводами других специалистов, я приму в виде $M_1^2 = \delta^2 + \mu^2 \rho$.

Нужно отметить, что предвычисляя невязку мы не в состоянии определить ее направление и говорим лишь о некотором среднем линейном ее значении.

Другими словами, величину M приходится определять, как среднюю квадратическую ошибку выражений

$$\sum \Delta x \text{ и } \sum \Delta y$$

Предпринятую работу я считаю не лишней по следующим мотивам: признавая всю неправильность упомянутых выше способов определения

¹⁾ См. № 1.

допустимой невязки и считая приводимые ниже формулы проф. Ф. Н. Красовского и проф. М. Г. Михайлова достаточно строгими, я все же полагаю, что эти формулы остановят рядового землеустроителя своею относительной сложностью ¹⁾ и тем самым толкнут его на привычный неправильный путь.

§ 2... Условимся в следующих обозначениях: α — азимуты сторон полигона; l — меры их; D_{i-r} — диагонали между вершинами i и r ; β_{i-r} — азимуты этих диагоналей; n — число вершин полигона; A_i — его внутренние углы; P — его периметр; m_A — ср. кв. ошибка измерения отдельного угла; L_{o-i} — расстояние от центра тяжести O вершин полигона

$$\left(x_o = \frac{\sum x_i}{h} ; y_o = \frac{\sum y_i}{h} \right)$$

до вершин его; f и μ уже поясненные выше ср. кв. ошибки линейных измерений. Полагая все углы измеренными одинаково точно ($m_A = \text{const}$) выпишем формулы различных авторов для M^2 .

А... для вычислений по неувязанным углам.

Ф-ла 1-я ... $M^2 = \delta^2 + \mu_1^2 [1]_1 + \mu_2^2 [1]_2 + \mu_3^2 [1]_3 + m_A^2 (D_{1-2}^2 + D_{1-3}^2 + \dots + D_{1-n}^2)$;

$$\text{или } M^2 = M_1^2 + m_A^2 \sum_{i=2}^{i=n} D_{1-i}^2 ;$$

дана проф. Ф. Н. Красовским (№ 1 стр. 6).

Ф-ла 2-я ... $M^2 = \mu_1^2 [1]_1 + \mu_2^2 [1]_2 + \mu_3^2 [1]_3 + m_A^2 \{ l_2^2 + 2l_3^2 + \dots + (n-1) l_n^2 \}$;

$$\text{или } M^2 = M_1^2 + m_A^2 \{ l_2^2 + 2l_3^2 + 3l_4^2 + \dots + (n-1) l_n^2 \} ;$$

дана проф. Н. Н. Веселовским (№ 2 стр. 87).

В... для вычислений по увязанным углам.

Ф-ла 3-я

$$M^2 = \delta^2 + \mu^2 \sum_{i=1}^{i=n} l_i + m_A^2 \{ D_{1-2}^2 + D_{1-3}^2 + \dots + D_{1-n}^2 \} -$$

$$- \frac{m_A^2}{n} \left\{ l_2 \sin \alpha_2 + 2 l_3 \sin \alpha_3 + \dots + (n-1) l_n \sin \alpha_n \right\}^2 -$$

$$- \frac{m_A^2}{n} \left\{ l_2 \cos \alpha_2 + 2 l_3 \cos \alpha_3 + \dots + (n-1) l_n \cos \alpha_n \right\}^2 ;$$

$$\text{здесь } M_1^2 = \delta^2 + \mu^2 \sum_{i=1}^{i=n} l_i , \text{ а}$$

¹⁾ Ф-лы проф. М. Г. Михайлова для члена $M_A^2 \sum L_{o-i}^2$, которое имеет простой вид, но требует предварительной накладки окружной межи по координатам, отыскания на плане центра тяжести вершин полигона, графического определения расстояния L и последующего возведения их в квадрат.

$$M_A^2 = m_A^2 \sum_{i=1}^{i=n} D_{1-i}^2 - \frac{m_A^2}{n} \left\{ l_2 \sin \alpha_2 + 2l_3 \sin \alpha_3 + (n-1)l_n \sin \alpha_n \right\}^2 -$$

$$- \frac{m_A^2}{n} \left\{ l_2 \cos \alpha_2 + 2l_3 \cos \alpha_3 + \dots (n-1)l_n \cos \alpha_n \right\}^2$$

дана проф. Ф. Н. Красовским (№ 1, стр. 9).

Ф-ла 4-я

$$M^2 = \mu_1^2 [1]_1 + \mu_2^2 [1]_2 + \mu_3^2 [1]_3 + m_A^2 \sum_{i=1}^{i=n} L_{o-i}^2 ;$$

$$\text{или } M^2 = M_1^2 + m_A^2 \sum_{i=1}^{i=n} L_{o-i}^2 ,$$

дана проф. М. Г. Михайловым (№ 2, стр. 92)

Примечание: Ф-лы выписаны для замкнутых полигонов. Для полигонов разомкнутых, близких к прямолинейному ходу, в ф-лах 1-й и 3-й член δ^2 должен принять вид $f^2 \rho^2$, а в ф-лах 2-й и 4-й, где величина δ^2 не фигурировала (была опущена), должен быть приписан тот же член $f^2 \rho^2$.

Для случая разомкнутого хода с приблизительно одинаковыми длинами сторон и с углами, близкими к 180° , следует указать еще ф-лу:

$$M^2 = f^2 \rho^2 + \mu^2 \rho + m_A^2 \rho^2 \frac{2n^3 + 3n^2 + n}{6} ,$$

которая после некоторых упрощений последнего члена, ограничиваясь его приближен. значением, даст

$$M^2 = f^2 \rho^2 + \mu^2 \rho + \frac{m_A^2}{3} \cdot \frac{\rho}{l} \cdot \rho^2 \quad 1)$$

Эта формула дана для вычисления по неувязанным углам.

Для случая увязанных углов приближенное выражение последнего члена будет

$$\frac{m_A^2}{12} \cdot \frac{\rho}{l} \cdot \rho^2 \quad \text{или же} \quad \frac{m_A^2}{12} \cdot n \rho^2 \quad 2)$$

§ 3-й... Если рассматривать вершины полигона, как систему материальных точек, приписав каждой точке массу, равную единице, то выражение

$$\sum_{i=1}^{i=n} L_{o-i}^2$$

будет ничто иное, как момент инерции нашей системы относительно оси, проходящей через центр тяжести системы О, перпендикулярно к плоскости тертежа. Обозначим этот момент инерции нашей системы можно найти относительно осей, проходящих через любую из вершин полигона перпендикулярно к плоскости чертежа (значит, все оси

1) См. № 6 стр. 1062;

2) Jordans „Handbuch der Vermessungskunde“, В. II, s. 480.

будут параллельны между собой). Эти моменты инерции обозначим соответственно номерам вершин полигона через I_1, I_2, \dots, I_n .

Очевидно:

$$I_1 = \left\{ D_{i-3}^2 + D_{i-2}^2 + \dots + D_{i-n}^2 \right\} = \sum_{i=2}^{i=n} D_{1-i}^2 ; \quad i \neq 1 ;$$

$$I_2 = \sum_{i=1}^{i=n} D_{2-i}^2 ; \quad i \neq 2 ; \quad I_n = \sum_{i=1}^{i=n-1} D_{n-i}^2 ; \quad i \neq n ;$$

Из механики имеем теорему: момент инерции системы относительно какой либо оси равен моменту инерции той же системы относительно оси, параллельной первой оси, проходящей через центр тяжести системы, + (плюс) произведение массы системы на квадрат расстояния между осями.

Для нашего случая она дает равенства:

$$I_1 = I_0 + nL_{o-1}^2 ; \quad I_2 = I_0 + nL_{o-2}^2 ; \quad \dots \quad I_n = I_0 + nL_{o-n}^2 .$$

Так как I_0 для данного полигона есть величина постоянная, не зависящая от того, какую из вершин мы выберем за начальную, а расстояния L_{o-i} вообще не равны между собой, то получаем следствие: член M_A^2 в ф-ле М. Г. Михайлова, выведенной в предположении предварительной увязки углов, есть величина постоянная, не зависящая от выбора начальной точки, а член M_A^2 в ф-ле № 1 проф. Ф. Н. Красовского зависит от такого выбора. Этот вывод не есть что-либо новое. Более общее доказательство упомянутого положения (зависимости величины M_A от выбора начальной вершины при обработке материала по неувязанным углам) сделано проф. А. С. Чеботаревым в 1907 г.¹⁾ совершенно иным путем. Остановим свое внимание на этой зависимости величины M_A от выбора начальной вершины. Такую зависимость надо признать весьма нежелательным обстоятельством, т. к. для характеристики вполне определенной действительной невязки мы будем получать различные ср. кв. ошибки, величины которых могут отличаться друг от друга на 100% и даже более.

Чтобы такую зависимость уничтожить положим в ф-ле 1-й,

$$M_A^2 = m_A^2 \frac{I_1 + I_2 + \dots + I_n}{n} ,$$

т.е. примем для M_A^2 среднее из всевозможных в данном полигоне значений. Но

$$\sum_{i=1}^{i=n} I_i = nI_0 + n \sum_{i=1}^{i=n} L_{o-i}^2 = 2nI_0 \dots (I).$$

Приняв для M_A^2 среднее значение

$$2m_A^2 I_0 = 2m_A^2 \sum_{i=1}^{i=n} L_{o-i}^2 ,$$

¹⁾ См. № 4.

напишем ф-лу 1-ю в виде:

$$M^2 = M_1^2 + 2m_A^2 \sum_{i=1}^{i=n} l_{o-i}^2 \dots \text{ф-ла 1'}$$

Отсюда мы можем получить следствие: значение члена M_A^2 , найденное в случае предварительной увязки углов, будет, в среднем, вдвое меньше значения того же члена, полученного при углах неувязанных. Этот вывод хорошо согласуется и с соображениями проф. Ф. Н. Красовского, сделанными им на основании опытных данных ¹⁾.

§ 4... Очевидно, что в ф-ле 2-й член M_A^2 дан в виде зависящем от выбора начальной вершины. Сделаем преобразование этого члена в смысле уничтожения указанной зависимости. Для этого возьмем опять для M_A^2 среднее значение из возможных для него n значений.

Получим

$$M_A^2 = \frac{m_A^2}{n} \left\{ l_1^2 \cdot 0 + l_2^2 \cdot 1 + l_3^2 \cdot 2 + \dots + l_{n-2}^2 (n-3) + l_{n-1}^2 (n-2) + l_n^2 (n-1) + \right. \\ \left. + l_2^2 \cdot 0 + l_3^2 \cdot 1 + l_4^2 \cdot 2 + \dots + l_{n-1}^2 (n-3) + l_n^2 (n-2) + l_1^2 (n-1) + \right. \\ \dots \\ \left. + l_n^2 \cdot 0 + l_1^2 \cdot 1 + l_2^2 \cdot 2 + \dots + l_{n-3}^2 (n-3) + l_{n-2}^2 (n-2) + l_{n-1}^2 (n-1) \right\} \\ M_A^2 = \frac{m_A^2}{n} \sum_{i=1}^{i=n} l_i^2 \{ 1 + 2 + \dots + (n-1) \} = \frac{m_A^2 (n-1)}{2} \cdot \sum_{i=1}^{i=n} l_i^2$$

Таким образом ф-ла 2-я примет вид:

$$M^2 = M_1^2 + \frac{m_A^2 (n-1)}{2} \sum_{i=1}^{i=n} l_i^2 \dots \text{ф-ла 2'}$$

§ 5... Преобразуем выражение члена M_A^2 в ф-ле 3-й.

Выражения, стоящие в скобках поправочных членов очевидно суть суммы проекций диагоналей D_{1-i} на оси ординат и абсцисс.

Значит можно написать:

$$M_A^2 = m_A^2 \left\{ D_{1-2}^2 + D_{1-3}^2 + \dots + D_{1-n}^2 \right\} - \\ - \frac{m_A^2}{n} \left\{ D_{1-2} \sin^2 \beta_{1-2} + D_{1-3} \sin^2 \beta_{1-3} + \dots + D_{1-n} \sin^2 \beta_{1-n} \right\}^2 - \\ - \frac{m_A^2}{n} \left\{ D_{1-2} \cos^2 \beta_{1-2} + D_{1-3} \cos^2 \beta_{1-3} + \dots + D_{1-n} \cos^2 \beta_{1-n} \right\}^2 ;$$

¹⁾ См. № 1, стр. 11; проф. Ф. Н. Красовский принимает коэффициент этого соотношения не два, а полтора ($1\frac{1}{2}$).

Производя указанное возведение в квадрат и группируя члены, найдем

$$M_A^2 = m_A^2 \sum_{i=2}^{i=n} D_{1-i}^2 - \frac{m_A^2}{n} \left\{ \sum_{i=2}^{i=n} D_{1-i}^2 \sin^2 \beta_{1-i} + \sum_{i=2}^{i=n} D_{1-i}^2 \cos^2 \beta_{1-i} \right\} -$$

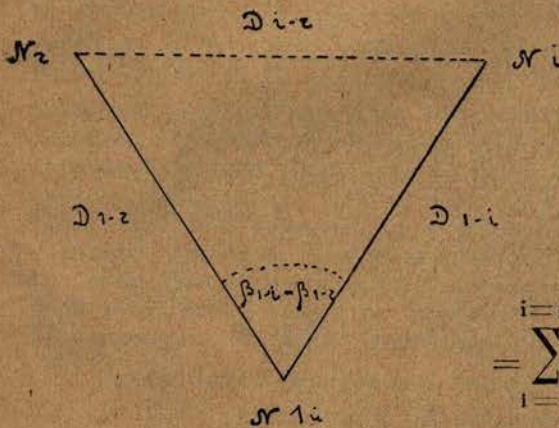
$$- \frac{m_A^2}{n} \left\{ \sum_{i=2}^{i=n} \sum_{r=2}^{r=n} 2D_{1-i} \cdot D_{1-r} \sin \beta_{1-i} \cdot \sin \beta_{1-r} + \sum_{i=2}^{i=n} \sum_{r=2}^{r=n} 2D_{1-i} D_{1-r} \cos \beta_{1-i} \cos \beta_{1-r} \right\} ;$$

$$M_A^2 = \frac{m_A^2(n-1)}{n} \sum_{i=2}^{i=n} D_{1-i}^2 - \frac{m_A^2}{n} \sum_{i=2}^{i=n} \sum_{r=2}^{r=n} 2D_{1-i} D_{1-r} \cos(\beta_{1-i} - \beta_{1-r}) ;$$

Выражение

$$\sum_{i=2}^{i=n} \sum_{r=2}^{r=n} 2D_{1-i} D_{1-r} \cos(\beta_{1-i} - \beta_{1-r})$$

представляет сумму членов, число коих равно C_{n-1}^2 (числу сочетаний)



Черт 1^а

Из прилагаемого чертежа вид-

но, что $2D_{1-i} D_{1-r} \cos(\beta_{1-i} - \beta_{1-r}) = D_{1-i}^2 + D_{1-r}^2 - D_{i-r}^2$.

Значит,

$$\sum_{i=2}^{i=n} \sum_{r=2}^{r=n} 2D_{1-i} D_{1-r} \cos(\beta_{1-i} - \beta_{1-r}) =$$

$$= \sum_{i=1}^{i=n} \sum_{r=1}^{r=n} (D_{1-i}^2 + D_{1-r}^2 - D_{i-r}^2) =$$

$$= \sum_{i=2}^{i=n} \sum_{r=2}^{r=n} (D_{1-i}^2 + D_{1-r}^2) -$$

$$- \sum_{i=2}^{i=n} \sum_{r=2}^{r=n} D_{i-r}^2 .$$

В сумме

$$\sum_{i=2}^{i=n} \sum_{r=2}^{r=n} (D_{1-i}^2 + D_{1-r}^2)$$

есть общие члены, и нетрудно сообразить, что каждый член здесь повто-

ряется слагаемым $(n-2)$ раза. Так что

$$\sum_{i=2}^{i=n} \sum_{r=2}^{r=n} (D_{1-i}^2 + D_{i-r}^2) = (n-2) \sum_{i=1}^{i=n} D_{1-i}, \text{ а}$$

$$M_A^2 = \frac{m_A^2 (n-1)}{n} \sum_{i=2}^{i=n} D_{1-i}^2 - \frac{m_A^2 (n-2)}{n} \sum_{i=2}^{i=n} D_{1-i}^2 + \frac{m_A^2}{n} \sum_{i=2}^{i=n} \sum_{r=2}^{r=n} D_{i-r}^2 ;$$

$$M_A^2 = \frac{m_A^2}{n} \left\{ \sum_{i=2}^{i=n} D_{1-i}^2 + \sum_{i=2}^{i=n} \sum_{r=2}^{r=n} D_{i-r}^2 \right\}$$

$\sum_{i=2}^{i=n} \sum_{r=2}^{r=n} D_{i-r}^2$ есть сумма квадратов диагоналей от второй вершины ко

всем последующим, + (плюс) от третьей вершины ко всем последующим, плюс (+) и так далее.

Тут уже повторяющихся членов нет и каждый член входит по одному разу. Отсюда видно, что

$$\left\{ \sum_{i=2}^{i=n} D_{1-i}^2 + \sum_{i=2}^{i=n} \sum_{r=2}^{r=n} D_{i-r}^2 \right\}$$

есть сумма квадратов всевозможных диагоналей нашего полигона, включая сюда и стороны полигона, причем каждый член входит по одному разу, т.-е. более обще можно написать

$$M_A^2 = \frac{m_A^2}{n} \sum_{i=1}^{i=n} \sum_{r=1}^{r=n} D_{i-r}^2 \dots (D).$$

Возьмем выражение

$$2 \sum_{i=1}^{i=n} \sum_{r=1}^{r=n} D_{i-r}^2 .$$

Здесь каждый член будет повторяться дважды. Очевидно,

$$2 \sum_{i=1}^{i=n} \sum_{r=1}^{r=n} D_{i-r}^2 = \sum_{i=2}^{i=n} D_{1-i}^2 + \sum_{i=3}^{i=1} D_{2-i}^2 + \dots + \sum_{i=1}^{i=n-1} D_{n-i}^2 .$$

Значит, согласно принятому нами обозначению,

$$2 \sum_{i=1}^{i=n} \sum_{r=1}^{r=n} D_{i-r}^2 = I_1 + I_2 + \dots + I_n = \sum_{i=1}^{i=n} I_i .$$

А согласно ф-лы (I)

$$\sum_{i=1}^{i=n} \sum_{r=1}^{r=n} D_{i-r}^2 = nI_0 .$$

Значит

$$M^2 = M_1^2 + m_A^2 I_0 = M_1^2 + m_A^2 \sum_{i=1}^{i=n} L_{0-i}^2 ,$$

т.е. получим ф-лу проф. М. Г. Михайлова¹⁾.

Ввиду тождества ф-л № 3 и № 4 в последующем условимся относить сравнение данных по остальным ф-лам к данным, получаемым по ф-ле М. Г. Михайлова (№ 4), т. к. она легче для вычислений. Строго говоря, из вятых вначале четырех ф-л остается вести сравнение преобразованной нами ф-лы Н. Н. Веселовского (носящей приближенный характер):

$$M^2 = M_1^2 + \frac{m_A^2 (n-1)}{2} \sum_{i=1}^{i=n} I_i^2$$

с формулой № 4:

$$M^2 = M_1^2 + m_A^2 \sum_{i=1}^{i=n} L_{0-i}^2 ,$$

носящей строгий характер, т. к. член M_A^2 ф-лы 1-й в результате ее преобразования, уже найден теоретически.

§ 6. Для дальнейших выводов необходимо доказать предварительно следующую лемму: Если угловую невязку V нашего полигона разложить с обратным знаком поровну на все измеренные углы и затем вычислить азимуты сторон, то эти азимуты будут равны значениям, полученным для азимутов тех же сторон путем определения их вероятнейшего значения. Это вероятнейшее значение берется как арифметическая середина по весам из двух значений: одного найденного по ходу и другого—против хода по окружной меже. Принимая все углы одинаково точными и полагая их веса равными единице мы вес азимута должны положить равным величине, обратной числу углов, вошедших в вычисление данного значения азимута. Угловая невязка V найдется по ф-лам:

$$\text{в замкнутом полигоне: } V = \sum_{i=1}^{i=n} A_i - 180^\circ (n-2) .$$

$$\text{п в разомкнутом полигоне: } V = (\alpha_n - \alpha_0) - 180^\circ \cdot n + \sum_{i=1}^{i=n} A_i .$$

¹⁾ Тождество ф-л 3-й и 4-й уже ранее было установлено проф. А. С. Чеботаревым (см. № 3) путем иных выводов. Свое доказательство я привожу лишь для достижения полноты трактуемого вопроса.

В последнем случае A_1 и A_n суть примычные углы, а α_0 и α_n — заранее известные азимуты сторон примыкания. Докажем лемму для азимута линии с номером S в замкнутом полигоне. [По первому способу имеем

$$\alpha_s = \alpha_1 + 180^\circ (s-1) - A_2 - A_3 - \dots - A_s + \frac{v}{n} (s-1).$$

По второму способу, по ходу, найдем

$$\alpha'_s = \alpha_1 + 180^\circ (s-1) - A_2 - A_3 - \dots - A_s \text{ с весом } g'\alpha_s = \frac{1}{s-1}.$$

Желая найти α_s против хода, т.е. выразить его через остальные углы, заметим, что $(A_2 + A_3 + \dots + A_s) = 180(n-2) - A_1 - A_n - \dots - A_{s+1}$;

Значит, $\alpha''_s = \alpha_1 + 180^\circ (s-1) - 180^\circ (n-2) + A_1 + A_n + \dots + A_{s+1}$.

или же $\alpha''_s = \alpha_1 - 180^\circ (n-s+1) + A_1 + A_n + \dots + A_{s+1} + 360^\circ$

$$\text{с весом } g''\alpha_s = \frac{1}{n-s+1}.$$

$$\text{Вероятнейшее значение } \alpha_s = \frac{[g\alpha_s \cdot \alpha_s]}{[g\alpha_s]}$$

Подставляя сюда найденные выше значение для α_s и для $g\alpha_s$, после несложных преобразований, получим:

$$\alpha_s = \alpha_1 + 180^\circ (s-1) - A_2 - A_3 - \dots - A_s + \frac{v}{n} (s-1)$$

$$\text{с весом } g\alpha_s = \frac{n}{(s-1)(n-s+1)}.$$

Таким образом лемма доказана ¹⁾.

Примечание: Пользуясь этой леммой при упрощенном способе уравнивания полигонометрического хода ²⁾ и для случая определения вероятнейших значений азимутов в замкнутых полигонах ³⁾, мы облегчим определение искоемых значений азимутов.

§ 7. Ф-ла Н. Н. Веселовского, хотя бы в преобразованном уже виде, выведена для случая обработки материала по углам неувязанным. Сделаем вывод подобной формулы для случая увязанных углов.

Имеем: $x_n = l_1 \cos \alpha_1 + l_2 \cos \alpha_2 + \dots + l_n \cos \alpha_n$; $y_n = l_1 \sin \alpha_1 + l_2 \sin \alpha_2 + \dots + l_n \sin \alpha_n$

$$\text{откуда: } m_{x_n}^2 = l_1^2 \sin^2 \alpha_1 \cdot m_{\alpha_1}^2 + l_2^2 \sin^2 \alpha_2 \cdot m_{\alpha_2}^2 + \dots + l_n^2 \sin^2 \alpha_n \cdot m_{\alpha_n}^2;$$

$$m_{y_n}^2 = l_1^2 \cos^2 \alpha_1 \cdot m_{\alpha_1}^2 + l_2^2 \cos^2 \alpha_2 \cdot m_{\alpha_2}^2 + \dots + l_n^2 \cos^2 \alpha_n \cdot m_{\alpha_n}^2;$$

$$M_A^2 = m_{x_n}^2 + m_{y_n}^2 = l_1^2 \cdot m_{\alpha_1}^2 + l_2^2 \cdot m_{\alpha_2}^2 + \dots + l_n^2 \cdot m_{\alpha_n}^2 = \left[l_i^2 m_{\alpha_i}^2 \right]_{i=1}^{i=n}.$$

Определяя $m_{x_n}^2$ и $m_{y_n}^2$ мы не интересовались ошибками линейных измерений и брали производные по азимутам α . Конечно производные,

¹⁾ См. об этом также „Способ наименьших квадратов“ проф. А. С. Чеботарева, стр. 61.

²⁾ См. № 6 стр. 1088—1091.

³⁾ См. № 5.

надо-бы брать по величинам, непосредственно измеренным, т.е. по углам А, как это и делает проф. Ф.Н. Красовский. Беря производные по азимутам мы уже заведомо выводим ф-лу лишь приближенную, каковой является и ф-ла Н.Н. Веселовского для неувязанных углов.

Проделать вывод я считаю не лишним для того, чтобы затем сравнить члены M_A^2 в выводимой ф-ле и в ф-ле № 2'. Из этого сравнения мы убедимся, что M_A^2 для случая увязанных углов будет втрое меньше, чем для углов неувязанных. На основании леммы § 6 можем написать:

$$m_{\alpha_1}^2 = \frac{m_A^2}{g\alpha_1}; m_{\alpha_2}^2 = \frac{m_A^2}{g\alpha_2}; \dots m_{\alpha_n}^2 = \frac{m_A^2}{g\alpha_n}.$$

Значит,

$$M_A^2 = m_A^2 \left\{ l_1^2 \frac{1}{g\alpha_1} + l_2^2 \frac{1}{g\alpha_2} + \dots + l_n^2 \frac{1}{g\alpha_n} \right\}.$$

Чтобы упростить ф-лу и сделать M_A^2 независимым от выбора начальной вершины, возьмем вероятнейшее значение M_A^2 , как простую арифметическую средину из отдельных значений M_A^2 , найденных для всех n вершин, поочередно принимаемых за начальную.

Совершенно ясно, что если мы n-ю вершину примем за начальную, то безошибочным придется положить уже азимут α_n ; ошибка азимута α_1 будет тогда $\frac{m_A^2}{g_2}$, для α_2 ошибка будет $\frac{m_A^2}{g_{\alpha_s}}$ и т. д. Легко сообразить, как будут меняться ошибки азимутов сообразно выбору начальной вершины.

Значит,

$$\sum M_A^2 = m_A^2 \left\{ l_1^2 \left[\frac{1}{g} \right] + l_2^2 \left[\frac{1}{g} \right] + \dots + l_n^2 \left[\frac{1}{g} \right] \right\} = m_A^2 \left[\frac{1}{g} \right] \cdot \sum_{i=1}^{i=n} l_i^2;$$

$$\text{среднее } M_A^2 = \frac{m_A^2}{n} \left[\frac{1}{g} \right] \cdot \sum_{i=1}^{i=n} l_i^2.$$

$$\text{Но } \left[\frac{1}{g} \right] = \frac{(n-1)}{n} + \frac{2(n-2)}{n} + \frac{3(n-3)}{n} + \dots + \frac{(n-1)[n-(n-1)]}{n};$$

$$\left[\frac{1}{g} \right] = \frac{1}{n} \left[n + 2n + 3n + \dots + (n-1) \cdot n - (1^2 + 2^2 + \dots + (n-1)^2) \right];$$

$$\left[\frac{1}{g} \right] = \frac{1}{n} \left[\frac{n \cdot n(n-1)}{2} - \frac{n(n-1)(2n-1)}{6} \right] = \frac{n(n-1)(n+1)}{6n} = \frac{n^2-1}{6};$$

$$\text{и далее } \left[m_z^2 \right] = \left[\frac{m_A^2}{g} \right] = m_A^2 \left[\frac{1}{g} \right] = m_A^2 \frac{n^2-1}{6} \dots (g).$$

$$\text{Значит, среднее } M_A^2 = \frac{m_A^2(n^2-1)}{6n} \sum_{i=1}^{i=n} l_i^2 \dots \text{ ф-ла 6.}$$

Для полигонов, обычно встречающихся на практике, где число углов в вообще больше 10, мы смело можем отбросить член

$$\frac{M_A^2}{6n} \sum_{i=1}^{i=n} l_i^2 \text{ и положить}$$

$$M_A^2 = \frac{m_A^2 \cdot n}{6} \cdot \sum_{i=1}^{i=n} l_i^2 \dots \text{ф-ла б'}$$

Сравнивая члены M_A^2 в формулах б и 2' видим, что почти точно в первом случае (ф-ла б) член M_A^2 получается втрое меньше, чем во втором (ф-ла 2'). Это лишней раз показывает, что если, в случае измерений одинаковой точности, угловую невязку разложить поровну на все углы, то влияние угловых ошибок на величину линейной невязки значительно понизится (в 2—3 раза). При обычном способе округления углов до минуты и последующей разброске невязки на отдельные углы, конечно, таких строгих соотношений ожидать нельзя. Позволительно думать, что подобная увязка еще может увеличить влияние ошибок измерения углов. Поэтому осторожнее в нашей практике применять для члена M_A^2 следующие выражения:

$$\text{в ф-ле М. Г. Михайлова} \dots M_A^2 = 2m_A^2 \sum_{i=1}^{i=n} L_{o-1}^2;$$

$$\text{в ф-ле № 6'} \dots M_A^2 = \frac{m_A^2 n}{2} \sum_{i=1}^{i=n} l_i^2.$$

§ 8 Приближенный характер ф-л 2' и 6' очевиден из самого их вывода; это обстоятельство подтверждается и опытным путем (см. прилагаемую таблицу). Пример близкого значения невязок по ф-ле № 2 и по ф-ле М. Г. Михайлова, данный в курсе „Полигонометрическая сеть“, совершенно нехарактерен, т. к. взят небольшой полигон с малым количеством вершин¹⁾

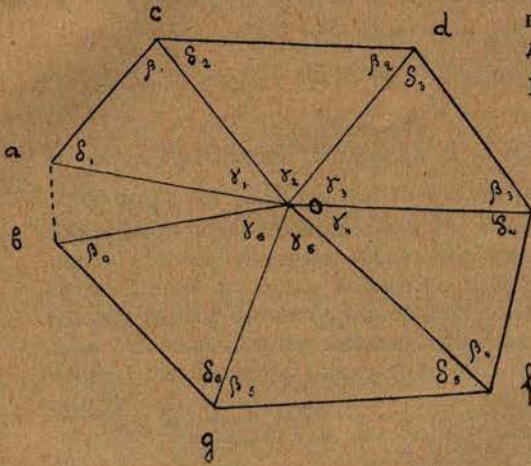
Но ф-ла 6', по сравнению с ф-лой М. Г. Михайлова, подкупает большей простотой подготовительной работы. Здесь не требуется предварительной накладки окружной межи и все необходимые величины нам известны из мер с натуры.

Попробуем вывести для M_A^2 ф-лу, требующую минимальной подготовки и вычислений и обладающую большей точностью, нежели ф-лы 2' и 6.

Предположим, что в некотором замкнутом полигоне стороны измерены идеально точно, а углы лишь с известной точностью. Положим измерение углов одинаково точным и назовем ср кв. ошибку измерения угла через m_A . Такое временное выключение учета ошибок линейных измерений мы сделать вправе, т. к. ошибки линейных и угловых изме-

1) См. № 2, стр. 95; ф-лы № 2, и № 6' дают хорошие результаты лишь для полигонов с небольшим количеством вершин.

ний взаимно независимы. Но тогда получившаяся невязка ab будет объясняться лишь погрешностями измерения внутренних углов A_i (см. черт. 2-й). Возьмем внутри полигона некоторую точку O и соединим с нею концы невязки. Далее соединим точку O и со всеми остальными вершинами полигона c, d, e, f, g . Очевидно в замкнутом многоугольнике, при отсутствии невязки в углах, должны иметь:



Черт. 2

$$1) \sum A_i = \sum \delta_i + \sum \beta_i = 180^\circ (n - 2);$$

$$2) \sum \gamma_i = 180^\circ \cdot 2;$$

$$3) \sum \gamma_i + \sum \alpha_i + \sum \beta_i = 180^\circ \cdot n.$$

Если же полигон, вследствие погрешностей измерения углов A_i разомкнулся, то выполняться будет лишь условие 3-е, а для первых двух мы получим:

$$\sum A_i = 180^\circ (n - 2) \pm \mu_A;$$

где μ_A есть невязка в углах и $\sum \gamma_i = 2 \cdot 180^\circ - \angle aob$.

Отсюда имеем $\mu_A = \angle aob$. Если для точки O установить определенное положение,

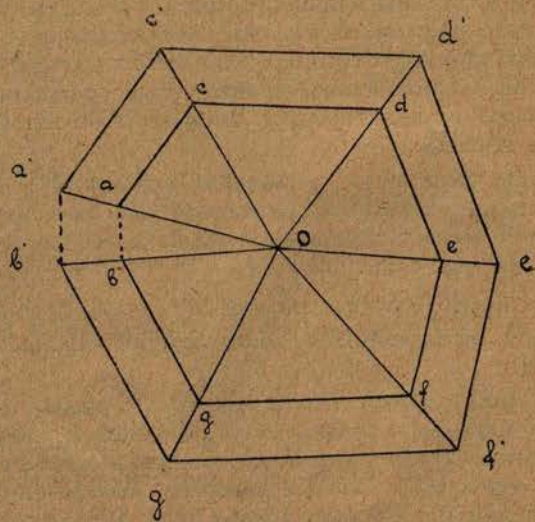
то придем к выводу, что линейная невязка полигона, проистекающая благодаря погрешностям угловых измерений, прямо пропорциональна угловой невязке μ_A полигона, т.-е. $ab = k \cdot \angle aob$.

Если теперь, обращаясь к черт. 3, возьмем два подобных полигона с периметрами P и P' и с одинаковой угловой невязкой μ_A , то линейные невязки этих полигонов мы должны положить прямо пропорциональными их периметрам, т.-е.

$$a'b' = ab \cdot \frac{P'}{P} = k \angle aob \frac{P'}{P}.$$

Отсюда мы приходим к заключению, что линейную невязку полигона ab следует считать прямо пропорциональной произведению угловой невязки на периметр, т.-е. положить $ab = k \cdot \mu_A \cdot P$.

Переходя к средним значениям, следует положить μ_A равной ср. кв. ошибке суммы n углов полигона, т.-е. положить $\mu_A = m_A \sqrt{n}$, а вместо ab писать уже известное нам обозначение M_A , т.-е. $M_A = k m_A \sqrt{n} P$, где k есть покуда неизвестный нам коэффициент.



Черт. 3

Принимая в ф-ле $M_A = km_A \sqrt{n} \rho$ k за постоянный коэффициент, мы тем самым даем точке O в данном полигоне некоторое определенное положение относительно вершины, выбираемой за начальную. Именно мы принимаем расстояние начальной вершины от точки O равным $k\rho$, что очевидно из чертежа 2-го.

Чтобы подойти к определению коэффициента k , сразу же отметим тот факт, что принимая k постоянным, мы допускаем важное предположение, а именно:

Форма окружной межи полигона не влияет на величину невязки M_A ¹⁾. Если это положение принять, то величину k легче всего будет отыскать, обращаясь к правильным многоугольникам, (напр., вписанным в окружность некоторого радиуса R).

В неправильном многоугольнике, при перемене начальной вершины, будет меняться и положение точки O . Но в многоугольниках правильных положение точки O будет постоянно, т. к. тут она совпадает с центром описанной окружности. Значит, для многоугольников правильных расстояние начальной вершины от точки O , равно $k\rho = R$ (радиус описанной окружности), откуда $1:k = \frac{\rho}{R}$. В приводимой ниже таблице найдены величины $1:k$ для правильных вписанных многоугольников с разным количеством вершин.

Число верш. n	3	4	6	8	10	12	15	∞
Значение $1:k = \frac{\rho}{R}$	5,20	5,66	6,00	6,12	6,18	6,22	6,24	6,28

Конечно, правильнее было бы для каждого полигона брать свое значение k по аргументу n .

Однако, мы видим, что начиная с $n = 12$ величина k становится почти константной. А так как в землеустроительной практике редко встречаются полигоны с числом вершин меньшим 12, то можно принять k равным некоторому среднему значению.

Удобно принять величину $1:k$ такой, чтобы $1:k^2$ было числом целым. Положим $1:k = 6,245$ ($1:k^2 = 39$). Тогда для M_A получаем конкретную ф-лу

$$M_A = \frac{m_A \sqrt{n} \rho}{6,245}; \quad M_A^2 = \frac{m_A^2 \cdot n \cdot \rho^2}{39}; \quad \text{Ф-ла 7.}$$

Для случая углов предварительно увязанных величина M_A^2 должна быть несколько уменьшена как показывает опыт, она должна быть уменьшена в $\sqrt{2}$ раз. Так что для случая увязанных углов, в целых числах мы получим

$$M_A^2 = \frac{m_A^2 \cdot n \cdot \rho^2}{55} \dots \dots \dots \text{Ф-ла 7'}$$

Сравнивая теперь полученное нами для M_A^2 значение с ф-лой поперечного уклонения для полигонов разомкнутых, вытянутых по прямому

1) О влиянии формы полигона на величину относительно невязки в периметре $\left(\frac{M}{\rho}\right)$ см. № 3 и № 7.

направлению и со сторонами приблизительно одинаковой длины¹⁾ мы видим, что неожиданно пришли к почти тождественным выражениям. Только в обоих случаях коэффициент k имеет совершенно различное значение. В нашем случае он равен $\sqrt{1/39}$, а для растянутого полигонометрического хода $k = \sqrt{1/3}$. Если в подобном полигонометрическом ходе предварительно увязать углы и ввести коэффициент понижения члена M_A^2 , например, в 2 раза, то для этого случая мы получим

$$M_A^2 = \frac{m_A^2 \cdot n \cdot \rho^2}{6} \dots \dots \dots \text{Ф-ла 8.}$$

Если посчитать сверх того ошибку M_A , даваемую ф-лой 8-й, предельной, то мы получим среднее значение для $M_A^2 = \frac{m_A^2 \cdot n \cdot \rho^2}{54}$, т.-е. выражение, совсем равнозначное ф-ле 7'

Примечание: При взятом значении $1/k = 6,245$, мы для замкнутых полигонов с малым количеством вершин, напр. $n < 10$, будем получать член M_A несколько преуменьшенным. В этом случае я считал бы возможным принять $1/k = 6,000$ и

$M_A^2 = \frac{m_A^2 \cdot n \cdot \rho^2}{51}$. Для правильных полигонометрических ходов выражение 8 тоже может применяться лишь при значительном n , (напр. $n > 10$), т. к. оно является приближенным.

§ 9. Принимая выражение члена M_A^2 , данное ф-лой 7', мы получим для квадрата линейной невязки следующее:

Для полигона замкнутого:

$$M^2 = \delta^2 + \mu_1^2 [I]_1 + \mu_2^2 [I]_2 + \mu_3^2 [I]_3 + \frac{m_A^2 \cdot n}{55} \rho^2 \dots \dots \dots \text{I,}$$

или, если пренебречь разделением местности на классы:

$$M^2 = \mu^2 \rho + \frac{m_A^2 \cdot n}{55} \rho^2 + \delta^2 \dots \dots \dots \text{II.}$$

Согласно выводам проф. Ф. Н. Красовского³⁾ величину δ можно принять равной произведению коэффициента f на длину наибольшей диагонали нашего полигона (D_{\max}), т.-е. положить $\delta = f D_{\max}$, причем f , для неблагоприятных условий, принимается равным 0,00024.

Для полигонов разомкнутых с углами, близкими к 180° и приблизительно равными сторонами⁴⁾

$$M^2 = f^2 \rho^2 + \mu_1^2 [I]_1 + \mu_2^2 [I]_2 + \mu_3^2 [I]_3 + \frac{m_A^2 \cdot n \cdot \rho^2}{12} \dots \dots \dots \text{III,}$$

1) См. № 6, стр. 1060—1062;

2) „Handbuch der Vermessungskundt“ ordan'a, В. II. s. 480

$$\text{Здесь } M_A^2 = \frac{m_A^2 \cdot n \rho^2}{12}$$

3) См. № 1, стр. 16.

4) Значение члена M_A^2 принято по Jordan'y

или, если не различать классов местности,

$$M^2 = f^2 \rho^2 + \mu^2 \rho^2 + \frac{m_A^2 \cdot n}{12} \rho^2 \dots IV$$

Примечание: В ф-лах III и IV значение коэффициента k применено мною согласно прежним выводам ($k = 1/12$) и опытным путем не проверялось. Есть основания думать, что это значение можно считать преувеличенным. Надо отметить, что во всех ф-лах величина m_A^2 предполагалась выраженной в отвлеченной мере, так что, при условии выражения ср. кв. ошибки угла в минутах, все члены, выражающие влияние угловых ошибок, необходимо умножить на $\sin^2 1' = 0,0000000846$.

§ 10. Что касается числового значения коэффициентов f , μ и m_A , входящих в ф-лы невязок, то собранный кафедрой Геодезии материал является еще недостаточно проверенным, невелик количественно и не может служить основанием для вывода надежных значений означенных коэффициентов. В ближайшие годы подобный материал будет собран, обработан и опубликован, по всей вероятности, в виде дипломной работы сотрудников кафедры Геодезии Бел. Академии С. Х.

Покуда же приведем значение этих коэффициентов по различным источникам. Так, материал, собранный немецкими исследователями, для условий Германии, приводит к результатам средних значений¹⁾

Местность	1-го кл.	2-го кл.	3-го кл.
в метрах $\mu =$	0,00453	0,0056	0,0065
в саж. $\mu =$	0,00302	0,0038	0,0044
$f =$	0,000242	0,000296	0,000342

Эти коэффициенты оказались пригодными и даже несколько преувеличенными и для русских условий. Проф. Ф. Н. Красовский на основании сводки обширного опытного материала для условий нашего Союза, принимает (в саж.):²⁾

$$\begin{aligned} \mu_1 &= 0,0025; & \mu_2 &= 0,0040; & \mu_3 &= 0,0060; \\ f \text{ min} &= 0,00018 \text{ (для городских с'емок)} \\ f \text{ max.} &= 0,00024 \text{ (для неблагопр. условий)} \end{aligned}$$

Для ср. кв. ошибки измерения отдельного угла в обычных замкнутых полигонах для односторонних теодолитов можно принять значение $\pm 0,80$. Лишь в полигонах, где большинство сторон короче 40^c (85,34 м.), m_A , в общем, превосходит одну минуту ($\pm 1'$)³⁾

Для разомкнутых полигонометрических ходов правильного вида m_A определится каждый раз особо. Есть основания считать, что в том случае m_A имеет значение, близкое к $\pm 0,5$, при условии применения угломеров с односторонней точностью.

§ 11. Для проверки степени строгости формулы II исследователями сотрудниками кафедры геодезии И. И. Агроскиным и А. А. Тиха-

¹⁾ См. № 2 стр. 31.

²⁾ См. № 1.

³⁾ То же.

новичем была проделана опытная работа, данные которой сведены в прилагаемую таблицу. Именно, вычислялась для самых разнообразных полигонов линейная невязка M по четырем ф-лам: № 4 (М. Г. Михайлова), № 6', II и по ф-ле

$$M = \sqrt[1/3]{(0,025 \sqrt{P})^2 + \left(0,087 \frac{P}{100}\right)^2} \quad 1)$$

Последняя ф-ла дает допустимую разность между двумя результатами измерения линии P . Данные для M пришлось вычислить (в метрах), т. к. по соответствующим таблицам²⁾ можно было найти M лишь для небольших периметров (для 2-го класса местности не свыше 4225 метров).

Т. к.; в общем, местность, по которой пролегли наши хода, должна быть отнесена ко 2-му классу, то для μ принято значение $\pm 0,006$; для m_A примем величину $\pm 1' = \pm 0,0000000846$. Все линейные данные таблицы приведены в метрической мере, т. что ф-ла II для это случая давала

$$M_{cp} = 0,01 \sqrt{0,36 P + 0,000154 n P^2} \quad 3)$$

Рассматривая таблицу можно придти к следующим заключениям, подтверждающим сказанное частью уже ранее.

1) Таблицы допустимых разностей двойного измерения линий для определения допустимой линейной невязки полигона не пригодны и по своему существу и по даваемым ими результатам.

2) Ф-лы 6 и 2' дают хорошие результаты лишь для полигонов с небольшим количеством вершин и совершенно непригодны для условий землемерной практики в землеустройстве.

3) Ф-ла № 4 (М. Г. Михайлова) требует значительной работы и затраты времени и для землемерной практики поэтому непригодна.

4) Определение невязки по ф-ле II производится значительно быстрее и легче, нежели по ф-лам 4 и даже, чем по ф-лам 6 и 2'.

5) Ф-ла II дает несколько преуменьшенные результаты для полигонов с малым n (см. § 8) и хороша для полигонов с $n > 10$, т. что при малом n ($n < 10$) необходимо брать в ф-ле II член M_A^2 в виде $\frac{m_A^2 \cdot n \cdot P^2}{51}$

6) Относя все сравнения к ф-ле 4, как к строгой, можно рекомендовать для землемерной практики ф-лу II, как наиболее простую и достаточно точную.

§ 12. При составлении таблицы значений невязки M не учитывался член δ , выражающий влияние систематических ошибок линейных измерений, который в замкнутых полигонах имеет вид $f \cdot D \max$ и в правильных полигонометрических ходах вид $f \cdot P$.

Примем для первого случая $f = 0,00024$, а для второго $f = 0,00019$ и найдем предельные значения линейных невязок по ф-лам I и III для разных классов местности, причем значения μ для 1-го, 2-го и 3-го классов местности примем (в метрах): 0,00453; 0,0056 и 0,0065. Значение квадрата ср. кв. ошибки отдельного угла (m_A^2) для обычных замкнутых полигонов возьмем равным $\pm 0,0000000846$, а для правильных полигонометрических ходов положим $m_A^2 = \pm 0,0000000211^4$.

1) См. № 6, стр. 1066.

2) F. G. Gauss „Polygonometrische Tafeln“ Stuttgart, 1921 г.

3) Член δ^2 временно оставлен, т. к. он одинаков во всех ф-лах.

4) См. № 2, стр. 56.

Таблица средних значений линейной невязки M для замкнутых полигонов с увязанными углами.

№ по порядку	Число вершин n	Периметр P	M_A^2		M			
			$\sum_{i=1}^n L_{0-i}^2 m_A^2$	$\sum_{i=1}^n L_{0-i}^2 m_A^2 \frac{n^2-1}{6n}$	$\mu^2 P + m_A^2 \sum_{i=1}^n L_{0-i}^2$	$\mu^2 P + m_A^2 \frac{n^2-1}{6n} \sum_{i=1}^n L_{0-i}^2$	$\mu^2 P + \frac{m_A^2 P^2 n^3}{55} \sqrt{\frac{1}{3}}$	$(0,025\sqrt{P})^2 + \left(\frac{0,087 \cdot P}{100}\right)^2$
1	6	836	0,02	0,02	0,22	0,20	0,20	0,34
2	7	2836	0,13	0,13	0,48	0,48	0,44	0,93
3	8	2038	0,07	0,06	0,37	0,36	0,35	0,69
4	9	1668	0,05	0,04	0,33	0,32	0,32	0,59
5	10	2811	0,10	0,12	0,47	0,47	0,47	0,92
6	12	3359	0,12	0,18	0,57	0,55	0,57	1,09
7	16	4168	0,15	0,40	0,75	0,74	0,76	1,32
8	17	4112	0,15	0,31	0,80	0,68	0,77	1,31
9	19	3570	0,13	0,23	0,68	0,60	0,71	1,04
10	19	6749	0,24	0,84	1,26	1,04	1,26	2,07
11	20	4780	0,17	0,43	0,96	0,72	0,93	1,50
12	20	2797	0,10	0,17	0,52	0,52	0,58	0,92
13	25	4543,5	0,16	0,41	0,94	0,76	0,97	1,43
14	30	5045	0,18	0,52	1,06	0,83	1,17	1,58
15	28	5666	0,20	0,54	1,25	0,86	1,26	1,79
16	40	3972	0,14	0,27	1,02	0,64	1,06	1,27
17	47	9916	0,36	2,12	2,52	1,58	2,74	3,00
18	50	6402	0,24	1,08	1,75	1,15	1,95	2,09
19	59	13309	0,48	3,48	3,78	1,99	4,07	3,98
20	76	7527	0,27	1,33	2,51	1,26	2,63	2,30

Нетрудно видеть, что предельные значения квадратов $d_A^2 = (3M_A)^2$ членов, выражающих влияние угловых погрешностей, будут следующие:

$$d_A^2 = 0,00014 \cdot n P^2 (0,01)^2 \dots \dots \dots \text{ для обычных полигонов,}$$

$$d_A^2 = 0,00016 \cdot n P^2 (0,01)^2 \dots \dots \dots \text{ для полигонометрических ходов}$$

Подсчитаем квадраты предельных значений членов fD_{\max} и fP , т.-е. найдем $(3fD_{\max})^2$ и $(3fP)^2$. Очевидно, $(3fP)^2$ при $f=0,00019$ даст приблизительно $0,0032P^2(0,01)^2$, т. что для правильных полигонометрических ходов имеем

$$9M_A^2 + 9f^2P^2 = 0,00016(n+20)P^2 \cdot (0,01)^2.$$

Чтобы найти подобное же выражение для замкнутых полигонов произвольного вида, сообразим какую часть периметра может составлять D_{\max} . Очевидно, что D_{\max} может меняться от $P/2$ в замкнутых полигонах, сливающихся в прямую линию, до $P/3$ в полигонах правильного округлого вида. Принимая возможный максимум, т.-е. полагая

$$D_{\max} = P/2 \text{ мы при } f=0,00024 \text{ найдем } 9f^2D_{\max}^2 = 0,0014P^2 \cdot (0,01)^2 \text{ (приблизленно), так что в этом случае}$$

$$9M_A^2 + 9f^2D_{\max}^2 = (0,01)^2 \cdot 0,00014(n+10)P^2.$$

Отсюда следует, что влияние систематических ошибок линейных измерений на линейную невязку весьма значительно, и при малом числе углов может превосходить член M_A , зависящий от ошибок измерения углов даже в полигонах замкнутых.

Полагая $n > 10$ и допуская некоторое округление коэффициентов можем теперь написать предельные значения полных линейных невязок для случая предварительно увязанных углов.

А. Для полигонов замкнутых:

- 1 кл. . . . $d_1 = (3M) = 0,01 \sqrt{1,8P + 0,00014(n+10)P^2}$ метров
- 2 кл. . . . $d_2 = (3M) = 0,01 \sqrt{2,8P + 0,00014(n+10)P^2}$ "
- 3 кл. . . . $d_3 = (3M) = 0,01 \sqrt{3,8P + 0,00014(n+10)P^2}$ "

В. Для полигонометрических ходов правильной формы:

- 1 кл. . . . $d_1 = (3M) = 0,01 \sqrt{1,8P + 0,00016(n+20)P^2}$ метров
- 2 кл. . . . $d_2 = (3M) = 0,01 \sqrt{2,8P + 0,00016(n+20)P^2}$ "
- 3 кл. . . . $d_3 = (3M) = 0,01 \sqrt{3,8P + 0,00016(n+20)P^2}$ "

Таким образом приходим к заключению о возможности применения однотипных ф-л линейных невязок, как для правильных полигонометрических ходов, так и для полигонов замкнутых, произвольного вида. Для облегчения вычисления величин d по проводимым ф-лам составление таблиц следует признать неудобным, т. к. d зависит от двух аргументов n и P . Мне кажется, что здесь уместно было-бы применение соответствующей монограммы.

П. Ходорович.

„Ueber die Formeln linearer Schlussfehler bei Polygonzügen“.

Zusammenfassung.

1. Es erscheint höchst wünschenswert, für die zulässigen linearen Schlussfehler bei geschlossenen Polygonzügen beliebiger Form über eine einfache, theoretisch begründete Formel zu verfügen.

2. Die Tabellen für Berechnung der zulässigen Fehler der Längenmessungen sind für diesen Zweck schon deshalb unbrauchbar, weil sie den Einfluss der Fehlerquellen bei Ausmessung der Winkel nicht mit berücksichtigen.

3. In den für die Praxis der Landeinrichtung in S. S. S. R. üblichen Polygonen überwiegt der Einfluss von Fehlerquellen bei Ausmessung der Winkel auf den Nichtschluss im Perimeter sehr bedeutend den Einfluss der Fehlerquellen der linearen Vermessungen.

4. Die Formeln für zulässige Nichtschlüsse im Perimeter, welche von den Professoren F. N. Krassowsky und M. G. Michailow aufgestellt worden sind, und die theoretisch genau begründet sind, erscheinen viel zu kompliziert für ihre Anwendung in der Praxis, und werden daher wol kaum eine weitere Verbreitung in der Praxis finden.

5. Als Ergebniss einer theoretischen, durch Versuche bestätigten Erforschung schlage ich die nebenstehende Formel für begrenzte Werte bei Nichtschlüssen im Perimeter für geschlossene Polygonzüge vor.

a) für Oertlichkeiten I Klasse: $d_1 = (3M_1) = 0,01 \sqrt{1,8P + 0,00014(n+10)P^2}$ Mtr.

b) „ „ II „ $d_2 = (3M_2) = 0,01 \sqrt{2,8P + 0,00014(n+10)P^2}$ „

c) „ „ III „ $d_3 = (3M_3) = 0,01 \sqrt{3,8P + 0,00014(n+10)P^2}$ „

Hier sind P—der Perimeter des Polygons, n aber die Anzahl seiner Bruchpunkte.

Prof. P. A. Chodorowitsch.

Законности в строении планетной системы Солнца.

ВВЕДЕНИЕ.

14 августа 1918 года я обратился к директору Харьковской Университетской Астрономической Обсерватории профессору Н. Н. Евдокимову с большим по объему письмом, вступительные строки которого были следующие:

„М. Г. Николай Николаевич, беру перо, чтобы сообщить Вам результаты исследования, которое я вел в последнее время. Так как моя специальность—физика, а упомянутое исследование относится к вопросу о законностях в строении планетной системы Солнца, т.е. вопросу чисто астрономическому, то я считаю нужным прежде всего пояснить Вам, почему я занялся изучением его.

В моем лице Вы встречаете исследователя, много лет работавшего над изучением состояния немагнитного поля земли и тех изменений, которые оно получает в связи с суточным и годовым обращениями земного шара или в связи с действием причин непериодического характера. Так как эти строки обращены к Вам, то мне нет нужды вдаваться в разъяснение того, какое значение в физике и вообще в науке может иметь правильное решение этого вопроса. С самых разнообразных сторон он заключает в себе совершенно исключительный интерес, и я не сделаю никакого преувеличения, если скажу, что от успешного разрешения вопроса о характере и состояниях немагнитного поля земли в немалой степени зависят даже будущие завоевания в физике.

Вопрос, которым я занимался, представляет огромные трудности. Так как эта область явлений совсем не подвергалась изучению, мне пришлось прокладывать в ней первые пути, производя для этого массовые опыты и наблюдения. В конце концов мне удалось установить, что в направлениях меридиана и первого вертикала состояние среды в земном поле мы должны считать неодинаковым.

К сожалению, до наступления мировой войны мне удалось опубликовать лишь часть полученных мною материалов и при том в мало обработанном виде. Постигшая мое прежнее место жительства, город Ново-Александррию, военная катастрофа сделала то, что многие из этих материалов оказались даже утраченными. Что же касается уцелевших, то из-за затруднений, начавших охватывать нашу страну с лета 1915 года, они не могут дожидаться опубликования до сих пор.

Оказавшись в Харькове, благодаря просвещенной помощи и содействию заведывавших физическим кабинетом Харьковского Технологического Института вначале А. М. Ильева, а позже профессора Ч. В. Речинского, я получил возможность не прерывать своих опытов и наблюдений. Считаю себя обязанным выразить им здесь за это мою глубокую

признательность. Лишь этому содействию со стороны указанных лиц я обязан тем, что за сравнительно короткий промежуток времени мной был изучен новый путь для выяснения особенностей земного поля. Этот новый метод исследования позволил мне не только убедиться в правильности выводов, сделанных мною из прежних опытов и наблюдений, но и в значительной степени упростить приемы исследования. Убедиться в том, что немагнитное поле земли неоднородно и что оси этой неоднородности имеют направление, близкое к меридиану и первому вертикалу, теперь можно в течение очень небольшого числа минут. Черты явления здесь выражены настолько резко, что без труда могут быть продемонстрированы в больших аудиториях.

Обдумывая результаты как прежних, так и последних по времени работ, я постепенно стал склоняться к мысли, что наблюдаемые мною явления необходимо рассматривать не только в связи с особенностями поля собственно земли, но и в связи со строением междупланетного пространства. На основании того, что мне приходилось наблюдать при помощи своих инструментов, мне стало казаться вероятным, что в строении солнечной системы имеются следы, которые могут привести нас к более глубокому уяснению основ строения этого участка мирового пространства. Не сомневаюсь, что высказанная мною в такой форме мысль Вам кажется чрезмерно смелой. Такой же казалась она на первых порах и мне. И не смотря на то, я решил сделать попытку разыскать подозреваемые следы. В этом и заключалась причина того, почему я принялся за изучение строения планетной системы Солнца.

Я не позволил бы себе утруждать Вас чтением настоящего моего письма, если бы не находил результатов, найденных мною в этой области, достойными внимания астрономов. Кроме того, берясь за перо, я руководился желанием сделать их возможно скорее известными хотя небольшой группе астрономов, чтобы они могли использовать их для астрономических целей. В тяжелых условиях переживаемого времени, когда сношение Харькова со всеми культурно-просветительными учреждениями мира совсем прекращено, такое желание мое, как нельзя более, закономерно. В виду этого я позволяю себе даже высказать надежду на то, что, по ознакомлении с содержанием этого письма, Вы не откажетесь сделать распоряжение о хранении его в делах заведываемой Вами Обсерватории, чтобы тем самым оградить от возможной утраты материалы, имеющие на мой взгляд значение в научном отношении“.

На этих словах обрывалась вводная часть моего письма и дальше следовало изложение самой сущности дела.

Вихрь политических событий, пронесшийся с 1918 года над Украиной, сделал то, что рукопись не сохранилась в архиве Обсерватории. По этой причине я считал ее погибшей и даже стал думать о восстановлении ее. Однако опасения мои оказались напрасными: не так давно рукопись была найдена и снова передана в Обсерваторию.

Приступая в настоящее время к печатанию вышеозначенной рукописи, считаю нужным отметить, что я сделал в ней существенные дополнения. Так, я снабдил ее главами I—VI, в которых излагаются математические обоснования тех классификаций, о которых будет идти речь ниже. Этих глав в начальной рукописи не было. Затем, мною значительно изменен текст заключительных глав рукописи и вычислены заново все коэффициенты формул, коими выражается связь между элементами планетных орбит. Таким образом мое исследование относительно законностей в строении планетной системы Солнца появляется теперь в печати в зна-

чительно дополненном и переработанном виде. Смее думать, что в таком виде мой труд дает читателю наиболее обоснованное и целостное представление о том поразительном механизме, который составляют взятые все вместе планеты солнечной системы.

После этих вступительных строк я приступаю к изложению существа вопроса.

ГЛАВА I.

В очень многих вопросах геофизики, метеорологии, астрономии и других наук приходится встречаться с периодической изменяемостью явлений и решать вопрос о величине периодов. До недавнего времени для определения этих периодов употребляли почти исключительно графический метод. Для этого вычерчивали по наблюдениям кривую и стремились или графически, или интерполированием определить эпохи максимумов и минимумов. Последовательные разности между ними и давали возможность вычислить периоды явления. Только сравнительно недавно Оппенгейм предложил ¹⁾ для этой цели следующий аналитический прием.

Пусть дана периодическая функция вида

$$u = A_0 + A \sin \alpha t + B \cos \alpha t$$

Эту функцию можно рассматривать, как полный интеграл линейного дифференциального уравнения

$$\frac{d^2 u}{dt^2} + \alpha^2 (u - A_0) = 0.$$

решение которого относительно функции u дает

$$u = A_0 - \frac{1}{\alpha^2} \frac{d^2 u}{dt^2}$$

Предположим, далее, что нам известно некоторое количество частных значений функции u , отвечающих последовательному ряду значений переменного $t_0, 2t_0, 3t_0, \dots, nt_0$.

Пусть эти значения будут: $u_1, u_2, u_3, \dots, u_n$. Если составим из них ряды разностей

$$\begin{aligned} u_2 - u_1 &= \Delta u_1; & u_3 - u_2 &= \Delta u_2; & \dots & u_{n-1} - u_{n-2} &= \Delta u_{n-2}; & u_n - u_{n-1} &= \Delta u_{n-1} \\ \Delta u_2 - \Delta u_1 &= \Delta^2 u_1; & \Delta u_3 - \Delta u_2 &= \Delta^2 u_2; & \dots & \Delta u_{n-2} - \Delta u_{n-3} &= \Delta^2 u_{n-3}; & \Delta u_{n-1} - \Delta u_{n-2} &= \Delta^2 u_{n-2} \\ \Delta^2 u_2 - \Delta^2 u_1 &= \Delta^3 u_1; & \Delta^2 u_3 - \Delta^2 u_2 &= \Delta^3 u_2; & \dots & \Delta^2 u_{n-3} - \Delta^2 u_{n-4} &= \Delta^3 u_{n-4}; & \Delta^2 u_{n-2} - \Delta^2 u_{n-3} &= \Delta^3 u_{n-3} \\ \Delta^3 u_2 - \Delta^3 u_1 &= \Delta^4 u_1; & \Delta^3 u_3 - \Delta^3 u_2 &= \Delta^4 u_2; & \dots & \Delta^3 u_{n-4} - \Delta^3 u_{n-5} &= \Delta^4 u_{n-5}; & \Delta^3 u_{n-3} - \Delta^3 u_{n-4} &= \Delta^4 u_{n-4} \end{aligned}$$

и т. д.

и примем во внимание соотношения, устанавливаемые теорией конечных разностей для значения производных функции и ее конечных разностей, то найдем, что для каждого значения функции $u_1, u_2, u_3, u_4, \dots, u_n$ может быть вычислено соответствующее значение производной

$$\frac{d^2 u_1}{dt^2}, \frac{d^2 u_2}{dt^2}, \frac{d^2 u_3}{dt^2}, \dots, \frac{d^2 u_n}{dt^2}$$

¹⁾ Oppenheim. Sitzungsberichte der Kaiser. Akad. der Wissenschaften zu Wien, Bd. CXVIII, Abth. IIa, S.823.

согласно равенствам:

$$\frac{d^2u_1}{dt^2} = \Delta^2 u_1 - \frac{1}{12} \Delta^4 u_1 + \frac{1}{90} \Delta^6 u_1 - \frac{1}{560} \Delta^8 u_1 + \frac{1}{3150} \Delta^{10} u_1 - \dots,$$

$$\frac{d^2u_2}{dt^2} = \Delta^2 u_2 - \frac{1}{12} \Delta^4 u_2 + \frac{1}{90} \Delta^6 u_2 - \frac{1}{560} \Delta^8 u_2 + \frac{1}{3150} \Delta^{10} u_2 - \dots,$$

$$\frac{d^2u_3}{dt^2} = \Delta^2 u_3 - \frac{1}{12} \Delta^4 u_3 + \frac{1}{90} \Delta^6 u_3 - \frac{1}{560} \Delta^8 u_3 + \frac{1}{3150} \Delta^{10} u_3 - \dots$$

и т. д.

Отсюда видно, что всегда можно составить систему уравнений такого вида:

$$u_1 = A_0 - \frac{1}{\alpha^2} \frac{d^2u_1}{dt^2},$$

$$u_2 = A_0 - \frac{1}{\alpha^2} \frac{d^2u_2}{dt^2},$$

$$u_3 = A_0 - \frac{1}{\alpha^2} \frac{d^2u_3}{dt^2},$$

$$\dots$$

$$u_n = A_0 - \frac{1}{\alpha^2} \frac{d^2u_n}{dt^2},$$

где постоянные A_0 и α^2 играют роль неизвестных. Применяя к нахождению их способ наименьших квадратов, в конце концов получим наиболее вероятнейшее значение искомого периода T из равенства

$$T = \frac{2\pi}{\alpha},$$

где π есть отношение окружности к диаметру.

Рассмотрим теперь более сложный случай. Пусть u есть функция двух периодов T_1 и T_2 так что

$$u = A_0 + A_1 \sin z_1 t + B_1 \cos z_1 t + A_2 \sin z_2 t + B_2 \cos z_2 t.$$

Если станем рассматривать ее, как полный интеграл дифференциального уравнения четвертого порядка

$$\frac{d^4u}{dt^4} + (\alpha_1^2 + \alpha_2^2) \frac{d^2u}{dt^2} + \alpha_1^2 \alpha_2^2 (u - A_0) = 0,$$

то получим для нее выражение через производные второго и четвертого порядков в таком виде:

$$u = A_0 - \left(\frac{1}{\alpha_1^2} + \frac{1}{\alpha_2^2} \right) \frac{d^2u}{dt^2} - \frac{1}{\alpha_1^2 \alpha_2^2} \frac{d^4u}{dt^4}.$$

Если вновь составим по известным частным значениям функции u ряды разностей и вычислим соответствующие им значения ее второй

и четвертой производной согласно равенствам

$$\frac{d^2u}{dt^2} = \Delta^2 u - \frac{1}{12} \Delta^4 u + \frac{1}{90} \Delta^6 u - \frac{1}{560} \Delta^8 u + \frac{1}{3150} \Delta^{10} u - \dots$$

$$\frac{d^4u}{dt^4} = \Delta^4 u - \frac{1}{6} \Delta^6 u + \frac{7}{240} \Delta^8 u - \dots$$

то можем составить систему уравнений

$$u_1 = A_0 - \left(\frac{1}{\alpha_1^2} + \frac{1}{\alpha_2^2} \right) \frac{d^2 u_1}{dt^2} - \frac{1}{\alpha_1^2 \alpha_2^2} \frac{d^4 u_1}{dt^4}$$

$$u_2 = A_0 - \left(\frac{1}{\alpha_1^2} + \frac{1}{\alpha_2^2} \right) \frac{d^2 u_2}{dt^2} - \frac{1}{\alpha_1^2 \alpha_2^2} \frac{d^4 u_2}{dt^4}$$

$$\dots$$

$$u_n = A_0 - \left(\frac{1}{\alpha_1^2} + \frac{1}{\alpha_2^2} \right) \frac{d^2 u_n}{dt^2} - \frac{1}{\alpha_1^2 \alpha_2^2} \frac{d^4 u_n}{dt^4}$$

в которых A_0 и коэффициенты при производных будут неизвестными. Определяя наимвероятнейшее значение этих коэффициентов по методу наименьших квадратов и замечая, что составляющие их дроби $\frac{1}{\alpha_1^2}$ и $\frac{1}{\alpha_2^2}$

входят в таких комбинациях, как если бы они были корнями квадратного уравнения

$$x^2 - \left(\frac{1}{\alpha_1^2} + \frac{1}{\alpha_2^2} \right) x + \frac{1}{\alpha_1^2 \alpha_2^2} = 0 ,$$

решением последнего можем найти значение той и другой дроби в отдельности, а при помощи их найти, наконец, и значение искомых периодов T_1 и T_2 по формулам

$$T_1 = \frac{2\pi}{\alpha_1} \qquad T_2 = \frac{2\pi}{\alpha_2}$$

Легко понять, что если бы наша периодическая функция u была еще более сложной, например, содержала в себе члены, зависящие от трех, четырех или еще большего количества независимых друг от друга периодов, то, поступая согласно изложенным выше указаниям, можно было бы определить все искомые периоды, решая в конце концов некоторое уравнение четной или нечетной степени, корнями которого являются отыскиваемые величины.

Таков по своей сущности тот остроумный метод для нахождения неизвестных периодов, который был предложен в 1909 году Оппенгеймом. Как видно, вычисление искомых периодов ведется по этому способу легко и просто и, если бы не было необходимости считаться с тем, что в вычисления должны входить не точные, а только более или менее приближающиеся к точным значения производных функции u , то против метода ничего нельзя было бы возразить. Однако эта приближенность значений производных может оказаться весьма чувствительной, когда имеется ограниченное число наблюдений, препятствующее нахождению до-

$$\Delta u_2 = u_3 - u_2 = 2C_1 \cos\left(\frac{5}{2} \alpha_1 t_0 + \varphi_1\right) \sin \frac{1}{2} \alpha_1 t_0 +$$

$$+ 2C_2 \cos\left(\frac{5}{2} \alpha_2 t_0 + \varphi_2\right) \sin \frac{1}{2} \alpha_2 t_0 + 2C_3 \cos\left(\frac{5}{2} \alpha_3 t_0 + \varphi_3\right) \sin \frac{1}{2} \alpha_3 t_0 + \dots$$

$$\Delta u_3 = u_4 - u_3 = 2C_1 \cos\left(\frac{7}{2} \alpha_1 t_0 + \varphi_1\right) \sin \frac{1}{2} \alpha_1 t_0 +$$

$$+ 2C_2 \cos\left(\frac{7}{2} \alpha_2 t_0 + \varphi_2\right) \sin \frac{1}{2} \alpha_2 t_0 + 2C_3 \cos\left(\frac{7}{2} \alpha_3 t_0 + \varphi_3\right) \sin \frac{1}{2} \alpha_3 t_0 + \dots$$

$$\Delta u_4 = u_5 - u_4 = 2C_1 \cos\left(\frac{9}{2} \alpha_1 t_0 + \varphi_1\right) \sin \frac{1}{2} \alpha_1 t_0 +$$

$$+ 2C_2 \cos\left(\frac{9}{2} \alpha_2 t_0 + \varphi_2\right) \sin \frac{1}{2} \alpha_2 t_0 + 2C_3 \cos\left(\frac{9}{2} \alpha_3 t_0 + \varphi_3\right) \sin \frac{1}{2} \alpha_3 t_0 + \dots$$

.....

$$\Delta u_{n-2} = u_{n-1} - u_{n-2} = 2C_1 \cos\left(\frac{2n-3}{2} \alpha_1 t_0 + \varphi_1\right) \sin \frac{1}{2} \alpha_1 t_0 +$$

$$+ 2C_2 \cos\left(\frac{2n-3}{2} \alpha_2 t_0 + \varphi_2\right) \sin \frac{1}{2} \alpha_2 t_0 + 2C_3 \cos\left(\frac{2n-3}{2} \alpha_3 t_0 + \varphi_3\right) \sin \frac{1}{2} \alpha_3 t_0 + \dots$$

$$\Delta u_{n-1} = u_n - u_{n-1} = 2C_1 \cos\left(\frac{2n-1}{2} \alpha_1 t_0 + \varphi_1\right) \sin \frac{1}{2} \alpha_1 t_0 +$$

$$+ 2C_2 \cos\left(\frac{2n-1}{2} \alpha_2 t_0 + \varphi_2\right) \sin \frac{1}{2} \alpha_2 t_0 + 2C_3 \cos\left(\frac{2n-1}{2} \alpha_3 t_0 + \varphi_3\right) \sin \frac{1}{2} \alpha_3 t_0 + \dots$$

а результатом второй—уравнения такого вида:

$$S_1 = \Delta u_3 + \Delta u_1 = 4C_1 \cos\left(\frac{5}{2} \alpha_1 t_0 + \varphi_1\right) \sin \frac{1}{2} \alpha_1 t_0 \cos \alpha_1 t_0 +$$

$$+ 4C_2 \cos\left(\frac{5}{2} \alpha_2 t_0 + \varphi_2\right) \sin \frac{1}{2} \alpha_2 t_0 \cos \alpha_2 t_0 + 4C_3 \cos\left(\frac{5}{2} \alpha_3 t_0 + \varphi_3\right) \sin \frac{1}{2} \alpha_3 t_0 \cos \alpha_3 t_0 + \dots$$

$$S_2 = \Delta u_4 + \Delta u_2 = 4C_1 \cos\left(\frac{7}{2} \alpha_1 t_0 + \varphi_1\right) \sin \frac{1}{2} \alpha_1 t_0 \cos \alpha_1 t_0 +$$

$$+ 4C_2 \cos\left(\frac{7}{2} \alpha_2 t_0 + \varphi_2\right) \sin \frac{1}{2} \alpha_2 t_0 \cos \alpha_2 t_0 + 4C_3 \cos\left(\frac{7}{2} \alpha_3 t_0 + \varphi_3\right) \sin \frac{1}{2} \alpha_3 t_0 \cos \alpha_3 t_0 + \dots$$

$$S_3 = \Delta u_5 + \Delta u_3 = 4C_1 \cos\left(\frac{9}{2} \alpha_1 t_0 + \varphi_1\right) \sin \frac{1}{2} \alpha_1 t_0 \cos \alpha_1 t_0 +$$

$$+ 4C_2 \cos\left(\frac{9}{2} \alpha_2 t_0 + \varphi_2\right) \sin \frac{1}{2} \alpha_2 t_0 \cos \alpha_2 t_0 + 4C_3 \cos\left(\frac{9}{2} \alpha_3 t_0 + \varphi_3\right) \sin \frac{1}{2} \alpha_3 t_0 \cos \alpha_3 t_0 + \dots$$

.....

$$S_{n-3} = \Delta u_{n-1} + \Delta u_{n-3} = 4C_1 \left(\frac{2n-3}{2} \alpha_1 t_0 + \varphi_1 \right) \sin \frac{1}{2} \alpha_1 t_0 \cos \alpha_1 t_0 + \\ + 4C_2 \cos \left(\frac{2n-3}{2} \alpha_2 t_0 + \varphi_2 \right) \sin \frac{1}{2} \alpha_2 t_0 \cos \alpha_2 t_0 + 4C_3 \cos \left(\frac{2n-3}{2} \alpha_3 t_0 + \varphi_3 \right) \sin \frac{1}{2} \alpha_3 t_0 \cos \alpha_3 t_0 + \dots$$

Рассматривая полученные системы уравнений, видим, что всегда можно исключить из них один из членов правой части, например, первый, так как имеют место следующие соотношения:

$$P_1 = S_1 - 2\Delta u_2 \cos \alpha_1 t_0 = 4C_2 \cos \left(\frac{5}{2} \alpha_2 t_0 + \varphi_2 \right) \sin \frac{1}{2} \alpha_2 t_0 \left(\cos \alpha_2 t_0 - \cos \alpha_1 t_0 \right) + \\ + 4C_3 \cos \left(\frac{5}{2} \alpha_3 t_0 + \varphi_3 \right) \sin \frac{1}{2} \alpha_3 t_0 \left(\cos \alpha_3 t_0 - \cos \alpha_1 t_0 \right) + \dots \quad (2)$$

$$P_2 = S_2 - 2\Delta u_3 \cos \alpha_1 t_0 = 4C_2 \cos \left(\frac{7}{2} \alpha_2 t_0 + \varphi_2 \right) \sin \frac{1}{2} \alpha_2 t_0 \left(\cos \alpha_2 t_0 - \cos \alpha_1 t_0 \right) + \\ + 4C_3 \cos \left(\frac{7}{2} \alpha_3 t_0 + \varphi_3 \right) \sin \frac{1}{2} \alpha_3 t_0 \left(\cos \alpha_3 t_0 - \cos \alpha_1 t_0 \right) + \dots$$

$$P_3 = S_3 - 2\Delta u_4 \cos \alpha_1 t_0 = 4C_2 \cos \left(\frac{9}{2} \alpha_2 t_0 + \varphi_2 \right) \sin \frac{1}{2} \alpha_2 t_0 \left(\cos \alpha_2 t_0 - \cos \alpha_1 t_0 \right) + \\ + 4C_3 \cos \left(\frac{9}{2} \alpha_3 t_0 + \varphi_3 \right) \sin \frac{1}{2} \alpha_3 t_0 \left(\cos \alpha_3 t_0 - \cos \alpha_1 t_0 \right) + \dots$$

$$\dots \dots \dots \\ P_{n-3} = S_{n-3} - 2\Delta u_{n-2} \cos \alpha_1 t_0 = 4C_2 \cos \left(\frac{2n-3}{2} \alpha_2 t_0 + \varphi_2 \right) \sin \frac{1}{2} \alpha_2 t_0 \left(\cos \alpha_2 t_0 - \cos \alpha_1 t_0 \right) + \\ + 4C_3 \cos \left(\frac{2n-3}{2} \alpha_3 t_0 + \varphi_3 \right) \sin \frac{1}{2} \alpha_3 t_0 \left(\cos \alpha_3 t_0 - \cos \alpha_1 t_0 \right) + \dots$$

Если с этими уравнениями поступим подобно предыдущему, то найдем, что

$$Q_1 = P_3 + P_1 - 2P_2 \cos \alpha_2 t_0 = \\ = 8C_3 \cos \left(\frac{7}{2} \alpha_3 t_0 + \varphi_3 \right) \sin \frac{1}{2} \alpha_3 t_0 \left(\cos \alpha_3 t_0 - \cos \alpha_1 t_0 \right) \left(\cos \alpha_3 t_0 - \cos \alpha_2 t_0 \right) + \dots \\ Q_2 = P_4 + P_2 - 2P_3 \cos \alpha_2 t_0 = \quad (3) \\ = 8C_3 \cos \left(\frac{9}{2} \alpha_3 t_0 + \varphi_3 \right) \sin \frac{1}{2} \alpha_3 t_0 \left(\cos \alpha_3 t_0 - \cos \alpha_1 t_0 \right) \left(\cos \alpha_3 t_0 - \cos \alpha_2 t_0 \right) + \dots \\ Q_3 = P_5 + P_3 - 2P_4 \cos \alpha_2 t_0 = \\ = 8C_3 \cos \left(\frac{11}{2} \alpha_3 t_0 + \varphi_3 \right) \sin \frac{1}{2} \alpha_3 t_0 \left(\cos \alpha_3 t_0 - \cos \alpha_1 t_0 \right) \left(\cos \alpha_3 t_0 - \cos \alpha_2 t_0 \right) + \dots \\ \dots \dots \dots$$

$$Q_{n-5} = P_{n-3} + P_{n-5} - 2P_{n-4} \cos \alpha_1 t_0 = \\ = 8C_3 \cos \left(\frac{2n-5}{2} \alpha_3 t_0 + \varphi_3 \right) \sin \frac{1}{2} \alpha_3 t_0 \left(\cos \alpha_3 t_0 - \cos \alpha_1 t_0 \right) \left(\cos \alpha_3 t_0 - \cos \alpha_2 t_0 \right) + \dots$$

Поступая таким же способом далее, получим уравнения следующего вида

$$R_1 = Q_3 + Q_1 - 2Q_2 \cos \alpha_3 t_0 = \\ = 16C_1 \cos \left(\frac{9}{2} \alpha_1 t_0 + \varphi_1 \right) \sin \frac{1}{2} \alpha_1 t_0 \left(\cos \alpha_4 t_0 - \cos \alpha_1 t_0 \right) \left(\cos \alpha_4 t_0 - \cos \alpha_2 t_0 \right) \left(\cos \alpha_4 t_0 - \cos \alpha_3 t_0 \right) + \dots \\ R_2 = Q_4 + Q_2 - 2Q_3 \cos \alpha_3 t_0 = \\ = 16C_1 \cos \left(\frac{11}{2} \alpha_1 t_0 + \varphi_1 \right) \sin \frac{1}{2} \alpha_1 t_0 \left(\cos \alpha_4 t_0 - \cos \alpha_1 t_0 \right) \left(\cos \alpha_4 t_0 - \cos \alpha_2 t_0 \right) \left(\cos \alpha_4 t_0 - \cos \alpha_3 t_0 \right) + \dots \\ R_3 = Q_5 + Q_3 - 2Q_4 \cos \alpha_3 t_0 = \tag{4} \\ = 16C_1 \cos \left(\frac{13}{2} \alpha_1 t_0 + \varphi_1 \right) \sin \frac{1}{2} \alpha_1 t_0 \left(\cos \alpha_4 t_0 - \cos \alpha_1 t_0 \right) \left(\cos \alpha_4 t_0 - \cos \alpha_2 t_0 \right) \left(\cos \alpha_4 t_0 - \cos \alpha_3 t_0 \right) + \dots \\ \dots \dots \dots \\ R_{n-7} = Q_{n-5} + Q_{n-7} - 2Q_{n-6} \cos \alpha_3 t_0 = \\ = 16C_1 \cos \left(\frac{2n-7}{2} \alpha_1 t_0 + \varphi_1 \right) \sin \frac{1}{2} \alpha_1 t_0 \left(\cos \alpha_4 t_0 - \cos \alpha_1 t_0 \right) \left(\cos \alpha_4 t_0 - \cos \alpha_2 t_0 \right) \left(\cos \alpha_4 t_0 - \cos \alpha_3 t_0 \right) + \dots$$

Таким образом мы убеждаемся в том, что, применяя последовательно прием преобразования уравнений, указанный в предыдущих строках, мы имеем возможность добиться того, чтобы в преобразованной системе уравнений правая часть их сделалась равной нулю. Пусть, например, наша функция u является функцией от четырех независимых друг от друга периодов. В таком случае очевидно, что такой системой уравнений будут уравнения

$$T_1 = R_3 + R_1 - 2R_2 \cos \alpha_1 t_0 = 0 \\ T_2 = R_4 + R_2 - 2R_3 \cos \alpha_1 t_0 = 0 \\ T_3 = R_5 + R_3 - 2R_4 \cos \alpha_1 t_0 = 0 \\ \dots \dots \dots \\ T_{n-9} = R_{n-7} + R_{n-9} - 2R_{n-8} \cos \alpha_1 t_0 = 0 \tag{5}$$

Займемся преобразованием их.

Условимся обозначать разности значений функции u вида $(u_{k+1} - u_k)$ знаком Δu_k , так что пусть

$$u_2 - u_1 = \Delta u_1 \quad u_3 - u_2 = \Delta u_2 \quad u_4 - u_3 = \Delta u_3 \quad \dots \quad u_n - u_{n-1} = \Delta u_{n-1}$$

а суммы, составленные из этих разностей, пусть будут равны

$$\begin{array}{llll} \Delta u_3 + \Delta u_1 = S_1 & \Delta u_1 + \Delta u_2 = S_2 & \Delta u_5 + \Delta u_4 = S_3 \dots & \Delta u_{n-1} + \Delta u_{n-3} = S_{n-3} \\ S_3 + S_1 = S_1^2 & S_4 + S_2 = S_2^2 & S_5 + S_3 = S_3^2 & S_{n-3} + S_{n-5} = S_{n-5}^2 \\ S_3^2 + S_1^2 = S_1^3 & S_4^2 + S_2^2 = S_2^3 & S_5^2 + S_3^2 = S_3^3 & S_{n-3}^2 + S_{n-5}^2 = S_{n-7}^3 \\ S_3^3 + S_1^3 = S_1^4 & S_4^3 + S_2^3 = S_2^4 & S_5^3 + S_3^3 = S_3^4 & S_{n-3}^3 + S_{n-5}^3 = S_{n-9}^4 \end{array}$$

Будем называть первый горизонтальный ряд сумм суммами первого порядка, второй ряд — суммами второго порядка, третий ряд — суммами третьего порядка и, наконец, последний ряд — суммами четвертого порядка. Введя такое обозначение, найдем, что любая из функций $P_k, Q_k, R_k \dots$ может быть легко выражена через разности Δu и суммы S согласно формулам

$$P_k = S_k - 2\Delta u_{k+1} \cos \alpha_1 t_0$$

$$Q_k = S_k^2 - 2S_{k+1}(\cos \alpha_1 t_0 + \cos \alpha_2 t_0) + 2^2 \Delta u_{k+2} \cos \alpha_1 t_0 \cos \alpha_2 t_0 \quad (6)$$

$$R_k = S_k^3 - 2S_{k+1}^2(\cos \alpha_1 t_0 + \cos \alpha_2 t_0 + \cos \alpha_3 t_0) + 2^2 S_{k+2}(\cos \alpha_1 t_0 \cos \alpha_2 t_0 + \cos \alpha_1 t_0 \cos \alpha_3 t_0 + \cos \alpha_2 t_0 \cos \alpha_3 t_0) - 2^3 \Delta u_{k+3} \cos \alpha_1 t_0 \cos \alpha_2 t_0 \cos \alpha_3 t_0$$

Принимая это во внимание, найдем, что и функция T_k выразится после подстановки в нее значений R_{k+2}, R_{k+1} и R_k равенством подобного же вида, а именно:

$$T_k = S_k^4 - 2S_{k+1}^3(\cos \alpha_1 t_0 + \cos \alpha_2 t_0 + \cos \alpha_3 t_0 + \cos \alpha_4 t_0) + \quad (7)$$

$$+ 2^2 S_{k+2}^2(\cos \alpha_1 t_0 \cos \alpha_2 t_0 + \cos \alpha_1 t_0 \cos \alpha_3 t_0 + \cos \alpha_1 t_0 \cos \alpha_4 t_0 + \dots + \cos \alpha_3 t_0 \cos \alpha_4 t_0) -$$

$$- 2^3 S_{k+3}(\cos \alpha_1 t_0 \cos \alpha_2 t_0 \cos \alpha_3 t_0 + \dots + \cos \alpha_2 t_0 \cos \alpha_3 t_0 \cos \alpha_4 t_0) +$$

$$+ 2^4 \Delta u_{k+4} \cos \alpha_1 t_0 \cos \alpha_2 t_0 \cos \alpha_3 t_0 \cos \alpha_4 t_0$$

Таким образом нахождение неизвестных периодов из наблюдений приводится прежде всего к решению уравнений вида $P_k = 0; Q_k = 0; R_k = 0$ или $T_k = 0 \dots$, смотря потому, функцией от какого числа независимых периодов мы рассматриваем нашу функцию u . Все они составлены по одному плану, а именно: они заключают в себе в качестве коэффициентов при суммах разного порядка суммы всех возможных сочетаний из $\cos \alpha_1 t_0, \cos \alpha_2 t_0, \cos \alpha_3 t_0, \cos \alpha_4 t_0, \dots$ по одному, по два, по три, по четыре и т. д., которые и могут быть рассматриваемы за неизвестные. Так как этих уравнений может оказаться больше числа неизвестных, то к решению их придется применить метод наименьших квадратов и таким способом будет получено наивероятнейшее значение этих неизвестных. После того можно будет приступить к нахождению значений каждого отдельного косинуса. А это сделать будет легко, так как комбинации, составленные из косинусов, совершенно такие же, как комбинации из корней уравнения степени, равной числу неизвестных косинусов. Поэтому,

например, в случае четырех неизвестных периодов, полагая

$$\begin{aligned} \cos \alpha_1 t_0 + \cos \alpha_2 t_0 + \cos \alpha_3 t_0 + \cos \alpha_4 t_0 &= p \\ \cos \alpha_1 t_0 \cos \alpha_2 t_0 + \cos \alpha_1 t_0 \cos \alpha_3 t_0 + \dots + \cos \alpha_3 t_0 \cos \alpha_4 t_0 &= q \\ \cos \alpha_1 t_0 \cos \alpha_2 t_0 \cos \alpha_3 t_0 + \dots + \cos \alpha_2 t_0 \cos \alpha_3 t_0 \cos \alpha_4 t_0 &= r \\ \cos \alpha_1 t_0 \cos \alpha_2 t_0 \cos \alpha_3 t_0 \cos \alpha_4 t_0 &= s \end{aligned} \quad (8)$$

получим значение каждого отдельного косинуса, решая уравнение 4-ой степени

$$\cos^4 x - p \cos^3 x + q \cos^2 x - r \cos x + s = 0. \quad (9)$$

Когда будут найдены значения косинусов, то неизвестные периоды определяются из равенств

$$T_1 = \frac{2\pi}{\alpha_1} \quad T_2 = \frac{2\pi}{\alpha_2} \quad T_3 = \frac{2\pi}{\alpha_3} \quad T_4 = \frac{2\pi}{\alpha_4}$$

Сравнивая изложенный метод нахождения из наблюдений неизвестных периодов с методом Оппенгейма, можно видеть, что от самого начала и до конца вычисление ведется здесь с помощью подлинных наблюдений и в начальную систему уравнений не вводится ни один коэффициент с приближенным значением, как это имеет место в методе Оппенгейма. Затем немаловажное значение имеет и то обстоятельство, что количество наблюдений, необходимых для нахождения неизвестных периодов, здесь значительно понижается. Так например, имея 13 наблюдений, имеем возможность найти по изложенному в этой главе методу точное значение четырех неизвестных периодов, чего нельзя достигнуть по методу Оппенгейма. Вычисленные по атому способу периоды оказались бы неточными.

ГЛАВА III.

Проделав вычисления согласно вышеизложенной схеме, мы можем найти точное значение всех неизвестных периодов, если число уравнений (1) у нас будет равно числу всех неизвестных, входящих в эти уравнения, или же наивероятнейшее значение их, если число этих уравнений будет больше числа всех неизвестных. Чтобы задачу нашу можно было считать окончательно решенной, остается показать, как можно найти значение коэффициентов $A_0, A_1, A_2, \dots, A_k$ и фаз $\varphi_1, \varphi_2, \varphi_3, \dots, \varphi_k$.

Последовательное исключение периодических членов, входящих в уравнения (1), мы можем произвести иначе. Условимся обозначать

$$\begin{aligned} u_3 + u_1 &= \Sigma_1 & u_4 + u_2 &= \Sigma_2 & u_5 + u_3 &= \Sigma_3 & u_n + u_{n-2} &= \Sigma_{n-2} \\ \Sigma_3 + \Sigma_1 &= \Sigma_1^2 & \Sigma_4 + \Sigma_2 &= \Sigma_2^2 & \Sigma_5 + \Sigma_3 &= \Sigma_3^2 & \Sigma_{n-2} + \Sigma_{n-4} &= \Sigma_{n-4}^2 \\ \Sigma_3^2 + \Sigma_1^2 &= \Sigma_1^3 & \Sigma_4^2 + \Sigma_2^2 &= \Sigma_2^3 & \Sigma_5^2 + \Sigma_3^2 &= \Sigma_3^3 & \Sigma_{n-4}^2 + \Sigma_{n-6}^2 &= \Sigma_{n-6}^3 \end{aligned}$$

и т. д.

С другой стороны, пусть будут равны

$$\begin{aligned} u_3 - u_1 = D_1 & & u_4 - u_2 = D_2 & & u_5 - u_3 = D_3 & & u_n - u_{n-2} = D_{n-2} \\ D_3 + D_1 = \Theta_1 & & D_4 + D_2 = \Theta_2 & & D_5 + D_3 = \Theta_3 & & D_{n-2} + D_{n-4} = \Theta_{n-4} \\ \Theta_3 + \Theta_1 = \Theta_1^2 & & \Theta_4 + \Theta_2 = \Theta_2^2 & & \Theta_5 + \Theta_3 = \Theta_3^2 & & \Theta_{n-4} + \Theta_{n-6} = \Theta_{n-6}^2 \end{aligned}$$

и т. д.

Составляя суммы Σ , мы, очевидно, будем иметь

$$\Sigma_1 = 2A_0 + 2A_1 \cos \alpha_1 t_0 \sin(2\alpha_1 t_0 + \varphi_1) +$$

$$+ 2A_2 \cos \alpha_2 t_0 \sin(2\alpha_2 t_0 + \varphi_2) + \dots + 2A_k \cos \alpha_k t_0 \sin(2\alpha_k t_0 + \varphi_k)$$

$$\Sigma_2 = 2A_0 + 2A_1 \cos \alpha_1 t_0 \sin(3\alpha_1 t_0 + \varphi_1) +$$

$$+ 2A_2 \cos \alpha_2 t_0 \sin(3\alpha_2 t_0 + \varphi_2) + \dots + 2A_k \cos \alpha_k t_0 \sin(3\alpha_k t_0 + \varphi_k)$$

$$\dots \dots \dots \Sigma_{n-2} = 2A_0 + 2A_1 \cos \alpha_1 t_0 \sin((n-1)\alpha_1 t_0 + \varphi_1) +$$

$$+ 2A_2 \cos \alpha_2 t_0 \sin((n-1)\alpha_2 t_0 + \varphi_2) + \dots + 2A_k \cos \alpha_k t_0 \sin((n-1)\alpha_k t_0 + \varphi_k)$$

Так как какое угодно u_{p+1} равно

$$u_{p+1} = A_0 + A_1 \sin((p+1)\alpha_1 t_0 + \varphi_1) +$$

$$+ A_2 \sin((p+1)\alpha_2 t_0 + \varphi_2) + \dots + A_k \sin((p+1)\alpha_k t_0 + \varphi_k)$$

$$^a \Sigma_p = 2A_0 + 2A_1 \cos \alpha_1 t_0 \sin((p+1)\alpha_1 t_0 + \varphi_1) + \dots + 2A_k \cos \alpha_k t_0 \sin((p+1)\alpha_k t_0 + \varphi_k)$$

то, вычитая из Σ_p удвоенное $u_{p+1} \cos \alpha_1 t_0$ будем иметь выражение, свободное от члена $2A_1 \cos \alpha_1 t_0 \sin((p+1)\alpha_1 t_0 + \varphi_1)$. Давая значку

p значения последовательно 1, 2, 3, 4..., будем иметь такие уравнения:

$$P'_1 = \Sigma_1 - 2u_2 \cos \alpha_1 t_0 = 2A_0(1 - \cos \alpha_1 t_0) +$$

$$+ 2A_2(\cos \alpha_2 t_0 - \cos \alpha_1 t_0) \sin(2\alpha_2 t_0 + \varphi_2) + \dots + 2A_k(\cos \alpha_k t_0 - \cos \alpha_1 t_0) \sin(2\alpha_k t_0 + \varphi_k)$$

$$P'_2 = \Sigma_2 - 2u_3 \cos \alpha_1 t_0 = 2A_0(1 - \cos \alpha_1 t_0) + \quad (2a)$$

$$+ 2A_2(\cos \alpha_2 t_0 - \cos \alpha_1 t_0) \sin(3\alpha_2 t_0 + \varphi_2) + \dots + 2A_k(\cos \alpha_k t_0 - \cos \alpha_1 t_0) \sin(3\alpha_k t_0 + \varphi_k)$$

$$P'_3 = \Sigma_3 - 2u_4 \cos \alpha_1 t_0 = 2A_0(1 - \cos \alpha_1 t_0) +$$

$$+ 2A_2(\cos \alpha_2 t_0 - \cos \alpha_1 t_0) \sin(4\alpha_2 t_0 + \varphi_2) + \dots + 2A_k(\cos \alpha_k t_0 - \cos \alpha_1 t_0) \sin(4\alpha_k t_0 + \varphi_k)$$

и т. д.

Легко убедиться, что, если мы станем составлять подобные предыдущим выражения вида $Q'_p = P'_p + P'_{p+2} - 2P'_{p+1} \cos \alpha_2 t_0$, то найдем, чт,

они будут свободны от члена $4A_2(\cos \alpha_2 t_0 - \cos \alpha_1 t_0) \sin((p+2)\alpha_2 t_0 + \varphi_2)$

потому что все они будут писаться так:

$$Q'_1 = P'_1 + P'_3 - 2P'_2 \cos \alpha_2 t_0 = 4A_0(1 - \cos \alpha_1 t_0)(1 - \cos \alpha_2 t_0) + \\ + 4A_3(\cos \alpha_3 t_0 - \cos \alpha_1 t_0)(\cos \alpha_3 t_0 - \cos \alpha_2 t_0) \sin(3\alpha_3 t_0 + \varphi_3) + \dots \\ Q'_2 = P'_2 + P'_4 - 2P'_3 \cos \alpha_2 t_0 = 4A_0(1 - \cos \alpha_1 t_0)(1 - \cos \alpha_2 t_0) + \\ + 4A_3(\cos \alpha_3 t_0 - \cos \alpha_1 t_0)(\cos \alpha_3 t_0 - \cos \alpha_2 t_0) \sin(4\alpha_3 t_0 + \varphi_3) + \dots \\ Q'_3 = P'_3 + P'_5 - 2P'_4 \cos \alpha_2 t_0 = 4A_0(1 - \cos \alpha_1 t_0)(1 - \cos \alpha_2 t_0) + \\ + 4A_3(\cos \alpha_3 t_0 - \cos \alpha_1 t_0)(\cos \alpha_3 t_0 - \cos \alpha_2 t_0) \sin(5\alpha_3 t_0 + \varphi_3) + \dots$$

и т. д.

Подобным же образом найдем, что

$$R'_1 = Q'_1 + Q'_3 - 2Q'_2 \cos \alpha_3 t_0 = 8A_0(1 - \cos \alpha_1 t_0)(1 - \cos \alpha_2 t_0)(1 - \cos \alpha_3 t_0) + \\ + 8A_4(\cos \alpha_4 t_0 - \cos \alpha_1 t_0)(\cos \alpha_4 t_0 - \cos \alpha_2 t_0)(\cos \alpha_4 t_0 - \cos \alpha_3 t_0) \sin(4\alpha_4 t_0 + \varphi_4) + \dots \\ R'_2 = Q'_2 + Q'_4 - 2Q'_3 \cos \alpha_3 t_0 = 8A_0(1 - \cos \alpha_1 t_0)(1 - \cos \alpha_2 t_0)(1 - \cos \alpha_3 t_0) + \\ + 8A_4(\cos \alpha_4 t_0 - \cos \alpha_1 t_0)(\cos \alpha_4 t_0 - \cos \alpha_2 t_0)(\cos \alpha_4 t_0 - \cos \alpha_3 t_0) \sin(5\alpha_4 t_0 + \varphi_4) + \dots \\ R'_3 = Q'_3 + Q'_5 - 2Q'_4 \cos \alpha_3 t_0 = 8A_0(1 - \cos \alpha_1 t_0)(1 - \cos \alpha_2 t_0)(1 - \cos \alpha_3 t_0) + \\ + 8A_4(\cos \alpha_4 t_0 - \cos \alpha_1 t_0)(\cos \alpha_4 t_0 - \cos \alpha_2 t_0)(\cos \alpha_4 t_0 - \cos \alpha_3 t_0) \sin(6\alpha_4 t_0 + \varphi_4) + \dots$$

и т. д.

а также

$$T'_1 = R'_1 + R'_3 - 2R'_2 \cos \alpha_4 t_0 = 16A_0(1 - \cos \alpha_1 t_0)(1 - \cos \alpha_2 t_0)(1 - \cos \alpha_3 t_0)(1 - \cos \alpha_4 t_0) + \\ + 16A_5(\cos \alpha_5 t_0 - \cos \alpha_1 t_0) \dots (\cos \alpha_5 t_0 - \cos \alpha_4 t_0) \sin(5\alpha_5 t_0 + \varphi_5) + \dots \\ T'_2 = R'_2 + R'_4 - 2R'_3 \cos \alpha_4 t_0 = 16A_0(1 - \cos \alpha_1 t_0)(1 - \cos \alpha_2 t_0)(1 - \cos \alpha_3 t_0)(1 - \cos \alpha_4 t_0) + \\ + 16A_5(\cos \alpha_5 t_0 - \cos \alpha_1 t_0) \dots (\cos \alpha_5 t_0 - \cos \alpha_4 t_0) \sin(6\alpha_5 t_0 + \varphi_5) + \dots \\ T'_3 = R'_3 + R'_5 - 2R'_4 \cos \alpha_4 t_0 = 16A_0(1 - \cos \alpha_1 t_0)(1 - \cos \alpha_2 t_0)(1 - \cos \alpha_3 t_0)(1 - \cos \alpha_4 t_0) + \\ + 16A_5(\cos \alpha_5 t_0 - \cos \alpha_1 t_0) \dots (\cos \alpha_5 t_0 - \cos \alpha_4 t_0) \sin(7\alpha_5 t_0 + \varphi_5) + \dots$$

и т. д.

Таким образом, как бы ни было велико число периодических членов в системе уравнений (1), мы всетаки всегда можем их исключить и получить такие уравнения, в которых будет оставаться в качестве неизвестного только постоянное A_0 . Пусть эти уравнения будут

$$W'_1 + W'_3 - 2W'_2 \cos \alpha_k t_0 = 2^k A_0(1 - \cos \alpha_1 t_0)(1 - \cos \alpha_2 t_0) \dots (1 - \cos \alpha_k t_0) \\ W'_2 + W'_4 - 2W'_3 \cos \alpha_k t_0 = 2^k A_0(1 - \cos \alpha_1 t_0)(1 - \cos \alpha_2 t_0) \dots (1 - \cos \alpha_k t_0) \\ W'_3 + W'_5 - 2W'_4 \cos \alpha_k t_0 = 2^k A_0(1 - \cos \alpha_1 t_0)(1 - \cos \alpha_2 t_0) \dots (1 - \cos \alpha_k t_0)$$

и т. д.

Так как в этих уравнениях периоды мы можем считать известными, а выражения W являются функциями только от наблюдаемых величин $u_1, u_2, u_3, \dots, u_n$ и этих же периодов, то очевидно, что любое из них нам может служить для определения числового значения постоянного A_0 . Развертывая в строку выражение $W_p + W'_{p+2} - 2W'_{p+1} \cos \alpha_k t_0$ и делая таким образом явной зависимость его от периодов и наблюдаемых величин, найдем равенства такого вида

$$\begin{aligned} y_p^k - 2q_1 y_{p+1}^{k-1} + 2q_2 y_{p+2}^{k-2} - 2q_3 y_{p+3}^{k-3} + \dots \pm 2q_{k-1} y_{p+k-1} - 2q_k u_{p+k} = \\ = 2^k A_0 (1 - q_1 + q_2 - q_3 + \dots + q_k) \end{aligned} \quad (11)$$

где под буквами $q_1, q_2, q_3, \dots, q_k$ мы должны подразумевать числовое значение следующих выражений

$$\begin{aligned} q_1 &= \cos \alpha_1 t_0 + \cos \alpha_2 t_0 + \cos \alpha_3 t_0 + \dots + \cos \alpha_k t_0 \\ q_2 &= \cos \alpha_1 t_0 \cos \alpha_2 t_0 + \cos \alpha_1 t_0 \cos \alpha_3 t_0 + \dots + \cos \alpha_{k-1} t_0 \cos \alpha_k t_0 \\ q_3 &= \cos \alpha_1 t_0 \cos \alpha_2 t_0 \cos \alpha_3 t_0 + \cos \alpha_1 t_0 \cos \alpha_2 t_0 \cos \alpha_4 t_0 + \dots \\ &\quad + \cos \alpha_{k-2} t_0 \cos \alpha_{k-1} t_0 \cos \alpha_k t_0 \end{aligned} \quad (12)$$

$$q_k = \cos \alpha_1 t_0 \cos \alpha_2 t_0 \cos \alpha_3 t_0 \cos \alpha_4 t_0 \dots \cos \alpha_k t_0$$

а $1 - q_1 + q_2 - q_3 + \dots + q_k$ заменяет собою произведение $(1 - \cos \alpha_1 t_0) (1 - \cos \alpha_2 t_0) \dots (1 - \cos \alpha_k t_0)$.

Само собою разумеется, что, если в системе уравнений (1) число уравнений будет больше числа всех неизвестных, то, находя неизвестное A_0 из разных уравнений типа (11), мы будем получать для него разные значения. Поэтому необходимо сложить все уравнения типа (11) и определять A_0 из получающегося таким способом одного уравнения. В этом случае определенное из такого уравнения числовое значение постоянного A_0 будет наиболее вероятным.

Подготовим теперь уравнения, при помощи которых можно точно определить какую угодно из амплитуд $A_1, A_2, A_3, \dots, A_k$ и фаз $\varphi_1, \varphi_2, \varphi_3, \dots, \varphi_k$. Для этого займемся нахождением выражений для разностей D и сумм Θ . Находя по уравнениям (1) разности $(u_3 - u_1), (u_4 - u_2), (u_5 - u_3), \dots$, мы получим такие равенства:

$$u_3 - u_1 = D_1 = 2A_1 \sin \alpha_1 t_0 \cos(2\alpha_1 t_0 + \varphi_1) + 2A_2 \sin \alpha_2 t_0 \cos(2\alpha_2 t_0 + \varphi_2) + \dots + 2A_k \sin \alpha_k t_0 \cos(2\alpha_k t_0 + \varphi_k)$$

$$u_4 - u_2 = D_2 = 2A_1 \sin \alpha_1 t_0 \cos(3\alpha_1 t_0 + \varphi_1) + 2A_2 \sin \alpha_2 t_0 \cos(3\alpha_2 t_0 + \varphi_2) + \dots + 2A_k \sin \alpha_k t_0 \cos(3\alpha_k t_0 + \varphi_k)$$

$$u_5 - u_3 = D_3 = 2A_1 \sin \alpha_1 t_0 \cos(4\alpha_1 t_0 + \varphi_1) + 2A_2 \sin \alpha_2 t_0 \cos(4\alpha_2 t_0 + \varphi_2) + \dots + 2A_k \sin \alpha_k t_0 \cos(4\alpha_k t_0 + \varphi_k)$$

$$\begin{aligned} u_n - u_{n-2} = D_{n-2} = 2A_1 \sin \alpha_1 t_0 \cos((n-1)\alpha_1 t_0 + \varphi_1) + 2A_2 \sin \alpha_2 t_0 \cos((n-1)\alpha_2 t_0 + \varphi_2) + \dots \\ + 2A_k \sin \alpha_k t_0 \cos((n-1)\alpha_k t_0 + \varphi_k) \end{aligned}$$

откуда

$$\begin{aligned}\Theta_1 &= D_1 + D_3 = 4A_1 \sin \alpha_1 t_0 \cos \alpha_1 t_0 \cos(3\alpha_1 t_0 + \varphi_1) + \dots \\ &\quad + 4A_k \sin \alpha_k t_0 \cos \alpha_k t_0 \cos(3\alpha_k t_0 + \varphi_k) \\ \Theta_2 &= D_2 + D_4 = 4A_1 \sin \alpha_1 t_0 \cos \alpha_1 t_0 \cos(4\alpha_1 t_0 + \varphi_1) + \dots \\ &\quad + 4A_k \sin \alpha_k t_0 \cos \alpha_k t_0 \cos(4\alpha_k t_0 + \varphi_k) \\ \Theta_3 &= D_3 + D_5 = 4A_1 \sin \alpha_1 t_0 \cos \alpha_1 t_0 \cos(5\alpha_1 t_0 + \varphi_1) + \dots \\ &\quad + 4A_k \sin \alpha_k t_0 \cos \alpha_k t_0 \cos(5\alpha_k t_0 + \varphi_k)\end{aligned}$$

и т. д.

Из последней серии равенств получается

$$\begin{aligned}P_1'' &= \Theta_1 - 2D_2 \cos \alpha_1 t_0 = 4A_2 \sin \alpha_2 t_0 (\cos \alpha_2 t_0 - \cos \alpha_1 t_0) \cos(3\alpha_2 t_0 + \varphi_2) + \dots \\ &\quad + 4A_k \sin \alpha_k t_0 (\cos \alpha_k t_0 - \cos \alpha_1 t_0) \cos(3\alpha_k t_0 + \varphi_k) \\ P_2'' &= \Theta_2 - 2D_3 \cos \alpha_1 t_0 = 4A_2 \sin \alpha_2 t_0 (\cos \alpha_2 t_0 - \cos \alpha_1 t_0) \cos(4\alpha_2 t_0 + \varphi_2) + \dots \\ &\quad + 4A_k \sin \alpha_k t_0 (\cos \alpha_k t_0 - \cos \alpha_1 t_0) \cos(4\alpha_k t_0 + \varphi_k) \quad (13) \\ P_3'' &= \Theta_3 - 2D_4 \cos \alpha_1 t_0 = 4A_2 \sin \alpha_2 t_0 (\cos \alpha_2 t_0 - \cos \alpha_1 t_0) \cos(5\alpha_2 t_0 + \varphi_2) + \dots \\ &\quad + 4A_k \sin \alpha_k t_0 (\cos \alpha_k t_0 - \cos \alpha_1 t_0) \cos(5\alpha_k t_0 + \varphi_k)\end{aligned}$$

и т. д.

т.е. получаются такие равенства, в которых совершенно отсутствует периодический член с постоянными A_1, α_1, φ_1 .

Продолжая исключать периодические члены таким же путем, как выше, составляя для этого последовательно выражения вида

$$\begin{aligned}Q_p'' &= P_p'' + P_{p+2}'' - 2P_{p+1}'' \cos \alpha_2 t_0 \\ R_p'' &= Q_p'' + Q_{p+2}'' - 2Q_{p+1}'' \cos \alpha_3 t_0 \\ T_p'' &= R_p'' + R_{p+2}'' - 2R_{p+1}'' \cos \alpha_4 t_0\end{aligned} \quad (14)$$

и т. д.

мы дойдем в конце концов до таких уравнений, в правой части которых будет находиться член, зависящий только от A_k, α_k и φ_k . На них и остановимся. Развернутые в строку, эти уравнения будут иметь такой вид:

$$\begin{aligned}\Theta_p^{k-1} - 2q_1' \Theta_{p+1}^{k-2} + 2^2 q_2' \Theta_{p+2}^{k-3} - 2^3 q_3' \Theta_{p+3}^{k-4} + \dots \pm 2^{k-1} q_{k-1}' D_{p+k-1} &= \\ = 2^k A_k \sin \alpha_k t_0 (\cos \alpha_k t_0 - \cos \alpha_1 t_0) \dots (\cos \alpha_k t_0 - \cos \alpha_{k-1} t_0) \cos((p+k)\alpha_k t_0 + \varphi_k)\end{aligned} \quad (15)$$

где значек p обозначает одно из чисел 1, 2, 3, 4, ..., а числовое значение коэффициентов $q_1', q_2', q_3', \dots, q_{k-1}'$ может быть найдено

по формулам

$$\begin{aligned}
 q'_1 &= \cos \alpha_1 t_0 + \cos \alpha_2 t_0 + \cos \alpha_3 t_0 + \dots + \cos \alpha_{k-1} t_0 \\
 q'_2 &= \cos \alpha_1 t_0 \cos \alpha_2 t_0 + \cos \alpha_1 t_0 \cos \alpha_3 t_0 + \dots + \cos \alpha_{k-2} t_0 \cos \alpha_{k-1} t_0 \quad (12a) \\
 q'_3 &= \cos \alpha_1 t_0 \cos \alpha_2 t_0 \cos \alpha_3 t_0 + \cos \alpha_1 t_0 \cos \alpha_2 t_0 \cos \alpha_4 t_0 + \dots + \cos \alpha_{k-3} t_0 \cos \alpha_{k-2} t_0 \cos \alpha_{k-1} t_0 \\
 &\dots \dots \dots \\
 q'_{k-1} &= \cos \alpha_1 t_0 \cos \alpha_2 t_0 \cos \alpha_3 t_0 \dots \cos \alpha_{k-2} t_0 \cos \alpha_{k-1} t_0
 \end{aligned}$$

Эти формулы показывают, что коэффициенты $q'_1, q'_2, q'_3 \dots q'_{k-1}$ суть коэффициенты уравнения, которое получается от деления уравнения, служащего для определения неизвестных периодов, на бином $(\cos x - \cos \alpha_k t_0)$. Иметь в виду это обстоятельство весьма важно, так как оно позволяет при вычислениях произвести довольно значительное упрощение.

Если к уравнению (15) мы присоединим теперь уравнение

$$W_{p+1} = 2^{k-1} A_0 (1 - \cos \alpha_1 t_0) (1 - \cos \alpha_2 t_0) \dots (1 - \cos \alpha_{k-1} t_0) + 2^{k-1} A_k (\cos \alpha_k t_0 - \cos \alpha_1 t_0) \dots (\cos \alpha_k t_0 - \cos \alpha_{k-1} t_0) \sin((p+k)\alpha_k t_0 + \varphi_k) \quad (16)$$

где значек p снова обозначает одно из чисел 1, 2, 3, 4..., то мы получим систему таких уравнений, в которые неизвестные A_k и φ_k будут входить в весьма удобной форме для определения того и другого из них. Развернутое в строку, уравнение (16), после перенесения члена $2^{k-1} A_0 (1 - q'_1 + q'_2 - q'_3 + \dots \pm q'_{k-1})$ в левую часть, дает нам равенство

$$\begin{aligned}
 &\Sigma_{p+1}^{k-1} - 2q'_1 \Sigma_{p+2}^{k-2} + 2^2 q'_2 \Sigma_{p+3}^{k-3} - 2^3 q'_3 \Sigma_{p+4}^{k-4} + \dots \pm 2^{k-1} q'_{k-1} u_{p+k} - \\
 &- 2^{k-1} A_0 (1 - q'_1 + q'_2 - q'_3 + \dots \pm q'_{k-1}) = \quad (17) \\
 &= 2^{k-1} A_k (\cos \alpha_k t_0 - \cos \alpha_1 t_0) (\cos \alpha_k t_0 - \cos \alpha_2 t_0) \dots (\cos \alpha_k t_0 - \cos \alpha_{k-1} t_0) \sin((p+k)\alpha_k t_0 + \varphi_k)
 \end{aligned}$$

Таким образом определение амплитуды A_k и фазы φ_k может быть произведено по формулам

$$\text{tang}((p+k)\alpha_k t_0 + \varphi_k) = \frac{2M}{N} \sin \alpha_k t_0 \quad (18)$$

$$A_k = \frac{M}{2^{k-1} (\cos \alpha_k t_0 - \cos \alpha_1 t_0) \dots (\cos \alpha_k t_0 - \cos \alpha_{k-1} t_0) \sin((p+k)\alpha_k t_0 + \varphi_k)} \quad (19)$$

или же

$$A_k = \frac{N}{2^k \sin \alpha_k t_0 (\cos \alpha_k t_0 - \cos \alpha_1 t_0) \dots (\cos \alpha_k t_0 - \cos \alpha_{k-1} t_0) \cos((p+k)\alpha_k t_0 + \varphi_k)} \quad (20)$$

где буквы M и N заменяют собою левые части уравнений (17) и (15).

Если в этих формулах значку при буквах A_k, α_k и φ_k мы будем давать последовательно значения 1, 2, 3, ..., $(k-1)$, коэффициентам $q'_1, q'_2, q'_3, \dots, q'_{k-1}$ будем

придавать соответственные этим случаям частные значения согласно формулам (12), а в биномах, произведение из которых стоит в знаменателе дробей, выражающих собою числовое значение амплитуды A_k , будем менять места у $\cos \alpha_k t_0$ и того косинуса, в котором значек при α одинаков с значком отыскиваемой амплитуды A , то мы найдем по ним все неизвестные амплитуды $A_1, A_2, A_3, \dots, A_k$ и фазы $\varphi_1, \varphi_2, \varphi_3, \dots, \varphi_k$ и задачу относительно решения системы уравнений (1) можем считать окончательно разрешенной.

Когда число уравнений в системе (1) будет равно $3k+1$, то по методу, изложенному выше, мы найдем вполне точное значение всех амплитуд $A_1, A_2, A_3, \dots, A_k$, фаз $\varphi_1, \varphi_2, \varphi_3, \dots, \varphi_k$, периодов $\alpha_1, \alpha_2, \alpha_3, \dots, \alpha_k$ и постоянного A_0 . Может однако случиться, что число уравнений (1) будет больше числа всех неизвестных. Посмотрим, как в этом случае можно будет найти все неизвестные амплитуды A_1, A_2, \dots, A_k и фазы $\varphi_1, \varphi_2, \varphi_3, \dots, \varphi_k$.

Как можно найти неизвестные периоды $\alpha_1, \alpha_2, \dots, \alpha_k$ и постоянное A_0 в том случае, когда число уравнений (1) больше $3k+1$, было показано выше. По этому будем предполагать, что периоды α и постоянное A_0 нам известны.

Мы видели, что амплитуды A_k и фаза φ_k могут быть определены решением одного из следующих уравнений

$$\begin{aligned} & \Theta_1^{k-1} - 2q_1' \Theta_2^{k-2} + 2^2 q_2' \Theta_3^{k-3} - 2^3 q_3' \Theta_4^{k-4} + \dots \pm 2^{k-1} q_{k-1}' D_k = \\ & = 2^k A_k \sin \alpha_k t_0 (\cos \alpha_k t_0 - \cos \alpha_1 t_0) \dots (\cos \alpha_k t_0 - \cos \alpha_{k-1} t_0) \cos \left((k+1) \alpha_k t_0 + \varphi_k \right) \end{aligned}$$

$$\begin{aligned} & \Theta_2^{k-1} - 2q_1' \Theta_3^{k-2} + 2^2 q_2' \Theta_4^{k-3} - 2^3 q_3' \Theta_5^{k-4} + \dots \pm 2^{k-1} q_{k-1}' D_{k+1} = \quad (21) \\ & = 2^k A_k \sin \alpha_k t_0 (\cos \alpha_k t_0 - \cos \alpha_1 t_0) \dots (\cos \alpha_k t_0 - \cos \alpha_{k-1} t_0) \cos \left((k+2) \alpha_k t_0 + \varphi_k \right) \end{aligned}$$

$$\begin{aligned} & \Theta_{n-2k-1}^{k-1} - 2q_1' \Theta_{n-2k}^{k-2} + 2^2 q_2' \Theta_{n-2k+1}^{k-3} - \dots \pm 2^{k-1} q_{k-1}' D_{n-k-2} = \\ & = 2^k A_k \sin \alpha_k t_0 (\cos \alpha_k t_0 - \cos \alpha_1 t_0) \dots (\cos \alpha_k t_0 - \cos \alpha_{k-1} t_0) \cos \left((n-k-1) \alpha_k t_0 + \varphi_k \right) \end{aligned}$$

совместно с одним из уравнений

$$\begin{aligned} & \Upsilon_2^{k-1} - 2q_1' \Upsilon_3^{k-2} + 2^2 q_2' \Upsilon_4^{k-3} - \dots \pm 2^{k-1} q_{k-1}' u_{k+1} - \\ & - 2^{k-1} A_0 (1 - \cos \alpha_1 t_0) (1 - \cos \alpha_2 t_0) \dots (1 - \cos \alpha_{k-1} t_0) = \\ & = 2^{k-1} A_k (\cos \alpha_k t_0 - \cos \alpha_1 t_0) (\cos \alpha_k t_0 - \cos \alpha_2 t_0) \dots (\cos \alpha_k t_0 - \cos \alpha_{k-1} t_0) \sin \left((k+1) \alpha_k t_0 + \varphi_k \right) \end{aligned}$$

$$\begin{aligned} & \Upsilon_3^{k-1} - 2q_1' \Upsilon_4^{k-2} + 2^2 q_2' \Upsilon_5^{k-3} - \dots \pm 2^{k-1} q_{k-1}' u_{k+2} - \\ & - 2^{k-1} A_0 (1 - \cos \alpha_1 t_0) (1 - \cos \alpha_2 t_0) \dots (1 - \cos \alpha_{k-1} t_0) = \quad (22) \end{aligned}$$

$$= 2^{k-1} A_k (\cos \alpha_k t_0 - \cos \alpha_1 t_0) (\cos \alpha_k t_0 - \cos \alpha_2 t_0) \dots (\cos \alpha_k t_0 - \cos \alpha_{k-1} t_0) \sin \left((k+2) \alpha_k t_0 + \varphi_k \right)$$

$$\begin{aligned} & \Upsilon_{n-2k}^{k-1} - 2q_1' \Upsilon_{n-2k+1}^{k-2} + 2^2 q_2' \Upsilon_{n-2k+2}^{k-3} - \dots \pm 2^{k-1} q_{k-1}' u_{n-k-1} - \\ & - 2^{k-1} A_0 (1 - \cos \alpha_1 t_0) (1 - \cos \alpha_2 t_0) \dots (1 - \cos \alpha_{k-1} t_0) = \end{aligned}$$

$$= 2^{k-1} A_k (\cos \alpha_k t_0 - \cos \alpha_1 t_0) \dots (\cos \alpha_k t_0 - \cos \alpha_{k-1} t_0) \sin \left((n-k-1) \alpha_k t_0 + \varphi_k \right)$$

Возьмем сумму каждой из систем этих уравнений. Вводя знак \sum для обозначения результата суммирования, сумму уравнений (21) можем изобразить так

$$\begin{aligned} & \sum_1^{n-2k} \Theta_r^{k-1} - 2q'_1 \sum_2^{n-2k+1} \Theta_r^{k-2} + 2^2 q'_2 \sum_3^{n-2k+2} \Theta_r^{k-3} - 2^3 q'_3 \sum_4^{n-2k+3} \Theta_r^{k-4} + \dots \pm 2^{k-1} q'_{k-1} \sum_k^{n-k-1} D_r = \\ & = 2^k A_k \sin \alpha_k t_0 (\cos \alpha_k t_0 - \cos \alpha_1 t_0) \dots (\cos \alpha_k t_0 - \cos \alpha_{k-1} t_0) \left\{ \cos((k+1)\alpha_k t_0 + \varphi_k) + \dots \right. \\ & \quad \left. + \cos((n-k-1)\alpha_k t_0 + \varphi_k) \right\} \end{aligned} \quad (23)$$

а сумму уравнений (24) написать в таком виде

$$\begin{aligned} & \sum_2^{n-2k+1} \Upsilon_r^{k-1} - 2q'_1 \sum_3^{n-2k+2} \Upsilon_r^{k-2} + 2^2 q'_2 \sum_4^{n-2k+3} \Upsilon_r^{k-3} - \dots \\ & \pm 2^{k-1} q'_{k-1} \sum_{k+1}^{n-k} u_r - 2^k A_0 (n-2k) (1 - q'_1 + q'_2 - \dots \pm q'_{k-1}) = \\ & = 2^{k-1} A_k (\cos \alpha_k t_0 - \cos \alpha_1 t_0) \dots (\cos \alpha_k t_0 - \cos \alpha_{k-1} t_0) \left\{ \sin((k+1)\alpha_k t_0 + \varphi_k) + \dots \right. \\ & \quad \left. + \sin((n-k-1)\alpha_k t_0 + \varphi_k) \right\} \end{aligned} \quad (24)$$

Но из математики известно, что

$$\begin{aligned} & \cos((k+1)\alpha + \varphi) + \cos((k+2)\alpha + \varphi) + \dots + \cos((n-k-1)\alpha + \varphi) = \\ & = \frac{\sin \frac{n-2k-1}{2} \alpha}{\sin \frac{\alpha}{2}} \cos\left(\frac{n}{2}\alpha + \varphi\right) \end{aligned}$$

и

$$\begin{aligned} & \sin((k+1)\alpha + \varphi) + \sin((k+2)\alpha + \varphi) + \dots + \sin((n-k-1)\alpha + \varphi) = \\ & = \frac{\sin \frac{n-2k-1}{2} \alpha}{\sin \frac{\alpha}{2}} \sin\left(\frac{n}{2}\alpha + \varphi\right) \end{aligned}$$

а потому

$$\begin{aligned} M' & = 2^{k-1} A_k (\cos \alpha_k t_0 - \cos \alpha_1 t_0) (\cos \alpha_k t_0 - \cos \alpha_2 t_0) \dots \\ & \dots (\cos \alpha_k t_0 - \cos \alpha_{k-1} t_0) \frac{\sin \frac{n-2k-1}{2} \alpha_k t_0}{\sin \frac{\alpha_k t_0}{2}} \sin\left(\frac{n}{2} \alpha_k t_0 + \varphi_k\right) \end{aligned} \quad (25)$$

$$N' = 2^k A_k \sin \alpha_k t_0 (\cos \alpha_k t_0 - \cos \alpha_1 t_0) (\cos \alpha_k t_0 - \cos \alpha_2 t_0) \dots$$

$$\dots (\cos \alpha_k t_0 - \cos \alpha_{k-1} t_0) \frac{\sin \frac{n-2k-1}{2} \alpha_k t_0}{\sin \frac{\alpha_k t_0}{2}} \cos \left(\frac{n}{2} \alpha_k t_0 + \varphi_k \right) \quad (26)$$

где M' и N' суть левые части уравнений (23) и (24).

Очевидно, что если мы разделим первое из этих уравнений на второе, то мы найдем числовое значение $\operatorname{tg} \left(\frac{n}{2} \alpha_k t_0 + \varphi_k \right)$, которое потом нам может послужить и для нахождения фазы φ_k . Когда же эта фаза нам будет известна, то при помощи того или другого из уравнений (25) и (26) может быть найдено числовое значение и амплитуды A_k .

Чтобы определить все остальные амплитуды и фазы следует поступить с значком k и коэффициентами $q'_1, q'_2, q'_3, \dots, q'_{k-1}$ так, как было пояснено выше. Тогда изменившиеся надлежащим образом формулы (25) и (26) окажутся пригодными для вычисления по ним всех остальных неизвестных амплитуд и фаз.

ГЛАВА IV.

Чтобы показать на примере ход вычислений согласно вышеизложенной теории, решим задачу о периодах в пятнообразовательной деятельности солнца по наблюдениям астронома Швабе. Я беру эти наблюдения потому, что они обнимают собою промежуток в 43 года и принадлежат одному наблюдателю, почему могут быть использованы непосредственно без вычисления так называемых относительных чисел.

По наблюдениям Швабе количество пятен на солнце было таково:

1826 г.	118	1840 г.	152	1854 г.	67
1827	161	1841	102	1855	38
1828	225	1842	68	1856	34
1829	199	1843	34	1857	98
1830	190	1844	52	1858	202
1831	149	1845	114	1859	205
1832	84	1846	157	1860	211
1833	33	1847	257	1861	204
1834	51	1848	330	1862	160
1835	173	1849	238	1863	124
1836	272	1850	186	1864	130
1837	333	1851	151	1865	93
1838	282	1852	125	1866	45
1839	162	1853	91	1867	25
				1868	101

Из этих наблюдений явствует, что пятнообразовательная деятельность солнца без всякого сомнения есть периодическое явление. Ограничимся предположением, что в ней участвуют четыре независимых периода, которые и надлежит определить.

Вычислим прежде всего ряды разностей и сумм до 4-го порядка включительно. Эти ряды будут следующие:

$\Delta_{цк}$	S_k	S_k^2	S_k^3	S_k^4	$\Delta_{цк}$	S_k	S_k^2	S_k^3	S_k^4
43	17	- 50	-209	-389	73	22	- 56	-184	-390
64	55	- 19	-140	-191	- 92	-127	-196	-328	-488
- 26	- 67	-159	-180	53	- 52	- 78	-128	-206	-212
- 9	- 74	-121	- 51	184	- 35	- 69	-132	-160	- 86
- 41	- 92	- 21	233	611	- 26	- 50	- 78	- 6	276
- 65	- 47	70	235	387	- 34	- 63	- 28	74	239
- 51	71	254	378	273	- 24	- 28	72	282	564
18	117	165	152	35	- 29	35	102	165	181
122	183	124	-105	-600	- 4	100	210	282	278
99	48	- 13	-117	-280	64	67	63	16	-147
61	- 59	-229	-483	-793	104	110	72	- 4	-160
- 51	- 61	-104	-163	-177	3	- 4	- 47	-163	-409
-120	-170	-254	-310	-176	6	- 38	- 76	-156	-250
- 10	- 43	- 59	- 14	208	- 7	- 43	-116	-246	
- 50	- 84	- 56	134	494	- 44	- 38	- 80	- 94	
- 34	- 16	45	222	537	- 36	- 73	-130		
- 34	28	190	360	411	6	- 42	- 14		
18	61	177	315	397	- 37	- 57			
62	162	170	51	-264	- 48	28			
43	116	138	82	-102	- 20				
100	8	-119	-315	-643	76				

Так как вертикальный ряд с суммами четвертого порядка обрывается на 34-ом горизонтальном ряду цифр, то из этого следует, что система начальных уравнений, служащая для определения коэффициентов p , q , r и s уравнения четвертой степени, из которого определяются неизвестные периоды, должна состоять из 34-х уравнений. Уравнения эти будут согласно выражению функции T_k (см. формулу 7 на стр. 63) таковы:

1. $-389 + 280 p - 636 q + 592 r - 656 s = 0$
2. $-191 + 360 p - 484 q + 736 r - 1040 s = 0$
3. $53 + 120 p - 84 q + 376 r - 816 s = 0$
4. $184 - 466 p + 280 q - 568 r + 288 s = 0$
5. $611 - 470 p + 1016 q - 936 r + 1952 s = 0$

6. $387 - 756 p + 660 q - 1464 r + 1584 s = 0$
7. $273 - 304 p + 496 q - 384 r + 976 s = 0$
8. $35 + 210 p - 52 q + 472 r - 816 s = 0$
9. $-600 + 234 p - 916 q + 488 r - 1920 s = 0$
10. $-280 + 966 p - 416 q + 1360 r - 160 s = 0$
11. $-793 + 326 p - 1016 q + 344 r - 800 s = 0$
12. $-177 + 620 p - 236 q + 672 r - 544 s = 0$
13. $-176 + 28 p - 224 q + 128 r - 544 s = 0$
14. $208 - 268 p + 180 q - 224 r + 288 s = 0$
15. $494 - 444 p + 760 q - 488 r + 992 s = 0$
16. $537 - 720 p + 708 q - 1296 r + 688 s = 0$
17. $411 - 630 p + 680 q - 928 r + 1600 s = 0$
18. $397 - 102 p + 552 q - 64 r + 1168 s = 0$
19. $-264 - 164 p - 476 q - 176 r - 1472 s = 0$
20. $-102 + 630 p - 224 q + 1016 r - 832 s = 0$
21. $-643 + 368 p - 784 q + 624 r - 560 s = 0$
22. $-390 + 656 p - 512 q + 552 r - 416 s = 0$
23. $-488 + 412 p - 528 q + 400 r - 544 s = 0$
24. $-212 + 320 p - 312 q + 504 r - 384 s = 0$
25. $-86 + 12 p - 112 q + 224 r - 464 s = 0$
26. $276 - 148 p + 288 q - 280 r - 64 s = 0$
27. $239 - 564 p + 408 q - 800 r + 1024 s = 0$
28. $564 - 330 p + 840 q - 536 r + 1664 s = 0$
29. $181 - 564 p + 252 q - 880 r + 48 s = 0$
30. $278 - 32 p + 288 q + 32 r + 96 s = 0$
31. $-147 + 8 p - 188 q + 304 r - 112 s = 0$
32. $-160 + 326 p - 304 q + 344 r - 704 s = 0$
33. $-409 + 312 p - 464 q + 304 r - 576 s = 0$
34. $-250 + 492 p - 320 q + 584 r + 96 s = 0$

При решении этой совокупности начальных уравнений по способу наименьших квадратов им отвечают нормальные уравнения с такими коэффициентами:

1. $6514160 p - 5959000 q + 8979180 r - 9071904 s - 4223656 = 0$
2. $5959000 p - 9456128 q + 9468928 r - 14845924 s - 6549596 = 0$
3. $8979180 p - 9468928 q + 14899904 r - 15202944 s - 6246744 = 0$
4. $9071904 p - 14845924 q + 15202944 r - 29293568 s - 9495280 = 0$

Отсюда получаем для p , q , r и s следующие значения:

$$p = 0,199510$$

$$q = -0,905972$$

$$r = -0,161418$$

$$s = 0,113015$$

Зная их, пишем уравнение 4-ой степени, из которого определяются искомые периоды, в таком виде:

$$\cos^4 x - 0,199510 \cos^3 x - 0,905972 \cos^2 x + 0,161418 \cos x + 0,113015 = 0$$

Корни этого уравнения имеют следующее значение:

$$\cos x_1 = 0,857300 = \cos 30^\circ 59' 7'' \quad \cos x_3 = -0,293626 = \cos 107^\circ 4' 30''$$

$$\cos x_2 = 0,512262 = \cos 59^\circ 11' 8'' \quad \cos x_4 = -0,876426 = \cos 151^\circ 12' 43''$$

Следовательно

$$\alpha_1 = \frac{2\pi}{T_1} = 30^\circ 59' 7''$$

$$\alpha_3 = \frac{2\pi}{T_2} = 107^\circ 4' 30''$$

$$\alpha_2 = \frac{2\pi}{T_2} = 59^\circ 11' 8''$$

$$\alpha_4 = \frac{2\pi}{T_4} = 151^\circ 12' 43''$$

откуда имеем:

$$T_1 = 11,616 \text{ год.} \quad T_2 = 6,083 \text{ г.} \quad T_3 = 3,362 \text{ г.} \quad T_4 = 2,381 \text{ г.}$$

Таков ответ на вопрос о периодах в пятнообразовательной деятельности солнца, если для решения его пользоваться наблюдениями Швабе. Полученный результат интересен в нескольких отношениях. Во-первых, он показывает, что, не смотря на продолжительность в 43 года, наблюдения Швабе не обнаруживают участия в образовании пятен на солнце причины, вызывающей появление периодической изменчивости в количестве пятен с периодом свыше 11,62 лет, что, как известно, признается многими астрономами. Во вторых, он констатирует в пятнообразовательной деятельности солнца изменчивость с периодами меньшими 11,62 лет. В третьих, он доказывает, что все периоды находятся друг с другом в отношениях, близких к кратным. Все это говорит как будто бы за то, что пятнообразовательная деятельность солнца есть периодически изменяющееся явление, которое математически можно выразить рядом Фурье.

ГЛАВА V.

Вернемся к тому, что было изложено в главе второй. Вникая в сущность преобразований, успешно приводящих к решению задачу об определении из наблюдений неизвестных периодов, мы можем видеть, что задача разрешается благодаря удачному использованию того свойства синусоиды, что ординаты трех равноотстоящих точек ее всегда связаны соотношением

$$\frac{y_{k+1} + y_{k-1}}{2y_k} = \text{постоянному числу}$$

Но это свойство не принадлежит одной синусоиде. Таким же свойством обладает кривая, уравнение которой

$$y = Ae^{\alpha x} + Be^{-\alpha x}$$

а также прямая линия. Поэтому нахождение неизвестных периодов по методу, изложенному в главе второй, становится возможным и тогда, когда функция u выражается уравнением такого вида:

$$u = A_0 + A_1x + B_1x^2 + A_2e^{\alpha x} + B_2e^{-\alpha x} + C_1\sin(\beta_1x + \varphi_1) + C_2\sin(\beta_2x + \varphi_2) + \dots$$

В самом деле, предположим, что наблюдения удовлетворяют системе уравнений:

$$u_1 = A_0 + A_1 + B_1 + A_2e^{\alpha} + B_2e^{-\alpha} + C_1\sin(\beta_1 + \varphi_1) + C_2\sin(\beta_2 + \varphi_2) + C_3\sin(\beta_3 + \varphi_3) + \dots$$

$$u_2 = A_0 + 2A_1 + 4B_1 + A_2e^{2\alpha} + B_2e^{-2\alpha} + C_1\sin(2\beta_1 + \varphi_1) + C_2\sin(2\beta_2 + \varphi_2) + C_3\sin(2\beta_3 + \varphi_3) + \dots$$

$$u_3 = A_0 + 3A_1 + 9B_1 + A_2e^{3\alpha} + B_2e^{-3\alpha} + C_1\sin(3\beta_1 + \varphi_1) + C_2\sin(3\beta_2 + \varphi_2) + C_3\sin(3\beta_3 + \varphi_3) + \dots$$

.....

$$u_{n-1} = A_0 + A_1(n-1) + B_1(n-1)^2 + A_2e^{(n-1)\alpha} + B_2e^{-(n-1)\alpha} + C_1\sin((n-1)\beta_1 + \varphi_1) + C_2\sin((n-1)\beta_2 + \varphi_2) + \dots$$

$$u_n = A_0 + A_1n + B_1n^2 + A_2e^{n\alpha} + B_2e^{-n\alpha} + C_1\sin(n\beta_1 + \varphi_1) + C_2\sin(n\beta_2 + \varphi_2) + \dots$$

Если составим разности

$\Delta u_1 = u_2 - u_1$ $\Delta u_2 = u_3 - u_2$ $\Delta u_3 = u_4 - u_3 \dots$ и т. д., то значение их выразится равенствами:

$$\Delta u_1 = A_1 + 3B_1 + A_2(e^{\alpha} - 1)e^{\alpha} + B_2(e^{-\alpha} - 1)e^{-\alpha} + 2C_1\sin\frac{1}{2}\beta_1\cos\left(\frac{3}{2}\beta_1 + \varphi_1\right) + 2C_2\sin\frac{1}{2}\beta_2\cos\left(\frac{3}{2}\beta_2 + \varphi_2\right) + \dots$$

$$\Delta u_2 = A_1 + 5B_1 + A_2(e^{2\alpha} - 1)e^{\alpha} + B_2(e^{-2\alpha} - 1)e^{-\alpha} + 2C_1\sin\frac{1}{2}\beta_1\cos\left(\frac{5}{2}\beta_1 + \varphi_1\right) + 2C_2\sin\frac{1}{2}\beta_2\cos\left(\frac{5}{2}\beta_2 + \varphi_2\right) + \dots$$

$$\Delta u_{n-1} = A_1 + B_1(2n-1) + A_2(e^{\alpha} - 1)e^{(n-1)\alpha} + B_2(e^{-\alpha} - 1)e^{-(n-1)\alpha} + 2C_1\sin\frac{1}{2}\beta_1\cos\left(\frac{2n-1}{2}\beta_1 + \varphi_1\right) + 2C_2\sin\frac{1}{2}\beta_2\cos\left(\frac{2n-1}{2}\beta_2 + \varphi_2\right) + \dots$$

Отсюда видно, что в правой части этих равенств первые два члена отвечают ординатам прямой линии, два следующих — ординатам кривой, представляющей частный случай кривой

$$y = Ae^{\alpha x} + Be^{-\alpha x},$$

а остальные члены — ординатам синусоид. По этой причине для исключения из них неизвестных A_1 и B_1 совсем нет необходимости прибегать к составлению разностей высшего порядка, а можно прямо приступить к нахождению сумм первого и высших порядков. И действительно, составив суммы первого порядка

$$S_1 = 2(A_1 + 5B_1) + \{A_2(e^\alpha - 1)e^{2\alpha} + B_2(e^{-\alpha} - 1)e^{-2\alpha}\}(e^\alpha + e^{-\alpha}) + \\ + 4C_1 \sin \frac{1}{2}\beta_1 \cos \beta_1 \cos \left(\frac{5}{2}\beta_1 + \varphi_1\right) + 4C_2 \sin \frac{1}{2}\beta_2 \cos \beta_2 \cos \left(\frac{5}{2}\beta_2 + \varphi_2\right) + \dots$$

$$S_2 = 2(A_1 + 7B_1) + \{A_2(e^\alpha - 1)e^{3\alpha} + B_2(e^{-\alpha} - 1)e^{-3\alpha}\}(e^\alpha + e^{-\alpha}) + \\ + 4C_1 \sin \frac{1}{2}\beta_1 \cos \beta_1 \cos \left(\frac{7}{2}\beta_1 + \varphi_1\right) + 4C_2 \sin \frac{1}{2}\beta_2 \cos \beta_2 \cos \left(\frac{7}{2}\beta_2 + \varphi_2\right) + \dots$$

$$\dots \dots \dots \\ S_{n-3} = 2(A_1 + (2n-3)B_1) + \{A_2(e^\alpha - 1)e^{(n-2)\alpha} + B_2(e^{-\alpha} - 1)e^{-(n-2)\alpha}\}(e^\alpha + e^{-\alpha}) + \\ + 4C_1 \sin \frac{1}{2}\beta_1 \cos \beta_1 \cos \left(\frac{2n-3}{2}\beta_1 + \varphi_1\right) + 4C_2 \sin \frac{1}{2}\beta_2 \cos \beta_2 \cos \left(\frac{2n-3}{2}\beta_2 + \varphi_2\right) + \dots$$

видим, что, если из какой либо суммы S_k станем вычитать удвоенную разность Δu_{k+1} то в результате получим выражение

$$P_k = S_k - 2\Delta u_{k+1} = \{A_2(e^\alpha - 1)e^{(k+1)\alpha} + B_2(e^{-\alpha} - 1)e^{-(k+1)\alpha}\}(e^\alpha + e^{-\alpha} - 2) + \\ + 4C_1 \sin \frac{1}{2}\beta_1 (\cos \beta_1 - 1) \cos \left(\frac{2k+3}{2}\beta_1 + \varphi_1\right) + \dots$$

совершенно независящее ни от A_1 ни от B_1 . Поэтому будем иметь

$$P_1 = \{A_2(e^\alpha - 1)e^{2\alpha} + B_2(e^{-\alpha} - 1)e^{-2\alpha}\}(e^\alpha + e^{-\alpha} - 2) + \\ + 4C_1 \sin \frac{1}{2}\beta_1 (\cos \beta_1 - 1) \cos \left(\frac{5}{2}\beta_1 + \varphi_1\right) + 4C_2 \sin \frac{1}{2}\beta_2 (\cos \beta_2 - 1) \cos \left(\frac{5}{2}\beta_2 + \varphi_2\right) + \dots$$

$$P_2 = \{A_2(e^\alpha - 1)e^{3\alpha} + B_2(e^{-\alpha} - 1)e^{-3\alpha}\}(e^\alpha + e^{-\alpha} - 2) + \\ + 4C_1 \sin \frac{1}{2}\beta_1 (\cos \beta_1 - 1) \cos \left(\frac{7}{2}\beta_1 + \varphi_1\right) + 4C_2 \sin \frac{1}{2}\beta_2 (\cos \beta_2 - 1) \cos \left(\frac{7}{2}\beta_2 + \varphi_2\right) + \dots$$

.....

$$P_{n-3} = \left\{ A_2 (e^\alpha - 1) e^{(n-2)\alpha} + B_2 (e^{-\alpha} - 1) e^{-(n-2)\alpha} \right\} (e^\alpha + e^{-\alpha} - 2) + \\ + 4C_1 \sin \frac{1}{2} \beta_1 (\cos \beta_1 - 1) \cos \left(\frac{2n-1}{2} \beta_1 + \varphi_1 \right) + 4C_2 \sin \frac{1}{2} \beta_2 (\cos \beta_2 - 1) \cos \left(\frac{2n-1}{2} \beta_2 + \varphi_2 \right) + \dots$$

Легко можем, далее, убедиться, что, применив к только-что написанным уравнениям тот же метод исключения неизвестных, мы получим уравнения, в которые не будут входить ни A_2 , ни B_2 , ни α , так как

$$P_3 + P_1 = \left\{ A_2 (e^\alpha - 1) e^{3\alpha} + B_2 (e^{-\alpha} - 1) e^{-3\alpha} \right\} (e^\alpha + e^{-\alpha} - 2) (e^\alpha + e^{-\alpha}) + \\ + 8C_1 \sin \frac{1}{2} \beta_1 (\cos \beta_1 - 1) \cos \beta_1 \cos \left(\frac{7}{2} \beta_1 + \varphi_1 \right) + \dots$$

$$P_4 + P_2 = \left\{ A_2 (e^\alpha - 1) e^{4\alpha} + B_2 (e^{-\alpha} - 1) e^{-4\alpha} \right\} (e^\alpha + e^{-\alpha} - 2) (e^\alpha + e^{-\alpha}) + \\ + 8C_1 \sin \frac{1}{2} \beta_1 (\cos \beta_1 - 1) \cos \beta_1 \cos \left(\frac{9}{2} \beta_1 + \varphi_1 \right) + \dots$$

$$P_{n-3} + P_{n-5} = \left\{ A_2 (e^\alpha - 1) e^{(n-3)\alpha} + B_2 (e^{-\alpha} - 1) e^{-(n-3)\alpha} \right\} (e^\alpha + e^{-\alpha} - 2) (e^\alpha + e^{-\alpha}) + \\ + 8C_1 \sin \frac{1}{2} \beta_1 (\cos \beta_1 - 1) \cos \beta_1 \cos \left(\frac{2n-5}{2} \beta_1 + \varphi_1 \right) + \dots$$

и следовательно

$$Q_1 = P_3 + P_1 - 2P_2 (e^\alpha + e^{-\alpha}) = \\ = 8C_1 \sin \frac{1}{2} \beta_1 (\cos \beta_1 - 1) \left\{ \cos \beta_1 - (e^\alpha + e^{-\alpha}) \right\} \cos \left(\frac{7}{2} \beta_1 + \varphi_1 \right) + \dots$$

$$Q_2 = P_4 + P_2 - 2P_3 (e^\alpha + e^{-\alpha}) = \\ = 8C_1 \sin \frac{1}{2} \beta_1 (\cos \beta_1 - 1) \left\{ \cos \beta_1 - (e^\alpha + e^{-\alpha}) \right\} \cos \left(\frac{9}{2} \beta_1 + \varphi_1 \right) + \dots$$

$$Q_3 = P_5 + P_3 - 2P_4 (e^\alpha + e^{-\alpha}) = \\ = 8C_1 \sin \frac{1}{2} \beta_1 (\cos \beta_1 - 1) \left\{ \cos \beta_1 - (e^\alpha + e^{-\alpha}) \right\} \cos \left(\frac{11}{2} \beta_1 + \varphi_1 \right) + \dots$$

$$Q_{n-3} = P_{n-3} + P_{n-5} - 2P_{n-4} (e^\alpha + e^{-\alpha}) = \\ = 8C_1 \sin \frac{1}{2} \beta_1 (\cos \beta_1 - 1) \left\{ \cos \beta_1 - (e^\alpha + e^{-\alpha}) \right\} \cos \left(\frac{2n-5}{2} \beta_1 + \varphi_1 \right) + \dots$$

Нет необходимости вести преобразование полученных уравнений дальше, так как совершенно очевидно, что уравнения Q суть те же самые

которые мы имели в главе второй. Достаточно положить в них

$$1 = \cos \alpha_1 \qquad \cos \beta_1 = \cos \alpha_3$$

$$e^\alpha + e^{-\alpha} = \cos \alpha_2 \qquad \cos \beta_4 = \cos \alpha_4 \qquad \text{и т. д.}$$

чтобы убедиться, что эта так на самом деле.

Итак, не смотря на более сложный вид функции u , нахождение неизвестных периодов ее может быть сведено к операциям, одинаковым с теми, которые были рассмотрены в главе второй. Вся разница между этими случаями заключается в том, что в окончательных уравнениях место одного из искомых косинусов здесь будет занимать единица, которую условно можно принимать за косинус от нуля, вместо другого выражение $e^\alpha + e^{-\alpha}$. Вследствие этого нахождение, например, двух периодов сведется здесь в конце концов к нахождению корней уравнения третьей степени, так как одним из корней основного уравнения четвертой степени обязательно будет единица.

Замечу, что изложенная здесь теория может иметь приложение при решении уравнений, подобных уравнению Кеплера.

ГЛАВА VI.

В виду особого значения, какое приобретает в некоторых случаях численное значение сумм $S_k, S_k^2, S_k^3, \dots, S_k^m$ остановимся на выяснении этого вопроса. Из способа составления этих сумм следует, что, когда имеется достаточно обширный ряд разностей Δu , любая из них может быть легко вычислена. В самом деле

$$S_k = \Delta u_{k+2} + \Delta u_k$$

$$S_k^2 = S_{k+2} + S_k = \Delta u_{k+4} + 2\Delta u_{k+2} + \Delta u_k$$

$$S_k^3 = S_{k+2}^2 + S_k^2 = \Delta u_{k+6} + 3\Delta u_{k+4} + 3\Delta u_{k+2} + \Delta u_k$$

$$S_k^4 = S_{k+2}^3 + S_k^3 = \Delta u_{k+8} + 4\Delta u_{k+6} + 6\Delta u_{k+4} + 4\Delta u_{k+2} + \Delta u_k$$

$$S_k^m = S_{k+2}^{m-1} + S_k^{m-1} = \Delta u_{k+2m} + \frac{m}{1} \Delta u_{k+2m-2} + \frac{m(m-1)}{1 \cdot 2} \Delta u_{k+2m-4} +$$

$$+ \frac{m(m-1)(m-2)}{1 \cdot 2 \cdot 3} \Delta u_{k+2m-6} + \dots + \Delta u_k$$

Подставим в эти формулы вместо Δu значения их согласно равенствам, данным в главе II, (см. стр. 59 и 60) заменив в них ради удобства последующих преобразований косинусы переменного угла равными им величинами на основании Эйлеровых аналогий. Сделав это, получим

для сумм $S_k, S_k^2, S_k^3, \dots, S_k^m$ выражения следующего вида:

$$\begin{aligned}
 S_k &= 2(A_1 + (3+2\kappa)B_1) + A_2(e^\alpha - 1)(e^{2\alpha} + 1)e^{k\alpha} + B_2(e^{-\alpha} - 1)(e^{-2\alpha} + 1)e^{-k\alpha} + \\
 &+ C_1 \sin \frac{1}{2} \beta_1 \left\{ e^{i\left(\frac{2k+1}{2}\beta_1 + \varphi_1\right)} (e^{2i\beta_1} + 1) + e^{-i\left(\frac{2k+1}{2}\beta_1 + \varphi_1\right)} (e^{-2i\beta_1} + 1) \right\} + \dots \\
 S_k^2 &= 2^2(A_1 + (5+2\kappa)B_1) + A_2(e^\alpha - 1)(e^{2\alpha} + 1)^2 e^{k\alpha} + B_2(e^{-\alpha} - 1)(e^{-2\alpha} + 1)^2 e^{-k\alpha} + \\
 &+ C_1 \sin \frac{1}{2} \beta_1 \left\{ e^{i\left(\frac{2k+1}{2}\beta_1 + \varphi_1\right)} (e^{2i\beta_1} + 1)^2 + e^{-i\left(\frac{2k+1}{2}\beta_1 + \varphi_1\right)} (e^{-2i\beta_1} + 1)^2 \right\} + \dots \\
 &\dots \dots \dots \\
 S_k^m &= 2^m(A_1 + (2m+2\kappa+1)B_1) + A_2(e^\alpha - 1)(e^{2\alpha} + 1)^m e^{k\alpha} + B_2(e^{-\alpha} - 1)(e^{-2\alpha} + 1)^m e^{-k\alpha} + \\
 &+ C_1 \sin \frac{1}{2} \beta_1 \left\{ e^{i\left(\frac{2k+1}{2}\beta_1 + \varphi_1\right)} (e^{2i\beta_1} + 1)^m + e^{-i\left(\frac{2k+1}{2}\beta_1 + \varphi_1\right)} (e^{-2i\beta_1} + 1)^m \right\} + \dots
 \end{aligned}$$

Рассматривая эти формулы, можем видеть, что в общем случае ряды сумм какого угодно порядка должны давать числа с довольно сложной и запутанной изменчивостью. Но если в суммах S_k, S_k^2, \dots, S_k^m члены, зависящие от периодов β , будут выпадать, то изменчивость рядов делается проще и в частных случаях может свестись к изменчивости членов арифметической или геометрической прогрессии. Очевидно, это должно произойти тогда, когда данный ряд наблюдений или совсем неперIODический и когда, следовательно, все β равны нулю, или зависит от таких периодов β , для которых

$$\begin{aligned}
 e^{2i\beta_1} + 1 &= 0 & e^{-2i\beta_1} + 1 &= 0 \\
 e^{2i\beta_2} + 1 &= 0 & e^{-2i\beta_2} + 1 &= 0 \\
 e^{2i\beta_3} + 1 &= 0 & e^{-2i\beta_3} + 1 &= 0
 \end{aligned}$$

и т. д.

Заменяя в этих уравнениях показательные члены тригонометрическими на основании Эйлеровых аналогий, найдем равнозначные им уравнения такого вида:

$$\begin{aligned}
 \sin 2\beta_1 &= 0 & \cos 2\beta_1 + 1 &= 0 \\
 \sin 2\beta_2 &= 0 & \cos 2\beta_2 + 1 &= 0 \\
 \sin 2\beta_3 &= 0 & \cos 2\beta_3 + 1 &= 0
 \end{aligned}$$

и т. д.

откуда следует, что периоды $\beta_1, \beta_2, \beta_3, \dots$ должны иметь одно из следующих значений $\frac{\pi}{2}, \frac{3\pi}{2}, \frac{5\pi}{2}, \dots, \frac{(2k+1)\pi}{2}$.

Очевидно, что в подобных случаях нахождение неизвестных периодов по общему способу делается излишним.

Чтобы показать на частном примере приложение только-что сказанного, рассмотрим следующую задачу. Представим себе, что мы имеем семейство парабол вида

$$y = A + Bx + Cx^2 \quad (27)$$

и предположим, что мы совершаем переход от одной кривой к другой так, что, когда $x = 1$, то мы получаем ординату первой кривой из этого семейства, при $x = 2$ — ординату второй кривой, при $x = 3$ — ординату третьей кривой и т. д., а самый переход совершаем в таком порядке, чтобы в конце его вернуться к начальной кривой. Поставленные в таком виде условия математически равноценны допущению, что в уравнении (27) коэффициенты A, B , и C суть периодические функции вида:

$$A = a_0 + a_1 \sin \beta x + a_2 \cos \beta x$$

$$B = b_0 + b_1 \sin \beta x + b_2 \cos \beta x$$

$$C = c_0 + c_1 \sin \beta x + c_2 \cos \beta x$$

Отсюда следует, что значения ординат, отвечающие многократному переходу по кривым всего семейства, должны иметь сложную периодическую изменчивость, так как они представляют значение функции

$$y = a_0 + b_0 x + c_0 x^2 + (a_1 + b_1 x + c_1 x^2) \sin \beta x + (a_2 + b_2 x + c_2 x^2) \cos \beta x \quad (28)$$

Решим теперь вопрос, могут ли составленные из них суммы $S_K, S_K^2, S_K^3, \dots, S_K^m$ совершенно не зависеть от периода β ?

Найдем прежде всего значения разностей Δy . Эти разности будут таковы:

$$\Delta y_1 = b_0 + 3c_0 + a_1(\sin 2\beta - \sin \beta) + b_1(2 \sin 2\beta - \sin \beta) + c_1(4 \sin 2\beta - \sin \beta) + a_2(\cos 2\beta - \cos \beta) + b_2(2 \cos 2\beta - \cos \beta) + c_2(4 \cos 2\beta - \cos \beta)$$

$$\Delta y_2 = b_0 + 5c_0 + a_1(\sin 3\beta - \sin 2\beta) + b_1(3 \sin 3\beta - 2 \sin 2\beta) + c_1(9 \sin 3\beta - 4 \sin 2\beta) + a_2(\cos 3\beta - \cos 2\beta) + b_2(3 \cos 3\beta - 2 \cos 2\beta) + c_2(9 \cos 3\beta - 4 \cos 2\beta)$$

$$\Delta y_3 = b_0 + 7c_0 + a_1(\sin 4\beta - \sin 3\beta) + b_1(4 \sin 4\beta - 3 \sin 3\beta) + c_1(16 \sin 4\beta - 9 \sin 3\beta) + a_2(\cos 4\beta - \cos 3\beta) + b_2(4 \cos 4\beta - 3 \cos 3\beta) + c_2(16 \cos 4\beta - 9 \cos 3\beta)$$

$$\begin{aligned} \Delta y_K &= b_0 + (2k+1)c_0 + a_1(\sin(k+1)\beta - \sin k\beta) + \\ &+ b_1\{(k+1)\sin(k+1)\beta - k \sin k\beta\} + c_1\{(k+1)^2 \sin(k+1)\beta - k^2 \sin k\beta\} + \\ &+ a_2\{\cos(k+1)\beta - \cos k\beta\} + b_2\{(k+1)\cos(k+1)\beta - k \cos k\beta\} + \\ &+ c_2\{(k+1)^2 \cos(k+1)\beta - k^2 \cos k\beta\} \end{aligned}$$

Составленные по этим выражениям для разностей Δu значения сумм $S_k, S_k^2, S_k^3 \dots S_k^m$ получают следующий вид:

$$\begin{aligned}
 S_k &= 2(b_0 + (3 + 2k)c_0) + a_1 \{ \sin(k+3)\beta - \sin(k+2)\beta + \sin(k+1)\beta - \sin k\beta \} + \\
 &+ b_1 \{ (k+3)\sin(k+3)\beta - (k+2)\sin(k+2)\beta + (k+1)\sin(k+1)\beta - k\sin k\beta \} + \\
 &+ c_1 \{ (k+3)^2\sin(k+3)\beta - (k+2)^2\sin(k+2)\beta + (k+1)^2\sin(k+1)\beta - k^2\sin k\beta \} + \\
 &\quad + a_2 \{ \cos(k+3)\beta - \cos(k+2)\beta + \cos(k+1)\beta - \cos k\beta \} + \\
 &+ b_2 \{ (k+3)\cos(k+3)\beta - (k+2)\cos(k+2)\beta + (k+1)\cos(k+1)\beta - k\cos k\beta \} + \\
 &+ c_2 \{ (k+3)^2\cos(k+3)\beta - (k+2)^2\cos(k+2)\beta + (k+1)^2\cos(k+1)\beta - k^2\cos k\beta \} + \\
 S_k^2 &= 2^2 (b_0 + (5 + 2k)c_0) + a_1 \{ \sin(k+5)\beta - \sin(k+4)\beta + \\
 &\quad + 2(\sin(k+3)\beta - \sin(k+2)\beta) + \sin(k+1)\beta - \sin k\beta \} + \\
 &\quad + b_1 \{ (k+5)\sin(k+5)\beta - (k+4)\sin(k+4)\beta + \\
 &\quad + 2((k+3)\sin(k+3)\beta - (k+2)\sin(k+2)\beta) + (k+1)\sin(k+1)\beta - k\sin k\beta \} + \\
 &\quad + c_1 \{ (k+5)^2\sin(k+5)\beta - (k+4)^2\sin(k+4)\beta + \\
 &\quad + 2((k+3)^2\sin(k+3)\beta - (k+2)^2\sin(k+2)\beta) + (k+1)^2\sin(k+1)\beta - k^2\sin k\beta \} + \\
 &\quad + a_2 \{ \cos(k+5)\beta - \cos(k+4)\beta + 2(\cos(k+3)\beta - \cos(k+2)\beta) + \cos(k+1)\beta - \cos k\beta \} + \\
 &\quad + b_2 \{ (k+5)\cos(k+5)\beta - (k+4)\cos(k+4)\beta + \\
 &\quad + 2((k+3)\cos(k+3)\beta - (k+2)\cos(k+2)\beta) + (k+1)\cos(k+1)\beta - k\cos k\beta \} + \\
 &\quad + c_2 \{ (k+5)^2\cos(k+5)\beta - (k+4)^2\cos(k+4)\beta + \\
 &\quad + 2((k+3)^2\cos(k+3)\beta - (k+2)^2\cos(k+2)\beta) + (k+1)^2\cos(k+1)\beta - k^2\cos k\beta \} \\
 S_k^3 &= 2^3 (b_0 + (7 + 2k)c_0) + a_1 \{ \sin(k+7)\beta - \sin(k+6)\beta + \\
 &\quad + 3(\sin(k+5)\beta - \sin(k+4)\beta) + 3(\sin(k+3)\beta - \sin(k+2)\beta) + \sin(k+1)\beta - \sin k\beta \} +
 \end{aligned}$$

$$\begin{aligned}
 &+ b_1 \left\{ (k+7) \sin(k+7)\beta - (k+6) \sin(k+6)\beta + 3 \left((k+5) \sin(k+5)\beta - (k+4) \sin(k+4)\beta \right) + \right. \\
 &+ 3 \left((k+3) \sin(k+3)\beta - (k+2) \sin(k+2)\beta \right) + (k+1) \sin(k+1)\beta - k \sin k\beta \left. \right\} + \\
 &+ c_1 \left\{ (k+7)^2 \sin(k+7)\beta - (k+6)^2 \sin(k+6)\beta + 3 \left((k+5)^2 \sin(k+5)\beta - (k+4)^2 \sin(k+4)\beta \right) + \right. \\
 &+ 3 \left((k+3)^2 \sin(k+3)\beta - (k+2)^2 \sin(k+2)\beta \right) + (k+1)^2 \sin(k+1)\beta - k^2 \sin k\beta \left. \right\} + \\
 &+ a_2 \left\{ \cos(k+7)\beta - \cos(k+6)\beta + 3 \left(\cos(k+5)\beta - \cos(k+4)\beta \right) + \right. \\
 &+ 3 \left(\cos(k+3)\beta - \cos(k+2)\beta \right) + \cos(k+1)\beta - \cos k\beta \left. \right\} + \\
 &+ b_2 \left\{ (k+7) \cos(k+7)\beta - (k+6) \cos(k+6)\beta + 3 \left((k+5) \cos(k+5)\beta - (k+4) \cos(k+4)\beta \right) + \right. \\
 &+ 3 \left((k+3) \cos(k+3)\beta - (k+2) \cos(k+2)\beta \right) + (k+1) \cos(k+1)\beta - k \cos k\beta \left. \right\} + \\
 &+ c_2 \left\{ (k+7)^2 \cos(k+7)\beta - (k+6)^2 \cos(k+6)\beta + 3 \left((k+5)^2 \cos(k+5)\beta - (k+4)^2 \cos(k+4)\beta \right) + \right. \\
 &+ 3 \left((k+3)^2 \cos(k+3)\beta - (k+2)^2 \cos(k+2)\beta \right) + (k+1)^2 \cos(k+1)\beta - k^2 \cos k\beta \left. \right\} + \\
 &\dots
 \end{aligned}$$

$$\begin{aligned}
 S_k^m &= 2^m \left(b_0 + (2m+2k+1)c_0 \right) + a_1 \left\{ \sin(2m+k+1)\beta - \sin(2m+k)\beta + \right. \\
 &+ \frac{m}{1} \left(\sin(2m+k-1)\beta - \sin(2m+k-2)\beta \right) + \\
 &+ \frac{m(m-1)}{1.2} \left(\sin(2m+k-3)\beta - \sin(2m+k-4)\beta \right) + \\
 &+ \frac{m(m-1)(m-2)}{1.2.3} \left(\sin(2m+k-5)\beta - \sin(2m+k-6)\beta \right) + \dots + \sin(k+1)\beta - \sin k\beta \left. \right\} + \\
 &+ b_1 \left\{ (2m+k+1) \sin(2m+k+1)\beta - (2m+k) \sin(2m+k)\beta + \right. \\
 &+ \frac{m}{1} \left((2m+k-1) \sin(2m+k-1)\beta - (2m+k-2) \sin(2m+k-2)\beta \right) + \\
 &+ \frac{m(m-1)}{1.2} \left((2m+k-3) \sin(2m+k-3)\beta - (2m+k-4) \sin(2m+k-4)\beta \right) + \dots \\
 &+ (k+1) \sin(k+1)\beta - k \sin k\beta \left. \right\} +
 \end{aligned}$$

$$\begin{aligned}
 & + c_1 \left\{ (2m+k+1)^2 \sin(2m+k+1)\beta - (2m+k)^2 \sin(2m+k)\beta + \right. \\
 & + \frac{m}{1} \left((2m+k-1)^2 \sin(2m+k-1)\beta - (2m+k-2)^2 \sin(2m+k-2)\beta \right) + \\
 & + \frac{m(m-1)}{1.2} \left((2m+k-3)^2 \sin(2m+k-3)\beta - (2m+k-4)^2 \sin(2m+k-4)\beta \right) + \dots \\
 & \quad \left. + (k+1)^2 \sin(k+1)\beta - k^2 \sin k\beta \right\} + \\
 & + a_2 \left\{ \cos(2m+k+1)\beta - \cos(2m+k)\beta + \frac{m}{1} \left(\cos(2m+k-1)\beta - \cos(2m+k-2)\beta \right) + \right. \\
 & \quad + \frac{m(m-1)}{1.2} \left(\cos(2m+k-3)\beta - \cos(2m+k-4)\beta \right) + \\
 & \quad + \frac{m(m-1)(m-2)}{1.2.3} \left(\cos(2m+k-5)\beta - \cos(2m+k-6)\beta \right) + \dots \\
 & \quad \left. + \cos(k+1)\beta - \cos k\beta \right\} + \\
 & + b_2 \left\{ (2m+k+1) \cos(2m+k+1)\beta - (2m+k) \cos(2m+k)\beta + \right. \\
 & + \frac{m}{1} \left((2m+k-1) \cos(2m+k-1)\beta - (2m+k-2) \cos(2m+k-2)\beta \right) + \\
 & + \frac{m(m-1)}{1.2} \left((2m+k-3) \cos(2m+k-3)\beta - (2m+k-4) \cos(2m+k-4)\beta \right) + \dots \\
 & \quad \left. + (k+1) \cos(k+1)\beta - k \cos k\beta \right\} + \\
 & + c_2 \left\{ (2m+k+1)^2 \cos(2m+k+1)\beta - (2m+k)^2 \cos(2m+k)\beta + \right. \\
 & + \frac{m}{1} \left((2m+k-1)^2 \cos(2m+k-1)\beta - (2m+k-2)^2 \cos(2m+k-2)\beta \right) + \\
 & + \frac{m(m-1)}{1.2} \left((2m+k-3)^2 \cos(2m+k-3)\beta - (2m+k-4)^2 \cos(2m+k-4)\beta \right) + \dots \\
 & \quad \left. + (k+1)^2 \cos(k+1)\beta - k^2 \cos k\beta \right\}
 \end{aligned}$$

Приведенные здесь выражения для сумм $S_k, S_k^2, S_k^3, \dots, S_k^m$ показывают, что эти суммы лишь в том случае не будут зависеть от периода β , если значение скобок при коэффициентах a_1, b_1, c_1, a_2, b_2 и c_2 будут обращаться в нуль. Таким образом мы получаем шесть уравнений, совместным решением которых может быть найден неизвестный период β . Принимая однако во внимание, что входящая в эти уравнения числа k и m могут иметь все возможные значения, начиная с единицы и кончая каким угодно большим числом, мы приходим к заключению, что неизвестный

период β должен быть таков, чтобы после подстановки его значения в уравнения последние удовлетворялись при каком угодно значении чисел k и m . Это означает, что подстановка значения β должна обращать всю систему уравнений в тождества.

Итак, нам необходимо рассмотреть, при каких условиях может удовлетворяться система уравнений:

$$\sin(2m+k+1)\beta - \sin(2m+k)\beta + \frac{m}{1} \left(\sin(2m+k-1)\beta - \sin(2m+k-2)\beta \right) + \dots + \sin(k+1)\beta - \sin k\beta = 0 \quad (29)$$

$$+ \frac{m(m-1)}{1 \cdot 2} \left(\sin(2m+k-3)\beta - \sin(2m+k-4)\beta \right) + \dots + \sin(k+1)\beta - \sin k\beta = 0$$

$$(2m+k+1) \sin(2m+k+1)\beta - (2m+k) \sin(2m+k)\beta +$$

$$+ \frac{m}{1} \left((2m+k-1) \sin(2m+k-1)\beta - (2m+k-2) \sin(2m+k-2)\beta \right) + \dots +$$

$$+ (k+1) \sin(k+1)\beta - k \sin k\beta = 0 \quad (30)$$

$$(2m+k+1)^2 \sin(2m+k+1)\beta - (2m+k)^2 \sin(2m+k)\beta +$$

$$+ \frac{m}{1} \left((2m+k-1)^2 \sin(2m+k-1)\beta - (2m+k-2)^2 \sin(2m+k-2)\beta \right) + \dots +$$

$$+ (k+1)^2 \sin(k+1)\beta - k^2 \sin k\beta = 0 \quad (31)$$

$$\cos(2m+k+1)\beta - \cos(2m+k)\beta + \frac{m}{1} \left(\cos(2m+k-1)\beta - \cos(2m+k-2)\beta \right) + \dots + \cos(k+1)\beta - \cos k\beta = 0 \quad (32)$$

$$+ \frac{m(m-1)}{1 \cdot 2} \left(\cos(2m+k-3)\beta - \cos(2m+k-4)\beta \right) + \dots + \cos(k+1)\beta - \cos k\beta = 0$$

$$(2m+k+1) \cos(2m+k+1)\beta - (2m+k) \cos(2m+k)\beta +$$

$$+ \frac{m}{1} \left((2m+k-1) \cos(2m+k-1)\beta - (2m+k-2) \cos(2m+k-2)\beta \right) + \dots +$$

$$+ (k+1) \cos(k+1)\beta - k \cos k\beta = 0 \quad (33)$$

$$(2m+k+1)^2 \cos(2m+k+1)\beta - (2m+k)^2 \cos(2m+k)\beta +$$

$$+ \frac{m}{1} \left((2m+k-1)^2 \cos(2m+k-1)\beta - (2m+k-2)^2 \cos(2m+k-2)\beta \right) + \dots +$$

$$+ (k+1)^2 \cos(k+1)\beta - k^2 \cos k\beta = 0 \quad (34)$$

Преобразование при помощи Эйлеровых аналогий (29) и (32) из этих уравнений приводит их к следующему виду:

$$e^{(2m+k+1)i\beta} (1 - e^{-i\beta}) (1 + e^{2i\beta})^m - e^{(2m+k+1)i\beta} (1 - e^{i\beta}) (1 + e^{2i\beta})^m = 0 \quad (35)$$

$$e^{(2m+k+1)i\beta} (1 - e^{-i\beta}) (1 + e^{-2i\beta})^m - e^{(2m+k+1)i\beta} (1 - e^{i\beta}) (1 + e^{2i\beta})^m = 0 \quad (36)$$

Из этих уравнений следует, что определяющими значение β условиями являются равенства

$$1 - e^{-i\beta} = 0$$

$$1 - e^{i\beta} = 0$$

$$1 + e^{-2i\beta} = 0$$

$$1 + e^{2i\beta} = 0$$

или равнозначущие им

$$\begin{aligned} 1 - \cos \beta &= 0 & \sin \beta &= 0 \\ 1 + \cos 2\beta &= 0 & \sin 2\beta &= 0 \end{aligned}$$

Таким образом мы приходим к выводу, что значения периода β , удовлетворяющие уравнениям (29) и (32), суть

$$\beta = 0 \quad \beta = \frac{\pi}{2} \quad \beta = \frac{3\pi}{2} \quad \beta = \frac{5\pi}{2} \quad \text{и т. д.}$$

Однако не все эти значения удовлетворяют условиям задачи, так как допущение, что $\beta = 0$, обозначало бы, что y совсем не зависит от β , т. е. что мы имеем дело не с семейством парабол, а с одной параболой.

Допустить же, что β равняется одному из чисел $\frac{3\pi}{2}, \frac{5\pi}{2}, \frac{7\pi}{2}, \dots$ нельзя потому, что вычисляемый по этим значениям период должен выразиться дробными числами, между тем как он, как определяющий собою число кривых в семействе, обязательно должен быть равен целому числу. Таким образом единственное значение β , которое мы можем принимать за решение нашей задачи, будет $\beta = \frac{\pi}{2}$, означавшее, что семейство кривых состоит из четырех представителей.

Подстановка найденного значения β в уравнения (30), (31), (32) и (34) приводит их к виду:

$$(2m + k + 1) - \frac{m}{1}(2m + k - 1) + \frac{m(m-1)}{1.2}(2m + k - 3) - \dots \pm (k+1) = 0 \quad (37)$$

$$(2m + k) - \frac{m}{1}(2m + k - 2) + \frac{m(m-1)}{1.2}(2m + k - 4) - \dots \pm k = 0 \quad (38)$$

$$2m + k + 1)^2 - \frac{m}{1}(2m + k - 1)^2 + \frac{m(m-1)}{1.2}(2m + k - 3)^2 - \dots \pm (k+1)^2 = 0 \quad (39)$$

$$(2m + k)^2 - \frac{m}{1}(2m + k - 2)^2 + \frac{m(m-1)}{1.2}(2m + k - 4)^2 - \dots \pm k^2 = 0 \quad (40)$$

Легко убедиться, что равенства (37) и (38) суть на самом деле тождества, так как они представляют разложение в ряд тождеств

$$(2m + k + 1)(1-1)^m - 2m(1-1)^{m-1} = 0$$

$$(2m + k)(1-1)^m - 2m(1-1)^{m-1} = 0$$

Что же касается равенств (39) и (40), то не трудно доказать, что их можно заменить выражениями

$$\begin{aligned} (2m + k + 1)^2 (1-1)^m + 4m(2m + k + 2)(1-1)^{m-1} - 4 \left\{ \frac{m}{1} 1^2 - \frac{m(m-1)}{1.2} 2^2 + \right. \\ \left. \frac{m(m-1)(m-2)}{1.2.3} 3^2 - \dots \pm \frac{m(m-1)\dots(m-n+1)}{1.2.3\dots n} n^2 \right\} \end{aligned} \quad (41)$$

$$(2m+k)^2(1-1)^m + 4m(m+k)(1-1)^{m-1} - 4 \left\{ \frac{m}{1} 1^2 - \frac{m(m-1)}{1.2} 2^2 + \frac{m(m-1)(m-2)}{1.2.3} 3^2 - \dots - \frac{m(m-1) \dots (m-n+1)}{1.2.3 \dots n} n^2 \right\} \quad (42)$$

Отсюда видно, что решение вопроса о том, при каких условиях удовлетворяется система условных уравнений (29)—(34), зависит от обращения в нуль выражения

$$\frac{m}{1} 1^2 - \frac{m(m-1)}{1.2} 2^2 + \frac{m(m-1)(m-2)}{1.2.3} 3^2 - \frac{m(m-1)(m-2)(m-3)}{1.2.3.4} 4^2 + \dots \pm \frac{m(m-1) \dots (m-n+1)}{1.2.3 \dots n} n^2 \quad (43)$$

Так как по условиям задачи m может быть только одним из целых чисел $1, 2, 3, \dots, n$ и при том должно быть положительным, то, подставляя в выражение (43) вместо m последовательно числа $1, 2, 3, \dots, n$, можем убедиться, что, начиная с числа 3 , равенство (43) удовлетворяется всяким целым и положительным числом, так как равенство (43) представляет разложение в ряд по квадратам целых чисел произведения

$$\frac{m}{1.2.3.4 \dots (n-1)} (m-3)(m-4)(m-5) \dots (m-n) (nm - (n+1)) = 0 = \frac{m}{1} 1^2 - \frac{m(m-1)}{1.2} 2^2 + \frac{m(m-1)(m-2)}{1.2.3} 3^2 - \dots \pm \frac{m(m-1) \dots (m-n+1)}{1.2.3 \dots n} n^2 \quad (44)$$

которое должно обращаться в нуль, коль скоро m будет иметь значение одного из целых чисел $3, 4, \dots, n$.

Итак, на основании доказанного мы можем установить следующее правило: если наблюдения дают такой ряд чисел, что вычисленные, по ним суммы $S_k, S_k^2, S_k^3, \dots, S_k^m$ начинают с третьего порядка давать числа, составляющие арифметическую прогрессию, то такие наблюдения могут быть разбиты на четыре самостоятельные группы, в которых изменчивость чисел будет параболическая.

В заключение этой главы рассмотрим еще один случай периодической функции, подобный только что рассмотренному. Пусть имеется семейство кривых вида

$$y = A + Be^{zx}$$

и пусть мы переходим последовательно от одной кривой к другой так, что в конце перехода возвращаемся к начальной кривой. Очевидно, что значения ординат должны в этом случае получить периодическую изменчивость, так как они должны удовлетворять уравнению.

$$y = a_0 + a_1 \sin(\beta x + \varphi_1) + e^{zx} (b_0 + b_1 \sin(\beta x + \varphi_2)) \quad (45)$$

Посмотрим, каким свойством будут обладать суммы, составленные по этим значениям ординат?

Составим снова выражения для разностей Δy . Эти разности будут таковы

$$\Delta y_1 = 2a_1 \sin \frac{1}{2} \beta \cos \left(\frac{3}{2} \beta + \varphi_1 \right) + b_0 (e^\alpha - 1) e^\alpha + b_1 \left(e^\alpha \sin(2\beta + \varphi_2) - \sin(\beta + \varphi_2) \right) e^\alpha$$

$$\Delta y_2 = 2a_1 \sin \frac{1}{2} \beta \cos \left(\frac{5}{2} \beta + \varphi_1 \right) + b_0 (e^{2\alpha} - 1) e^{2\alpha} + b_1 \left(e^{2\alpha} \sin(3\beta + \varphi_2) - \sin(2\beta + \varphi_2) \right) e^{2\alpha}$$

$$\Delta y_k = 2a_1 \sin \frac{1}{2} \beta \cos \left(\frac{2k+1}{2} \beta + \varphi_1 \right) + b_0 (e^{k\alpha} - 1) e^{k\alpha} + b_1 \left(e^{k\alpha} \sin((k+1)\beta + \varphi_2) - \sin(k\beta + \varphi_2) \right) e^{k\alpha}$$

На основании этих равенств имеем

$$S_1 = 4a_1 \sin \frac{1}{2} \beta \cos \beta \cos \left(\frac{5}{2} \beta + \varphi_1 \right) + b_0 (e^\alpha - 1) (e^{2\alpha} + 1) e^\alpha + \\ + b_1 e^\alpha \left\{ e^{2\alpha} (e^\alpha \sin(4\beta + \varphi_2) - \sin(3\beta + \varphi_2)) + e^\alpha \sin(2\beta + \varphi_2) - \sin(\beta + \varphi_2) \right\}$$

$$S_2 = 4a_1 \sin \frac{1}{2} \beta \cos \beta \cos \left(\frac{7}{2} \beta + \varphi_1 \right) + b_0 (e^\alpha - 1) (e^{2\alpha} + 1) e^{2\alpha} + \\ + b_1 e^{2\alpha} \left\{ e^{2\alpha} (e^\alpha \sin(5\beta + \varphi_2) - \sin(4\beta + \varphi_2)) + e^\alpha \sin(3\beta + \varphi_2) - \sin(2\beta + \varphi_2) \right\}$$

$$S_3 = 4a_1 \sin \frac{1}{2} \beta \cos \beta \cos \left(\frac{9}{2} \beta + \varphi_1 \right) + b_0 (e^\alpha - 1) (e^{2\alpha} + 1) e^{3\alpha} + \\ + b_1 e^{3\alpha} \left\{ e^{2\alpha} (e^\alpha \sin(6\beta + \varphi_2) - \sin(5\beta + \varphi_2)) + e^\alpha \sin(4\beta + \varphi_2) - \sin(3\beta + \varphi_2) \right\}$$

$$S_5 = 4a_1 \sin \frac{1}{2} \beta \cos \beta \cos \left(\frac{13}{2} \beta + \varphi_1 \right) + b_0 (e^\alpha - 1) (e^{2\alpha} + 1) e^{5\alpha} + \\ + b_1 e^{5\alpha} \left\{ e^{2\alpha} (e^\alpha \sin(8\beta + \varphi_2) - \sin(7\beta + \varphi_2)) + e^\alpha \sin(6\beta + \varphi_2) - \sin(5\beta + \varphi_2) \right\}$$

$$S_6 = 4a_1 \sin \frac{1}{2} \beta \cos \beta \cos \left(\frac{15}{2} \beta + \varphi_1 \right) + b_0 (e^\alpha - 1) (e^{2\alpha} + 1) e^{6\alpha} + \\ + b_1 e^{6\alpha} \left\{ e^{2\alpha} (e^\alpha \sin(9\beta + \varphi_2) - \sin(8\beta + \varphi_2)) + e^\alpha \sin(7\beta + \varphi_2) - \sin(6\beta + \varphi_2) \right\}$$

и т. д.

Рассматривая суммы S_1 и S_5 , S_2 и S_6 , S_3 и S_7 и т. д. мы можем видеть, что, если $\beta = \frac{\pi}{2}$, то отношение.

$$\frac{S_5}{S_1} = \frac{S_6}{S_2} = \frac{S_7}{S_3} = \dots = e^{4\alpha} = \text{постоянному числу} \quad (46)$$

Легко убедиться, что таким же свойством будут обладать те же члены и в рядах сумм второго, третьего, четвертого и вообще какого угодно высшего порядка. В самом деле, например,

$$S_1^2 = S_3 + S_5 \quad \text{и} \quad S_5^2 = S_7 + S_9$$

Но $S_7 = e^{4\alpha} S_3$ и $S_9 = e^{4\alpha} S_5$ на основании соотношения (46); а потому

$$S_5^2 = e^{4\alpha} (S_3 + S_5) = e^{4\alpha} S_1^2$$

Таким же образом найдем, что

$$S_6^2 = e^{4\alpha} S_2^2$$

$$S_7^2 = e^{4\alpha} S_3^2$$

и следовательно, вообще

$$\frac{S_5^2}{S_1^2} = \frac{S_6^2}{S_2^2} = \frac{S_7^2}{S_3^2} = \dots = e^{4\alpha} = \text{постоянному числу} \quad (47)$$

Применяя тот же способ доказательства последовательно к суммам третьего, четвертого и вообще какого угодно высшего порядка, мы убедимся окончательно, что указанное свойство сумм первого и второго порядка является свойством общим для сумм какого угодно порядка, так что на основании этого можно установить следующее правило: если наблюдения дают такой ряд чисел, что составленные по ним суммы $S_k, S_k^2, S_k^3, \dots, S_k^m$ начинают обнаруживать с наинишнего порядка то свой-

ство, что отношение $\frac{S_{k+4}^m}{S_k^m}$ для любого целого значения k и m остается равным одному и тому же постоянному числу, то такой ряд наблюдений распадается на четыре самостоятельные группы, в которых изменчивость чисел будет отвечать изменчивости членов геометрической прогрессии, увеличенных или уменьшенных на постоянное число.

Чтобы на числовых примерах видеть приложение изложенного в настоящей главе анализа, обратимся к изучению соотношений, какие могут быть установлены между элементами планетных орбит в солнечной системе.

ГЛАВА VII.

Многие астрономы склонны думать, что соотношение, известное под названием закона Тициуса-Боде, имеет скорее случайный характер, чем служит намеком, хотя бы даже и отдаленным, на действительное соотно-

шение, существующее между средними расстояниями планет от солнца. Но такой взгляд ошибочен. Соотношение, связывающее друг с другом большие полуоси всех планетных орбит, действительно существует, но только не в той форме, в какой дали его Тициус или Боде.

Мы легко найдем его, если обратим внимание на то, что кривая, вычерченная по большим полуосям, имеет явно выраженную извилистость. Следовательно, мы можем поставить задачу отыскать периоды, управляющие изменчивостью членов ряда, и для этого поступить с ними так, как это было указано в главе второй, т. е. расположив элементы в ряд в порядке действительного распределения планет в солнечной системе, найти по ним сначала разности первого порядка, а потом подвергнуть эти разности суммированию через одну попарно. По найденным суммам следует затем найти суммы второго порядка и третьего порядка.

Проделав вычисления по указанным элементам классификации, мы тотчас же получим весьма интересный результат. Так как между Марсом и Юпитером находится кольцо астероидов, для которого приходится брать в основном ряду классификации лишь приближенное значение элемента, то вследствие этого в ряды классификации вносится некоторая неточность, от которой зависит форма выражения искомой законности. За такую величину на первых порах я принял число, равное 2,820. Это число составляет почти ровно половину суммы больших полуосей для орбит астероидов Туле и Эроса.

После того, как, оперируя с указанной приближенной величиной для большой полуоси планеты, заменяющей собою кольцо астероидов, я убедился, что связь между большими полуосями для всех планет на самом деле существует, я исправил число 2,820, заменив его числом 2,81518. Тогда закон, выражающий связь между большими полуосями планетных орбит, выступает во всей своей чарующей простоте. Чтобы убедиться в этом, нужно только просмотреть числа относящейся сюда таблицы I.

ТАБЛИЦА I.

Элементы класси-	Мер-	Ве-	Земля	Марс	Асте-	Юпи-	Са-	Уран	Неп-
фикации	а ₁	а ₂	а ₃	а ₄	а ₅	а ₆	а ₇	а ₈	а ₉
Большая полуось орбит.	0,38712	0,72333	1,00000	1,52368	2,81518	5,20256	9,55475	19,21814	30,10957
Разности 1-го пор.	0,33621	0,27667	0,52368	1,29150	2,38738	4,35219	9,66339	10,89143	—
Суммы 1-го поряд.	0,85989	1,56817	2,91106	5,64369	12,05077	15,24362	—	—	—
Суммы 2-го поряд.	3,77095	7,21186	14,96183	20,88731	—	—	—	—	—
Суммы 3-го поряд.	18,73278	28,09917	—	—	—	—	—	—	—

Кроме указанного выше числа 2,81518, принятого за характеристику кольца астероидов, основной ряд ее не включает в себе ни малейших приближений. Все числа этого ряда приняты астрономами и взяты мною из *Connaissance des temps* за 1917 год. Считаю необходимым однако отметить, что в классификации начинает обнаруживаться невязка величиною в две единицы в пятом десятичном знаке, которая исчезает, если

для Меркурия мы поставим в основной ряд классификации не число 0,38710, которое принимается астрономами, а число 0,38712. Таким образом исчезание в классификации невязки при числе 0,38712 как бы указывает нам на то, что это число наиболее достоверно.

Законность, которую констатирует нам таблица I, заключается в том, что

1. суммы третьего порядка суть числа кратные от одного и того же числа 9,36639;

2. второй член в ряду этих сумм относится к первому, как число 3 относится к числу 2. Это значит, что большие полуоси всех планетных орбит в солнечной системе связаны друг с другом следующим соотношением:

$$\{(a_3 - a_2) + 3(a_5 - a_1) + 3(a_7 - a_6) + (a_9 - a_8)\} : \{(a_2 - a_1) + 3(a_4 - a_3) + 3(a_6 - a_5) + (a_8 - a_7)\} = 3:2 \quad (48)$$

О чем же говорит нам это соотношение?

Принимая во внимание теоремы, доказанные в конце шестой главы, мы имеем право утверждать, что соотношение (48) представляет собою математическое выражение связи между коэффициентами в уравнениях четырех парабол, каждое из которых может быть представлено в виде уравнения

$$a = A + Bz + Cz^2 \quad (49)$$

где буква z в правой части равенства обозначает одно из порядковых чисел 1, 2, 3, 4, ... и т. д. Простейшее средство убедиться в этом есть дополнение основного ряда таблицы I числами, полученными на основании того свойства сумм третьего порядка, что они являются кратными от числа 9,36639. Поэтому, если в последнем горизонтальном ряде таблицы I мы поставим в колонке третьей число $4 \times 9,36639$, в колонке четвертой число $5 \times 9,36639$, в колонке пятой число $6 \times 9,36639$ и т. д., то вслед за значением большой полуоси для Нептуна получим следующие числа:

$a_{10} = 30,89914$	$a_{15} = 64,46194$	$a_{20} = 169,79078$
$a_{11} = 30,70873$	$a_{16} = 103,35169$	$a_{21} = 261,19072$
$a_{12} = 53,16081$	$a_{17} = 159,29734$	$a_{22} = 235,29298$
$a_{13} = 82,27029$	$a_{18} = 145,94435$	$a_{23} = 169,76605$
$a_{14} = 77,81307$	$a_{19} = 110,81438$	$a_{24} = 252,47808$

Если на плоскости координатных осей мы нанесем точки, отвечающие величине полученных значений полуосей, приняв их за ординаты, а вдоль оси абсцисс отложим одинаковой величины отрезки, отвечающие местам, занимаемым в солнечной системе действительными или предполагаемыми планетами, и соединим концы ординат непрерывной кривой линией, то мы найдем, что она представляет последовательный переход по точкам, расположенным на ветвях четырех отдельных парабол. Аналитически мы можем убедиться в этом следующим образом.

Разобьем основной ряд таблицы I с включенными в него дополнительными членами на группы, отнеся

к первой группе полуоси . . . $a_1, a_5, a_9, a_{13}, a_{17}, a_{21}$

к второй группе полуоси . . . $a_2, a_6, a_{10}, a_{14}, a_{18}, a_{22}$

к третьей группе полуоси . . . $a_3, a_7, a_{11}, a_{15}, a_{19}, a_{23}$

к четвертой группе полуоси . . . $a_4, a_8, a_{12}, a_{16}, a_{20}, a_{24}$

и отыщем по ним конечные разности первого и второго порядка. Относящаяся сюда таблица II дает нам представление о значении этих разностей.

ТАБЛИЦА II.

Группа	Элементы классификации	a_1	a_5	a_9	a_{13}	a_{17}	a_{21}
I	Большая полуось орб.	0,38712	2,81518	30,10957	82,27029	159,29734	261,19072
	Разности 1-го порядка	2,42806	27,29439	52,16072	77,02705	101,89338	
	Разности 2-го порядка	24,86633	24,86633	24,86633	24,86633		
Группа	Элементы классификации	a_2	a_6	a_{10}	a_{14}	a_{18}	a_{22}
II	Большая полуось орб.	0,72333	5,20256	30,89914	77,81307	145,94435	235,29298
	Разности 1-го порядка	4,47923	25,69658	46,91393	68,13128	89,34863	
	Разности 2-го порядка	21,21735	21,21735	21,21735	21,21735		
Группа	Элементы классификации	a_3	a_7	a_{11}	a_{15}	a_{19}	a_{23}
III	Большая полуось орб.	1,00000	9,55475	30,70873	64,46194	110,81438	169,76605
	Разности 1-го порядка	8,55475	21,15398	33,75321	46,35244	58,95167	
	Разности 2-го порядка	12,59923	12,59923	12,59923	12,59923		
Группа	Элементы классификации	a_4	a_8	a_{12}	a_{16}	a_{20}	a_{24}
IV	Большая полуось орб.	1,52368	19,21814	53,16081	103,35169	169,79078	252,47808
	Разности 1-го порядка	17,69446	33,94267	50,19088	66,43909	82,68730	
	Разности 2-го порядка	16,24821	16,24821	16,24821	16,24821		

Рассматривая по отдельным группам ряды цифр в таблице II, можно видеть, что разности второго порядка повсюду оказываются постоянными числами. Так как это может быть только в том случае, если функция будет целой и при том второй степени, то отсюда мы и можем заключить, что для любой из групп, входящей в состав таблицы II, связь между величинами a и числом z , определяющим место планеты в группе, на самом деле выражается указанным выше уравнением (49).

Принимая это во внимание, вычислим значение коэффициентов A , B и C , характеризующих каждую группу. Так как по свойству конечных разностей для данного случая значение разностей второго порядка вообще должно равняться помноженному на число 32 коэффициенту C , а зна-

чение первых членов в ряду разностей первого порядка соответственно равняться:

$$\begin{aligned} \text{в первой группе} & \dots 4B_1 + 24C_1 \\ \text{во второй} & \dots 4B_2 + 32C_2 \\ \text{в третьей} & \dots 4B_3 + 40C_3 \\ \text{„ четвертой} & \dots 4B_4 + 48C_4 \end{aligned}$$

то на основании этого имеем такие значения коэффициентов В и С для каждой группы:

$$\begin{aligned} \text{для первой группы} & \dots B_1 = -4,0554228 & C_1 = 0,7770729 \\ \text{для второй группы} & \dots B_2 = -4,1845301 & C_2 = 0,6630422 \\ \text{для третьей группы} & \dots B_3 = -1,7985715 & C_3 = 0,3937259 \\ \text{для четвертой группы} & \dots B_4 = -1,6694642 & C_4 = 0,5077566 \end{aligned}$$

Зная же коэффициенты В и С, по первым рядам находим значения и коэффициента А для каждой группы. Эти значения таковы:

$$\begin{aligned} \text{для первой группы} & \dots A_1 = 3,6654712 \\ \text{для второй группы} & \dots A_2 = 6,4402214 \\ \text{для третьей группы} & \dots A_3 = 2,8521814 \\ \text{для четвертой группы} & \dots A_4 = 0,0774312 \end{aligned}$$

Таким образом оказывается, что восемь больших планет солнечной системы составляют четыре самостоятельные группы, при чем одну группу составляют Меркурий и Нептун, вторую группу—Венера и Юпитер, третью группу—Земля и Сатурн, и, наконец, четвертую группу—Марс и Уран. В каждой из этих групп большие полуоси орбит могут быть вычислены по уравнениям:

$$\text{в первой группе} \dots a = 3,6654712 - 4,0554228z + 0,7770729z^2 \quad (50)$$

$$\text{во второй группе} \dots a = 6,4402214 - 4,1845301z + 0,6630422z^2 \quad (51)$$

$$\text{в третьей группе} \dots a = 2,8521814 - 1,7985715z + 0,3937259z^2 \quad (52)$$

$$\text{в четвертой группе} \dots a = 0,0774312 - 1,6694642z + 0,5077566z^2 \quad (53)$$

а все полуоси вместе связаны друг с другом соотношением:

$$\{(a_3 - a_2) + 3(a_5 - a_4) + 3(a_7 - a_6) + (a_9 - a_8)\} : \{(a_2 - a_1) + 3(a_4 - a_3) + 3(a_6 - a_5) + (a_8 - a_7)\} = 3:2$$

которое приводилось уже и раньше. Так как нам не раз придется говорить ниже об указанных здесь группах планет, то условимся называть первую группу группой Нептуна, вторую—группой Юпитера, третью—группой Сатурна и последнюю—группой Урана.

Вышеприведенный анализ так прост, что сделанные на основании его выводы едва ли могут хоть в комнибудь возбудить сомнение. Научное же значение их бесспорно, так как ими дается освещение одному из трудных вопросов теоретической механики относительно движения тел, тяготеющих к одному общему центру и друг к другу по закону всемирного тяготения. В виду этого весьма важно было выяснить, не существует ли для планет солнечной системы соотношения также и между малыми полуосями их орбит. Очевидно, что если бы на самом деле удалось

найти такое соотношение, то тем самым был бы установлен закон, связующий друг с другом второй элемент планетных орбит—их эксцентриситеты.

После того, как была выше подробно объяснена система классификации, я считаю лишним возвращаться к этому объяснению. Поэтому я прямо приведу здесь таблицу III, составленную по величине малых полуосей, вычисленных мною по большим осям и эксцентриситетам. Так как нахождение всех членов в рядах классификации и здесь оказывается невозможным без знания вспомогательной величины, характеризующей кольцо астероидов, то за такую величину я принял число 2,80645. С таким числом классификация дает следующий результат.

ТАБЛИЦА III

Элементы классификации	Меркурий	Венера	Земля	Марс	Астероиды	Юпитер	Сатурн	Уран	Нептун
	b_1	b_2	b_3	b_4	b_5	b_6	b_7	b_8	b_9
Малая полуось орбиты	0,37881	0,72331	0,99986	1,51703	2,80645	5,19648	9,53981	19,19749	30,108
Разности 1-го пор.	0,34450	0,27655	0,51717	1,28942	2,39003	4,34333	9,65768	10,91087	
Суммы 1-го пор.	0,86167	1,56597	2,90720	5,63275	12,04771	15,25420			
Суммы 2-го пор.	3,76887	7,19872	14,95491	20,88695					
Суммы 3-го пор.	18,72378	28,08567							

В отношении приведенной таблицы необходимо прежде всего отметить, что и здесь происходит невязка в ряду сумм третьего порядка величиной в две единицы в пятом десятичном знаке, когда для Меркурия принимается малая полуось его орбиты равной 0,37883. Так как невязка исчезает, когда эту полуось принимают равной 0,37881, то, повидимому, это число и следует принимать за величину малой полуоси орбиты Меркурия.

Из таблицы III видно, что между малыми полуосями планетных орбит существует совершенно такое же соотношение, какое было установлено выше для больших полуосей, так что и здесь имеет место уравнение (48), если только мы заменим в нем полуоси a полуосями b . В самом деле, стоящие в ряду сумм третьего порядка члены суть числа кратные от числа 9,36189 и они относятся друг к другу, как числа 3 и 2. Следовательно, все те выводы касательно распределения планет солнечной системы по четырем группам, какие мы сделали выше на основании изучения соотношений между большими полуосями, получают для себя подтверждение и здесь. По методу, тождественному с предыдущим, я нашел, что величина малой полуоси может быть вполне точно вычислена по следующим формулам:

для группы Нептуна $b = 3,6585047 - 4,0570156z + 0,7773209z^2$ (54)

для группы Юпитера $b = 6,4464646 - 4,1882001z + 0,6633116z^2$ (55)

для группы Сатурна $b = 2,8461194 - 1,7941657z + 0,3929153z^2$ (56)

для группы Урана $b = 0,0581596 - 1,6629812z + 0,5069247z^2$ (57)

Остановимся на некоторое время на этих уравнениях.

Рассматривая совокупности уравнений (50)—(53) и (54)—(57), легко заметить, что в группах Нептуна и Юпитера заложена тенденция к увеличению малой полуоси, тогда как в группах Сатурна и Урана проявляется стремление к уменьшению ее. И действительно, если бы по уравнениям для больших и малых полуосей мы вычислили те значения z , при которых большие и малые полуоси делаются равными, то нашли бы, что этому условию удовлетворяют

$$\begin{array}{lll} \text{в группе Нептуна} & z_1 = 9,4083 & z_2 = -2,9857, \\ \text{а в группе Юпитера} & z_1 = 11,6303 & z_2 = 1,9925. \end{array}$$

Что касается групп Урана и Сатурна, то вычисление показывает, что здесь орбита никогда не могла бы сделаться круговой. Какое значение имеет это обстоятельство, мы увидим ниже.

Так как кривые, выражаемые уравнениями (50)—(53), составляют семейство кривых, а кривые, выражаемые уравнениями (54)—(57), составляют другое семейство, то каждую совокупность этих уравнений мы можем заменить одной формулой. Эта возможность является следствием того, что как постоянные коэффициенты, так и коэффициенты при z и z^2 должны удовлетворять строго уравнениям:

$$A = A_0 + B_0 \sin\left(\frac{\pi}{2}z\right) + C_0 \cos\left(\frac{\pi}{2}z\right) = A_0 + D_0 \sin\left(\frac{\pi}{2}(z + z_0)\right)$$

$$B = A_1 + B_1 \sin\left(\frac{\pi}{2}z\right) + C_1 \cos\left(\frac{\pi}{2}z\right) = A_1 + D_1 \sin\left(\frac{\pi}{2}(z + z_1)\right)$$

$$C = A_2 + B_2 \sin\left(\frac{\pi}{2}z\right) + C_2 \cos\left(\frac{\pi}{2}z\right) = A_2 + D_2 \sin\left(\frac{\pi}{2}(z + z_2)\right)$$

Поэтому для любой планетной орбиты как действительной, так и предполагаемой, большая и малая полуоси могут быть вычислены по одной и той же формуле, имеющей следующий вид:

$$\begin{aligned} y = & A_0 + B_0 \sin\left(\frac{\pi}{2}z\right) + C_0 \cos\left(\frac{\pi}{2}z\right) + \left(A_1 + B_1 \sin\left(\frac{\pi}{2}z\right) + C_1 \cos\left(\frac{\pi}{2}z\right)\right)z + \\ & + \left(A_2 + B_2 \sin\left(\frac{\pi}{2}z\right) + C_2 \cos\left(\frac{\pi}{2}z\right)\right)z^2 \end{aligned} \quad (58)$$

или же по равнозначущей ей формуле

$$\begin{aligned} y = & A_0 + D_0 \sin\left(\frac{\pi}{2}(z + z_0)\right) + \left(A_1 + D_1 \sin\left(\frac{\pi}{2}(z + z_1)\right)\right)z + \\ & + \left(A_2 + D_2 \sin\left(\frac{\pi}{2}(z + z_2)\right)\right)z^2 \end{aligned} \quad (59)$$

Эти формулы и должны заменить собою в астрономии формулу, известную под названием закона Тициуса-Боде. По формулам (58) и (59) полуоси вычисляются вполне точно до какого угодно десятичного знака, т. е. с такую точностью, которая может удовлетворить самого требо-

вательного астронома. Все зависит от того, с каким числом десятичных знаков будут взяты элементы основного ряда в классификациях I и III. Точность до шестого десятичного знака достигается при помощи следующих значений коэффициентов:

для больших полуосей

$A_0 = 3,2588263$	$A_1 = -2,9269972$	$A_2 = 0,5853994$
$B_0 = 0,4066449$	$B_1 = -1,1284257$	$B_2 = 0,1916735$
$C_0 = -3,1813951$	$C_1 = 1,2575330$	$C_2 = -0,0776428$
$D_0 = 3,206140$	$D_1 = -1,687444$	$D_2 = 0,206802$
$z_0 = -0,91923$	$z_1 = -0,53369$	$z_2 = -0,24502$

для малых полуосей

$A_0 = 3,2523121$	$A_1 = -2,9255906$	$A_2 = 0,5851181$
$B_0 = 0,4061926$	$B_1 = -1,1314250$	$B_2 = 0,1922028$
$C_0 = -3,1941525$	$C_1 = 1,2626095$	$C_2 = -0,0781935$
$D_0 = 3,219895$	$D_1 = -1,695377$	$D_2 = 0,207500$
$z_0 = -0,91948$	$z_1 = -0,53485$	$z_2 = -0,24598$

ГЛАВА VIII.

Когда мною найдены были для планетных орбит соотношения, связующие их большие и малые полуоси, в моем уме создалась уверенность в том, что и между остальными элементами этих орбит существуют также некоторые соотношения и что при некоторой настойчивости они могут быть открыты. Эта уверенность не оказалась ошибочной, но для этого действительно потребовалась большая настойчивость.

Источник всех затруднений, которые я встречал на своем пути, заключался в незнании того, какими элементами следует охарактеризовывать тот эквивалент, который заменял мне в моих классификациях кольцо астероидов. Не будь этого, задача решалась бы легко, просто и изящно. Но когда в руках исследователя находился только один критерий, по которому он мог судить о правильности или неправильности найденного результата, а именно, удовлетворяется или не удовлетворяется требование, чтобы сумма однозначных коэффициентов в уравнениях, относящихся к группам Нептуна и Сатурна, была бы равна сумме таковых же коэффициентов в уравнениях для групп Урана и Юпитера и чтобы, во вторых, разность тех же коэффициентов в уравнениях для первой и второй групп в точности равнялась бы разности подобных же коэффициентов для четвертой и третьей группы,—решение крайне осложнялось. В разработке вопроса приходилось идти медленными шагами и путем множества последовательных приближений постепенно выискивать, с каким значением искомым элементов решение задачи получает наибольшую достоверность. Порядок изучения каждой из получаемых таким образом таблиц состоял в том, что я прежде всего старался отыскать, не находятся ли в какой либо связи друг с другом элементы классификации. А когда это удавалось сделать, я приступал к отысканию

уравнения, выражающего эту связь, и находил значение постоянных коэффициентов его. Знание же коэффициентов тотчас решало вопрос, удовлетворяет ли найденное решение условиям задачи или нет. Покажу это на частных примерах.

Предположим, что в классификации по долготам перигелия на пятом месте в основном ряду стоит число 61,31227. Вычисляя с помощью этого

ТАБЛИЦА IV.

Элементы классификации	Меркурий π_1	Венера π_2	Земля π_3	Марс π_4	Астероиды π_5	Юпитер π_6	Сатурн π_7	Уран π_8	Нептун π_9
Долгота перигелия	75,89717	130,14057	101,21870	334,21833	61,31227	12,72097	91,09821	171,54869	46,72736
Разности 1-го порядка	54,24340	28,92187	232,99963	-272,90606	-48,59130	78,37724	80,45048	-124,82133	
Суммы 1-го порядка	287,24303	-301,82793	184,40833	-194,52882	31,85918	-46,44409			
Суммы 2-го порядка	471,65136	-496,35675	216,26751	-240,97291					

числа все элементы классификации до сумм второго порядка включительно, получим ряды цифр, данные в таблице IV.

Рассматривая их внимательно, легко обнаружим, что в ряду сумм второго порядка сумма первых двух членов равняется сумме двух остальных, и что сама эта сумма равняется сумме четырех членов, стоящих в ряду сумм первого порядка, начиная с третьего члена. С другой стороны, легко убедиться, что сумма первых двух членов, стоящих в ряду сумм первого порядка, равна сумме членов пятого и шестого. Казалось бы, что закономерность здесь выражена так ясно, и в такой выпуклой форме, что совершенно нет места сомнению в том, что величина элемента и место, занимаемое планетой в своей группе, связаны друг с другом линейной зависимостью.

В самом деле, на основании, например, свойства, отмеченного в последнем горизонтальном ряду таблицы IV, мы можем написать следующее равенство:

$$\begin{aligned} \Delta\pi_6 + \Delta\pi_5 + 2(\Delta\pi_4 + \Delta\pi_3) + \Delta\pi_2 + \Delta\pi_1 = \\ = \Delta\pi_8 + \Delta\pi_7 + 2(\Delta\pi_6 + \Delta\pi_5) + \Delta\pi_4 + \Delta\pi_3 \end{aligned}$$

После сокращения подобных членов это равенство приводится к тому, что

$$\pi_5 - \pi_1 = \pi_9 - \pi_5$$

или иначе

$$\pi_1 + \pi_9 = 2\pi_5 \quad (60)$$

что, как известно, выражает свойство прямой линии.

Если бы мы расширили основной ряд таблицы IV в предположении, что указанная особенность членов ряда сумм второго порядка составляет

общее свойство всех членов этого ряда, то мы получили бы еще три следующие соотношения

$$\pi_2 + \pi_{10} = 2 \pi_6 \quad (61)$$

$$\pi_3 + \pi_{11} = 2 \pi_7 \quad (62)$$

$$\pi_4 + \pi_{12} = 2 \pi_8 \quad (63)$$

Все, полученные таким способом, соотношения выражали бы нам тот закон, что в солнечной системе планеты составляют четыре отдельные группы и что в каждой группе долготы перигелия связаны с местом, занимаемым планетой в этой группе, линейной зависимостью. Что же касается того, каким именно способом распределяются планеты по этим группам, то, всматриваясь ближе в то, между какими планетами устанавливается связь соотношениями (60)—(63), без всякого труда найдем, что классифицирование планет по долготам перигелия производит распределение их в точности на те же группы, какие найдены были выше на основании соотношений между большими и малыми полуосями планетных орбит.

Итак, искомое решение задачи как будто бы найдено. Но если обратиться к тому, какое значение мы должны приписать коэффициентам этих линейных зависимостей, то увидим, что оно никоим образом не может нас удовлетворять. В самом деле, вычисление показывает, что, если бы элементы планет данной группы действительно составляли ряд членов арифметической прогрессии, то первый член и разность этой прогрессии составляли бы такие числа:

в группе Нептуна	$A_1 = 79,543396$	$B_1 = - 3,646226$
„ „ Юпитера	$A_2 = 188,850370$	$B_2 = - 29,354900$
„ „ Сатурна	$A_3 = 108,809068$	$B_3 = - 2,530123$
„ „ Урана	$A_4 = 496,887970$	$B_4 = - 40,667410$

Так как $(A_1 + A_3)$, равно как $(B_1 + B_3)$ не равны соответственно $(A_2 + A_4)$ и $(B_2 + B_4)$, то отсюда делаем вывод, что найденное как бы решение задачи не верно, т.е. что нельзя допускать, что элемент и место, занимаемое планетой в своей группе, связаны друг с другом линейной зависимостью.

Перейдем теперь к другому примеру. Пусть основной ряд классификации составляют углы наклона перигелия, взятые с таким знаком, какой имеет синус от долготы перигелия, и допустим, что на пятом месте в этом ряду стоит число 61,21945. В таком случае элементы классификации дают нам следующую таблицу (см. таблицу V, на стр. 99).

В этой таблице числа, стоящие в ряду сумм первого порядка, обладают тем свойством, что отношение пятого члена к первому и шестого к второму оказываются одинаковыми. В самом деле

$$\frac{128,94896}{130,60071} = 0,9873525 \quad \text{и} \quad \frac{114,45687}{115,92299} = 0,9873525$$

На основании этого мы можем написать такие равенства:

$$\varphi_9 - \varphi_8 + \varphi_7 - \varphi_6 = n(\varphi_5 - \varphi_4 + \varphi_3 - \varphi_2)$$

$$\varphi_8 - \varphi_7 + \varphi_6 - \varphi_5 = n(\varphi_4 - \varphi_3 + \varphi_2 - \varphi_1)$$

а складывая их, получим равенство,

$$\varphi_9 - \varphi_5 = n(\varphi_5 - \varphi_1)$$

которое говорит нам, что Меркурий, Нептун и кольцо астероидов принадлежат к одной и той же группе.

Подобные же равенства для других групп планет мы получим, если допустим, что из третьего и четвертого членов, стоящих в ряду сумм первого порядка, могут быть образованы члены седьмой и восьмой по тому же закону, по какому составлены члены пятый и шестой из членов первого и второго, и что такой способ нахождения новых членов ряда может быть распространен, как угодно, далеко. Но в таком случае на весь ряд мы имеем право распространить действие теоремы, доказанной в самом конце шестой главы. Теорема эта говорит, что, если имеется семейство кривых вида,

$$y = A + Be^{2x}$$

состоящее из четырех представителей, то в ряду сумм первого порядка отношение членов

$$\frac{S_{k+4}}{S_k} = e^{12} = \text{постоянному числу}$$

при любом значении k . Так как таблица V выявляет как раз это именно свойство своих членов, то отсюда непосредственно и вытекает заключение, что элементы, к которым относится эта таблица, должны быть рассматриваемы нами, как значения функции, написанной в форме уравнения

$$\varphi = A + Be^{2z} \quad (64)$$

ТАБЛИЦА V.

Элементы классификации	Меркурий φ_1	Венера φ_2	Земля φ_3	Марс φ_4	Астероиды φ_5	Юпитер φ_6	Сатурн φ_7	Уран φ_8	Нептун φ_9
Углы наклона перигелия	75,89717	49,85943	78,78130	-25,78167	61,21945	12,72097	88,90179	8,45131	46,72736
Разности 1-го порядка	-26,03774	28,92187	-104,56297	87,00112	-48,49848	76,18082	-80,45048	38,27605	
Суммы 1-го порядка	-130,60071	115,92299	-153,06145	163,18194	-128,94896	114,45687			

постоянное число. Но я не буду представлять этих доказательств, так как для наших целей они мало полезны. Как бы ни были убедительны эти доказательства, но, оценивая их с точки зрения того критерия, о котором было сказано выше, мы всетаки вынуждаемся заключить, что подобное решение нашего вопроса должно быть отвергнуто, как неверное. В самом деле, вычисление показывает, что, если бы формула (64) могла

ТАБЛИЦА VI.

Элементы класси- фикации	Меркурий	Венера	Земля	Марс	Астероиды	Юпитер	Сатурн	Уран	Нептун
	1	2	3	4	5	6	7	8	9
Долгота перигелия	75,89717	130,14057	101,21870	334,21833	297,20667	12,72097	91,09821	171,54869	46,72736
Разности 1-го порядка	54,24340	-28,92187	232,99963	-37,01166	-284,48570	78,37724	80,45048	-124,82133	
Суммы 1-го	287,24303	-65,93353	-51,48607	41,365 8	-204,03522	-46,44409			
" 2-го	235,75696	-24,56795	-255,52129	-5,07851					
" 3-го	-19,76433	-29,64646							
Долгота восходящего узла	47,14474	75,78809	0,00000	48,78670	103,45780	99,44341	112,79041	73,47711	130,68139
Разности 1-го порядка	28,64335	-75,78809	48,78670	54,67110	-4,01439	13,34700	-39,31330	57,20428	
Суммы 1-го	77,43005	-21,11699	44,77231	68,01810	-43,32769	70,55128			
" 2-го	122,20236	46,90111	1,44462	138,56938					
" 3-го	123,64698	185,47049							
Наклонность к эклиптике	7,03014	3,39364	0,00000	1,85030	1,411695	1,30874	2,49252	0,77246	1,77924
Разности 1-го порядка	-3,63650	-3,39364	1,85030	-0,438605	-0,102955	1,18378	-1,72006	1,00678	
Суммы 1-го	-1,78620	-3,832245	1,747345	0,745175	-1,823015	2,19056			
" 2-го	-0,038855	-3,087070	-0,075670	2,935735					
" 3-го	-0,114525	-0,151335							

быть применима к данному случаю, то коэффициенты этой формулы должны были бы иметь следующие значения:

для группы Нептуна	$A_1 = -1086,403$	$B_1 = 1177,2$
„ „ Юпитера	$A_2 = -2851,640$	$B_2 = 2939,1$
„ „ Сатурна	$A_3 = 850,181$	$B_3 = -781,7$
„ „ Урана	$A_4 = 2622,818$	$B_4 = -2683,3$

Совершенно очевидно, что выписанные здесь значения коэффициентов далеки от того, чтобы сумма их для первой и третьей групп была равна сумме таковых же коэффициентов для второй и четвертой группы, а между тем это должно было бы быть, если бы формула (64) выражала собою правильное решение нашего вопроса.

Все неудачи подобного рода,—а их было очень много,—имели однако же для меня то значение, что я с самых разнообразных сторон извлекал доказательство того факта, что существующие в солнечной системе планеты составляют четыре отдельные группы, при чем распределение их по группам всегда получается таким, какое мы нашли на основании классификаций по большим и малым полуосям. В виду этого я решил испытать, к каким результатам приводит допущение параболической формы связи между величиною элемента и местом, занимаемым планетою в своей группе. Оказалось, что все допущения подобного рода приводят к уравнениям, коэффициенты которых удовлетворяют основному критерию. Но очевидно, что эта множественность как бы решений нашей задачи оставляет открытым вопрос, какое же из них мы должны принять за правильное. Лишь в силу соображений, о которых будет говориться в следующей главе, я полагаю, что наиболее вероятным будет следующее решение.

Поставим на пятое место в классификациях: по долготе перигелия—число 297,20667, по долготе восходящего узла—число 103,45780 и, наконец, по наклонностям к эклиптике—число 1,411695. В таком случае характеристикой наших классификаций явятся ряды цифр, данных в таблице VI на странице 100.

Обращаясь в этой таблице к значению членов, стоящих в ряду сумм третьего порядка, видим, что в классификации по долготам перигелия эти члены оказываются числами кратными от числа $-9,88216$, в следующей классификации—числами кратными от числа $61,82350$ и только в классификации по наклонностям имеем как бы ряд членов арифметической прогрессии с разностью $-0,036810$. Пользуясь этим свойством сумм третьего порядка, мы можем, далее, пополнить основные ряды классификаций новыми членами, которые после распределения их по группам можно найти в относящейся сюда таблице VII (см. стр. 102).

Так как в силу свойства сумм третьего порядка в таблице VI члены основных рядов таблицы VII по своему геометрическому смыслу суть ординаты некоторых парабол, отвечающие тем значениям абсцисс, которые указаны в заголовке таблицы непосредственно над ними, то мы и можем воспользоваться рядами цифр таблицы VII для того, чтобы вычислить коэффициенты в уравнениях этих парабол. Поступая так, как это было показано в главе VII, мы получим для этих коэффициентов следующие значения

Элементы классификации.	Г р у п п а Н е п т у н а .					Г р у п п а Ю п и т е р а .				
	1	5	9	13	2	6	10	14		
Долгота перигелия	75,89717	297,20667	46,72736	-675,54076	130,14057	12,72097	386,30480	1250,89206		
Равности 1-го порядка	221,30950	-230,47931	-722,26812		-117,41960	373,58383	864,58726			
Равности 2-го порядка	-471,78881	-471,78881			491,00343	491,00343				
Долгота восходящего узла	47,14474	103,45780	130,68139	128,81551	75,78809	99,44341	459,17176	1154,97314		
Равности 1-го порядка	56,31306	27,22359	-1,86588		23,65532	359,72835	695,80138			
Равности 2-го порядка	-29,08947	-29,08947			336,07303	336,07303				
Наклонность к эклиптике	7,030140	1,411695	1,779240	8,132775	3,39364	1,30874	5,20984	15,09694		
Равности 1-го порядка	-5,618445	0,367545	6,353535		-2,08490	3,90110	9,88710			
Равности 2-го порядка	5,98599	5,98599			5,98600	5,98600				
Г р у п п а С а т у р н а .										
Элементы классификации.	3	7	11	15	4	8	12	16		
Долгота перигелия	101,21870	91,09821	513,23801	1367,63810	334,21833	171,54869	-521,65290	-1745,38644		
Равности 1-го порядка	-10,12049	422,13980	854,40009		-162,66964	-693,20159	-1223,73354			
Равности 2-го порядка	432,26029	432,26029			-530,53195	-530,53195				
Долгота восходящего узла	0,00000	112,79041	501,96433	1167,52176	48,78670	73,47711	9,38853	-143,47904		
Равности 1-го порядка	112,79041	389,17392	665,55743		24,69041	-64,08858	-152,86757			
Равности 2-го порядка	276,38351	276,38351			-88,77899	-88,77899				
Наклонность к эклиптике	0,00000	2,49252	-1,14819	-10,92213	1,85030	0,77246	-6,43862	-19,78294		
Равности 1-го порядка	2,49252	-3,64071	-9,77394		-1,07784	-7,21108	-13,34432			
Равности 2-го порядка	-6,13323	-6,13323			-6,13324	-6,13324				

ТАБЛИЦА VIII.

Наименование элементов планетной орбиты	Группа Нептуна			Группа Юпитера		
	A ₁	B ₁	C ₁	A ₂	B ₂	C ₂
Долгота перигелия	-53,1472064	143,7877768	-14,7434003	372,9766563	-152,1057576	15,3438572
Долгота восходящего узла	28,5212457	19,5325404	-0,9090459	189,9878162	-78,1044276	10,5022822
Наклонность к эклиптике	9,3700636	-2,5269853	0,1870623	6,6808364	-2,0177231	0,1870623
Наименование элементов планетной орбиты	Группа Сатурна			Группа Урана		
	A ₃	B ₃	C ₄	A ₄	B ₃	C ₄
Долгота перигелия	392,4798837	-137,6114635	13,5081341	-33,6439789	158,2820708	-16,5791234
Долгота восходящего узла	96,7838714	-58,1722446	8,6369847	-64,6826991	39,4647234	-2,7743434
Наклонность к эклиптике	-5,8943242	2,5397657	-0,1916636	-3,2050970	2,0305035	-0,1916636

Не трудно убедиться, что находящиеся в этой таблице коэффициенты критерию строго удовлетворяют, а потому вычисление искомым элементов планетных орбит мы можем свести к вычислению только по одной формуле, вид которой нам уже известен из предыдущего, а, именно, по формуле

$$\psi = A_0 + B_0 \sin\left(\frac{\pi}{2}z\right) + C_0 \cos\left(\frac{\pi}{2}z\right) + \left(A_1 + B_1 \sin\left(\frac{\pi}{2}z\right) + C_1 \cos\left(\frac{\pi}{2}z\right)\right)z + \left(A_2 + B_2 \sin\left(\frac{\pi}{2}z\right) + C_2 \cos\left(\frac{\pi}{2}z\right)\right)z^2 \quad (65)$$

где под буквой ψ мы должны разумеать величину искомого элемента. Коэффициенты этой формулы имеют следующее значение (см. табл. IX на стр. 104).

С указанным здесь значением коэффициентов искомые элементы планетных орбит вычисляются вполне точно до пятого десятичного знака включительно, что составляет точность, вполне удовлетворяющую астронома.

ГЛАВА IX.

Весь предыдущий анализ приводит к заключению, что планетные орбиты в солнечной системе распределены в пространстве с строжайшей закономерностию. Единственное, что еще может в нас возбуждать неко-

торое сомнение, это — то, насколько правильны данные мною значения тех коэффициентов, при помощи которых можно получить величину каждого из элементов для любой орбиты. Не будь в солнечной системе кольца астероидов, этому сомнению не было бы места, так как в этом случае мы имели бы вполне точную величину элементов пятой орбиты и тогда наши классификации отчетливо показали бы, имеются ли на самом деле у членов, стоящих в ряду сумм третьего порядка, те свойства, какие мы им приписывали в главах седьмой и восьмой. В виду этого я считаю необходимым остановиться на этом предмете и привести здесь соображения, в силу которых мы имеем право думать, что коэффициенты, служащие для вычисления больших и малых полуосей, по всей вероятности, верны или, по крайней мере, весьма мало отличаются от их настоящего значения. Что же касается коэффициентов, при помощи которых могут быть вычислены по данным мною формулам все остальные элементы планетных орбит, то относительно их значения можно думать, что они не так далеко стоят от действительных. Соображения эти таковы.

В главе шестой нами было доказано, что, если у нас имеется семейство кривых, состоящее из четырех парабол, и мы совершаем переход последовательно от одной кривой к другой, то полученные таким способом ординаты составляют такой ряд чисел, что составленные по ним суммы третьего порядка должны представлять ряд членов арифметической прогрессии, удовлетворяющих равенствам:

$$S_1^3 = 8(b_0 + 9c_0) \quad S_2^3 = 8(b_0 + 11c_0)$$

$$S_3^3 = 8(b_0 + 13c_0) \dots \quad S_k^3 = 8(b_0 + (7 + 2k)c_0)$$

(см. формулы на страницах 82 и 83).

Отсюда видно, что, если в ряду сумм третьего порядка имеются хотя бы только два члена, то их будет вполне достаточно для того, чтобы определить числовое значение коэффициентов b_0 и c_0 , необходимое для нахождения всех остальных членов этого ряда, а через посредство их и тех

ТАБЛИЦА IX.

Элементы	A ₀	B ₀	C ₀	A ₁	B ₁	C ₁	A ₂	B ₂	C ₂
Долгота перигелия	169,6663387	—222,8135451	—203,3103,76	3,0881566	140,6996202	155,1939142	—0,6176331	—14,1257672	—15,9614903
Долгота восходящего узла	62,6525586	—34,1313128	—127,3352577	—19,3198521	38,8523925	58,7845755	3,8639694	—4,7730153	—6,6383128
Наклонность к эклиптике	1,7378697	7,6321939	—4,9429667	0,0063902	—2,5333755	2,0241133	—0,0023007	0,1893630	—0,1893630

членов основного ряда классификации, которые стоят дальше девятого члена. Совершенно ясно поэтому, что, ставя в классификации на месте кольца астероидов какую либо величину, мы тем самым налагаем на числовое значение членов основного ряда классификации, стоящих за девятым членом, вполне определенное требование, а, следовательно, твердо устанавливаем и величину коэффициентов в формулах, служащих для вычисления элементов планетных орбит. Я поясню теперь, почему можно думать, что в таблице I на месте кольца астероидов должно стоять именно число 2,81518, а не какое либо другое.

Мы видели, что вставка в основной ряд классификации числа 2,81518 превращает суммы третьего порядка в числа кратные от числа 9,36639. Это налагает на коэффициент b_0 в предыдущих формулах для $S_1^3, S_2^3, S_3^3, \dots, S_k^3$ условие, чтобы $b_0 = -5c_0$, от чего математическое выражение значений этих сумм становится проще, а число 9,36639 делается равным помноженному на 4^2 коэффициенту c_0 . Представленное в таком виде значение числа 9,36639 тотчас же и выясняет нам, что оно служит весьма важной и интересной характеристикой всей солнечной системы и, как таковое, должно заключать в себе глубокий астрономический смысл. В силу этого соображения я полагаю, что число это не случайно оказалось равным значению деленной на π Гауссовой постоянной, если последнюю выражать в километрах и отнести ее к одной секунде времени. В самом деле, если допустить, что число 9,36639 действительно равно деленной на π Гауссовой постоянной, то, вычисляя на основании этого равенства величину солнечного параллакса, мы получаем для него отсюда величину в $8'',907$, которое настолько близко к числу $8'',80$, принимаемому астрономами, что можно серьезно задумываться над тем, которое из этих чисел вернее. Это тем более позволительно, что принимаемое теперь астрономами значение солнечного параллакса ниже той величины, которая была найдена в 1874 и 1882 годах из наблюдений над прохождением Венеры по диску солнца. Как известно, большое число наблюдений дало тогда для солнечного параллакса величину от $8'',82$ до $8'',86$, а наблюдения немецкой экспедиции дали даже число $8'',88$. Да и вообще надо заметить, что к мысли о том, что солнечный параллакс равен $8'',90$ далеко не все астрономы относятся отрицательно. Вот эти то соображения и могут побуждать нас смотреть на получаемое из классификации по большим полуосям значение солнечного параллакса в $8'',907$, как на число, которое, если и не вполне строго отвечает действительности, то во всяком случае отличается от настоящего ничтожно мало. А это обстоятельство в свою очередь заставляет относиться с доверием и к числу 2,81518, при помощи которого может быть получено такое значение солнечного параллакса, а через него и ко всему тому, что установлено нами в главе седьмой.

Перейдем теперь к классификациям по долготам перигелия, по долготам восходящего узла и наклонностям к эклиптике. В главе седьмой мы видели, что как одно из следствий, к которым приводит изучение классификаций по большим и малым полуосям, является положение, что в группах Нептуна и Юпитера рост малой полуоси совершается быстрее, чем у большой полуоси, так что представители этих групп, начиная с десятого места в группе Нептуна и с двенадцатого места в группе Юпитера должны были бы двигаться по эллипсам, растянутым в направлении теоретической малой оси. В остальных группах мы констатировали, наоборот, больший рост большой полуоси и, следовательно, приобретение орбитами

все более и более вытянутой формы в этом же направлении. Эту особенность роста полуосей мы можем использовать для решения следующего вопроса. Так как, на основании сказанного, в группах Нептуна и Юпитера возможно, теоретически говоря, движение планет по круговым орбитам, то мы можем поставить себе задачу отыскать, как расположены в пространстве плоскости этих орбит.

Чтобы найти ответ на поставленный вопрос, приравняем прежде всего равенства (50) и (51) соответственно равенствам (54) и (55) и определим корни получающихся таким образом двух квадратных уравнений. Вычисление дает для них следующие значения:

$$\begin{array}{lll} \text{для группы Нептуна} & z_1 = -2,9857 & z_1 = 9,4083 \\ \text{для группы Юпитера} & z_2 = 1,9925 & z_3 = 11,6303 \end{array}$$

Подставляя эти значения z в формулу (65), находим при помощи коэффициентов, взятых из таблицы IX, что в группе Нептуна плоскости круговых орбит пересекают эклиптику в точках, долгота которых равна

$$\omega_1 = 322^\circ 6' \qquad \omega_1 = 131^\circ 49'$$

и наклонены к ней под углами

$$i_1 = 18^\circ 35' \qquad i_1 = 2^\circ 9'$$

Такие же углы в группе Юпитера суть

$$\begin{array}{ll} \omega_2 = 342^\circ 11' & \omega_3 = 76^\circ 4' \\ i_2 = 8^\circ 31' & i_3 = 3^\circ 24' \end{array}$$

Отсюда мы видим, что интересующие нас плоскости круговых орбит раскинуты в пространстве веерообразно и при том так, что все они пересекаются почти по одной и той же линии. В самом деле, вычисляя координаты точек пересечения с небесным сводом линий, по которым пересекаются эти плоскости круговых орбит, мы находим для них следующие значения:

линия пересечения плоскостей в группе Нептуна имеет выход в точку неба, южная широта которой равна $0^\circ 21'$ и долгота равная $321^\circ 4'$;

для линии пересечения плоскостей в группе Юпитера имеем южную широту равную $3^\circ 16'$ и долготу равную $329^\circ 48'$;

Таковы элементы, которыми определяется положение в пространстве линий пересечения рассматриваемых нами двух пар плоскостей, заключающих в себе круговые орбиты. Они показывают, что линии эти не совпадают, но однако они столь тесно примыкают друг к другу, что невольно возникает мысль, не должны ли они на самом деле совпадать. Получается впечатление, что линия, имеющая выход в точку неба с координатами: южная широта равна $1^\circ 48' 30''$ и долгота равна $325^\circ 26' 0''$ —или сама служит, или лежит весьма близко к той линии, из которой веером расходятся рассматриваемые здесь плоскости круговых орбит в группах Нептуна и Юпитера.

Будет не безинтересно сопоставить здесь только-что полученный результат с теми фактами из физики и геофизики, которые собственно и побудили меня заняться изучением строения планетной системы Солнца.

В свое время я обращал внимание ученых на ту особенность в годовом ходе вариации немагнитного тела, что в эпохи, близкие к равноденствиям и солнцестояниям вариация получает максимальную величину в противоположных направлениях. Позже я показал, что и наблюдения над девиацией такого же тела, которую оно получает в присутствии пламени, отмечают эти же самые эпохи. Более строгая обработка тех и других наблюдений с соблюдением требований теории вероятностей приводит к выводу, что в этом вопросе решающим моментом является прохожде-ние земли через два взаимно-перпендикулярных направления, из которых одно определяется долготой, равной в среднем

из наблюдений над девиацией	325°5'
„ „ „ вариацией за три года тоже	325°5'

Отсюда видно, что из физических и геофизических наблюдений получается почти в точности та же долгота, какую нам дают астрономические наблюдения, выясняющие нам теперь, что это за долгота и в какой связи находится она с распределением планетных орбит в пространстве, занимаемом солнечной системой. На этом основании приходится заключить, что лежащие в плоскости эклиптики направления на долготы в 55° и 325° интересны не только по своему геометрическому смыслу, но также и по физическому, так как они кладут резкий отпечаток на ход физических процессов, совершающихся на земле, примером чего могут служить указанные выше явления. Надо думать, что таких явлений на земле найдется не мало, если только начать их разыскивать. Одно из них мною найдено еще в 1915 г. и теперь я изучаю его в подробностях. С какими новыми фактами приходится здесь встречаться,—об этом я не раз уже говорил в своих докладах. Более подробное сообщение о них я надеюсь опубликовать в недалеком будущем.

Было бы ошибочно думать, что те числа, которыми характеризуется взаимное расположение двух пар плоскостей, заключающих в себе круговые орбиты, должны иметь в наших глазах решающее значение. Это было бы справедливо в том случае, когда коэффициенты, при помощи которых были получены углы, лежащие в основу наших вычислений, служили бы выражением непреложной истины. Но так как у нас не может быть уверенности в этом в виду тех соображений, которые были приведены в главе восьмой, то до тех пор, пока остается неизвестным истинное значение этих коэффициентов, можно всегда думать, что в действительности рассматриваемые плоскости пересекаются по одной линии. Косвенное доказательство правильности такой точки зрения я усматриваю между прочим в том обстоятельстве, что из всей массы изученных мною комбинаций коэффициентов та комбинация, при помощи которой было получено приведенное выше решение задачи, дает наилучшие результаты в смысле наиболее упорядоченного и более тесного взаимного расположения указанных плоскостей. Это указывает как будто бы на то, что существует такая комбинация коэффициентов, при которой означенные плоскости окажутся пересекающимися по одной и той же линии. Отсюда видна вся важность решения поставленной задачи иным путем. Такой путь существует и на него я уже вступил. К каким результатам приведет этот новый способ решения задачи,—покажет будущее. Теперь же, я думаю, астрономы могут всетаки с большой пользой для дела пользоваться теми значениями коэффициентов, которые даны мною в таблицах VIII и IX.

ГЛАВА X.

Законности, вложенные в строение планетной системы Солнца, поражают необычайной своей простотой. Но ум исследователя не может не останавливаться в изумлении и пред обилием тех весьма важных по своему смыслу и значению следствий, какие вытекают из этих законностей. Здесь на первую очередь становится вопрос, вполне ли правильно будет ставить во главу угла исследований возмущенного движения планет предположение, что пертурбация может происходить лишь между телами, находящимися друг с другом в близком соседстве. Теперь, когда мы знаем, что солнечная система состоит из четырех самостоятельных групп планет, невозможно исключать из рассмотрения судьбу самой группы во всем ее целом и это обстоятельство вносит в теорию возмущений совершенно новый принцип. Астрономы должны исследовать, не облегчается ли от того изучение возмущенного движения планет.

Но в не меньшей степени важно всесторонне изучить и вопрос о том, следы какого именно космогонического процесса мы имеем перед собой в групповом распределении планетных орбит и не сокрыта ли здесь для нас разгадка тех геологических судеб земного шара, о которых мы знаем по трудам геологов.

Уже эти вопросы так обширны по своему объему, что разработка их может быть по силам только большому числу ученых. Но мне хотелось бы обратить внимание астрономов в этой области на некоторые стороны дела. И это поясняет появление строк, которые находятся впереди.

Если мы обратимся к распределению планет по группам, то мы не можем не заметить того, что полный триплет представляет собою только группа Нептуна. Что же касается всех остальных групп, то там мы находим только по две планеты. Естественно является мысль, что и в этих группах находятся неведомые нам пока планеты, которые дополняют их до полных триплетов. И если даже совершенно игнорировать факты из астрономии, делающие вероятным существование таких триплетов, то мысль о них должна невольно возникать при рассмотрении классификации по какому угодно элементу планетных орбит. В самом деле, классификации по большим и малым полуосям, а также по долготам перигелия и долготам восходящего узла показывают, что два члена, получающиеся в ряду сумм третьего порядка, являются числами кратными от некоторого числа, при чем первый член оказывается повсюду в два раза больше его, а второй в три раза. Такая последовательность в величине этих членов приводит к мысли, что в действительности ряд начинается с этого именно числа, как, например, в классификации по большим полуосям с числа 9,36639. А это равносильно тому, что между Меркурием и Солнцем находится еще одна планета или, быть может, группа очень маленьких планет, образующих собою второе кольцо астероидов.

К подобной же мысли о существовании по крайней мере двух планет вблизи Нептуна способны приводить исследователя многие из классификаций по долготам перигелия, долготам восходящего узла и наклонностям к эклиптике. Так, например, рассматривая ряд сумм первого порядка в таблице V, нельзя не останавливать своего внимания на том, что, начиная с пятого члена, в ряду начинают повторяться почти те же числа, которые стояли в нем на первых четырех местах. При виде этого

является невольное желание дополнить ряд еще двумя как бы недостающими членами. В период начальной разработки вопроса я поддавался этому желанию и иногда это в немалой степени облегчало мою работу.

В виду этих обстоятельств сам собою напрашивается вопрос, не существуют ли и на самом деле планеты, места которых в солнечной системе *отмечаются пробелами, которые можно находить в тех или иных классификациях по элементам планетных орбит?* Мне кажется, есть много оснований не относиться к мысли о существовании этих трех небесных тел отрицательно. Известно также, что в летописи астрономии внесены даже сообщения о том, будто бы некоторым лицам посчастливилось видеть планеты, о которых у нас идет сейчас речь. Так, в свое время наделало немало шума в астрономическом мире сообщение Лескарбо, что он видел прохождение по диску солнца быстро двигавшегося темного тела. Как известно, это наблюдение дало повод знаменитому Леверрье заняться вычислением элементов орбиты тела, виденного Лескарбо, и он нашел, что большая полуось этой орбиты равна 0,1427, время обращения вокруг солнца несколько меньше 20 суток, долгота восходящего узла равняется 13° , а наклонность к эклиптике заключается между 12° и 13° .

Сопоставим эти цифры с теми, которые получаются из наших классификаций. Из них мы находим прежде всего, что это тело может принадлежать только к группе Урана. Что же касается размеров его орбиты и положения последней в пространстве, то все это определяется следующими цифрами:

большая полуось	0,07743
малая полуось	0,05816
время обращения вокруг солнца . . .	10,370 суток
долгота перигелия	$326^\circ,356$
долгота восходящего узла	$295^\circ,317$
наклонность к эклиптике	$-3^\circ,205$

Отсюда видно, что, элементы, определяемые из классификаций, получаются существенно отличающимися от данных Леверрье. В этом отношении заслуживает особенного внимания то, что среднее расстояние от солнца получается из классификации почти ровно в два раза меньше, чем у Леверрье. Так как мы видели, что получающиеся из классификаций по большим и малым полуосям коэффициенты заслуживают самого большого доверия, то в виду этого представляется очень важным установить, мог ли видеть Лескарбо это тело проходящим по диску солнца в виде черного пятна.

Легко убедиться вычислением, что, если между Солнцем и Меркурием на самом деле существует еще одна планета, то вследствие своей очень большой близости к солнцу она никоим образом не может существовать, как темное тело. В самом деле, на основании новейших определений мы должны считать так называемую солнечную постоянную равной 2,1 калориям. Следовательно, количество тепла, посылаемое солнцем в одну минуту времени на площадку в один квадратный сантиметр, помещенный на расстоянии, равном большой полуоси предполагаемой орбиты, должно быть равно 350,8 калориям. Если предположить, что раскаленная поверхность планеты испускает тепло в пространство столь же интенсивно, как и черное тело, и температура этого пространства

равна абсолютному нулю, то даже и в этом, мало вероятном, случае тепловое равновесие на поверхности планеты могло бы установиться лишь тогда, когда температура ее была бы равна круглым числом 1185° . Заметить простым глазом или глазом, вооруженным небольшой трубой без всяких специальных приспособлений, прохождение по солнечному диску столь сильно раскаленной планеты, конечно, трудно. Для этого требуются особые приемы и технические приспособления. К числу последних, бесспорно, принадлежит спектроскоп, который и может в этом деле оказать прекрасную услугу.

Таким образом трудно допустить, что Лескарбо видел интрамеркуриальную планету. Но отсюда однако же не следует, что такая планета не существует. Не следует это и из того, что все поиски астрономов в этой части неба оказываются до сих пор безрезультатными. Весьма возможно, что тщательное изучение солнечного спектра рано или поздно докажет нам, что так долго разыскиваемое небесное тело на самом деле существует.

В несколько ином положении находится дело розыска двух других планет, существование которых мы можем подозревать на основании наших классификаций. Этими классификациями устанавливаются для их орбит следующие элементы:

1. планета, ближайшая к Нептуну

большая полуось орбиты	30,70873
малая полуось	30,65253
долгота перигелия	$26^{\circ},305$
долгота восходящего узла	$99^{\circ},172$
наклонность к эклиптике	$5^{\circ},210$

2. планета, более удаленная от Нептуна

большая полуось орбиты	30,89914
малая полуось	30,89602
долгота перигелия	$153^{\circ},238$
долгота восходящего узла	$141^{\circ},964$
наклонность к эклиптике	$-1^{\circ},148$

Эти элементы показывают, что, находясь в большой близости к Нептуну, эти планеты легко могли бы быть приняты за спутников его. Но могло бы случиться также и то, что замеченные вблизи Нептуна планеты в случае перерыва в наблюдениях могли бы незаметно разойтись настолько, что наблюдатель, усвоивший точку зрения на них, как на спутников Нептуна, мог бы совершенно потерять их из вида. Не в этом ли и кроется настоящая причина того, что наблюдения Ласселя и Шеберле, свидетельству которых едва ли есть основание не доверять, до сих пор остаются совершенно одиночными? Теперь, когда элементы орбит предполагаемых светил, приведенные выше, могут быть рассматриваемы, как весьма вероятные, представляло бы огромный интерес сделать попытку розыска этих планет, положив для этого в основу, с одной стороны, величину выписанных выше элементов, с другой стороны наблю-

дения упомянутых астрономов, свидетельствующие нам о том, что 14 августа 1850 года и 24 октября 1892 года вблизи Нептуна находились небольшие светила, которые можно было принять за спутников этой планеты. Открытие таким путем новых планет явилось бы доказательством величайшей мощи тех закономерностей, выяснению которых были посвящены предшествующие страницы настоящего исследования. Но это открытие было бы чрезвычайно важно и в том отношении, что оно позволило бы сделать все необходимые исправления в той форме выражения этих закономерностей, за которую мы должны, очевидно, считать коэффициенты, которыми так полны все вышеприведенные наши таблицы.

Остановлюсь в заключение еще на одном вопросе. В вступительных строках к настоящему исследованию мною было указано, что побудительным мотивом к началу этой работы явилось мое стремление узнать, нельзя ли обнаружить в пространстве, занимаемом солнечной системой, таких направлений, которые можно было бы принять за оси как бы некоторой неоднородности среды, и таким образом ближе подойти к объяснению некоторых фактов, найденных мною в продолжение многих лет отчасти путем наблюдений, отчасти путем опытов. Все то, что было рассмотрено в главе девятой, на мой взгляд с бесспорностью свидетельствует нам о том, что в планетном пространстве солнечной системы действительно имеются налицо три каких то особых направления. И это—весьма важный факт. Пусть эти направления пока нам точно неизвестны. Я надеюсь впрочем, что в недалеком будущем мне удастся дать для них вполне точные координаты. Но несмотря на это нам чрезвычайно важно знать, что изучение строения планетной системы Солнца отчетливо констатирует самый факт существования таких направлений. Ведь перед нами встает теперь во всем своем величии одна из интереснейших загадок космогонии, что означают собою эти направления, почему они получили в пространстве, занимаемом солнечной системой такое расположение, что имеют выход в сторону полюса эклиптики, точки весеннего равноденствия и перигелия земной орбиты и какая роль принадлежит им в деле распределения в пространстве планетных орбит.

Но и для геофизика далеко не безразлично знать, что во время своего обращения вокруг солнца земля проходит по местам особых направлений в пространстве, занимаемом солнечной системой. Обширный ряд вопросов возникает в связи с таким фактом и геофизики должны их тщательно изучить. Как знать, быть может, эта причина кладет заметный отпечаток на ход многих физических процессов, совершающихся на земле, и для нас здесь то именно и открыт путь для объяснения тех загадочных явлений, отрывочные сведения о которых мы можем найти на страницах научных журналов, посвященных физике и геофизике. Все это возможно допустить, но отсюда еще далеко до истины. Истина же нам будет ясна лишь тогда, когда геофизики уверятся в том, что рекомендуемый мною путь исследования действительно обещает привести их к ценным и интересным в научном отношении результатам и примут меры к тому, чтобы вопрос был изучен всесторонне и получил в их трудах ясное и вполне отчетливое освещение.

Профессор Н. Мышкин.

Минск. 24 апреля
1925 года.

ZUSAMMENFASSUNG.

Vorstehende Forschung, die unter dem Titel „Gesetzmässigkeiten im Bau des Planetensystems der Sonne“ gedruckt wird, bildet eine Veröffentlichung der Handschrift des Verfassers, die er schon am 14 August 1918 zur Aufbewahrung in das Astronomische Observatorium an der Universität zu Charkov übergeben hatte, die aber infolge politischer Ereignisse, die sich in der Ukraina zutragen, fast verloren gegangen wäre. Die Handschrift jedoch ist neulich gefunden und in das Observatorium in unversehrtem Zustande wiedererstattet worden.

Indem der Verfasser seine Arbeit für den Druck vorbereitete, hielt er es für nützlich, dieselbe durch eine ausführliche Erörterung der mathematischen Begründungen derjenigen Methode zu vervollständigen, die ihm die beim Bau des ganzen Sonnensystems zu Grunde gelegten Gesetzmässigkeiten zu erklären geholfen hat. Zu diesem Zwecke hat der Verfasser vor allem die Frage über die Bestimmung unbekannter Perioden, auf Grund von Beobachtungen, ausführlich betrachtet und eine neue Lösung dieser Aufgabe, die von der Lösung Oppenheim's absticht, gegeben. Ihre Anwendung auf die Frage über die Perioden in der fleckenbildenden Tätigkeit der Sonne, auf Grund von Schwabe's Beobachtungen während der Zeitperiode von 1826 bis 1868, führt uns zu folgendem Ergebnisse: als Hauptperiode erscheint die Periode von 11,616 Jahren, als Ergänzungsperioden aber—die Perioden zu 6,083 ; 3,362 ; 2,381 Jahren. Auf Grund dieses kann man annehmen, dass es in der fleckenbildenden Tätigkeit der Sonne keine Perioden gibt, die grösser als 11,616 Jahre wären, wie viele Astronomen auf Grund der Erforschungen Wolf's anzunehmen pflegen. Da alle vier, nach den Beobachtungen Schwabe's berechneten Perioden sich zu einander in Verhältnissen, die den Vielfachen nahe sind, befinden, so weist das wohl darauf hin, dass man die Fleckenzahl auf der Sonne durch die einfache Periodenreihe von Fourier ausdrücken muss.

In zweiter Reihe hat der Verfasser die Frage über die komplizierte periodische Veränderlichkeit, die Ordinatenbedeutungen beim Uebergang über die Zweige einiger Kurvenfamilien ergeben,—betrachtet. Als solche werden folgende Fälle vermerkt:

- | | |
|----------------------------|--------------------------|
| 1. Parabelfamilien der Art | $y = A + Bx + Cx^2$ |
| 2. Kurvenfamilien der Art | $y = Ae^{ax} + Be^{-ax}$ |
| 3. Familien gerader Linien | $y = A + Bx$ |

Die Analyse dieser Fälle führt uns zu folgenden Schlüssen:

1. wenn die Kurvenfamilie aus vier Parabeln besteht, so ergibt die Gesamtbedeutung der Ordinaten in der Reihe gewisser Summen, die der Verfasser als Summen dritter Ordnung bezeichnet, solche Zahlen, die der Gleichung der Geraden Genüge leisten;

2. wenn die Familie vier Kurven der Art $y = Ae^{ax} + Be^{-ax}$ bildet, so erhalten die Summen jeder beliebigen Ordnung diejenige merkwürdige

Eigenschaft, dass das Verhältnis $\frac{S_{k+4}^m}{S_k^m}$ einundderselben Konstante gleich

beibt;

3. wenn, schliesslich, die Familie aus vier Geraden besteht, so ergeben die Glieder der Summenreihe zweiter Ordnung, paarweise genommen, immer als Summe einunddieselbe Zahl.

Es erweist sich, dass der erste dieser Lehrsätze auch eine direkte Anwendung auf den Fall hat, wenn eine Analyse der Dislokation der Planetenbahnen im Raume ausgeführt wird. Um sich davon zu überzeugen, wollen wir die Orbitenelemente, nach der tatsächlichen Dislokation der Planeten im Sonnensystem, in Reihe ordnen, nach ihnen zuerst die Unterschiede erster Ordnung finden, dann aber diese Unterschiede, die Zwischenzahl übergehend, paarweise einer Summierung unterziehen.

Den gefundenen Summen nach wollen wir auf dieselbe Weise auch noch die Summen zweiter und dritter Ordnung finden. Dann erhalten wir folgende Zahlen (sich Tabelle I auf der Seite 114).

Die Grundreihen dieser Tabelle enthalten die in der Astronomie angenommenen Zahlen. Aus welchen Erwägungen für die im Sonnensystem vom Asteroidenring eingenommene Stelle die in der Tabelle I sich befindlichen Bedeutungen der Elemente gebraucht worden sind,—darüber wird weiter unten gesagt werden.

Wenn wir uns an die Zahlen, die in der Summenreihe der dritten Ordnung stehen, wenden, so können wir sehen, dass es alles Vielfache sind und nur in der Klassifikation der Neigungen einwenig von dieser Gesetzmässigkeit abweichen. So, zum Beispiel, in der Klassifikation:

- | | |
|---|-----------|
| 1. nach den grossen Halbachsen erweisen sie sich als Vielfache von der Zahl | 9,36639 |
| 2. nach den kleinen Halbachsen | 9,36189 |
| 3. nach den Längen des Periheliums | —9°,88216 |
| 4. nach den Längen des Ascensionalpunktes | 61°,82350 |

Die zweite Gesetzmässigkeit, die diese Zahlen äussern, besteht darin, dass das Verhältnis der zweiten von ihnen zur ersten sich überall als einunddieselbe Zahl erweist und dem Verhältnisse 3 : 2 gleicht. Es bedeutet, dass die gleichen Elemente aller Planetenbahnen, mit Ausnahme der Neigungen, durch folgende wechselseitige Beziehung miteinander verbunden sind:

$$\frac{(\psi_0 - \psi_8) + 3(\psi_7 - \psi_6) + 3(\psi_5 - \psi_4) + (\psi_3 - \psi_2)}{(\psi_8 - \psi_7) + 3(\psi_6 - \psi_5) + 3(\psi_4 - \psi_3) + (\psi_2 - \psi_1)} = \frac{3}{2}$$

Der oben angeführte Lehrsatz verdeutlicht uns, dass wir auf die Grundreihe der Klassifikation jedem beliebigen Elemente nach, als auf die Verbindung von vier selbstständigen Zahlengruppen sehen müssen, von denen man auf die erste Gruppe die an der ersten, fünften und neunten Stelle stehenden Zahlen beziehen muss; auf die zweite—die an der zweiten und sechsten Stelle stehenden; auf die dritte—die an der dritten und siebenten Stelle stehenden und, zuletzt, auf die vierte—die an der vierten und achten Stelle stehenden. Wenn sich aber das so verhält, so sind auch folglich die Planeten selbst im Sonnensystem einem ebensolchen Gruppierungsgesetz unterworfen. Daher verpflichten wir uns den Merkur und den Neptun samt dem Asteroidenringe als Planeten der ersten Gruppe, die Venus und den Jupiter als Glieder der zweiten Gruppe anzusehen. Die Erde und der Saturn müssen zur dritten Gruppe hinzugezählt werden, der Mars und der Uranus aber, als die Vertreter der vierten Gruppe angesehen werden. Was

TABELLE II.

Elemente	A ₀	B ₀	C ₀	A ₁	B ₁	C ₁	A ₂	B ₂	C ₂
Grosse Halbachse	3,2588263	0,4066449	-3,1813951	-2,9269972	-1,1284257	1,2575330	0,5853994	0,1916735	-0,0776428
Kleine Halbachse	3,2523121	0,4061926	-3,1941525	-2,9255906	-1,1314250	1,2626095	0,5851181	0,1922028	-0,0781935
Länge des Periheliums	169,6663387	222,8135451	-203,3103,76	3,0881566	140,6996202	155,1939142	-0,6176331	-14,1257672	-15,9614903
Länge des Ascensionalpunktes	62,6525586	-34,1313128	-127,3352577	-19,3198521	38,8523925	58,7845755	3,8639694	-4,7730153	-6,6383128
Neigungen zur Ekliptik	1,7378697	7,6321939	-4,9429667	0,0063902	-2,5333755	2,0241133	-0,0023007	0,1893630	-0,1893630

aber die anderen Geschwister dieser Planeten in den entsprechenden Gruppen anberührt, so sind sie uns vorläufig unbekannt, aber die Lage ihrer Bahnen und die Dimensionen der letzteren sind aufs Strengste durch die oben angeführte Tabelle bestimmt. So, zum Beispiel, können wir in der Uranusgruppe die Existenz eines Planeten oder eines Asteroidenringes vermuten, der sich zwischen Merkur und Sonne befindet und dessen grosse Orbitenhalfachse im Ganzen nur 0,07743 gleich, in den Gruppen Jupiters und Saturns aber—je einen Planeten, deren grosse Orbitenhalfachse sich sehr wenig von der Grösse der grossen Halfachse Neptuns unterscheidet. Daher dient uns die oben angeführte Tabelle nicht nur als Hinweiser darauf, in welcher Beziehung sich die Elemente einzelner Planetenbahnen zu einander befinden, sondern auch darauf, wie überhaupt das ganze Sonnensystem gebaut ist. Es ist sehr bemerkenswert, dass der ganze Aufbau des Sonnensystems, der uns auf den ersten Anblick sehr kompliziert erscheinen kann, überhaupt nur in eine Formel untergebracht werden kann, die wir folgendermassen niederschreiben können:

$$\psi = A_0 + B_0 \sin\left(\frac{\pi}{2} z\right) + C_0 \cos\left(\frac{\pi}{2} z\right) + \left\{ A_1 + B_1 \sin\left(\frac{\pi}{2} z\right) + C_1 \cos\left(\frac{\pi}{2} z\right) \right\} z + \left\{ A_2 + B_2 \sin\left(\frac{\pi}{2} z\right) + C_2 \cos\left(\frac{\pi}{2} z\right) \right\} z^2$$

Wenn wir in diese Formel für die Buchstaben A₀, B₀, C₀; A₁, B₁, C₁; A₂, B₂, C₂ Zahlen setzen wollen, indem wir sie folgender kleinen Tabelle II entnehmen, dem Buchstaben z aber folgerichtig die Bedeutung der Zahlen 1, 2, 3, 4, 5, 6, 7, 8 und 9 geben und darnach die Zahlenbedeutung des rechten Teils dieser Formel berechnen, so erhalten wir die Elemente aller Planetenbahnen mit einer Genauigkeit bis zum fünften Dezimalzeichen inclusiv. Hieraus folgt, dass es die Folgerichtigkeit einer Reihe von Naturalzahlen ist, die als ein gewisser Eckstein beim Bau des Planetensystems der Sonne als

Grundlage gelegt worden ist, als Grundlage der Dimensionenberechnung und des Dislokationsmittels im Raume einzelner Planetenbahnen aber—die in der Tabelle II gegebenen Zahlen. Da diese Zahlen das Sonnensystem in demselben Masse charakterisieren, wie die Gauss'sche Konstante, so entsteht die Frage, inwiefern sie richtig sind. Augenscheinlich wäre diese Frage nicht am Platze, wenn im Sonnensystem kein Asteroïdenring wäre, oder wenn uns noch ein Planet bekannt wäre, wie, zum Beispiel, ein intramerkurialer oder transneptunischer. Da wir aber in der Tat nichts dergleichen haben, so kann in uns der Verdacht auftreten, dass die Tabelle keine vollständig richtige Bedeutung der Zahlencharakteristik des Planetensystembaues unserer Sonne gibt.

Die Lösung der Frage über die volle oder nicht ganz volle Glaubwürdigkeit der in der Tabelle II sich befindlichen Zahlen hängt wesentlich vollständig davon ab, ob wir den Umstand rechtfertigen können oder nicht, dass in der Tabelle I an der fünften Stelle ihrer Grundreihen gerade diejenigen Zahlen stehen müssen, die sich darin befinden, aber keine andern. Wollen wir die Beantwortung dieser Frage der Reihenfolge nach suchen und in erster Reihe betrachten, ob wir irgend welchen Grund haben die Zahl 2,81518 in die Tabelle zu setzen.

Die Tabelle I zeigt uns, dass die Einschaltung der Zahl 2,81518 in die Grundreihe der Klassifikation nach den grossen Halbachsen die Summen der dritten Ordnung in Zahlen, die das Vielfache von der Zahl 9,36639 bilden, verwandeln. Diese Zahl aber steht der Bedeutung der durch π getheilten Gauss'schen Konstante, die in Kilometern ausgedrückt und auf eine Sekunde Zeit bezogen ist, so nahe, dass man ernst darüber nachdenken kann, welche von diesen Zahlen richtiger sei. Ueber ihren Angrenzungsgrad können wir aus Nachfolgendem urteilen. Wenn wir zulassen, dass die Zahl 9,36639 in der Tat der durch π getheilten Gauss'schen Konstante gleich wäre, so erhalten wir, wenn wir, uns darauf gründend, die Grösse der Sonnenparallaxe berechnen, dass letztere $8',907$ gleicht. Die Astronomen aber nehmen an, dass die Parallaxe gleich $8',80$ sei, wobei man im Auge haben muss, dass die von den Astronomen jetzt bedingungsweise angenommene Grösse der Parallaxe kleiner ist, als die in den Jahren 1874 und 1882 aus Beobachtungen über den Durchgang der Venus längs der Sonnenscheibe gefundene. Wie bekannt, ergab damals eine grosse Anzahl von Beobachtungen für die Sonnenparallaxe die Grösse von $8',82$ bis $8',86$, die Beobachtungen der deutschen Expedition aber—sogar die Zahl $8',88$. Auf Grund dieses können wir annehmen, dass, wenn auch die Zahl 2,81518 nicht vollständig richtig ist, sie doch jedenfalls von der wirklichen sehr wenig abweicht. Daher müssen wir auch die in der Tabelle II für die grossen Halbachsen gegebenen Zahlen als die wahrscheinlichsten ansehen.

Nach denselben Erwägungen müssen wir augenscheinlich auch ebenso die sich auf die kleinen Halbachsen beziehenden Zahlen ansehen.

Schwieriger wird die Frage in Bezug auf die übrigen Elemente der Planetenbahnen gelöst. Wir haben jedoch ein Merkzeichen, wonach wir urteilen können, dass die Zahlencharakteristiken des Sonnensystems, was die Periheliumslängen, die Längen des Ascensionalpunktes und der Neigungen anbetrifft, aller Wahrscheinlichkeit nach den wirklichen sehr nahe stehen. Dieses Merkzeichen besteht darin, dass die Ebenen der in den Gruppen Neptuns und Jupiters theoretisch möglichen Kreisbahnen sich als fast auf einer und derselben Linie durchkreuzend erweisen, wenn wir die Elemente dieser Bahnen nach der oben angeführten Formel, mit Hilfe der aus der Tabelle II genommenen Koeffizienten, berechnen wollen. Man kann denken, dass die Linie, die ihren Ausgang ungefähr an dem Himmelspunkte hat,

desen südliche Breite $1^{\circ}48'23''$ und Länge $325^{\circ}25'52''$ gleich, die wirkliche Durchkreuzungslinie gennanter Ebenen vorstellt. Diese Frage bildet jetzt beim Verfasser den Gegenstand eines anderen Forschungsweges. Falls es sich erweisen sollte, dass eine solche Linie in dem vom Sonnensystem eingenommenen Raume wirklich existiert, so wird man dann die Zahlen der Tabelle II in Hinsicht der Gesamtelemente der Planetenbahnen, die augenblicklich betrachtet werden, verbessern können.

Zum Schlusse lenkt der Verfasser die Aufmerksamkeit der Gelehrten auf folgende interessante Tatsache. An das Studium der Gesetzmässigkeiten im Bau des Planetensystems der Sonne hat sich der Verfasser gemacht, nachdem die von ihm über die jährliche Variation eines unmagnetischen Körpers angestellten Beobachtungen, sowie auch die Beobachtungen über die ponderomotorische Tätigkeit einer Flamme auf das Anhängesystem gezeigt hatten, dass sich auf diese Erscheinungen der Durchgang der Erde in der Nähe der Linien der Tag- und Nachtgleiche und der Absiden stark äussert. Aus der Berechnung erwies es sich, dass die Sache sich so abspielt, als ob sich in der Ekliptikebene eine gewisse Ellipse befände, deren grosse Achse auf den Punkt der Ekliptik gerichtet ist, deren Länge durchschnittlich $325'5'$ gleich, der beobachtete physische Effekt aber war dem Radius-Vektor dieser Ellipse proportional. Jetzt lenkt der Verfasser die Aufmerksamkeit der Forscher darauf hin, dass sich auch aus den Gesetzmässigkeiten im Planetensystembau der Sonne durchschnittlich eine fast ganz gleiche Zahl für die Länge des Punktes ergibt, wohin sich die Durchkreuzungslinie der in den Gruppen Jupiters und Neptuns theoretisch möglichen Kreisbahnen gerichtet erweist ($325'26'$). Es ist schwer zuzulassen, dass diese Uebereinstimmung der Zahlen eine zufällige wäre, weshalb der Verfasser meint, dass sich hier ein weites Forschungsgebiet sowohl für die Astronomen, als auch für die Geophysiker eröffne.

Prof. N. Myschkin.

Вычисление интегралов от произведения двух функций

§ 1. Пусть требуется найти приближенное значение интеграла

$$J = \int_{\alpha}^{\beta} yz dx$$

где $y = f_1(x)$ и $z = F_1(x)$

Полагаем, что эти функции способны разлагаться в строку Маклорена при изменении аргумента в пределах интеграции.

Очевидно, данный интеграл выражает объем тела, ограниченного двумя цилиндрическими поверхностями $y = f_1(x)$ и $z = F_1(x)$, двумя параллельными плоскостями $x = \alpha$ и $x = \beta$ и двумя координатными плоскостями xy и xz .

Обозначим приближенное значение объема этого тела или, все равно, приближенное значение данного интеграла буквой V .

Перенесем начало координат в середину отрезка интеграции, т.е., заменим x через

$$x + \frac{\alpha + \beta}{2}$$

Тогда данный интеграл переходит в

$$J = \int_{-a}^a yz dx, \quad (1)$$

где $a = \frac{\beta - \alpha}{2}$,

а новые функции (обозначим их прежними буквами) $y = f(x)$, $z = F(x)$

Приближенное выражение этого интеграла J можно представить в разных видах.

I.

§ 2. Положим, нам не даны отдельные значения функций y и z , а даны интегралы от этих функций, умноженных на различные степени аргумента. Для этого случая академик Чебышев, пользуясь теорией непрерывных дробей вывел формулу, содержащую функцию Лежандра, но можно получить формулу без функций Лежандра и минуя теорию непрерывных дробей.

Введем обозначения

$$A_k = \frac{1}{2a^{k+1}} \int_{-a}^a x^k y dx; \quad B_k = \frac{1}{2a^{k+1}} \int_{-a}^a x^k z dx; \quad (2)$$

Пусть сначала y и z — четные функции, т.е.

$$y = \sum_{k=0}^{\infty} \frac{x^{2k}}{(2k)!} y_0^{(2k)}; \quad z = \sum_{k=0}^{\infty} \frac{x^{2k}}{(2k)!} z_0^{(2k)}$$

Условимся в дальнейшем вместо y_0 и z_0 писать просто y и z .

Очевидно,

$$J = 2a \sum_{i=0}^{\infty} \frac{a^{2i}}{2i+1} \sum_{k=0}^i \frac{y^{(2k)} z^{(2i-2k)}}{(2i)! (2i-2k)!} \quad (3)$$

С другой стороны, представив приближенное значение интеграла формулой

$$V = 2a \sum_{p=0}^m \sum_{q=0}^m a_{2p, 2q} A_{2p} B_{2q} \quad *) \quad (4)$$

и выразив интегралы (2) A_{2p} и B_{2q} в виде бесконечных рядов

$$A_{2p} = \sum_{k=0}^{\infty} \frac{a^{2k} y^{(2k)}}{(2k)! (2p+2k+1)}; \quad B_{2q} = \sum_{k=0}^{\infty} \frac{a^{2k} z^{(2k)}}{(2k)! (2q+2k+1)}$$

Найдем разложение V

$$V = 2a \sum_{p=0}^m \sum_{q=0}^m a_{2p, 2q} \sum_{i=0}^{\infty} a^{2i} \sum_{k=0}^i \frac{y^{(2k)} z^{(2i-2k)}}{(2k)! (2p+2k+1) (2i-2k)! (2q+2i-2k+1)} \quad (5)$$

Для того, чтобы найти значения коэффициентов $a_{2p, 2q}$, при которых выражение V (4) возможно точно представляет величину интеграла J для любых функций y и z , сравним коэффициенты при $a^{2i} y^{(2k)} z^{(2i-2k)}$ в формулах (3) и (5)

*) Можно доказать, что пределы изменения указателей p и q должны быть одинаковыми (от 0 до m). Доказательство этого положения опускаем в виду того, что оно явствует и из этого, что функции y и z входят в интеграл (1) симметрично и приближенная формула (4) должна годиться для произвольных функций y и z .

$$\sum_{p=0}^m \sum_{q=0}^m a_{2p, 2q} \frac{1}{(2p+2k+1)(2q+2i-2k+1)} = \frac{1}{2i+1} \quad (6)$$

(k=0,1,...,i; i=0,1,2,...)

Введем обозначение

$$\sum_{p=0}^m a_{2p, 2q} \frac{1}{2p+2k+1} = X_{2q, 2k} \quad (7)$$

Тогда условия (6) переписутся в виде

$$\sum_{q=0}^m X_{2q, 2k} \frac{1}{2q+2i-2k+1} = \frac{1}{2i+1} \quad (8)$$

Для всякого числа q надо найти m+1 коэффициентов a_{2p, 2q} (p=0,1,...,m); эти коэффициенты найдутся из уравнений (7), в которых числу k надо дать m+1 последовательных значений 0,1,...,m. С другой стороны для всякого числа k уравнения (8) должны доставить m+1 чисел X_{2q, 2k} (q=0,1,...,m); достаточное число уравнений получим, если в равенствах (8) дадим i m+1 последовательных значений k, k+1, k+2, ..., k+m (не надо забывать, что k ≤ i). Уравнения эти будут таковы:

$$\frac{X_{0, 2k}}{1} + \frac{X_{2, 2k}}{3} + \frac{X_{4, 2k}}{5} + \dots + \frac{X_{2m, 2k}}{2m+1} = \frac{1}{2k+1}$$

$$\frac{X_{0, 2k}}{3} + \frac{X_{2, 2k}}{5} + \frac{X_{4, 2k}}{7} + \dots + \frac{X_{2m, 2k}}{2m+3} = \frac{1}{2k+3}$$

$$\frac{X_{0, 2k}}{5} + \frac{X_{2, 2k}}{7} + \frac{X_{4, 2k}}{9} + \dots + \frac{X_{2m, 2k}}{2m+5} = \frac{1}{2k+5}$$

$$\dots$$

$$\frac{X_{0, 2k}}{2m+1} + \frac{X_{2, 2k}}{2m+3} + \frac{X_{4, 2k}}{2m+5} + \dots + \frac{X_{2m, 2k}}{4m+1} = \frac{1}{2k+2m+1}$$

Решения этой системы очевидны: числа X_{2q, 2k} в случае равных указателей равны 1, а в случае разных указателей равны 0.

$$X_{2k, 2k} = 1 \quad X_{2q, 2k} = 0 \quad (\text{при } q \neq k) \quad (9)$$

(Здесь число k может иметь значения 0,1,...,m).

Переходим к определению коэффициентов a_{2p, 2q}. Сделаем в фор-

Наконец

$$\left. \begin{aligned}
 \frac{a_{0,2m}}{1} + \frac{a_{2,2m}}{3} + \frac{a_{4,2m}}{5} + \dots + \frac{a_{2m,2m}}{2m+1} &= 0 \\
 \frac{a_{0,2m}}{3} + \frac{a_{2,2m}}{5} + \frac{a_{4,2m}}{7} + \dots + \frac{a_{2m,2m}}{2m+3} &= 0 \\
 \frac{a_{0,2m}}{5} + \frac{a_{2,2m}}{7} + \frac{a_{4,2m}}{9} + \dots + \frac{a_{2m,2m}}{2m+5} &= 0 \\
 \dots &\dots \\
 \frac{a_{0,2m}}{2m+1} + \frac{a_{2,2m}}{2m+3} + \frac{a_{4,2m}}{2m+5} + \dots + \frac{a_{2m,2m}}{4m+1} &= 1
 \end{aligned} \right\} (10m)$$

Все эти системы дадут для коэффициентов $a_{2p, 2q}$ вполне определенные величины, так как соответствующие детерминанты каждой системы отличны от нуля.

Нетрудно решить каждую систему в общем случае.

Начнем с системы (10)

Построим числовую функцию

$$\Phi_0(2k) = \frac{a_{00}}{2k+1} + \frac{a_{20}}{2k+3} + \frac{a_{40}}{2k+5} + \dots + \frac{a_{2m0}}{2k+2m+1} \quad (11)$$

В силу уравнений (10) эта функция обладает такими свойствами:

$$\Phi_0(0) = 1; \quad \Phi_0(2) = 0; \quad \Phi_0(4) = 0 \dots \Phi_0(2m) = 0$$

Таким образом функция $\Phi_0(2k)$ имеет $m-1$ корней: $2, 4, \dots, 2m$. Поэтому, если приведем правую часть (11) к одному знаменателю, то числитель обращается в нуль при $2k = 2, 4, \dots, 2m$.

Следовательно

$$\begin{aligned}
 \frac{a_{00}}{2k+1} + \frac{a_{20}}{2k+3} + \frac{a_{40}}{2k+5} + \dots + \frac{a_{2m0}}{2k+2m+1} &= \\
 = C_0 \frac{(2k-2)(2k-4) \dots (2k-2m)}{(2k+1)(2k+3) \dots (2k+2m+1)} &
 \end{aligned}$$

Введем обозначения

$$\left. \begin{aligned}
 2k(2k-2)(2k-4) \dots (2k-2m) &= f(2k) \\
 (2k+1)(2k+3) \dots (2k+2m+1) &= F(2k)
 \end{aligned} \right\} (12)$$

Тогда

$$\Phi_0(2k) = C_0 \frac{f(2k)}{2k \cdot F(2k)} \quad (13)$$

Свойство $\Phi_0(0) = 1$ позволяет определить постоянное C_0

$$C_0 = \frac{F(0)}{f(0)} = (-1)^m \frac{1 \cdot 3 \cdot 5 \dots (2m+1)}{2^m \cdot m!}$$

Заметим, что как в этой формуле, так и в следующих, производная берется по $2k$.

Из соотношения (11) получаем величины коэффициентов $a_{2p,0}$

$$a_{2p,0} = \left[(2k + 2p + 1) \Phi_0(2k) \right]_{2k = -(2p+1)}$$

($p = 0, 1 \dots m$)

На основании (13)

$$\begin{aligned} a_{2p,0} &= -C_0 \frac{f(-2p-1)}{(2p+1)F'(-2p-1)} = \\ &= (-1)^{m-p} C_0 \frac{(2p+3)(2p+5) \dots (2p+2m+1)}{2^m p! (m-p)!} \end{aligned}$$

Чтобы решить систему (10₁), составляем функцию

$$\Phi_2(2k) = \frac{a_{02}}{2k+1} + \frac{a_{22}}{2k+3} + \frac{a_{42}}{2k+5} + \dots + \frac{a_{2m,2}}{2k+2m+1}$$

Для этой функции

$$\Phi_2(0) = 0; \quad \Phi_2(2) = 1; \quad \Phi_2(4) = 0; \dots \Phi_2(2m) = 0.$$

Поэтому

$$\frac{a_{02}}{2k+1} + \frac{a_{22}}{2k+3} + \frac{a_{42}}{2k+5} + \dots + \frac{a_{2m,2}}{2k+2m+1} = C_2 \frac{f(2k)}{(2k-2)F(2k)}$$

Условие $\Phi_2(2) = 1$ дает

$$C_2 = \frac{F(2)}{f'(2)}$$

А для коэффициента $a_{2p,2}$ получаем формулу

$$a_{2p,2} = -C_2 \frac{f(-2p-1)}{(2p+3)F'(-2p-1)}$$

Продолжая решение системы (10_q) получим общую формулу для определения коэффициентов $a_{2p,2q}$

$$\left. \begin{aligned} a_{2p,2q} &= -C_{2q} \frac{f(-2p-1)}{(2p+2q+1)F'(-2p-1)} \\ C_{2q} &= \frac{F(2q)}{f'(2q)} \end{aligned} \right\} (14)$$

Введем такие обозначения: произведение последовательных целых чисел от n до $n+k$ будем обозначать символом: $n \parallel n+k$ и произведение целых чисел, из которых каждое больше (или меньше) предыдущего на 2 будем обозначать символом:

$$n(n \pm 2)(n \pm 4) \dots (n \pm 2k) = n \parallel n \pm 2k$$

При этом, обозначении

$$\begin{aligned} a_{2p,2q} &= (-1)^{m-p} C_{2q} \frac{2p+1 \parallel 2p+2m+1}{(2p+2q+1)2^m p! (m-p)!} \\ C_{2q} &= (-1)^{m-q} \frac{2q+1 \parallel 2q+2m+1}{2^m q! (m-q)!} \end{aligned}$$

так, что окончательно

$$a_{2p, 2q} = (-1)^{p+q} \frac{2^{2p+1} \cdot 2^{2q+1}}{2^{2m} (2p+2q+1)p!q!(m-p)!(m-q)!} \quad (15)$$

Видим, что

$$a_{2p, 2q} = a_{2q, 2p}$$

что и надо было ожидать вследствие того, что y и z входят в выражение интеграла $J(1)$ симметрично.

Таким образом интеграл $J(1)$ при четных функциях y и z можно приближенно выразить через интегралы от отдельных функций y и z , умноженных на различные степени аргумента посредством формулы (4), в которой A_{2p} и B_{2q} представляют эти отдельные интегралы (2), а коэффициенты $a_{2p, 2q}$ даются формулой (15).

Посмотрим теперь какая точность достигается применением выведенной формулы.

Оговоримся, что о точности будем здесь говорить в том же смысле, в каком говорили в статье „Приближенное вычисление определенных интегралов“*) т. е., будем смотреть, сколько членов разложения (5) совпадает с соответствующими членами разложения (3).

Если обратить внимание на решения (9) уравнений (8) для различных значений чисел k и i , а также на последующие рассуждения, то увидим, что равенство (8) справедливо при всех значениях числа i в случае, если $k = 0, 1, 2, \dots, m$. Это показывает, что в разложении (5) и (3) совпадают все члены, содержащие $y, y'', y^{IV}, \dots, y^{(2m)}$; вследствие того, что в интеграл (1) и в выражение (4) y и z входят симметрично, совпадают и все члены, содержащие $z, z'', z^{IV}, \dots, z^{(2m)}$. Поэтому можно сказать, что в разложениях (5) и (3) совпадают все члены, составляющие группы со степенями a^{2i} при $i = 0, 1, 2, \dots, 2m+1$. Из членов же остальных групп (со степенями a^{2i} , при $i > 2m+1$ совпадают в каждой группе $m+1$ первых членов (содержащих $y, y'', y^{IV}, \dots, y^{(2m)}$) и столько же последних членов (содержащих $z, z'', z^{IV}, \dots, z^{(2m)}$).

§ 3. Положим теперь, что функции y и z , входящие в интеграл (1) — нечетные. В таком случае

$$y = \sum_{k=1}^{\infty} \frac{x^{2k-1}}{(2k-1)!} y^{(2k-1)}; \quad z = \sum_{k=1}^{\infty} \frac{x^{2k-1}}{(2k-1)!} z^{(2k-1)}$$

и, следовательно,

$$J = 2a \sum_{i=1}^{\infty} \frac{a^{2i}}{2i+1} \sum_{k=1}^i \frac{y^{(2k-1)} z^{(2i-2k+1)}}{(2k-1)!(2i-2k+1)!} \quad (16)$$

Пусть приближенное значение интеграла (1) выражается формулой

$$V = 2a \sum_{p=1}^m \sum_{q=1}^m a_{2p-1, 2q-1} A_{2p-1} B_{2q-1} \quad (17)$$

*) Записки Горещкого С. Х. Ин-та, т. 1, стр. 272.

Разлагаем интегралы A_{2p-1} и B_{2q-1} (2) в бесконечные ряды:

$$A_{2p-1} = \sum_{k=1}^{\infty} \frac{a^{2k-1} y^{2k-1}}{(2k-1)!(2p+2k-1)} \quad B_{2q-1} = \sum_{k=1}^{\infty} \frac{a^{2k-1} z^{2k-1}}{(2k-1)!(2q+2k-1)}$$

и подставляем эти разложения в формулу (17).

Получаем

$$V = 2a \sum_{p=1}^m \sum_{q=1}^m a_{2p-1, 2q-1} \sum_{i=1}^{\infty} a^{2i} \sum_{k=1}^i \frac{y^{(2k-1)} z^{(2i-2k+1)}}{(2k-1)!(2p+2k-1)(2i-2k+1)!(2q+2i-2k+1)} \quad (18)$$

Для определения коэффициентов $a_{2p-1, 2q-1}$, при которых выражение (17) возможно точно представляет величину интеграла J для произвольных функций y и z , сравниваем коэффициенты при различных степенях a и при производных разных порядков от y и z в формулах (16) и (17).

$$\sum_{p=1}^m \sum_{q=1}^m a_{2p-1, 2q-1} \frac{1}{(2p+2k-1)(2q+2i-2k+1)} = \frac{1}{2i+1}$$

($k = 1, 2, \dots, i; \quad i = 1, 2, 3, \dots$)

Введя новые промежуточные неизвестные, мы разбиваем последнее равенство на два равенства:

$$\left. \begin{aligned} \sum_{p=1}^m a_{2p-1, 2q-1} \frac{1}{2p+2k-1} &= x_{2q-1, 2k-1} \\ \sum_{q=1}^m x_{2q-1, 2k-1} \frac{1}{2q+2i-2k+1} &= \frac{1}{2i+1} \end{aligned} \right\} \quad (19)$$

Первое из этих равенств для всякого числа q должно дать нам m уравнений для определения m коэффициентов $a_{2p-1, 2q-1}$, а потому даем числу k m значений $1, 2, \dots, m$.

Второе же равенство (19) должно дать для всякого числа k m уравнений для определения промежуточных неизвестных; поэтому даем числу i m значений: $k, k+1, k+2, \dots, k+m-1$.

Полученные уравнения легко решить и для промежуточных неизвестных получаем такие решения:

$$x_{2k-1, 2k-1} = 1; \quad x_{2q-1, 2k-1} = 0 \quad \text{при } q \neq k)$$

На основании этого первое из равенств (19) дает такую систему уравнений для определения коэффициентов $a_{2p-1, 2q-1}$ (даем числу k последовательно значения $1, 2, \dots, m$)

$$\left. \begin{aligned} \frac{a_{1, 2q-1}}{3} + \frac{a_{3, 2q-1}}{5} + \frac{a_{5, 2q-1}}{7} + \dots + \frac{a_{2m-1, 2q-1}}{2m+1} &= 0 \\ \frac{a_{1, 2q-1}}{5} + \frac{a_{3, 2q-1}}{7} + \frac{a_{5, 2q-1}}{9} + \dots + \frac{a_{2m-1, 2q-1}}{2m+3} &= 0 \\ \dots & \\ \frac{a_{1, 2q-1}}{2q-1} + \frac{a_{3, 2q-1}}{2q+1} + \frac{a_{5, 2q-1}}{2q+3} + \dots + \frac{a_{2m-1, 2q-1}}{2q+2m-3} &= 0 \\ \frac{a_{1, 2q-1}}{2q+1} + \frac{a_{3, 2q-1}}{2q+3} + \frac{a_{5, 2q-1}}{2q+5} + \dots + \frac{a_{2m-1, 2q-1}}{2q+2m-1} &= 1 \\ \frac{a_{1, 2q-1}}{2q+3} + \frac{a_{3, 2q-1}}{2q+5} + \frac{a_{5, 2q-1}}{2q+7} + \dots + \frac{a_{2m-1, 2q-1}}{2q+2m+1} &= 0 \\ \dots & \\ \frac{a_{1, 2q-1}}{2m+1} + \frac{a_{3, 2q-1}}{2m+3} + \frac{a_{5, 2q-1}}{2m+5} + \dots + \frac{a_{2m-1, 2q-1}}{4m-1} &= 0 \end{aligned} \right\} (20)$$

Эту систему можно решить до конца в общем виде. Для ее решения составим функцию

$$\Phi_{2q-1}(2k) = \frac{a_{1, 2q-1}}{2k+1} + \frac{a_{3, 2q-1}}{2k+3} + \frac{a_{5, 2q-1}}{2k+5} + \dots + \frac{a_{2m-1, 2q-1}}{2k+2m-1} \quad (21)$$

В силу предыдущих равенств эта функция исчезает для всех последовательных целых значений числа k от 1 до m , кроме значения $k=q$, для которого функция обращается в 1. Поэтому если приведем правую часть к одному знаменателю, то числитель должен быть многочленом $m-1$ -ой степени относительно k с корнями $k=1, 2, 3, \dots, q-1, q+1, q+2, \dots, m$, т.е., он должен иметь вид

$$C_{2q-1} (2k-2)(2k-4) \dots (2k-2q+2)(2k-2q-2) \dots (2k-2m)$$

где C_{2q-1} — независящий от k множитель.

Введем обозначения:

$$f(2k) = 2k-2 \parallel 2k-2m$$

$$F(2k) = 2k+1 \parallel 2k-2m-1$$

$$\text{В таком случае } \Phi_{2q-1}(2k) = C_{2q-1} \frac{f(2k)}{(2k-2q) F(2k)} \quad (22)$$

Но $\Phi_{2q-1}(2q) = 1$, поэтому

$$C_{2q-1} = \frac{F(2q)}{f'(2q)} = (-1)^{m-q} \frac{2q+1 \parallel 2q+2m-1}{2^{m-1} (q-1)! (m-q)!} \quad (23)$$

Коэффициенты $a_{2p-1, 2q-1}$ определяются из соотношения (21)

$$a_{2p-1, 2q-1} = \left[(2k + 2p - 1) \Phi_{2q-1}(2k) \right]_{2k = (2p-1)}$$

что на основании равенства (22) переходит в

$$a_{2p-1, 2q-1} = -C_{2q-1} \frac{f(-2p+1)}{(2p+2q-1)F'(-2p+1)}$$

или

$$a_{2p-1, 2q-1} = (-1)^{m-p} C_{2q-1} \frac{2p+1 \parallel 2p+2m-1}{(2p+2q-1) 2^{m-1} (p-1)! (m-p)!}$$

заменяя множитель C_{2q-1} его значением (23), получаем окончательно

$$a_{2p-1, 2q-1} = (-1)^{p+q} \frac{2p+1 \parallel 2p+2m-1 \cdot 2q+1 \parallel 2q+2m-1}{2^{2m-2} (2p+2q-1) (p-1)! (q-1)! (m-p)! (m-q)!} \quad (24)$$

опять видим, что все коэффициенты $a_{2p-1, 2q-1}$ попарно равны между собой

$$a_{2p-1, 2q-1} = a_{2q-1, 2p-1}$$

Таким образом при нечетных функциях y и z интеграл J (1) приближенно выражается через интегралы от отдельных функций y и z , умноженных на различные степени аргумента, посредством формулы (17), причем выражения A_{2p-1} и B_{2q-1} даются формулами (2), а коэффициенты $a_{2p-1, 2q-1}$ — формулой (24).

Чтобы уяснить себе точность формулы (17), заметим, что второе уравнение системы (19) удовлетворяется для любого значения i при m значениях буквы k ($k=1, 2, \dots, m$). Следовательно в разложениях интеграла J (16) и приближенного выражения (18), совпадают все члены, содержащие производные $y^I, y^{III}, y^V, \dots, y^{(2m-1)}$ и $z^I, z^{III}, z^V, \dots, z^{(2m-1)}$. Иначе можно сказать так: в разложениях (16) и (18) совпадают все члены, составляющие группы со степенями a^{2i} при $i=1, 2, \dots, 2m$. Из членов же остальных групп (со степенями a^{2i} при $i > 2m$) совпадают в каждой группе m первых членов (содержащих $y, y^{III}, y^V, \dots, y^{(2m-1)}$ и m последних членов (содержащих $z^I, z^{III}, \dots, z^{(2m-1)}$).

§ 4. Рассмотрим теперь общий случай, когда y и z не являются только четными или только нечетными функциями. (Случай, когда одна функция четная, а другая нечетная, не может быть для интеграла (1)).

Если

$$y = f(x); \quad z = F(x),$$

$$\text{то } y = \frac{f(x) + f(-x)}{2} + \frac{f(x) - f(-x)}{2}$$

$$z = \frac{F(x) + F(-x)}{2} + \frac{F(x) - F(-x)}{2}$$

В каждом из этих двух равенств первое слагаемое представляет собою четную функцию, а второе—нечетную. Поэтому интеграл (1) заменится суммой двух интегралов

$$J = \int_{-a}^{+a} \frac{f(x) + f(-x)}{2} \cdot \frac{F(x) + F(-x)}{2} dx + \int_{-a}^{+a} \frac{f(x) - f(-x)}{2} \cdot \frac{F(x) - F(-x)}{2} dx \quad (25)$$

(Другие два интеграла = 0).

Первый интеграл берется от произведения четных функций; следовательно, он может быть вычислен по формулам § 2, второй же интеграл берется от произведения нечетных функций, следовательно, он может быть вычислен по формулам § 3.

Заметив, что

$$\int_{-a}^{+a} x^{2p} \frac{f(x) + f(-x)}{2} dx = \int_{-a}^{+a} x^{2p} f(x) dx = \int_{-a}^{+a} x^{2p} y dx$$

$$\int_{-a}^{+a} x^{2p-1} \frac{f(x) - f(-x)}{2} dx = \int_{-a}^{+a} x^{2p-1} f(x) dx = \int_{-a}^{+a} x^{2p-1} y dx$$

Заключаем, что выражение A_k для обоих интегралов (25) выражается прежней формулой (2). То же, конечно, можно сказать относительно B_k . Поэтому приближенное выражение обоих интегралов можно представить в таком виде:

$$V = 2a \sum_{p=0}^l \sum_{q=0}^l a_{2p, 2q} A_{2p} B_{2q} + 2a \sum_{p=1}^m \sum_{q=1}^m a_{2p-1, 2q-1} A_{2p-1} B_{2q-1}$$

где число l может равняться или m или $m-1$, смотря по тому, какая степень X должна превалировать внутри интегралов A и B — четная или нечетная.

В выражении V можно соединить две двойные суммы в одну двойную

$$V = 2a \sum_{r=0}^n \sum_{s=0}^n a_{r,s} A_r B_s \quad (26)$$

Здесь n может быть или четным числом ($2m$) или нечетным ($2m-1$); указатели r и s в каждой члене должны быть одновременно или четными или нечетными. Коэффициенты $a_{r,s}$ в случае четных указателей определяются по формуле (15) и в случае нечетных указателей—по формуле (24).

Таким образом получаем общую теорему: Интеграл $J(1)$ от произведения двух функций может быть выражен приближенно через интегралы от отдельных функций, умноженных на различные степени аргумента, посредством формулы (26), в которой A_r и A_s обозначают отдельные

интегралы (2), а коэффициенты $a_{r,s}$ с четными указателями даются формулой (15) и с нечетными—формулой (24).

Что касается точности формулы (26), то, как легко усмотреть, в разложениях интеграла (J)

$$J = 2a \sum_{i=0}^{\infty} \frac{a^{2i}}{2i+1} \sum_{k=0}^{2i} \frac{y^{(k)} z^{(2i-k)}}{k!(2i-k)!}$$

и приближенного выражения

$$V = 2a \sum_{r=0}^n \sum_{s=0}^n a_{r,s} \sum_{i=0}^{\infty} a^{2i} \sum_{k=0}^i \frac{y^{(k)} z^{(2i-k)}}{k!(r+k+1)(2i-k)!(s+2i-k+1)}$$

совпадают целиком все группы членов со степенями a^{2i} при $i=0, 1, \dots, n$; в каждой из остальных групп (со степенями a^{2i} при $i > n$) совпадают все $n+1$ первых членов (содержащих $y, y', y'', \dots, y^{(n)}$) и все $n+1$ последних членов (содержащих $z, z', z'', \dots, z^{(n)}$).

Легко заметить, что, если y и z будут только четными или только нечетными функциями, то целиком совпадает также группа членов со степенью a^{2i} при $i = n+1$.

II.

§ 5. Положим, даны отдельные значения одной из функций, напр., y и интегралы от другой функции (z), умноженной на различные степени аргумента.

Положим сначала, что отдельные значения функции y соответствуют определенным значениям аргумента и притом для простоты выбранным так, чтобы они получались от деления отрезка интеграции на четное число $(2m)$ равных частей. Если обозначим каждую часть через h , то в формуле (1)

$$a = mh$$

Таким образом считаем данными количества y_k ($k=0, \pm 1, \pm 2, \dots, \pm n$) и интегралы B_s .

Этот случай подробно исследован другими математиками, поэтому я не буду выводить окончательной формулы приближенного выражения интеграла, а ограничусь лишь применением способов предыдущих §§ к выяснению степени точности формулы, (в смысле, указанном в упомянутой моей статье), а также указанием, каким образом общая формула может быть получена при посредстве формулы для четных и формулы для нечетных функций y и z .

Положим сначала, что y и z — четные функции. В таком случае приближенное выражение V должно иметь вид

$$V = 2a \sum_{p=0}^m \sum_{q=0}^m a_{p,2q} y_p B_{2q} \tag{27}$$

где $y_p = f(\rho h)$, а B_{2q} определяется равенством (2).

Вследствие того, что

$$y_p = \sum_{k=0}^{\infty} \frac{(\rho h)^{2k} y^{(2k)}}{(2k)!} = \sum_{k=0}^{\infty} a^{2k} \left(\frac{\rho}{m}\right)^{2k} \frac{y^{(2k)}}{(2k)!}$$

где $a = mh$, для выражения V получаем:

$$V = 2a \sum_{p=0}^m \sum_{q=0}^m a_{p,2q} \sum_{i=0}^{\infty} a^{2i} \sum_{k=0}^i \left(\frac{\rho}{m}\right)^{2k} \frac{y^{(2k)} z^{(2i-2k)}}{(2k)! (2i-2k)! (2q+2i-2k+1)!} \quad (28)$$

Мы должны выбрать коэффициенты $a_{p,2q}$ так, чтобы возможно большее число членов последнего разложения совпадало с соответствующими членами разложения (3). Поэтому уравнения для определения коэффициентов будут таковы:

$$\sum_{p=0}^m \sum_{q=0}^m a_{p,2q} \left(\frac{\rho}{m}\right)^{2k} \frac{1}{2q+2i-2k+1} = \frac{1}{2i+1}$$

$$(k=0, 1, 2, \dots, i; \quad i=0, 1, 2, \dots)$$

При посредстве обозначения

$$\sum_{p=0}^m a_{p,2q} \left(\frac{\rho}{m}\right)^{2k} = x_{2q,2k} \quad (29)$$

эти уравнения переписутся таким образом:

$$\sum_{q=0}^m x_{2q,2k} \frac{1}{2q+2i-2k+1} = \frac{1}{2i+1}$$

где числу i надо дать $m+1$ последовательных значений: $k, k+1, k+2, \dots, k+m$.

Видим, что получилась система уравнений (8) поэтому заключаем, что

$$x_{2k,2k} = 1; \quad x_{2q,2k} = 0 \quad (\text{при } q \neq k)$$

Здесь число k имеет $m+1$ значений: $0, 1, 2, \dots, m$. Очевидно, что при таких значениях числа k решения (9) удовлетворяют условию (8) при всяком i . Это обстоятельство позволяет сделать заключение относительно точности формулы приближенного выражения (27), коэффициенты которой определяются уравнениями (29) (при $k=0, 1, 2, \dots, m$): в разложениях (28) и (3) будут совпадать все члены, содержащие y ,

$y^{\text{II}}, y^{\text{IV}}, \dots, y^{(2m)}$; иначе: в этих разложениях будут целиком совпадать группы членов (со степенями a^{2i} при $i = 0, 1, 2, \dots, m$, а в остальных группах со степенями a^{2i} при $i > m$) будут совпадать первые $m + 1$ членов (содержащих $y, y^{\text{II}}, y^{\text{IV}}, \dots, y^{(2m)}$).

В случае нечетности функций y и z приближенное выражение должно иметь вид:

$$V = 2a \sum_{p=1}^m \sum_{q=1}^m a_{p, 2q-1} y_p B_{2q-1}$$

или после разворачивания в бесконечный ряд:

$$V = 2a \sum_{p=1}^m \sum_{q=1}^m a_{p, 2q-1} \sum_{i=1}^{\infty} a^{2i} \sum_{k=1}^i \left(\frac{\rho}{m}\right)^{2k-1} \frac{y^{(2k-1)} z^{(2i-2k+1)}}{(2k-1)!(2i-2k+1)!(2q+2i-2k+1)} \quad (30)$$

Коэффициенты $a_{p, 2q-1}$ определяются условиями:

$$\sum_{p=1}^m \sum_{q=1}^m a_{p, 2q-1} \left(\frac{\rho}{m}\right)^{2k-1} \frac{1}{2q+2i-2k+1} = \frac{1}{2i+1}$$

($k = 1, 2, \dots, i; i = 1, 2, 3, \dots$).

Эти условия разбиваются на системы:

$$\sum_{p=1}^m a_{p, 2q-1} \left(\frac{\rho}{m}\right)^{2k-1} = x_{2q-1, 2k-1}$$

$$\sum_{q=1}^m x_{2q-1, 2k-1} \frac{1}{2q+2i-2k+1} = \frac{1}{2i+1}$$

здесь $i = k, k+1, k+2, \dots, k+m-1$.

Последнее равенство совпадает с равенством (19). Поэтому заключаем, что

$$x_{2k-1, 2k-1} = 1; \quad x_{2q-1, 2k-1} = 0 \quad (\text{при } q \neq k)$$

Равенство (19) справедливо при этих значениях величин $x_{2q-1, 2k-1}$ для любого числа i при условии, что $k = 1, 2, \dots, m$. Поэтому заключаем, что в разложениях (30) и (16) совпадают все члены, содержащие $y^{\text{I}}, y^{\text{III}}, \dots, y^{(2m-1)}$; иными словами: в разложениях (30) и (16) совпадают целиком группы членов со степенями a^{2i} при $i = 1, 2, \dots, m$, а в каждой из остальных групп (при $i > m$) совпадают первые m членов (содержащих $y^{\text{I}}, y^{\text{III}}, \dots, y^{(2m-1)}$).

Положим теперь, что даны функции y и z общего вида (не только

четные или нечетные). Применяя в таком случае прием, изложенный в § 4, найдем для приближенного выражения V такую формулу:

$$V = 2a \sum_{p=0}^m \sum_{q=0}^m a_{p,2q} \frac{f(\rho h) + f(-\rho h)}{2} B_{2q} +$$

$$+ 2a \sum_{p=1}^m \sum_{q=1}^m a_{p,2q-1} \frac{f(\rho h) - f(-\rho h)}{2} B_{2q-1}$$

Отбирая члены с различными значениями функции f , мы можем на основании формулы (2) выражение V представить в таком виде:

$$V = \sum_{q=0}^m a_{0,2q} f(0) \int_{-a}^a \left(\frac{x}{a}\right)^{2q} z dx + \frac{1}{2} \sum_{p=1}^m f(\rho h) \sum_{s=0}^{2m} a_{p,s} \int_{-a}^a \left(\frac{x}{a}\right)^s z dx +$$

$$+ \frac{1}{2} \sum_{p=1}^m f(-\rho h) \sum_{s=0}^{2m} (-1)^s a_{p,s} \int_{-a}^a \left(\frac{x}{a}\right)^s z dx$$

Введем обозначения

$$\sum_{q=0}^m a_{0,2q} \left(\frac{x}{a}\right)^{2q} = \Phi_0\left(\frac{x}{a}\right)$$

($\rho = 1, 2, \dots, m$)

$$\frac{1}{2} \sum_{s=0}^{2m} a_{p,s} \left(\frac{x}{a}\right)^s = \Phi_p\left(\frac{x}{a}\right)$$

Тогда для выражения V получим

$$V = \sum_{p=-m}^m M_p f(\rho h)$$

где $M_p = \int_{-a}^a \Phi_p\left(\frac{x}{a}\right) z dx$; $M_{-p} = \int_{-a}^a \Phi_p\left(-\frac{x}{a}\right) z dx$; $a = mh$

Очевидно в рассматриваемом общем случае в разложениях интеграла J и приближенного выражения V совпадают все члены, содержащие $y, y^1, y^2, \dots, y^{(2m)}$, или иначе, совпадают целиком все группы членов со степенями a^{2i} при $i = 0, 1, 2, \dots, m$, а в каждой из остальных групп (при $i > m$) совпадают первые $2m + 1$ членов, содержащие $y, y^1, y^2, \dots, y^{(2m)}$.

Все результаты рассуждений этого § относятся к случаю когда дано нечетное число значений функции y . Очевидно, подобные же результаты

можно получить и для случая, когда дано четное число значений функции y или, все равно, когда отрезок интегриации делится на нечетное число равных частей.

§ 6. В предыдущем § мы предполагали, что значения функции y соответствуют определенным данным значениям аргумента. Положим теперь, что эти значения аргумента не даны и их надо искать так, чтобы получить возможно более точную формулу для приближенного значения интеграла (1). Это—известная задача Гаусса для случая одной подинтегральной функции. Для случая произведения двух подинтегральных функций поставленной задаче посвящена большая работа академика Н. Я. Сони́на. В этой работе указывается решение задачи, причем искомыми значениями аргумента зависят от вида функции z , т. е., для каждой функции z должны иска́ться свои значения аргумента.

Поставим вопрос: какие должны быть значения аргумента для того, чтобы формула приближенного значения интеграла (1) годилась для любой функции z ?

Примем сначала, что y и z —четные функции.

Пусть приближенное значение интеграла (1) выражается формулой

$$V = 2a \sum_{p=0}^m \sum_{q=0}^n a_{p,2q} y_p B_{2q} \quad (31)$$

где y_p означает значения функции y для неизвестных пока значений аргумента x_p ($p = 0, 1, 2, \dots, m$).

Будем искать коэффициенты $a_{p,2q}$ и эти значения x_p , при которых формула (31) возможно точно выражает величину интеграла (1).

В нашем случае

$$y_p = f(x_p)$$

Разлагаем правую часть в строку Маклорена.

Получаем

$$y_p = \sum_{k=0}^{\infty} x_p^{2k} \frac{y^{(2k)}}{(2k)!} = \sum_{k=0}^{\infty} a^{2k} \left(\frac{x_p}{a}\right)^{2k} \frac{y^{(2k)}}{(2k)!}$$

Подставляем это разложение, а также разложение интеграла B_{2q} в формулу (31). Получаем:

$$V = 2a \sum_{p=0}^m \sum_{q=0}^n a_{p,2q} \sum_{i=0}^{\infty} a^{2i} \sum_{k=0}^i \left(\frac{x_p}{a}\right)^{2k} \frac{y^{(2k)} z^{(2i-2k)}}{(2k)!(2i-2k)!(2q+2i-2k+1)} \quad (31')$$

Сравнивая это разложение с разложением (3), получаем для определения коэффициентов $a_{p,2q}$ и неизвестных x_p систему уравнений

$$\sum_{p=0}^m \sum_{q=0}^n a_{p,2q} \left(\frac{x_p}{a}\right)^{2k} \frac{1}{2q+2i-2k+1} = \frac{1}{2i+1} \quad (32)$$

Число неизвестных коэффициентов $a_{p, 2q}$ равно $(m+1)(n+1)$ и число неизвестных величин x_p равно m , так как одно из значений x_p , именно x_0 , известно (вследствие симметрии тела, объем которого выражается интегралом (1), $x_0 = 0$).

Введем вместо x_p новые неизвестные под условием

$$v_p = \left(\frac{x_p}{a}\right)^2$$

и разобьем уравнение (32) при помощи промежуточных неизвестных $b_{p, i-k}$ на два уравнения

$$\sum_{q=0}^n a_{p, 2q} \frac{1}{2q + 2i - 2k + 1} = b_{p, i-k}$$

$$\sum_{p=0}^m b_{p, i-k} v_p^i = \frac{1}{2i + 1}.$$

Берем второе уравнение для $k = i$. Получаем

$$\sum_{p=0}^m b_{p, 0} v_p^k = \frac{1}{2i + 1}$$

Чтобы определить отсюда $m+1$ неизвестных $b_{p, 0}$ и m неизвестных v_p , даем числу i $2m+1$ значений: $0, 1, 2, \dots, 2m$, не забывая, что $v_0 = 0$. Получаем систему

$$b_{00} + b_{10} + b_{20} + \dots + b_{m0} = 1$$

$$b_{10}V_1 + b_{20}V_2 + \dots + b_{m0}V_m = \frac{1}{3}$$

$$b_{10}V_1^2 + b_{20}V_2^2 + \dots + b_{m0}V_m^2 = \frac{1}{5}$$

.....

$$b_{10}V_1^{2m} + b_{20}V_2^{2m} + \dots + b_{m0}V_m^{2m} = \frac{1}{4m+1}$$

Эта система совпадает с системой (10) (при $s = 1$), полученной мною при выводе формул Гаусса (см. вышеупомянутую статью стр. 259). Поэтому заключаем, что неизвестные V удовлетворяют уравнению.

$$\begin{vmatrix} 1 & V & V^2 & \dots & V^m \\ 1 & 1 & 1 & \dots & 1 \\ \frac{1}{3} & \frac{1}{5} & \frac{1}{7} & \dots & \frac{1}{2m+3} \\ \frac{1}{5} & \frac{1}{7} & \frac{1}{9} & \dots & \frac{1}{2m+5} \\ \dots & \dots & \dots & \dots & \dots \\ \frac{1}{2m+1} & \frac{1}{2m+3} & \frac{1}{2m+5} & \dots & \frac{1}{4m+1} \end{vmatrix} = 0 \quad (33)$$

Но это уравнение, как я показал раньше (та же статья, стр. 260), определяет неизвестные значения аргумента x , удовлетворяющие задаче Гаусса.

Таким образом выходит, что приближенное выражение V (31) возможно точно выражает величину интеграла (1) от произведения двух функций в том случае, когда обе функции произвольны, для значений аргумента, совпадающими с теми значениями, которые найдены Гауссом для случая одной подинтегральной функции.

Чтобы удобнее по найденным величинам найти величины коэффициентов $a_{p,2q}$, разбиваем уравнение (32) на два таких уравнения:

$$\sum_{p=0}^m a_{p,2q} V_p^k = C_{q,k} \tag{34}$$

$$\sum_{q=0}^m C_{q,k} \frac{1}{2q+2i-2k+1} = \frac{1}{2i+1}$$

Подставив во второе уравнение вместо i последовательные числа $k, k+1, k+2, \dots, k+n$, найдем значения промежуточных неизвестных $C_{q,k}$

$$C_{k,k} = 1 \quad C_{q,k} = 0 \quad (\text{при } q \neq k) \\ (k = 0, 1, 2, \dots, n)$$

Имея величины C , легко определить коэффициенты $a_{p,2q}$, стоит только в первом уравнении (34) для всякого числа q дать числу k $m+1$ значений: $0, 1, 2, \dots, m$.

В формуле (31) число m дано (число значений функций y); число же n берем возможно большим для достижения наибольшей точности формулы. Покажем, что число n должно равняться числу m .

Положим, что $n > m$. Дадим в первом равенстве (34) числу q какоенибудь значение большее, чем m (но не больше n), напр., $m+1$, а числу k , как полагается, последовательные значения $0, 1, 2, \dots, m$. Получим:

$$\sum_{p=0}^m a_{p,2m+2} = C_{m+1,0} = 0; \quad \sum_{p=0}^m a_{p,2m+2} V_p = C_{m+1,1} = 0;$$

$$\sum_{p=0}^m a_{p,2m+2} V_p^2 = C_{m+1,2} = 0 \dots \sum_{p=0}^m a_{p,2m+2} V_p^m = C_{m+1,m} = 0.$$

Эта система $m+1$ однородных уравнений 1-ой степени с $m+1$ неизвестными. Детерминант этой системы не нуль, а потому все коэффициенты $a_{p,2m+2}$ равны нулю. Видим, что вообще все коэффициенты $a_{p,2q}$ при $q > m$ должны равняться нулю. Отсюда заключаем, что верхний предел для q , т.-е., число $n = m$.

Относительно точности формулы (31) можно сказать следующее: в разложениях выражения V (31') и интеграла (3) в нашем случае совпадают: 1) все члены, перечисленные в § 5 и 2) последние члены групп степенями a^{2i} при $i = m + 1, m + 2, \dots, 2m$ (содержащие $y^{(2k)}$, при $k = i$).

§ 7. Положим теперь, что y и z — нечетные функции. В таком случае

$$y_p = f(x_p) = \sum_{k=1}^{\infty} a^{2k-1} \left(\frac{x_p}{a}\right)^{2k-1} \frac{y^{(2k-1)}}{(2k-1)!}$$

Поэтому приближенное выражение V , равное

$$V = 2a \sum_{p=1}^m \sum_{q=1}^m a_{p,2q-1} y_p B_{2q-1} \quad (35)$$

разлагается в ряд

$$V = 2a \sum_{p=1}^m \sum_{q=1}^m a_{p,2q-1} \sum_{i=1}^{\infty} a^{2i} \sum_{k=1}^{\infty} \left(\frac{x_p}{a}\right)^{2k-1} \frac{y^{(2k-1)} z^{(2i-2k+1)}}{(2k-1)!(2i-2k+1)!(2q+2i-2k+1)}$$

Для определения коэффициентов $a_{p,2q-1}$ и величины x_p имеем условие

$$\sum_{p=1}^m \sum_{q=1}^m a_{p,2q-1} \left(\frac{x_p}{a}\right)^{2k-1} \frac{1}{2q+2i-2k+1} = \frac{1}{2i+1}$$

Разбиваем это условие на два:

$$\sum_{q=1}^m a_{p,2q-1} \frac{1}{2q+2i-2k+1} = b_{p,i-k}; \quad \sum_{p=1}^m b_{p,i-k} \left(\frac{x_p}{a}\right)^{2k-1} = \frac{1}{2i+1}$$

Во втором уравнении для k возьмем значение равное i и подставим потом вместо i числа $1, 2, \dots, 2m$. Получим систему:

$$\sum_{p=1}^m b_{p,0} \frac{x_p}{a} = \frac{1}{3}; \quad \sum_{p=1}^m b_{p,0} \left(\frac{x_p}{a}\right)^3 = \frac{1}{5}; \quad \dots \quad \sum_{p=1}^m b_{p,0} \left(\frac{x_p}{a}\right)^{4m-1} = \frac{1}{4m+1}$$

Берем из этой системы первые $m+1$ уравнений. Получаем систему $m+1$ линейных уравнений с m неизвестными $b_{p,0}$. Для совместимости этих уравнений мы должны приравнять нулю детерминант. После сокращений и замены величин x_p по формуле

$$V_p = \left(\frac{x_p}{a}\right)^2$$

получаем

$$\begin{vmatrix} 1 & 1 & \dots & 1 & \frac{1}{3} \\ V_1 & V_2 & \dots & V_m & \frac{1}{5} \\ V_1^2 & V_2^2 & \dots & V_m^2 & \frac{1}{7} \\ \dots & \dots & \dots & \dots & \dots \\ V_1^m & V_2^m & \dots & V_m^m & \frac{1}{2m+3} \end{vmatrix} = 0$$

Взяв из той же системы $m+1$ уравнений, начиная со второго, с третьего и т. д., получим ряд равенств

$$\begin{vmatrix} 1 & 1 & \dots & 1 & \frac{1}{5} \\ V_1 & V_2 & \dots & V_m & \frac{1}{7} \\ \dots & \dots & \dots & \dots & \dots \\ V_1^m & V_2^m & \dots & V_m^m & \frac{1}{2m+5} \end{vmatrix} = 0 \dots \begin{vmatrix} 1 & 1 & \dots & 1 & \frac{1}{2m+1} \\ V_1 & V_2 & \dots & V_m & \frac{1}{2m+3} \\ \dots & \dots & \dots & \dots & \dots \\ V_1^m & V_2^m & \dots & V_m^m & \frac{1}{4m+1} \end{vmatrix} = 0$$

Эти равенства приводят для определения неизвестных V опять к уравнению (33). Поэтому заключаем, что при произвольных нечетных функциях y и z формула (35) ближе всего выражает величину интеграла (1) в том случае, когда аргументу приданы те же значения, как и в формуле (31) для четных функций y и z , т. е. значения, полученные Гауссом для случая одной подинтегральной функции.

Такое же заключение на основании § 4 можно сделать и относительно общего случая.

III.

§ 8. Пусть даны значения каждой из функций y и z , соответствующие определенным значениям аргумента.

Положим, что эти значения аргумента получаются делением отрезка интегрирования сначала на четное число ($2m$) равных частей, так что $a = mh$.

Если y и z — четные функции, то приближенное выражение интеграла (1) будет иметь вид:

$$V = 2a \sum_{p=0}^m \sum_{q=0}^m a_{p,q} y_p z_q \quad (36)$$

Разложим произведение $y_p z_q$ в бесконечный ряд.

Получим:

$$y_p z_q = \sum_{i=0}^{\infty} a^{2i} \sum_{k=0}^i \left(\frac{p}{m}\right)^{2k} \left(\frac{q}{m}\right)^{2i-2k} \frac{y^{(2k)} z^{(2i-2k)}}{(2k)!(2i-2k)!}$$

Поэтому для того, чтобы выражение (36) возможно близко подходило к значению интеграла (1), надо удовлетворить для различных значений k и i достаточное число условий:

$$\sum_{p=0}^m \sum_{q=0}^m a_{p,q} \left(\frac{p}{m}\right)^{2k} \left(\frac{q}{m}\right)^{2i-2k} = \frac{1}{2i+1} \quad (37)$$

Разбиваем каждое из этих условий на систему двух уравнений

$$\sum_{p=0}^m a_{p,q} \left(\frac{p}{m}\right)^{2k} = x_{q,2k}; \quad \sum_{q=0}^m x_{q,2k} \left(\frac{q}{m}\right)^{2i-2k} = \frac{1}{2i+1} \quad (38)$$

Для определения коэффициентов $a_{p,q}$ подставляем в первое уравнение для всякого данного числа q $m+1$ значений числа k ($k=0, 1, 2, \dots, m$). Но предварительно надо найти величины $x_{q,2k}$. Их находим из второго уравнения (38), давая для каждого числа k числу i $m+1$ последовательных значений согласно таблице:

k	i
0	0, 1, 2 m
1	1, 2, 3 m+1
2	2, 3, 4 m+2
.
m	m, m+1, 2m

(39)

Очевидно, достаточно определить только половину всего числа коэффициентов $a_{p,q}$, потому что в формуле (36) значения функций y и z должны входить симметрично, так, что $a_{p,q} = a_{q,p}$.

Это можно доказать таким образом:

условие (37) можно разбить на два уравнения не по способу (38), а так:

$$\sum_{q=0}^m a_{p,q} \left(\frac{q}{m}\right)^{2i-2k} = y_{p,2i-2k}; \quad \sum_{p=0}^m y_{p,2i-2k} \left(\frac{p}{m}\right)^{2k} = \frac{1}{2i+1} \quad (40)$$

Рассматривая вторые уравнения систем (38) и (40), заключаем, что

$$x_{q,2k} = y_{q,2k}$$

Поэтому, если в первом уравнении системы (40) переставим буквы p и q , получим

$$\sum_{p=0}^m a_{q,p} \left(\frac{p}{m}\right)^{2i-2k} = x_{q,2i-2k}$$

Мы имеем право здесь вместо i взять $2k$ (см. таблицу (39)).
Поэтому

$$\sum_{p=0}^m a_{q,p} \left(\frac{p}{m}\right)^{2k} = x_{q,2k}$$

Сравнивая это уравнение с первым уравнением системы (38) убеждаемся в том, что

$$a_{p,q} = a_{q,p}$$

Исследуем точность формулы (36). Рассматривая таблицу (39), мы видим, что 1) для каждого значения i в промежутке от $i=0$ до $i=m$ для числа k берутся все значения, которые оно может иметь $(0, 1, 2, \dots, m)$, 2) для значения $i=m+1$ берется для k уже меньше значений $(1, 2, \dots, m)$, для значения $i=m+2$ берется для k еще меньше значений $(2, 3, \dots, m)$, и, наконец, для $i=2m$ берется только одно значение $k(m)$.

Поэтому относительно разложения в бесконечный ряд приближенного выражения V (36) и разложения интеграла I (3) можно сказать следующее: в этих разложениях 1) совпадают целиком группы членов со степенями a^{2i} при $i=0, 1, 2, \dots, m$; 2) в группе членов со степенью a^{2m+2} совпадают все члены, кроме крайних (содержащих y и z); 3) в группе членов со степенью a^{2m+4} совпадают все члены, кроме крайних и вторых с начала и с конца и т. д. Наконец, в группе членов со степенью a^{4m} совпадает только по одному среднему члену.

Пример. Для $m=1$ приближенная формула

$$V = \frac{2h}{15} (8y_0z_0 + 2y_0z_1 + 2y_1z_0 + 3y_1z_1)$$

точнее формула Симпсона, потому что в разложении ее в ряд и в разложении интеграла (3) совпадают 1) три члена, составляющие группы со степенями a^0 и a^2 (как и для формулы Симпсона; и 2) средний член группы со степенью a^4 .

§ 9. В случае нечетных функций y и z приближенное выражение имеет прежний вид (36) с тою только разницей, что теперь $y_0 = z_0 = 0$. Будучи развернуто в ряд, оно будет иметь вид:

$$V = 2a \sum_{p=1}^m \sum_{q=1}^m a_{p,q} \sum_{i=1}^{\infty} a^{2i} \sum_{k=1}^i \left(\frac{p}{m}\right)^{2k-1} \left(\frac{q}{m}\right)^{2i-2k+1} \frac{y^{(2k-1)} z^{(2i-2k+1)}}{(2k-1)!(2i-2k+1)!} \quad (41)$$

Условие для определения коэффициентов $a_{p,q}$

$$\sum_{p=1}^m \sum_{q=1}^m a_{p,q} \left(\frac{p}{m}\right)^{2k-1} \left(\frac{q}{m}\right)^{2i-2k+1} = \frac{1}{2i+1}$$

($k = 1, 2, \dots, i; \quad i = 1, 2, 3, \dots$)

разбивается на систему двух уравнений:

$$\sum_{p=1}^m a_{p,q} \left(\frac{p}{m}\right)^{2k-1} = x_{q,2k-1}; \quad \sum_{q=1}^m x_{q,2k-1} \left(\frac{q}{m}\right)^{2i-2k+1} = \frac{1}{2i+1}$$

Легко видеть, что теперь соответствие между числами k и i , которые необходимо взять для решения системы, укладываются в таблицу:

k	i
1	1, 2, 3, . . . m
2	2, 3, 4, . . . m+1
3	3, 4, 5, . . . m+2
.
m	m, m+1, . . . 2m-1

Рассматривая эту таблицу можно 1) доказать, что и теперь коэффициенты попарно равны между собой, т.е., что

$$a_{p,q} = a_{q,p}$$

и 2) сделать такое заключение относительно разложений в ряды выражения $V(41)$ и интеграла $J(28)$: в этих разложениях 1) совпадают целым группам членов со степенями a^{2i} при $i = 1, 2, \dots, m$; 2) в группе членов со степенью a^{2m+2} не совпадают только два крайние члена (содержащие u и z); 3) в группе членов со степенью a^{2m+4} не совпадают два крайние и два вторые члена с начала и с конца Наконец, в группе членов со степенью a^{4m-2} совпадают только по одному среднему члену.

§ 10. Общий случай сводится, как это показано в § 4 к двукратному применению формулы (36)—один раз для четных функций, а в другой раз для нечетных. Если бы мы поставили для рассматриваемого случая (III) ту же задачу, которую трактовали в § 6 для случая (II), то пришли бы к аналогичному заключению; а именно: при произвольных функциях u и z приближенная формула (36) тогда возможно точно представляет величину интеграла (1), когда за значения аргумента x_p взяты те же значения, которые получаются в случае одной подинтегральной функции.

Сделаем последнее замечание для рассматриваемого случая.

Мы предполагали до сих пор, что отрезок интеграции делится на четное число частей. Аналогичным способом можно получить формулы и для случая, когда число частей нечетное $(2m - 1)$ или, все равно, когда число значений каждой функции y и z четное $(2m)$.

Таким способом, напр. для $m = 1$, т.е. для двух значений каждой функции получаем формулу несколько точнее формулы трапеции:

$$\int_{x_0}^{x_1} y z dx = \frac{h}{6} (2y_0 z_0 + y_0 z_1 + y_1 z_0 + 2y_1 z_1)$$

где $h = x_1 - x_0$, y_0 и z_0 — значения функций для нижнего предела, и y_1 и z_1 — значения функций для верхнего предела.

IV.

§ 11. Приближенную формулу для вычисления интеграла (1) можно получить, комбинируя предыдущие формулы.

Для четных функций y и z в случае, если промежуток интеграции разделен на четное $(2m)$ число равных частей, самой общей будет формула:

$$V = 2a \sum_{p=0}^m \sum_{q=0}^m \left[a_{p,q} y_p z_q + b_{p,q} y_p B_{2q} + C_{q,p} z_q A_{2p} + d_{p,q} A_{2p} B_{2q} \right] \quad (42)$$

Разлагая это выражение в бесконечный ряд и, сравнивая полученное разложение с разложением интеграла I (3), получаем систему условий:

$$\sum_{p=0}^m \sum_{q=0}^m \left[a_{p,q} \left(\frac{p}{m}\right)^{2k} \left(\frac{q}{m}\right)^{2i-2k} + b_{p,q} \left(\frac{p}{m}\right)^{2k} \frac{1}{2q + 2i - 2k + 1} + \right. \\ \left. + C_{q,p} \left(\frac{q}{m}\right)^{2i-2k} \frac{1}{2p + 2k + 1} + d_{p,q} \frac{1}{(2p + 2k + 1)(2q + 2i - 2k + 1)} \right] = \frac{1}{2i + 1} \quad (43)$$

($k = 0, 1, 2, \dots; i = 0, 1, 2, \dots$).

Вводим две серии промежуточных неизвестных:

$$\left. \begin{aligned} \sum_{p=0}^m \left[a_{p,q} \left(\frac{p}{m}\right)^{2k} + C_{q,p} \frac{1}{2p + 2k + 1} \right] &= x_{q,k} \\ \sum_{p=0}^m \left[b_{p,q} \left(\frac{p}{m}\right)^{2k} + d_{p,q} \frac{1}{2p + 2k + 1} \right] &= y_{q,k} \end{aligned} \right\} \quad (44)$$

Тогда условия (43) примут вид

$$\sum_{q=0}^m \left[x_{q,k} \left(\frac{q}{m}\right)^{2i-2k} + y_{q,k} \frac{1}{2q + 2i - 2k + 1} \right] = \frac{1}{2i + 1} \quad (45)$$

Каждое из уравнений (44) содержит $2(m+1)$ неизвестных. Значит, чтобы получить достаточное число уравнений, надо для каждого числа q дать числу k $2(m+1)$ последовательных значений $0, 1, 2, \dots, 2m+1$. Но предварительно надо определить промежуточные неизвестные x и y по условию (45). Для этого подставляем в эти условия вместо i ряд последовательных чисел: $k, k+1, k+2, \dots, k+2m+1$. Получаем систему уравнений:

$$\sum_{q=0}^m \left[x_{q,k} + y_{q,k} \frac{1}{2q+1} \right] = \frac{1}{2k+1}; \quad \sum_{q=0}^m \left[x_{q,k} \left(\frac{q}{m} \right)^2 + y_{q,k} \frac{1}{2q+3} \right] = \frac{1}{2k+3};$$

$$\sum_{q=0}^m \left[x_{q,k} \left(\frac{q}{m} \right)^4 + y_{q,k} \frac{1}{2q+5} \right] = \frac{1}{2k+5}; \quad \dots$$

$$\sum_{q=0}^m \left[x_{q,k} \left(\frac{q}{m} \right)^{4m+2} + y_{q,k} \frac{1}{2q+4m+3} \right] = \frac{1}{2k+4m+3};$$

Решения этой системы для значений $k=0, 1, 2, 3, \dots, m$ очевидны. Именно

$$1) x_{q,k} = 0; \quad 2) y_{k,k} = 1; \quad 3) y_{q,k} = 0 \quad (\text{при } q \neq k)$$

для всех значений q и k от 0 до m .

Очевидно, эти решения удовлетворяют условию (45) для любого числа i . Найдя остальные значения промежуточных неизвестных (при $k=m+1, m+2, \dots, 2m+1$), переходим к определению коэффициентов формулы (42) по уравнениям (44).

Легко доказать, что все эти коэффициенты попарно равны между собой. Для доказательства разобьем условие (45) при помощи новых промежуточных неизвестных таким образом:

$$\left. \begin{aligned} \sum_{q=0}^m \left[a_{p,q} \left(\frac{q}{m} \right)^{2i-2k} + b_{p,q} \frac{1}{2q+2i-2k+1} \right] &= x'_{p,-k} \\ \sum_{q=0}^m \left[c_{p,q} \left(\frac{q}{m} \right)^{2i-2k} + d_{p,q} \frac{1}{2q+2i-2k+1} \right] &= y'_{p,i-k} \end{aligned} \right\} \quad (46)$$

$$\sum_{p=0}^m \left[x'_{p,i-k} \left(\frac{p}{m} \right)^{2k} + y'_{p,i-k} \frac{1}{2p+2k+1} \right] = \frac{1}{2i+1} \quad (47)$$

Для определения коэффициентов по уравнениям (46) надо в этих уравнениях для всякого числа p дать разности $i-k$ ряд последователь-

ных значений: $0, 1, 2, \dots, 2m+1$. Число k имеет, как раз, такие же значения. Поэтому, сравнивая уравнения (45) и (47) между собою, видим, что новые промежуточные неизвестные совпадают с прежними, т.е., что

$$x'_{p,k} = x_{p,k} \qquad y'_{p,k} = y_{p,k}$$

Если теперь переставим в уравнениях (46) буквы p, q и сравним полученные уравнения (при $i-k=0, 1, 2, \dots, 2m+1$) с уравнениями (44) (при $k=0, 1, 2, \dots, 2m+1$), то увидим что

$$a_{p,q} = a_{q,p}; \quad b_{p,q} = c_{p,q}; \quad d_{p,q} = d_{q,p}$$

для всех значений p и q от 0 до m .

Чтобы обнаружить степень точности формулы (42), выясним соответствие между взятыми числами k и i .

Мы видели, что 1) число k может иметь значения: $0, 1, 2, \dots, 2m+1$; 2) что для всех значений k от 0 до m число i может иметь любое значение и 3) для всякого числа k от $m+1$ до $2m+1$ число i имеет значения: $k, k+1, k+2, \dots, k+2m+1$.

Отсюда вытекает, что 1) для значений $i \leq 3m+2$ число k может иметь все значения ($0, 1, 2, \dots, 2m+1$) и 2) для $i > 3m+2$ число k может иметь те же значения, кроме указанных в прилагаемой таблице:

i	k
$3m+3$	$m+1$
$3m+4$	$m+1, m+2,$
$3m+5$	$m+1, m+2, m+3$
.....
$4m+2$	$m+1, m+2, \dots, 2m$

(48)

Что сказано относительно числа k , то же самое надо сказать и относительно разности $i-k$. Но число $2k$ указывает порядок производных $y^{(2k)}$, а разность $2i-2k$ — порядок производных $z^{(2i-2k)}$ в разложении (3) и в разложении в бесконечный ряд правой части формулы (42). Поэтому заключаем, что в этих разложениях 1) целиком совпадают группы членов со степенями a^{2i} при $i=0, 1, 2, \dots, 3m+2$; 2) в группах членов со степенями a^{2i} при $i=3m+3, 3m+4, \dots, 4m+2$ совпадают все члены, кроме членов, равноотстоящих от начала и конца и содержащих производные $y^{(2k)}$ и $z^{(2k)}$ для тех значений k , которые указаны в таблице (48); 3) в каждой из остальных групп (со степенями a^{2i} при $i > 4m+2$) совпадают первые $m+1$ членов (содержащих $y, y'', \dots, y^{(2m)}$) и последние $m+1$ членов (содержащих $z, z'', \dots, z^{(2m)}$).

Формула (42) выведена для четных функций y и z в случае, когда отрезок интегриации делится на четное число равных частей. Аналогичным способом можно получить формулу для нечетных функций, а потом по способу § 4 и для любых функций. Можно показать, что все выведенные формулы годятся с небольшими изменениями и для случая, когда отрезок интегриации делится на нечетное число равных частей.

§ 12. Приближенная формула (42) представляет собою самую полную комбинацию формул (4), (27) и (36). Она содержит четыре группы членов: 1) члены с отдельными значениями функций y и z , 2) и 3) члены со значениями одной из функций y и z и интегралами от другой функции, умноженной на различные степени аргумента, 4) члены, содержащие только интегралы от отдельных функций, умноженных на степени аргумента.

Покажем, что кроме комбинации из всех четырех групп (формула 42) возможна еще только одна комбинация, именно, комбинация из первых трех групп. Докажем сначала, что такая комбинация возможна.

Пусть в формуле (42) отсутствует последняя группа или, другими словами, пусть все коэффициенты $d_{p,q}$ равны нулю. В таком случае вторые уравнения систем (44) и (46) будут иметь вид:

$$\sum_{p=0}^m b_{p,q} \left(\frac{p}{m}\right)^{2k} = y_{q,k} ; \quad \sum_{q=0}^m c_{q,p} \left(\frac{q}{m}\right)^{2i-2k} = y'_{p,i-k}$$

Для определения коэффициентов $b_{p,q}$ и $c_{q,p}$ надо в первом из этих уравнений для числа k , а во втором для разности $i-k$, взять $m+1$ последовательных значений $0, 1, 2, \dots, m$.

Легко показать, что при этих значениях числа k и разности $i-k$, как прежде

$$x'_{p,k} = x_{p,k} \quad y'_{p,k} = y_{p,k}$$

А потому наши системы дадут одинаковые решения, т.-е.,

$$b_{p,q} = c_{p,q}$$

В таком случае, давая в первом уравнении системы (44) числу k , а в первом уравнении системы (46) разности $i-k$ значения $0, 1, 2, \dots, m$, получим для коэффициентов $a_{p,q}$ одни и те же, вполне определенные решения.

Системы уравнений (45) и (47) в нашем случае удовлетворяются значениями

$$x_{q,k} = 0; \quad y_{k,k} = 1; \quad y_{q,k} = 0 \quad (\text{при } q \neq k)$$

для любого числа i . Поэтому относительно точности взятой формулы (42) (при $d_{p,q} = 0$) заключаем, что в разложениях правой части этой формулы в бесконечный ряд и в разложении интеграла (3) целиком совпадают группы членов со степенями a^{2i} при $i=0, 1, 2, \dots, 2m+1$, а в каждой из остальных групп (при $i > 2m+1$) совпадают $m+1$ первых и $m+1$ последних членов (содержащих y, y'', \dots, y^{2m} и z, z'', \dots, z^{2m}).

Оказывается, что формула, в которую входят все три первые группы членов, т.-е., формула (42) дает такую же точность, как и более простая формула (4), содержащая только одну четвертую группу членов.

Кроме той комбинации из трех первых групп членов формулы (42); существование которой только что доказано, других комбинаций из трех групп, для которых удовлетворялось бы достаточное число условий (43), не существует. Комбинаций же из двух групп нельзя составить ни одной. В справедливости сказанного мы убедимся, если докажем такое положение: отсутствие в формуле (42) одной из первых трех групп членов влечет за собой отсутствие всех трех групп.

Пусть отсутствует в формуле (42), напр., первая группа членов; иными словами, положим, что мы желаем получить формулу, содержащую

три последние группы. Это значит, что мы должны в формуле (42) отбросить все члены с коэффициентами $a_{p,q}$. В таком случае первое уравнение системы (44) будет содержать для всякого числа q только $m+1$ неизвестных коэффициентов $c_{q,p}$. Поэтому, чтобы получить достаточное число уравнений для определения этих коэффициентов, надо в формуле (44) дать числу k значения $0, 1, 2, \dots, m$. Помня, что количество $x_{q,k}$ для всех этих значений числа k равно нулю, получим систему

$$\left. \begin{aligned} \frac{c_{q,0}}{1} + \frac{c_{q,1}}{3} + \frac{c_{q,2}}{5} + \dots + \frac{c_{q,m}}{2m+1} &= 0 \\ \frac{c_{q,0}}{3} + \frac{c_{q,1}}{5} + \frac{c_{q,2}}{7} + \dots + \frac{c_{q,m}}{2m+3} &= 0 \\ \dots & \\ \frac{c_{q,0}}{2m+1} + \frac{c_{q,1}}{2m+3} + \frac{c_{q,2}}{2m+5} + \dots + \frac{c_{q,m}}{4m+1} &= 0 \end{aligned} \right\} (49)$$

Детерминант этой системы не нуль, а потому все коэффициенты $c_{p,q}$ должны равняться нулю. Выходит, что, если в формуле (42) отбросим члены первой группы (с коэффициентами $a_{p,q}$), то при получении формулы желаемой точности исчезают и члены третьей группы (с коэффициентами $c_{p,q}$). Сейчас увидим, что исчезают также и члены второй группы (с коэффициентами $b_{p,q}$). В самом деле, при $a_{p,q} = 0$ в первом уравнении системы (46) остается для каждого числа p только $m+1$ коэффициентов $b_{p,q}$, а потому разности $i-k$ надо дать только $m+1$ значений; $0, 1, 2, \dots, m$; для каждого из этих значений правая часть уравнения (46) обращается в нуль; получаем систему уравнений, аналогичную системе (49), а это приводит к заключению, что все коэффициенты $b_{p,q}$ равны нулю.

Легко показать, что все соображения этого параграфа применимы также сначала для нечетных, а потом и для каких угодно функций y и z .

V.

§ 13. В заключение скажем несколько слов об остаточных членах. Для всех формул приближенных выражений интегралов можно получить остаточные члены, не содержащие производных. Приведем такой член только для формулы (4). Пользуясь формулами (4) и (2), находим формулу приближенного выражения интеграла (1) с остаточным членом в таком виде:

$$\int_0^a yz dx = \sum_{p=0}^m \sum_{q=0}^m \frac{a_{2p, 2q}}{a^{2p+2q+1}} \int_0^a x^{2p} y dx \int_0^a x^{2q} z dx + R \quad (50)$$

Составим функцию

$$\Phi(x) = \int_0^x yz dx - \sum_{p=0}^m \sum_{q=0}^m \frac{a_{2p, 2q}}{a^{2p+2q+1}} \int_0^x x^{2p} y dx \int_0^a x^{2q} z dx - R \frac{x}{a}$$

На основании предыдущего равенства эта функция имеет корень $x = a$. Кроме того ясно, что наша функция имеет корень $x = 0$. Поэтому на основании теоремы Роля производная $\Phi'(x)$ имеет промежуточный корень, т.е.,

$$\Phi'(da) = 0$$

где d —положительная правильная дробь.

Но

$$\Phi'(x) = yz - \sum_{p=0}^m \sum_{q=0}^m \frac{a_{2p, 2q}}{a^{2p+2q+1}} x^{2p} y \int_0^a x^{2q} z dx - R \frac{1}{a}$$

Сделав здесь $x = da$ и приравняв результат нулю, найдем для остаточного члена такое выражение:

$$R = ay_d \left[z_d - \sum_{p=0}^m \sum_{q=0}^m \frac{a_{2p, 2q}}{a^{2q+1}} d^{2p} \int_0^a x^{2q} z dx \right]$$

где y_d и z_d суть значения функции y и z для $x = da$.

Преобразуем это выражение. начнем со входящего в формулу интеграла. В виду того, что функция x^{2q} остается все время положительной в пределах интеграции, можем применить теорему о среднем значении:

$$\int_0^a x^{2q} z dx = z_\theta \int_0^a x^{2q} dx = \frac{a^{2q+1}}{2q+1} z_\theta$$

где z_θ есть значение функции z для значения аргумента $x = \theta a$ ($0 \leq \theta \leq 1$)

Таким образом

$$R = ay_d \left[z_d - z_\theta \sum_{p=0}^m \sum_{q=0}^m \frac{a_{2p, 2q}}{2q+1} d^{2p} \right] \quad (51)$$

Двойная сумма, стоящая в правой части, есть ни что иное, как 1. Докажем это.

Вследствие того, что коэффициент $a_{2p, 2q}$ определяется формулой (15) для всякого числа p в промежутке от 0 до m , имеем:

$$\sum_{q=0}^m \frac{a_{2p, 2q}}{2q+1} = (-1)^p \frac{2p+1 \parallel 2p+2m+1}{2^{2m} p! (m-p)!} \sum_{q=0}^m (-1)^q \frac{2q+3 \parallel 2q+2m+1}{(2p+2q+1)q! (m-q)!} \quad (52)$$

Сумма, стоящая в правой части, в раскрытой форме имеет вид:

$$\frac{3 \parallel 2m+1}{(2q+1)m!} - \frac{5 \parallel 2m+3}{(2q+3)(m-1)!} + \frac{7 \parallel 2m+5}{(2q+5)2!(m-2)!} - \dots$$

$$+ (-1)^m \frac{2m+3 \parallel 4m+1}{(2p+2m+1)m!}$$

или после преобразований:

$$(-1)^m \frac{2m+3 \parallel 4m+1}{m!} \left[\frac{1}{2\rho+2m+1} - \frac{2m+1 \parallel 2m}{2(4m+1)(2\rho+2m-1)} + \right. \\ \left. + \frac{2m+1 \parallel 2m-2}{2^2 2!(4m+1) \parallel (4m-1) \parallel 2\rho+2m-3} - \dots + (-1)^m \frac{2m+1 \parallel 2}{2^m m! (4m+1) \parallel (2m+3)(2\rho+1)} \right] \quad (53)$$

Составим функцию

$$F_\rho(x) = \frac{1 \parallel 4m+1}{(2m+1)!} \sum_{k=0}^m (-1)^k \frac{2m+1 \parallel 2m-2k+2}{2^{-k} k! (4m+1) \parallel (4m-2k+3)} \cdot \frac{x^{2\rho+2m-2k+1}}{2\rho+2m-k+1}$$

при чем символы $2m+1 \parallel 2m+2$ и $4m+1 \parallel 4m+3$ считаем равными 1.

Легко видеть, что производная этой функции просто выражается через функцию Лежандра:

$$F'_\rho(x) = x^{2\rho-1} X_{2m+1}$$

Отсюда заключаем, что

$$F_\rho(1) = \int_0^1 x^{2\rho-1} X_{2m+1} dx.$$

Это равенство показывает, что

$$F_\rho(1) = 0 \text{ для } \rho = 1, 2, \dots, m.$$

Для дальнейшего нам надо иметь еще значение функции $F_0(1)$

$$F_0(1) = \int_0^1 x^{-1} X_{2m+1} dx$$

Этот интеграл есть функция числа m ; обозначим ее так:

$$I_{2m+1} = \int_0^1 x^{-1} X_{2m+1} dx$$

Как известно, функция Лежандра может быть выражена через производные двух последовательных функций посредством соотношения

$$X_{2m+1} = \frac{x}{2m+1} X_{2m+1}^1 - \frac{1}{2m+1} X_{2m}^1$$

Поэтому

$$(2m+1) I_{2m+1} = \left[X_{2m+1} \right]_0^1 - \int_0^1 x^{-1} X_{2m}^1 dx$$

Но все функции Лежандра для $x=1$ обращаются в 1.

Это можно усмотреть из того, что генератрисой функции Лежандра служит выражение

$$(1 - 2xz + z^2)^{-\frac{1}{2}},$$

которое для $x=1$ обращается в $\frac{1}{1-z}$, а эта дробь, будучи развернута в ряд, дает для всех коэффициентов значения $=1$.

Таким образом получаем

$$(2m + 1)I_{2m+1} = 1 - \int_0^1 x^{-1} X_{2m}^1 dx$$

Но производная четной функции Лежандра выражается через последовательные нечетные функции (Бертран. Дифференциальное исчисление, стр. 355).

$$X_{2m}^1 = (4m - 1)X_{2m-1} + (4m - 5)X_{2m-3} + (4m - 9)X_{2m-5} + \dots + 3X_1$$

Поэтому

$$(2m + 1)I_{2m+1} = 1 - (4m - 1)I_{2m-1} - (4m - 5)I_{2m-3} - (4m - 9)I_{2m-5} \dots - 3I_1$$

Заменив здесь m через $m-1$, получим

$$(2m - 1)I_{2m-1} = 1 - (4m - 5)I_{2m-3} - (4m - 9)I_{2m-5} \dots - 3I_1$$

Последние два равенства дают простую рекурсионную формулу для определения функции I_{2m+1}

$$(2m + 1)I_{2m+1} = -2mI_{2m-1}$$

Вследствие того, что

$$I_1 = \int_0^1 x^{-1} X_1 dx = 1$$

рекурсионная формула дает

$$3 \parallel (2m + 1) \cdot I_{2m+1} = (-1)^m 2 \parallel 2m$$

а потому

$$F_0(1) = (-1)^m \frac{2^m m!}{1 \parallel 2m + 1}.$$

Не трудно видеть, что выражение (53) есть

$$(-1)^m 2^m F_p(1)$$

Поэтому это выражение исчезает для всех значений p от 1 до m , а для $p=0$ оно обращается в дробь

$$\frac{2^{2m} m!}{1 \parallel 2m + 1}$$

Отсюда выходит, что вторая часть равенства (52) обращается в нуль для значений $p = 1, 2, \dots, m$, и в 1 для значения $p = 0$, так что

$$\sum_{q=0}^m \frac{a_{2p,2q}}{2q+1} = \begin{cases} 0 & (\text{для } p = 1, 2, \dots, m) \\ 1 & (\text{для } p = 0) \end{cases}$$

а это и доказывает, что двойная сумма, стоящая в правой части равенства (51) есть 1. Поэтому для остаточного члена формулы (4) получим выражение

$$R = a y_d [z_d - z_e] \quad (54)$$

Очевидно, остаточный член можно представить и в такой форме

$$R = a z_d [y_d - y_e] \quad (54')$$

И. Богоявленский.

Calcul des intégrales du produit de deux fonctions.

L'intégrale approchée du produit de deux fonctions peut s'exprimer 1) par les intégrales des fonctions séparées, multipliées par les différentes puissances d'argument, 2) par les valeurs d'une fonction et les intégrales de l'autre, multipliées par les puissances d'argument, 3) par les valeurs de l'une et de l'autre fonction. En outre il n'y a que deux formules combinées.

Pour toutes les formules est indiqué le degré d'exactitude.

Il est possible d'exprimer l'intégrale du produit des fonctions quelconques par deux intégrales—l'une contenant des fonctions paires et l'autre contenant des fonctions impaires. C'est pourquoi on considère d'abord le cas des fonctions paires et ensuite celui des fonctions impaires.

La formule approchée donne pour l'intégrale du produit des fonctions arbitraires le résultat le plus précis, quand on prend pour l'argument les mêmes valeurs, qu'a trouvées Gauss pour le cas d'une fonction intégrable. Il est possible de recevoir pour toutes les formules des membres restants sans les dérivées des fonctions.

J. B.

II.

К изучению интенсивности лесного хозяйства.

(Опыт количественного анализа).

ВСТУПЛЕНИЕ.

1. Понятие интенсивности и ее определения

(Рошер, Арнольд, Рудзкий и Орлов).

В лесной экономике имеется ряд вопросов, не только мало разработанных, но и слабо освещенных. К числу этих вопросов, между прочим, относится и вопрос об интенсивности лесного хозяйства. Необходимость его освещения и разработки признается всеми, так как практикуемый шаблонный способ хозяйствования в лесах не дает хороших результатов. Те или иные технические мероприятия, связанные с интенсификацией хозяйства, непременно должны быть географически локализованы.

Для этого необходимо расчленить экономический ландшафт лесного хозяйства на районы большей или меньшей степени интенсивности.

„В иных случаях,—писал В. Рошер*),—обрабатывается известное пространство земли с меньшею затратой труда и капитала, в других—с большею. Чтобы различить эти два рода хозяйства, принято называть первое—экстенсивным, второе—интенсивным“.

Тот же автор считал, что главное отличие лесного хозяйства, не смотря на большое его сходство с сельским, состоит в том, что оно всегда менее интенсивно, нежели сельское хозяйство вообще, при одинаковых условиях почвы, положения и времени. (Курсив В. Рошера).

Ф. К. Арнольд**) указывал, что „для употребления труда и капитала в хозяйстве есть предел, который переступить нельзя или который делает производство убыточным“.

„Те хозяйства,—говорил Ф. Арнольд,—в которых употребляется на единицу площади земли мало капиталов и работ, называют экстенсивными хозяйствами (простыми или грубыми); напротив, где завязывается на единицу площади земли много капиталов и работ, называют хозяйствами интенсивными (напряженными или утонченными)“.

А Ф Рудзкий***) также определял экстенсивное хозяйство, как такое, где „участие капитала и труда очень мало“.

„Интенсивность хозяйства,—говорит М. М. Орлов****),—обуславливается затратой труда и капитала“.

Мы не будем далее приводить определения интенсивности лесного хозяйства.

Понятие интенсивности, как мы видим, выяснено, хотя и в общей форме.

*) См. „Сельское хозяйство и лесоводство“. Март 1865 г.

**) См. „Оценка действующих в лесах капиталов и достигаемых ими результатов“.

1884 года.

***) См. Руководство к устройству русских лесов“. Изд. 3-е 1906 г.

****) См. „Лесоустройство“. 1911 г.

Для нас важно, в настоящее время, не определение понятия „интенсивности“, а самое ее измерение.

Сказать „мало“ или „много“ труда или капитала на единицу площади—это значит дать чрезвычайно расплывчатое определение.

Для лесной экономики необходимы, как и для всякой науки, не только самые измерители того или иного явления, но и их количественное выражение.

Лесная экономика производит количественный анализ явлений и, характеризуя качество, она дает для него определенные „качественные цифры“, являющиеся ни чем иным, как, опять-таки, количественным выражением цены единицы объема древесины.

Всякое научное, объективное познание требует применения единиц меры, веса и числа. И говоря об интенсивности лесного хозяйства, в лесной экономике, мы должны не только указать „измерители“ этой интенсивности, но и дать им численное выражение. Иначе, мы не будем знать, с каким именно хозяйством мы имеем дело: с экстенсивным или интенсивным.

Пока не будут найдены, для известного времени и пространства, численные показатели интенсивности, до тех пор самая оценка будет только субъективной.

I.

„Die Forstwirtschaft ist arbeitsextensiv“.

M. Endres.

Трудо-интенсивность (*arbeitsintensiv*) лесного хозяйства. Виды труда и их количественное выражение (в БССР и Германии, по Эндресу).

Из сказанного выше видно, что „интенсивность лесного хозяйства“ характеризуется концентрацией „труда и капитала“ на единицу площади.

Следовательно, расчлняя самое понятие интенсивности на его составные элементы, мы можем говорить, во-первых, о „*трудо-интенсивности*“ и, во-вторых, о „*капитало-интенсивности*“, при чем каждая из них будет измеряться либо степенью концентрации труда (количеством трудовых единиц-труд), либо степенью концентрации капиталов в лесном хозяйстве (размером отдельных видов капитала).

Обозначая интенсивность лесного хозяйства через I , трудо-интенсивность через T_i и капитало-интенсивность через K_i , будем иметь такую формулу:

$$I = T_i + K_i \dots (1)$$

По этой формуле интенсивность лесного хозяйства представляет собою простую сумму концентрации труда и капитала на единицу площади производственной территории хозяйства.

Трудо-интенсивность лесного хозяйства, иначе, его „трудоёмкость“, конечно, различна и зависит от многих причин, в том числе и от применяемых в лесоводстве видов труда.

Поэтому, говоря о трудо-интенсивности лесного хозяйства, приходится расчлнять ее на отдельные виды, применительно к характеру работ. Так, необходимо различать труд административный (администрация и охрана леса), труд лесокультурный (по возобновлению леса), труд по эксплуатации леса (валка и заготовка).

Обозначая виды труда, по их характеру, получим:

$$T_i = t_a + t_c + t_e \dots (2)$$

Труд по воссозданию дорожных и мостовых сооружений, а равно и постройке домов в лесничествах, может быть отнесен или к труду административному (дома для стражи и проч.) или к труду по эксплуатации (дороги, мосты).

Пользуясь приведенной (2) формулой, мы можем конкретно исчислить „трудоёмкость“ того или иного хозяйства.

Возьмем, напр., Бобруйскую дачу: в ней общее число лиц, ведущих административную работу равно 25 (лесничий, помощник, два канцелярских работника, три объездчика и восемнадцать лесников). Считая, что все они имеют в году по 300 восьмичасовых рабочих дня, при 65-ти нерабочих днях, получим для дачи, имеющей 6.910 десятин удобной лесной площади, такое количество рабочих дней на единицу территории (производственной):

$$t_a = \frac{25 \cdot 300}{6.910} = 1,08 \text{ р. дн. на 1 дес.}$$

Лесокультурный труд в Бобруйской даче в 1925 году выразился в закультивировании: путем посева сосны на площади 121,54 дес. и посадки на 10,53 дес. (всего 132,07 дес.).

Принимая, в среднем, около 20 раб. дней на 1 дес. лесокультур, получим количество труда на единицу площади:

$$t_c = \frac{132,07 \cdot 20}{6.910} = 0,39 \text{ раб. дн. (тред).}$$

Труд по эксплуатации леса (t_e) выражается количеством рабочих дней, затраченных на валку и заготовку леса. Это количество рабочих дней, как известно, изменяется, в зависимости от погоды, высоты и полноты леса. Беря сосновое насаждение в возрасте эксплуатации (120 лет) лучших бонитетов (I и II), занимающих около 80% всей площади, получим для 1 дес., при средней полноте, годовое количество рабочих дней, без корчевки:

$$t_e = \frac{255 \cdot 0,6}{120} = 1,27 \text{ раб. дн. (годов).}$$

ПРИМЕЧАНИЕ. Норма в 255 раб. дней для вырубki 1 дес. соснового леса, при высоте 12 саж., при средней полноте, с корчеванием пней, обрубкой сучьев, отрезкой вершин и складыванием заготовленных материалов и проч., уменьшена на 40%, т. е. произведено редуцирование.

Итак, общая трудоёмкость единицы площади Бобруйской дачи, суммируя указанные важнейшие виды труда в лесном хозяйстве, выразится цифрой:

$$T_i = 1,08 + 0,39 + 1,27 = 2,74 \text{ раб. дн.}$$

К. Покалюк считал „годовую работодательную способность“ 1 дес. леса равной 2,5 раб. дн. (см. „Лесопромышленный Вестник“. 1911 г. № 28).

В Саксонии, по вычислениям Ф. Юдейха, требовалось от 2,4 до 9,1 рабочих дней.

По новейшим данным*), для лесного хозяйства Баварии на 1 гектар

*) См. „Die Forstwirtschaft“. Herausgegeben im 1922 vom Reichswirtschaftsrat. Berlin SW 11.

требуется 5,53 раб. дн. (Arbeitstage), в Пруссии—4,00 раб. дн.; в среднем же, 4,33 раб. дн. на единицу хозяйства (1 гект.) или 4,75 рабочих дней на 1 десятину.

Таким образом, сравнение приведенных для Германии цифр, характеризующих трудоёмкость лесного хозяйства, с таковыми же для СССР, показывает, что трудо-интенсивность нашего хозяйства почти вдвое менее трудо-интенсивности немецкого лесного хозяйства (56%).

Max Endres, профессор Мюнхенского Университета, в своей книге*) „Handbuch der Forstpolitik“ приводит для баварского лесного хозяйства такое количество рабочих дней на 100 гектаров:

	Jahr 1908.	Jahr 1910.
Für Holzernte . . .	315 = 57%	328 = 56%
„ Wegbauten . . .	71 = 13 „	87 = 15 „
„ Forstkulturen . . .	134 = 24 „	136 = 23 „

Из этих данных видно, что наибольшее количество труда падает на эксплуатацию, рубку леса (Holzernte), потом идут лесные культуры (Forstkulturen) и, наконец, дорожное строительство (Wegbauten).

Если сравним приведенные выше данные для Бобруйской дачи с данными для Баварии, то получим такое сопоставление для эксплуатационного и лесокультурного видов труда:

	Лесное хозяйство Баварии	Лесное хозяйство Белоруссии
Эксплуатация леса . . .	56 — 57%	48%
Лесные культуры . . .	23 — 24 „	14 „

Административный труд в Бобруйской даче, считая ее, более или менее типичной для БССР, составляет около 38%.

Проф. Endres говорит о лесном хозяйстве, квалифицируя его, как „трудо-эстенсивное“ („Die Forstwirtschaft ist arbeitsextensiv“).

Сравнивая лесное хозяйство с сельским, проф. Эндрес приводит такие данные:

а) в сельском хозяйстве 1 постоянный рабочий приходится на 2-7 гектаров;

б) в лесном хозяйстве—на 45-80 гектаров.

При этом расчет сделан на целый год („während eines Jahres“), имея в виду значительные площади государственных лесов („in den grösseren Staatsforstverwaltungen“).

Примерное отношение концентрации труда в лесном и сельском хозяйстве, равно 1:15 (13,9).

II.

Капитало-интенсивность (kapitalintensiv) лесного хозяйства.

Виды капитала и их количественное выражение (в лесах Белоруссии).

... Капитало-интенсивность лесного хозяйства измеряется размерами капиталов, завязанных в хозяйстве: древесным запасом (Holzvorrat), дорожно-мостовыми сооружениями или средствами (die Kommunikations- und Transportmittel), постройками (die Gebäude), а также разными маши-

*) Berlin. Verlag von Julius Springer. 1922. S. 55.

нами, орудиями и инструментами (Instrumente und Maschinen). Сюда же (к числу капиталов) следует отнести и расходы на заработную плату (рабочим и служащим).

Важнейшим капиталом является—древесный запас („das wichtigste Kapital ist der Holzvorrat“).

По поводу этого вида капитала существуют разногласия в лесной литературе. Так, один из корифеев немецкой лесной науки, проф. А. Шваппах считает, что лесное хозяйство нуждается „сравнительно с сельским хозяйством, в значительно большем оборотном капитале, в древесном запасе“ (см. „Лесная политика“, стр. 15).¹

В то же время проф. М. Орлов говорит, что „по отношению к основному капиталу лесное хозяйство предъявляет весьма высокие требования“ (см. „Лесоустройство“, стр. 10).

Мах Pressler выделял особо древесный капитал (H) и основной (G), который определялся им, как сумма капиталов почвенного и административного (B + V).

Это разделение „капитала в лесном хозяйстве“, совершенно оторванное от экономической науки и возможное лишь для 18 столетия, было недавно вновь принято одним из русских лесных авторов*).

Лесная экономика не должна отставать от современной науки. Ф. Юдейх, в своем предисловии к первому изданию говорил, что „ныне лесоустройство не должно уклоняться от влияния открытых в новейшее время основных экономических истин“ (см. „Лесоустройство“).

Тем более, не должна уклоняться от них лесоэкономика.

Лесоводы конца прошлого и начала нынешнего столетия приняли классификацию старой, классической политической экономии, по которой капиталы разделяются на основной и оборотный.

По нашему мнению**), необходимо в настоящее время отбросить эту классификацию и ввести новую, которая была предложена в науке К. Марксом.

По этой классификации капитал разделяется на постоянный и переменный.

Чтобы наглядно представить различие между этими классификациями, в интересах правильного отнесения *древесного запаса*, к тому или другому виду капитала, приведем нижеследующую схему:

К а п и т а л ы:

По Марксу.		По Смиту.	
I. Постоянный капитал	{ 1) Материалы. 2) Орудия, машины, здания.	I. Основной капитал.	{ Орудия, машины, здания.
II. Переменный капитал	{ Заработная плата.	II. Оборотный капитал.	{ 1) Материалы. 2) Плата рабочим.

.. Из этой схемы мы видим, что древесный запас, как материал, относится к оборотному капиталу, следуя старой, классической школе

*) И. Яценко. „Лесоустройство и теория почвенной ренты“. (Журнал „Лесное хозяйство, лесопромышленность и топливо“. № 5-6. 1926 г.).

**) Проф. В.И. Переход. „Постоянный и переменный капитал в лесном хозяйстве“ (Журнал „Лесовод“. Москва. № 2. 1926 г.).

экономистов, или же к постоянному, принимая деление новой, нео-классической школы.

Мы делим капитал в лесном хозяйстве на постоянный и переменный, причем, принимая указание К. Маркса*), различаем в постоянном капитале: а) основную часть (здания, машины, орудия) и б) оборотную (сырой материал).

Капиталы в лесном хозяйстве:
(Роды и виды).

I. Постоянный капитал:		II. Переменный капитал.
а) Основная часть.	б) Оборотная часть.	Заработная плата рабочим и служащим (V).
Капитал в постройках, сооружениях и инвентаре (K_m).	Древесный запас (H).	

Кроме указанных видов капитала (K_m , H и V), в лесном хозяйстве имеют еще место: почвенный капитал, выражающий стоимость почвы (B) и (C) культурный капитал, равный сумме единовременного расхода „k“ и капитала, приносящего каждые „u“ лет проценты = k, т. е.:

$$C = K + \frac{k}{1,0p^u - 1} \dots (3)$$

Обычно, однако, для определения капиталов в лесном хозяйстве пользуются следующей общей формулой:

$$K = \frac{k}{0,0p} \text{ (капитализация доходов или расходов в лесном хозяйстве)}$$

где „K“ есть определяемый капитал, а „k“ (малое) — доход или расход при $p\%$ (норма роста, равная 2,5—3%).

Если мы включим культурный капитал в оборотную часть постоянного капитала, а почвенный капитал присоединим к основной части того-же рода капитала, то получим такие выражения:

$$1) P_1 \text{ (постоянный капитал)} = (B + K_m) + (H + C).$$

$$2) P_2 \text{ (переменный капитал)} = V \text{ (капитализованный расход на зарплату).}$$

..В найденном первом выражении первая часть ($B + K_m$) является основной частью постоянного капитала, а вторая ($H + C$) — оборотной.

Вся же сумма капиталов в лесном хозяйстве, которой измеряется „капитало-интенсивность“ равна:

$$P = H + V + C + K_m + B \dots (4)$$

Если будем определять по этой формуле „капитало-интенсивность“ взятой нами выше, для примера, Бобруйской лесной дачи, то получим, путем капитализации доходов и расходов:

$$H \text{ (древесн.капит.)} = \frac{r \text{ (лесн. рента)}}{0,0p} = \frac{3,84}{0,03} = 128 \text{ руб.}$$

*) „Капитал“. Критика политической экономии. Т. III. ч. 1-я.

$$V \text{ (админ. кап.)} = \frac{v}{0,0p} = \frac{1,04}{0,03} = 34,6 \text{ руб.}$$

ПРИМЕЧАНИЕ. Первый капитал (Н) относится к „постоянному“, а второй (v) к переменному.

Капитальная стоимость всех сооружений в Бобруйской лесной даче выражается цифрой 12.600 руб., а инвентаря 1.408 руб. (по актам).

При переводе на единицу площади производственной территории хозяйства получим размер основной части постоянного капитала (K_m), равный 2,02 руб.

Расход на культуру и лесовозобновление, в переводе на 1 дес., дает такие цифры: а) уход за лесом — 2,6 коп. и б) лесовозобновление — 8,5 коп., а всего 11,1 коп.

Отсюда, путем капитализации расхода, получим размер культурного капитала на единицу площади:

$$C = \frac{k}{0,0p} = \frac{11,1}{0,03} = 3,7 \text{ руб.}$$

Почвенный капитал (В), вследствие отсутствия данных почвенной ренты, определим, в зависимости, от древесного капитала (Н), беря 15% что даст нам цифру почвенного капитала (стоимости почвы) в 19,2 руб.

Итак, капиталоемкость лесного хозяйства в Бобруйской даче определится в сумме:

Постоянный капитал:				Переменный капитал	Всего (в руб.)
Основная часть		Оборотная часть			
K_m	В	Н	С	V	
2,02	19,2	128,0	3,7	34,6	187,52

В главе „Kapital“ проф. Эндрес*) приводит такие размеры капитала на единицу площади хозяйства (1 гект.): а) для Баварии—568 mark; б) для Бельгии—594 м.; в) для Франции—950 м; для Бадена—990 м.; д) для Саксонии—1152 м.

При этом следует отметить, что „капиталоемкость“ высокоствольников значительно выше низкоствольного леса. („Die kapitalintensivste Form ist der Niederwald“).

III.

Органическое строение капитала в лесном хозяйстве. Формулы Глазера для определения древесного и почвенного капитала.

„Под составом капитала мы понимаем,—писал К. Маркс**),—отношение между его активной и пассивной составной частью, между переменным и постоянным капиталом“... И далее: „...различный состав капиталов не зависит от их абсолютной величины. Вопрос состоит всегда лишь в том, сколько из каждых 100 единиц капитала приходится на переменный и сколько на постоянный капитал“.

По отношению к нашей лесной даче, отношение между постоянным и переменным капиталом в лесном хозяйстве будет равно:

$$P_1 : P_2 = (187,52 - 34,6) : 34,6 = 4,4 : 1$$

*) „Forstpolitik“. Zweite Auflage. Berlin. 1922.

**) „Капитал“. Т. III. ч. 1-я. Стр. 122-я и 126-я.

...Иными словами, размер постоянного капитала превосходит переменный капитал в 4,4 раза.

Таким образом, создается впечатление, что капиталы в лесном хозяйстве имеют „высшее органическое строение“.

Между тем, это далеко не так. К. Маркс разъяснил нам, что „в стоимости дерева содержится больший избыток неоплаченного труда или прибавочной стоимости, чем в продукте капиталов более высокого состава“ („Капитал“. Т. III ч. 2-я).

Если мы возьмем к-н. лесной товар (напр, бревно или шпалу, заготовленные в лесу) и представим себе весь процесс производства этого товара, то роль переменного капитала, в форме труда рабочего, будет ясна.

Мы считаем поэтому, что, по отношению к лесному хозяйству, нужно брать соотношение только между основной частью постоянного капитала ($K_m + V$) и капиталом переменным (V).

Это соотношение будет иным, а именно:

$$(K_m + V) : V = \frac{21,22}{34,6} = 0,61 \left(\frac{61}{100} \right)$$

Стало-быть, из каждых 100 единиц капитала на основную часть приходится 39 (постоянный капитал) и на переменный капитал 61, т.е.,

$$K = 39p_1 + 61p_2$$

Если же мы исключим и „почвенный капитал“ (V), то соотношение между „основной частью постоянного капитала“ (K_m) и переменным капиталом, выраженное в ‰ ‰ будет равно:

$$100 \cdot \frac{K_m}{V} = \frac{2,02}{34,6} \cdot 100 = 5,8\%$$

Как известно, постоянный капитал доставляет только „средства производства“, то вещество, которое необходимо рабочей силе для создания ценностей, тогда как переменный капитал есть денежное выражение „необходимого рабочего времени“.

Мы можем, поэтому, *интенсивность лесного хозяйства измерять суммой постоянного и переменного капиталов*, ибо величина переменного капитала выражается произведением необходимого рабочего времени для одного работника на число рабочих, занятых в лесоводстве.

Иными словами, *интенсификация лесного хозяйства будет заключаться в увеличении постоянного и переменного капитала на единицу площади*.

Основными элементами, к которым прилагается труд (переменный капитал) в лесном хозяйстве, является: почва (Boden) и насаждение (Holzbestand).

В этом смысле, и было дано определение „леса“ проф. Эндресом*): „Unter Wald versteht man den Boden mit dem darauf stockenden Holzbestand“. (Под лесом понимают почву с произрастающими на ней насаждениями)

Dr. Theodor Glaser**) в своей интересной книжке: „Die Berechnung des Waldkapitals“ дает такую, небольшую, но весьма удобную формулу для вычисления древесного капитала:

$$A_x = M_x \cdot Q_x \dots (4)$$

*) „Lehrbuch der Waldwertrechnung und Forststatik“. Berlin. 1923.

**) „Die Berechnung des Waldkapitals und ihr Einfluss auf die Forstwirtschaft in Theorie und Praxis“. Berlin.

Здесь, древесный капитал обозначен через A_x , запас через M_x (в возрасте „x“), а качественная цифра (Qualitätsziffer) через Q_x .

Так, для Бобруйской дачи, которую мы анализируем, по отношению к сосновым насаждениям I-го класса бонитета, древесный капитал (A_x) равен:

Возраст:	80	90	105	110 лет.
Масса (M_x) . . .	14.673,66	16.564,1	17.999,36	18.533,48 куб. фут.
Кач. цифра (Q_x) .	12,48	13,23	14,25	14,05 копеек.
Древ. кап. (A_x) .	1.833,96	2.192,75	2.564,92	2.604,07 рублей.

...Качественная цифра (Qualitätsziffer) обычно исчисляется при всех лесоустроительных работах, точно также, как и масса (M_x); стало быть мы имеем все, что необходимо для определения древесного капитала насаждений старше 40 лет, по Глазеру (für die älter als 40-jährigen Bestände).

Для определения „стоимости почвы“ (des Wertes des Waldbodens) под лесом тот-же Теодор Глазер предлагает такую формулу:

$$B = \frac{A_{40} + \Sigma D_{bis40}}{2} \dots (5).$$

В этой формуле „ A_{40} “ есть древесный капитал в возрасте 40 лет, „ ΣD_{bis40} “—есть сумма древесного запаса, извлеченная из насаждения до 40 лет (bis 40). Будучи величиной незначительной, последняя величина может быть игнорирована, и тогда почвенный капитал (B) определится, как половина стоимости древесного запаса в возрасте 40 лет: $B = A_{40} : 2$.

Стоимость лесонасаждения в возрасте 40 лет может быть определена, зная размер древесного капитала в старшем возрасте (A_x)

$$A_{40} = \frac{A_x}{x^2} \cdot 40^2 \text{ или } A_x = \frac{A_u}{u^2} \cdot x^2 \dots (6).$$

Возьмем, например, древесный капитал в возрасте 80 лет, равный для сосновых насаждений I бонитета 1.833 руб. Тогда, по приведенной формуле, стоимость насаждения в 40 лет будет равна:

$$A_{40} = \frac{A_{80}}{80^2} \cdot 40^2 = \frac{1833 \cdot 1600}{6400} = 458 \text{ руб.}$$

Почвенный же капитал будет равен половине, т. е.:

$$B = \frac{A_{40}}{2} = 458 : 2 = 229 \text{ руб.}$$

Как видим, формулы Глазера дают, сравнительно, простой способ определения, как древесного капитала, в любом возрасте, так и „стоимости лесной почвы“ (B).

Считая, в среднем, размер древесного капитала в Бобруйской даче равным 128 руб., а средний возраст, условно, примем в 80 лет, то для 40 лет найдем „стоимость насаждения“ в 32 руб., что будет соответствовать почвенному капиталу $(A_{40} : 2) = 16$ руб.

Стало-быть, почвенный капитал (В) изменяется в зависимости от древесного капитала, его абсолютной величины, составляя, в обоих примерах, около 12⁰/₀, против принятых нами выше 15⁰/₀, вследствие чего „почвенный капитал“ получился несколько преувеличенным (19,2 вместо 16), а именно: на 3,2 руб.

Мы полагаем, что интенсивность хозяйства не должна измеряться суммой древесного и почвенного капитала, как мертвых в экономическом смысле, и оживающих лишь при применении переменного и по той части постоянного капитала (K_m), которая связана с приложением труда.

В ы в о д ы:

1. Понятие интенсивности лесного хозяйства, в интересах изучения, должно быть расчленено, в зависимости от концентрации труда и капитала на единице площади, на трудо-и-капитало-интенсивность.

2. Измеряя трудо-интенсивность лесного хозяйства количеством рабочих дней на единицу площади, приходится констатировать трудо-экстенсивный характер нашего хозяйства (arbeitsextensiv).

3. Переходя к принятому ранее делению капиталов на основной и оборотный, необходимо признать его малую удовлетворительность для лесного хозяйства и существующие разногласия (Пресслер, Шваппах, Орлов).

4. Деление капитала на постоянный и переменный дает большую ясность и должно быть введено в лесоэкономике, взамен прежней классификации.

5. В состав постоянного капитала в лесном хозяйстве входит и основная и оборотная часть, которые неодинако реагируют на интенсивность хозяйства.

6. Определяя соотношение между капиталами, следует брать только наиболее активные части постоянного капитала, относя их к переменному капиталу.

7. Формулы Глазера весьма удобны для целей практики, а потому могли-бы найти у нас применение при решении лесохозяйственных вопросов.

Проф. В. И. Переход.

Май 1926 г.

Zur Frage über die Erforschung der Forstwirtschaftsintensität.

(Versuch einer Quantitätsanalyse).

Zusammenfassung.

1. Der Begriff von der Forstwirtschaftsintensität muss im Interesse der Erforschung, in Abhängigkeit von der Arbeits und=Kapitalkonzentration auf die Flächeneinheit in Arbeits und=Kapitalintensität geteilt werden.

2. Wenn wir die Arbeitsintensität in der Forstwirtschaft durch die Menge der Arbeitstage auf die Flächeneinheit vermessen, so müssen wir den arbeitsextensiven Charakter unserer Wirtschaft feststellen.

3. Wenn wir auf die früher angenommene Teilung der Kapitalien in Grund und Betriebskapital übergehen, so ist es unumgänglich, ihre geringe Genügeleistung für die Forstwirtschaft, sowie auch die bestehenden Meinungsverschiedenheiten (Pressler, Schwappach, Orloff).

4. Die Teilung des Kapitals in ein permanentes und ein veränderliches führt zu einer grösseren Verständlichkeit und muss in die Forstökonomik anstatt der früheren Klassifikation eingeführt werden.

5. Das permanente Kapital in der Forstwirtschaft besteht sowohl aus dem Grund, als auch aus dem Betriebsteile, die auf die Wirtschaftsintensität ungleich reagieren.

6. Wenn wir die wechselseitigen Beziehungen zwischen den Kapitalien bestimmen, so müssen wir nur die tätigeren Teile des permanenten Kapitals in Betracht ziehen, indem wir sie auf das veränderliche Kapital beziehen.

7. Glaser's Formeln sind für praktische Zwecke sehr bequem und könnten daher für die Lösung forstwirtschaftlichen Fragen bei uns Anwendung finden.

Prof. W. Perechod.

Лесаводныя фітафэнамэтрычныя нагляданьні ў Горацкім дэндралёгічным гадавальніку (у 1924 г.)

1.

Фэналёгічныя нагляданьні вядуцца батанікамі, заалёгамі, мэтаралёгамі, аграномамі, лесаводамі, памалёгамі, сэлекцыянэрамі і г. д. Ува ўсіх гэтых выпадках розьняцца ня толькі групы аб'ектаў, над якімі адбываюцца нагляданьні, але ў шмат чым розьняцца і тыя мэты, якія перасьледуюцца гэтакімі нагляданьнямі, а часта і тыя мэтады, якімі пры гэтым карыстаюцца. А таму зразумела, што і праграмы нагляданьняў па кожнаму з азначаных выпадкаў будуць розныя.

Фэналёгія, утвораная Кэтле і Фрытшэм доўгі час лічылася як частка мэтаралёгіі, а фэналёгічныя назіраньні амаль што да канца першага дзесяцігодзьдзя ХХ-га сталецьця мелі, гэтак кажучы „агульна-фэналёгічны“ характар, мяшаны па дабору аб'ектаў нагляданьня, неспэцыялізаваны па сваіх праграмах і мэтодыцы нагляданьня. Нават у нашы дні можна яшчэ спаткаць выпадкі, калі асобнымі натурадасьледчыкамі і некаторымі аб'яднаньнямі навуковых працаўнікоў прапануюцца такія праграмы фэналёгічных нагляданьняў, дзе ёсьць і „апошні марозні дзень“, і „першая навальніца“, і „першыя сьпевы зябліка“, і зацьвітаньне курасьлепу, вольхі, ліпы, марошкі“ і „зьяўленьне ўсходаў жыта“, і „пачатак касавіцы“. Гэтакімі былі праграмы „Расійскага Геаграфічнага Таварыства“, гэтакія праграмы апошнім часам прапанованы „Фэналёгічным Аддзелам Бюро Навуковых Нагляданьняў Таварыства Аматараў Сьветазнаўства ў Ленінградзе“ і „Біялягічнай Станцыяй імя Ціміразева ў Сакольніках“ каля Масквы.

Цяпер гэтакія „агульна-фэналёгічныя“ праграмы і нагляданьні, зробленыя паводле гэтых праграм, нікога з нас не задавальняюць ні знавуковага ні з практычнага боку. Кожная прыкладная навуковая дысцыпліна апрацоўвае цяпер самастойна сваю праграму фэналёгічных нагляданьняў і свае спэцыяльныя мэтады гэтых нагляданьняў. Свае спэцыяльныя праграмы і мэтады фэналёгічных нагляданьняў ужо маюць такія прыкладныя навукі, як аграномія, лесаводзтва, садоўніцтва, сэлекцыя, прыкладная батаніка, прыкладная заалёгія і некаторыя іншыя. Фэналёгія адшчапілася ад мэтаралёгіі, дыфэрэнцыравалася і сваімі належнымі часткамі далучылася да тых навуковых дысцыплін, якія адчуваюць у ёй патрэбу. Фэналёгічныя нагляданьні вядуцца абавязкова разам з мэтаралёгічнымі.

2.

Леса—фэналёгічныя нагляданьні па іх зьместу можна падзяліць на 3 групы: 1) фітафэналёгічныя, 2) заа-фэналёгічныя, і 2) фэналёгічныя нагляданьні лесагаспадарчага і лесапрамысловага характару.

Першыя складаюцца з рээстраваньня часу надыходу пэўных фаз разьвіцьця і жыцьця галоўным чынам дрэўных і кустовых расьлін*). Дру-

*) і ў меншай меры іншых расьлінных відаў.

гія (энтама-фэналёгічныя, арніта-фэналёгічныя, мамаліа-фэналёгічныя і да т. п.) рэеструюць галоўныя зьявішчы ў жыцці жывёлін, нясяляючых лес. З гэтай групы нагляданьняў асаблівае значэньне для лясной гаспадаркі маюць нагляданьні над цыклямі разьвіцьця шкодных для лесу шасьціножак. Трэцяя група абыймае сабою шэраг пэрыядычных зьяў лесагаспадарчага парадку: працяжнасьць пэрыяду з аб'еджанаю зімоваю саннаю дарогаю, найлепшы пэрыяд лесараспрацовак, час пачатку сплаву, час пачатку і магчымая працяжнасьць лесакультурнае працы, працы па сяўбе і пасадцы ў гадавальніку і г. д. і г. д., сюды-ж трэба аднесці і запісы, напр., аб пэрыядзе, калі цяжка знайсці работнікаў для працы ў лесе з прычыны пачатку ў сялан касьбы, жніва і г. д.

3.

Нагляданьні першай з паказаных вышэй груп (леса-фітафэналёгічныя) могуць быць патройнага роду: 1) нагляданьні над дрэвамі і хмызьнякамі, 2) нагляданьні над некаторымі відамі травяністай расьліннасьці, якая адыгрывае грунтоўную ролю ў жывым глебавым насьціле над лесам і 3) нагляданьні над фазамі разьвіцьця грыбоў, якія зьяўляюцца прычынаю хваробы дрэў. Нагляданьні першага роду найбольш частыя ў лесаводнай практыцы, найбольш распрацованы нашаю дасьледчаю лясною справаю і маюць найбольшае значэньне пры вывучэньні прыроды лесу і лесаўтвараючых дрэўных парод. Ёх можна назваць „лесаводна-фіта-фэналёгічнымі нагляданьнямі“. Нагляданьні трэцяга роду можна назваць „міка-фэналёгічнымі“.

4.

Лесаводна-фітафэналягічныя нагляданьні па характару аб'ектаў, па сваіх заданьнях, а значыцца і па праграмах, па мэтаду нагляданьняў, мэтаду апрацоўкі здабытага фэналёгічнага матар'ялу і па тых умовах, якія павінны захоўвацца пры выбарцы канкрэтных экзэмпляраў для нагляданьня—можна разьбіць на наступныя 5 відаў:

- 1) нагляданьні над асобнымі экзэмплярамі дрэў і хмызьнякоў;
- 2) нагляданьні над дрэвастанамі;
- 3) нагляданьні ў лясным гадавальніку па пасадачным матар'ялам, які вырошчваецца;
- 4) нагляданьні пашыранай спэцыялізацыі (напрыклад над ураджайнасьцю насеньня, ападам насеньня, адраўленьнем парастка і г. д.);
- 5) Фіта-фэна-мэтрычныя нагляданьні*) (нагляданьні што стаяць у сувязь з пэрыядычнымі зьменамі тых ці іншых частак жывой расьліны).

5.

Першыя 4 віды лесаводна-фітафэналёгічных нагляданьняў знаходзяцца ў вокамернай рээстрацыі часу надыходу фаз разьвіцьця дрэўных расьлін. (Выключэньне складаюць толькі некаторыя нагляданьні 4-га віду, напр., нагляданьні над ападам насеньня, пры якіх ужо каля 20 год адбываюцца ў нас і колькасны падлік). Гэтыя віды нагляданьняў даюць надта каштоўны матар'ял для лесаводнай практыкі. Яны дазваляюць таксама рабіць некаторыя параўнаньні паміж фаз разьвіцьця расьлін і некалькімі мэтэаралёгічнымі элементамі (сумамі тэмператур, максімальнымі тэмпературамі, познымі веснавымі і раньнімі восеннымі замарзкамі). Але гэтыя параўнаньні не даюць нам магчымасьці глыбока пранікнуць у разуменьне

*) Тэрмін „фіта-фэна-мэтрычныя“ нагляданьні мною ўводзіцца ў пяршыню ў фэналягічную літаратуру, дзеля таго што ён дакладна і ясна адбівае сутнасьць гэтага новага віду нагляданьняў.

аконаў росту расьлін і іх разьвіцьця. Справа ў тым, што разьвіцьцё расьліны, інтэнсыўнасьць розных яго фізыялёгічных працэсаў абумавляецца ня толькі цэлым шэрагам знадворных фактараў (уласьцівасьці глебы, характар рэльефу, вільготнасьць глеба-грунту, вільготнасьць паветра, тэмпература паветра, колькасьць сьвятла і г. д.), але і ўзамаўплывам, як з іншымі расьлінамі, таксама і з тымі ўнутранымі фактарамі ці ўласьцівасьцямі, якія належаць да самое расьліны.

Фіта-фэна-мэтрычныя нагляданьні ў мэтарэалёгічных адносінах адозьніваюцца ад нагляданьняў першых 4-х відаў тым, што пры іх мы не бмяжоўваемся вокамернай рээстрацыяй часу надыходу пэўных фаз разьвіцьця расьлін, а робім штодзенна ці пэрыядычна вымярэньні растучага парастка, ліста, плоду, г. з. бяром пад увагу ня толькі якасны бок разьвіцьця і росту расьліны, але й колькасны. Параўнаньне гэтага фэналягічнага матар'ялу з надворнымі фактарамі (мэтарэалёгічнымі элемэнтамі, у першую чаргу) дае магчымасьць ужо больш глыбей пранікнуць у зразьленьне законаў росту і разьвіцьця расьліны, якая нас цікавіць, дапамагае выявіць заканамернасьць у суадносінах паміж некаторых унутраных і некаторых знадворных фактараў росту. Каштоўнасьць фіта-фэнамэтрычных нагляданьняў вызначаецца ў тым, што мы пашыраем і пасоўваем тую рацу па вывучэньню фізыялёгіі росту, якую зрабіла ў лябараторнай абстаноўцы фізыялёгія расьлін, але пашыраем і пасоўваем хоць і з грубымі інструмэнтамі, але ў натуральнай прыроднай абстаноўцы.

Першыя ў нас лесаводныя работы фіта-фэнамэтрычнага характару рабіў праф. А. П. Тольскі над хвойяў у 1908, 1909, 1910 і 1911 г.г. калі ён быў ляснічым Баравога Дасьледчага лясніцтва ў Самарскай губ. мераўся 2 разы ў дзень, 1 раз у дзень і штотыдня верхавінны парастак)*. Праф. Д. І. Марохін такога-ж роду нагляданьні рабіў у 1916 г. у Сымбірскай губ. і ў 1923 г. паблізу г. Горы-Горкі (мераліся праз вярхоўных 5 дзён у хвойі звычайнай верхавінны парастак, даўжыня ігліцы, велічыня новай і прашлагадняй шышкі, у елкі звычайнай, мадрыны сыбірскай і ельніцы балзамічнай—даўжыня парастка, ігліцы і велічыня шышкі, у ліпы дробналісьцевай, вярбы-брэдніку і вольхі белай-даўжыня парастка велічыня ліста**).

6.

Надаючы вялікае значэньне мэтаду фіта-фэнамэтрычных нагляданьняў у справе вывучэньня біялягічных і лесаводных уласьцівасьцяў відаў дрэўнай расьліннасьці, я з 1923 году парупіўся ўтварэньнем абстаноўкі для гэтага роду нагляданьняў у закладзеным тады Горацкім дасьледчым дэндралягічным гадавальніку. Каб мець надзейны і годны для параўнаньня матар'ял фіта-фэнамэтрычных нагляданьняў патрэбна на невяліччай плошчы з аднастайнымі глебава-грунтавымі ўмовамі мець задавальняючую колькасьць растучых экзэмпляраў усіх тых дрэўных і хмызьняковых відаў, якія прызначаны да вывучэньня. Усе дрэвы павінны быць прыблізна аднаўзрослымі. Адлегласьці між іх павінны быць роўнымі і адпавядаць прыблізна тым, якія лічацца звычайнымі для данага ўзросту лясной школы, культур, дрэвастанав. Умовы асьвятленьня і ўмовы рэльефу павінны быць аднастайны для ўсіх аб'ектаў нагляданьня. Для тутэйшых парод насьленьня для гадоўлі аб'ектаў такіх нагляданьняў павінна быць мясцовага пахаджэньня.

*) „Труды по Лесному Опытному Делу в России“. Выпуск XLVII. 1913 г. стар. 55-85.

**) „Записки Горедского Сельско-Хозяйственного Института“. Том I. 1924 г. стар. 134-138 і том II, 1925 г. стар. 62-87.

Такія ўмовы вызначаны былі для утварэння вышэйпаказанай абстаноўкі на тэрыторыі Горацкага даследчага гадавальніку. З прычыны таго, што ўжо вісьветлілася, што вельмі каштоўныя рэзультаты дае ня толькі аналіз фіта-фэнамэтрычнага матар'ялу кожнага віду дрэў паасобна, але і параўнальнае вывучэнне гэтага матар'ялу для розных відаў, дык было вырашана пажаданым сабраць на адбітай у гадавальніку плошчы як мага больш відаў нашых дрэў і хмызьнякоў.

Парадак працы вызначан наступны: 1) уздаваць у бліжэйшыя два гады пасадачны матар'ял усіх відаў дрэў і хмызьнякоў, якія ўваходзяць ў склад тутэйшых лясоў, з насення мясцовага пахаджэння, а экзатычных відаў, што ўвайшлі ў нашу лесакультурную практыку з насення, здабытага па магчымасці с бліжэйшых лесарасьлінных раёнаў і краін; 2) утварыць, па магчымасці адначасна, на адным вучастку невялікія пляцкі чыстых пасадак кожнага віду; 3) пляцкі гэтых с пачатку будуць мець выгляд лясной школы, далей характар маладых лясных культур; адпаведна гэтаму іх і даглядаць; 4) выпрацаваць дэталёвую праграму фіта-фэнамэтрычных нагляданьняў, распрацаваць фармуляры для запісаў нагляданьняў такія, каб яны ў максімальнай ступені эканомілі час пры многалікавых нагляданьнях і памерах, распрацаваць тэхніку памераў з мэтай здабыць магчыма больш дакладных матар'ял; 5) на працягу 1924 году арганізаваць фіта-фэнамэтрычныя нагляданьні папярэдняга, накіравальнага характару з мэтай падрыхтаваць наглядчыка для будучай грунтоўнай працы; 6) да грунтоўных нагляданьняў прыступіць з 1925 ці 1926 году і весьці іх на працягу 10 год бязупынна; у першыя 5 гадоў ня менш аднаго разу на дзень на працягу ўсяго вэгэтацыйнага перыяду.

7.

Выкананьне вызначанага парадку працы ў 1923 годзе пасунулася з такім посьпехам, што ўжо ў 1923 годзе ўдалося на тымчасовым пляцку, дзе сабрана было да 20 відаў дрэўнай і хмызьняковай расліннасці ў колькасці ад 10 да 20 экзэмпляраў кожнага, зрабіць фіта-фэнамэтрычныя нагляданьні ня толькі накіравальнага характару, але і дазваляючыя зрабіць некаторыя зусім абгрунтаваныя вывады, хоць іх трэба лічыць усё-ж папярэднімі. Дзеля таго што далей чакаецца яшчэ больш багаты матар'ял.

Часовы пляцок выяўляў сабою школку, засаджаную вясною 1923 г. Пасадачны матар'ял быў узяты з самасеву т. з. „Старога Парку“ (цяпер дэндралагічнага саду Акадэміі) і часткаю з падросту па рэдкалесьсях Горацкай лясной дачы. Узрост саджанцаў, якія наглядзіся, быў амаль што аднакі: для хваёвых 4—5, для ліставых 3—4 гадовы.

Нагляданьні пачаліся 16 красавіка над 90 экзэмплярамі 15 відаў і рэгулярна паўтаралася праз кожныя 5 дзён аж да 8 кастрычніка, калі ўжо поўнасьцю азначылася, што павялічэння ў даўжыню ні ў воднага з парасткаў, якія наглядзіся, няма. На вялікі жаль пралезшыя праз разбураны рог цаглянай загарадзі ў гадавальнік гарадзкія козы апошнімі днямі красавіка папсавалі верхавінкі многіх экзэмпляраў, якія наглядзіся. Прышлося гэтыя экзэмпляры замяніць другімі, а агульны лік іх скараціць да 39, колькасць відаў удалося пакінуць як і раней (15), але распадзел экзэмпляраў па відах быў ужо нераўнамерны. Далей па розных прычынах прышлося адмовіцца яшчэ ад 3-х экзэмпляраў і ў апрацоўку ўвайшоў матар'ял нагляданьняў над 36 экзэмплярамі 15 відаў. З прычын чыста надворных прышлося адзін прамежак паміж нагляданьняў замест 5 дзён зрабіць, роўным 7 днём (30/VII і 6/VIII), а дзеля таго скараціць і наступны прамежак да 3-х дзён (6/VIII—9/VIII).

Нагляданні былі ў вымярэнні ў кожнага экзэмпляра даўжыні верхавіннага парастка праз кожныя 5 дзён міліметраваю лінейкаю. Дакладнасьць памеру была да 1 мм. Вымярэнні рабіліся заўсёды каля 9—10 гадзін раніцы. Заразóm запісваліся і іншыя фэналагічныя зьявы, што наглядаліся ў даных экзэмпляраў. Сачылі за здароўем саджанцаў. Нагляданні рабіў навуковы супрацоўнік пры маёй катэдры, які скончыў лясны факультэт **Д. О. Манцэвіч** (цяпер вучоны лесавод), якому лічу сваім абавязкам выразіць глыбокую падзяку за выключна дакладную працу па нагляданьнях, ня глядзячы на тое, што ён быў церазмеру нагруджаны шмат якімі іншымі абавязкамі пры катэдры і складанымі нагляданьнямі па іншых дасьледчых працах.

Рэзультаты памераў парасткаў і апрацоўкі здабытага матар'ялу зьмешчаны ў 4 табліцы.

У табліцы № 1 паказана даўжыня парасткаў у мілімэтрах, якою яна была пры памерах праз кожныя 5 дзён у 36 нагляданых экзэмпляраў. У табліцы № 2 паказаны прыросты даўжыні парасткаў у мілімэтрах за кожныя 5 дзён у тых самых 36 экзэмпляраў. Табліца № 3 выяўляе з сябе падвядзеньне сярэдняй даўжыні парасткаў у мілімэтрах для кожнага з 15 нагляданых відаў за кожныя 5 дзён. У табліцы № 4 падведзены сярэдня прыросты даўжыні парасткаў для кожнага віду за кожныя 5 дзён вэгэцыйнага пэрыяду.

8.

Як бачым з даданых табліц, для фіта-фэнамэтрычных нагляданьняў былі ўзяты наступныя віды дрэў і хмызьнякоў:

- | | |
|---|-----------|
| 1. <i>Pinus silvestris</i> , L.—Хвоя звычайная | (2 экз.). |
| 2. <i>Picea excelsa</i> , Lk.—Елка " | (4 "). |
| 3. <i>Abies sibirica</i> , Ledb.—Ельница сибірская | (3 "). |
| 4. <i>Quercus pedunculata</i> , Ehrh.—Дуб даўгалісты (черешчатый) | (2 "). |
| 5. <i>Ulmus effusa</i> , Willd.—Вяз | (3 "). |
| 6. <i>Ulmus montana</i> , With.—Лём | (1 "). |
| 7. <i>Acer platanoides</i> , L.—Клён востральсьцёвы | (7 "). |
| 8. <i>Acer tataricum</i> , L.—Клён татарскі | (1 "). |
| 9. <i>Acer pseudoplatanus</i> , L.—Клён—Явар | (3 "). |
| 10. <i>Tilia cordata</i> , Mill.—Ліпа дробналісьцёвая | (2 "). |
| 11. <i>Betula verrucosa</i> , Ehrh.—Бяроза гузаватая | (1 "). |
| 12. <i>Salix fragilis</i> , L.—Вярба крохкая | (4 "). |
| 13. <i>Rhamnus cathartica</i> , L.—Крушына звычайная | (1 "). |
| 14. <i>Viburnum Lantana</i> , L.—Чорная каліна | (1 "). |
| 15. <i>Daphne Mezereum</i> , L.—Воўчыя ягады | (1 "). |

Фіта-фэнамэтрычныя нагляданні 1924 году ў Горацкім дасьледчым дэндралёгічным гадавальніку для 4—5 гадовых ігластых і 3—4 гадовых ліставых далі наступныя рэзультаты:

Хвоя звычайная разьвівала свой верхавінны парастак у даўжыню ад 1/V да 19/VI. Пэрыяд росту ўкладаецца ў 50 дзён. Пасьля 19/VI даўжыня парастку была нязьменнаю. Сярэдняя даўжыня парастка 12,8 см. Найбольш інтэсыўны рост наглядаўся ад 6 да 30 траўня, г. з. спачатку вэгэцыйі. Абсалютны максімальны прырост за 5 дзён прыпаў на 26—30 траўня і выразіўся велічыняю ў 5 см, г. з. 1 см. у суткі. Сярэдні максімальны прырост для абедзвюх нагляданых хвой прыпадае на тыя-ж 5 дзён і роўны 3,5 см. Поўны перапынак у росьце ў абодвух экзэмплярах наглядаўся ад 31 траўня да 10 чэрвеня.

Елка звычайная даўжыню свайю верхавіннага пабегу разьвівала ад 6 траўня да 24 чэрвеня. Такім чынам рост парастку ў елкі пачынаецца каля аднаго тыдню пазьней, чым у хвой і спыняецца таксама пазьней каля аднаго тыдню. Пэрыяд росту, таксама як і ў хвой, ровен 50 днём. Сярэдняя даўжыня ў даным узросьце раўнялася 9,5 см., г. з. крыху менш, чым у хвой. Найбольш інтэнсыўны рост наглядаўся ад 21 траўня да 19 чэрвеня, г. з., па-паршае, ён пачаўся і скончыўся тыдняў на 2—3 пазьней, чым у хвой, па-другое, ён крыху даўжэй, чым у хвой. Абсалютны максімальны прырост за 5 дзён прыпаў на 10—14 чэрвеня і быў роўны 4,3 см., г. з. 0,86 см. за суткі. Сярэдні максімальны прырост (для 4 елачак) прыпадае на тыя-ж 5 дзён—10—14 чэрвеня і ровен 2,4 см. за 5 дзён ці 0,8 см. за суткі. Параўнаньне пяціднёвых прырастаў елкі і хвой між сабою паказвае, што найбольшы сутачны прырост у хвой бывае ў сярэдзіне пэрыяду росту верхавіннага парастку, а ў елкі бліжэй к канцу гэтага пэрыяду (глядзі табліцу № 4). Перапынку ў росьце у елкі ня было, але адна з елачак (№ 6) трымала сябе вельмі самабытна: скончыла рост свайго парастку пазьней другіх, каля 24 чэрвеня, вядома, з закладкаю новага пучка; ад 25 чэрвеня да 24 жніўня даўжыня парастку не зьмянялася; пасля 24 жніўня з новага пучка вельмі шпарка пачаў вырастаць новы парастак, рост якога цягнуўся да 22 верасьня. Даўжыня гэтага другога парастка раўнялася 11,5 см.

Пэрыяд росту верхавіннага парастку у ельніцы сьбірскай цягнуўся ад 6 траўня да 4 ліпеня, г. з. ён равен 60 днём. Сярэдняя даўжыня гадавога парастку роўна 8,9 см. Пэрыяд найбольш інтэнсыўнага росту прыпаў, як і ў елкі, на 21 траўня—19 чэрвеня. Абсалютны максімальны прырост наглядаўся паміж 31 траўня і 4 чэрвеня і за 5 дзён равен 2,1 см., г. з. 0,4 см. за суткі. Сярэдні максімальны прырост прыпаў на 10—14 чэрвеня, таксама, як і ў елкі. Нагул ход росту парастку ў ельніцы вельмі падобны да ходу росту ў елкі (глядзі табл. № 1 і № 4). Перапынку ў росьце таксама ня было.

У дуба даўгалістага (черешчатого) пэрыяд росту цягнуўся ад 6 траўня да 4 ліпеня і роўны 60 днём. Сярэдняя даўжыня гадавога парастка была роўна 30,4 см. Найбольш інтэнсыўны рост наглядаўся ад 6 да 30 траўня і ад 15 да 29 чэрвеня. Ад 31 траўня да 14 чэрвеня наглядаўся поўны перапынак росту, вядомы для дубу яшчэ здаўна. Абсалютны максімальны прырост за 5 дзён наглядаўся ў дуба 20—24 чэрвеня і быў роўны 14,2 см., г. з. 2,8 см. за суткі. Сярэдні максімальны прырост прыпаў на тэй-самы час—20—24 чэрвеня. Максімальныя сутачныя прыросты парастка ў дуба наглядаліся ў канцы пэрыяду росту.

У вяза пэрыяд росту быў ад 6 траўня да 22 верасьня, г. з. ён роўны 140 днём, у $2\frac{1}{3}$ разы больш, чым у дуба і амаль у тры разы даўжэй, чым у хвой і елкі. Сярэдняя даўжыня верхавіннага парастку 110,3 см. Пэрыяд найбольш інтэнсыўнага росту: ад 6 траўня да 13 жніўня. Абсалютны максімальны прырост прыпаў ад 30 ліпеня да 5 жніўня і роўны 16,6 см. за 7 дзён ці 2,4 см. ў суткі. Сярэдні (з нагляданьняў над 3 вязамі) максімальны прырост прыпаў на тыя-ж дні і роўны 10,0 см. за 7 сутак ці 1,4 см. ў суткі. Перапынку ў росьце ня было.

У лёма пэрыяд росту і характар росту парастку так і самы як і ў вяза. Працяжнасьць пэрыяду росту таксама роўна 140 днём, таксама пачынаецца 6 траўня і канчаецца 22 верасьня. Даўжыня вырастага за лета парастку роўна 221,3 см. Абсалютны максімальны прырост прыпаў таксама на час ад 30 ліпеня да 5 жніўня. Велічыня-ж яго роўна за 7 дзён 26,5 см. ці 3,8 см. ў суткі. Перапынку ў росьце ня было.

Клён востралісьцёвы меў пэрыяд росту ў 150 дзён, ад 26 красавіка да 22 верасня. Сярэдняя даўжыня гадавога парастку роўна 158,6 см.; найбольшая—233,5 см., а найменшая з наглядных (7 экзэмпляраў)—41,0 см. Працяжнасьць інтэнсыўнага росту значная: ад 6 траўня да 18 жніўня. Абсалютны максімальны прырост прыпаў на 5 дзён ад 14 да 18 жніўня і ровен 25,6 см., г. з. 5,1 см. ў суткі. Сярэдні максімальны прырост для 7 наглядных экзэмпляраў прыпаў на працягу 4 пяціднеў: 15—19 чэрвеня, 20—24 чэрвеня, 30 ліпеня—5 жніўня і 6—8 жніўня і роўны 2 см. за суткі. Клён востралісьцёвы, як і наступны клён-явар, паказвае два пэрыяды з максімальным сутачным прыростам і ў другой палове чэрвеня і ў першай палове жніўня. З прычыны таго, што сутачны прырост у яго ў гэты час у сярэднім ровен 2 см., а у некаторых экзэмпляраў даходзіць да 5 см., востралісьцёвы клён ува ўзросьце ад 2-х да 4-х гадоў можна раіць, як добры аб'ект для вывучэньня нарастаньня даўжыні парастку ў залежнасьці ад гадзіны сутак. У сярэдзіне чэрвеня і ў першай палове жніўня пры дапамозе самых простых мерных прылад (мілімэтровая лінейка) можна на парастку маладога клёну востралісьцёвага прыкмеціць зьмены велічыні прыросту нават праз кожную гадзіну. Перапынку ў росьце парастку клёна востралісьцёвага ня было.

У нлёна-явара пэрыяд росту верхавіннага парастку быў ад 1 траўня да 22 верасня і роўны 145 днём. Сярэдняя даўжыня парастку роўна 91,2 см.; найбольшая—111,7 см.; найменшая—73,5 см. Пэрыяд найбольш інтэнсыўнага росту цягнуўся ад 16 траўня да 18 жніўня. Абсалютны максімальны прырост быў ад 26 да 30 траўня і роўны 12,9 см. за 5 сутак ці 2,6 см. за 1 суткі. Сярэдні максімальны прырост наглядаўся 26—30 траўня і роўны 12,07 см. за 5 сутак ці 2,5 см. за 1 суткі. Другі максімальны (сярэдні) прырост быў між 30 ліпеня і 5 жніўня. Перапынку ў росьце не наглядалася.

Пэрыяд росту парастка ў клёна татарскага роўны 145 днём. Пачаўся ён 1-га траўня і скончыўся 22-га верасня. Даўжыня парастка ў нагляданага экзэмпляру 84,0 см. Пэрыяд інтэнсыўнага росту: ад 26 траўня да 18 жніўня. Максімальны прырост прыпаў на 15—19 ліпеня, а ўласьне кажучы 9 см., г. з. 1,8 см. ў сярэднім за суткі. Перапынку ў росьце ня было.

Ліпа дробналісьцёвая мела пэрыяд росту ў 65 дзён, ад 6 траўня да 4 ліпеня. Даўжыня гадавога парастка 35 см. Час інтэнсыўнага росту ад 26 траўня да 29 чэрвеня. Максімальны прырост быў 26—30 траўня і і роўны 7,7 см. У сярэднім за суткі 1,5 см. Перапынку ў росьце парастку за час пяціднеўяў ня было.

Бяроза гузаватая пачала рост свайго верхавіннага парастку 1 траўня і скончыла 18 жніўня. Пэрыяд росту 100 дзён. Даўжыня гадавога парастку—88,1 см. Інтэнсыўны рост можна лічыць ад 21 траўня да 18 жніўня. Максімальны прырост у 9,3 см. прыпаў на сяміднеўе 30 ліпеня—5 жніўня і быў роўны ў сярэднім 1,3 см. за суткі. Перапынку ў росьце не наглядалася.

У вярбы крохкай парастак рос ад 1 траўня да 18 жніўня. Пэрыяд росту—100 дзён. Сярэдняя даўжыня парастку—133,0 см. Найбольшая з нагляданых—142,0 см., найменшая—124,0 см. Пэрыяд інтэнсыўнага росту з 21 траўня да 13 жніўня. Абсалютны максімальны прырост быў за пяціднеўе 20—24 чэрвеня і ровен 18,0 см. (дрэўца № 33), г. з. 3,6 см. ў сярэднім за суткі. Сярэдні максімальны прырост прыпадае на 26—30 траўня і роўны 12,6 см. г. з. 2,5 см. ў сярэднім за суткі. Перапынку ў росьце не наглядалася.

Парастак крушыны звычайнай пачаў свой рост 6 траўня і скончыў 27 верасня. Пэрыяд росту можна лічыць роўным 145 днём. Даўжыня гадавога парастку 97 см. Пэрыяд інтэнсыўнага росту можна лічыць ад 16 траўня да 10 чэрвеня і, другі, ад 19 жніўня да 22 вьрасня. Максімум прыросту дяло п'яціднеўе 26—30 траўня, на працягу якога парастак прыбавіўся на 13,8 см., г. з. ў сярэднім на 2,8 см. за суткі. Поўны перапынак у росьце наглядаўся за п'яціднеўе 30 чэрвеня—4 ліпеня, а ад 20 ліпеня да 20 жніўня наглядаўся зацішак у росьце.

Парастак каліны чорнай меў самы большы пэрыяд росту—165 дзён, ад 16 красавіка да 27 верасня. Даўжыня атрыманага гадавога парастку роўна 38,1 см. Найбольш інтэнсыўны рост наглядаўся ад 6 траўня да 20 чэрвеня, поўнасьцю вызначаны ў першай палове вэгетацыйнага пэрыяду. Пасьля 20 чэрвеня быў зацішак у росьце з некаторым уздымам у канцы ліпеня і ў пачатку жніўня з поўным перапынкам у п'яціднеўе 19—24 жніўня. Максімальны прырост у 7,5 см. дало п'яціднеўе 26—30 траўня, што ў сярэднім дае 1,5 см. за суткі.

Парастак воўчых ягад даў найменшы пэрыяд росту: 40 дзён, ад 1 траўня да 9 чэрвеня. Даўжыня гадавога парастку раўнялася 2 см. Найбольш інтэнсыўны рост можна лічыць ад 16 да 30 траўня. Максімальны прырост прыпаў на 26—30 траўня. Максімальны прырост за суткі быў каля 0,1 см.

9.

Так званы „вялікі пэрыяд росту“ запраўды існуе і ў парасткаў дрэўнай расьліннасьці. Прыросту даўжыню перш малы, потым павялічваецца і максімум яго наглядаецца то бліжэй, то далей ад сярэдзіны пэрыяду росту; у канцы-ж пэрыяду звычайна наглядаецца стуханьне росту. Але „вялікая крывая росту“ Сакса ні ў аднаго з 36 нагляданых экзэмпляраў, ні ў аднаго з 15 відаў ня выходзіць такою плыннаю, якою яна звычайна падаецца ў падручніках фізыалёгіі расьлін для фасолі і падобных ей расьлін, якіе гадуюцца ў пакоі пры штучнай абстаноўцы. У натуральных умовах уся нашы 36 экзэмпляраў 15 відаў дрэўнай расьліннасьці паказалі, што павялічэньне даўжыні верхавіннага парастку ідзе скачкамі. Прырост то павялічваецца, то памяншаецца. Можна лічыць, што плынная крывая вялікага пэрыяду росту ёсьць зьявішча самаўраднага парадку, што абумаўляецца ўнутранымі ўласьцівасьцямі арганізму. Парушэньне-ж плыннасьці гэтай крывай, нарастаньне парастку скачкамі, ёсьць зьявішча індцыраванага парадку, якое выклікаецца ўплывам знадворных фактараў і ў першую чаргу элемэнтаў пагоды. Але залежнасьць велічыні прыросту ад мэтаралёгічных элемэнтаў, як відаць, вельмі складаная. На простую роўналежнасьць прыросту з якім небудзь адным элемэнтам, здаецца, нельга спадзявацца. Можна толькі шукаць элемэнтаў, які грае пераважную ролю ў данай фізыка-геаграфічнай абстаноўцы. Праца Cieslar'a, Hesselmann'a і прафэсара Тольскага дае нам у гэтым кірунку ўжо некаторыя ўказаньні. Больш падрабязна залежнасьць паміж росту дрэў і фактарамі знадворнага асяродку, мне здаецца, і можна высветліць шляхам фітафэнамэтрычных нагляданьняў, калі іх рабіць на працягу шэрагу гадоў над аднымі і тымі-ж дрэвамі, калі памеры рабіць не праз 5 дзён, а штодзённа на працягу ўсяго вэгетацыйнага пэрыяду і калі матар'ял гэтых нагляданьняў апрацоўваць адначасна з апрацоўкаю належных мэтаралёгічных нагляданьняў.

Што да поўнага перапынку ў росьце парастку ў дуба, дык гэтак зьявішча, бязумоўна, самаўраднага парадку абумаўляецца ўнутранымі

ўласцьцівасцьямі данага віду. Тое-ж трэба сказаць і аб нагляданым перапынку ў хвой. Як відаць, перапынак росту парастку ў хвой быў у выніку ўзмацнёнага разьвіцьця ў гэты час маладой ігліцы.

10.

Матар'ял фіта-фэнамэтрычных нагляданьняў дае нам шмат каштоўнага для пазнаньня біалёгіі нашых дрэўных відаў. (Трэба думаць, што гэтага роду нагляданьні дадуць істотную карысьць і для вывучэньня адмен і рас дрэўных парод, што ў сучасным лесаводстве зьяўляецца чарговаю задачаю).

Табліцы № 3 і № 4 ясна паказваюць на велічыню пэрыяду росту верхавіннага парастку ў кожнага з 15 відаў. Велічыня гэта надта вялікая ў лёмавых, кляноў, крушыны, каліны чорнай, меншая ў бярозы і вярбы і значна меншая ў нагляданых ігlastых, а з ліставых у ліпы. Досьледы праф. Д. І. Марохіна¹⁾ паказалі, што дрэвы разьвіваюць свае часткі ў пэўнай пасьлядоўнасьці. У хвой перш расьце парастак, а потым ігліца. У ліпы перш лісьце і парастак, а потым яна цвіце і канцэнтруе свае сілы на росьце плодоў і іншых функцыях. Вельмі цікавым зьяўляецца той факт, што наша 3-х гадовая ліпа, якая яшчэ не павінна-б клапаціцца аб свае-часовым зацьвітаньні і пладанашэньні, таксама значна збавіла рост свайго парастку перад тым, як дарослыя ліпы, што расьлі неўдалёк, пачалі цвісьці, і зусім скончыла яго, як толькі ў дарослых ліп пачалося поўнае цьвітеньне..

Прамежкі паміж нагляданьняў	31-4 V-VI	5-9 VI	9-14 VI	15-19 VI	20-24 VI	25-29 VI	30-4 VI-VII	5-9 VII	10-14 VII	15-19 VII	20-24 VII	і гэтак далей
Прырост даўжыні верхавіннага парастка	42мм.	2мм.	43мм.	62мм.	42мм.	32мм.	9мм.	0	0	0	0	0
У дзеньніку фэналёгічных нагляданьняў над дарослымі дрэвамі ў мяне адзначана, што ў тым-жа 1924 г. пачатак цьвітеньня ў ліпы запісана 1/VII, а поўнае цьвітеньня надышло 5/VII.												

Як відаць, працяжнасьць пэрыяду росту данай часткі расьліны ёсьць унутраная ўласцьцівасць арганізацыі кожнага віду і перадаецца ў спадчыну з роду ў род.

Сказанае аб велічыні пэрыяду росту можна паўтарыць, як відаць з табліц, і аб усіх іншых элемэнтах росту парастка. Кожнаму віду ўласцьцівы свой час для інтэнсыўнага росту, свой час для максімальнага сутачнага прыросту, свой час для пачатку і сканчэньню росту данае часткі расьліны, а для данага ўзросту і свая сярэдняя даўжыня гадовага верхавіннага парастку.

Па кожнаму з паказаных элемэнтаў росту пры задавальняючай колькасьці фіта-фэнамэтрычных нагляданьняў мы маглі-б усе нашы віды дрэў і хмызьнякоў разьмеркаваць у пэўны спадаючы шэраг, накшталт скалы ценятрываласьці ці шыбкасьці росту, зыскоўнасьці к пладароднасьці глебы і г. д.

Зьвязьдзеньне характарыстыкі рост і спадаючы шэраг па велічыні пэрыяду росту верхавіннага парастку для нагляданых 15 відаў падаецца ў наступнай табліцы.

¹⁾ „Записки Горьковского С.-Х. Института“, том II, 1925 г. стар. 87.

Н А З В А

№	Назва	Працяжнасьць пэрыяду рос-верхаўнага парэтка		Колькасьць дзён у пэрыядзе рос-верхаў. парэтка	Пэрыяд інтэнсыўнага рос-парэтка		Сярэдняя даўжыня верхняга парэтка ў см.	Макс. з нагледу даўжыня верхняга парэтка	Мінім. даўжыня верхняга парэтка	Час за 5 дзён	Даўжыня ў см.	Час за 5 дзён	Даўжыня ў см.
		16	27		6	20							
1	<i>Ubrigitum Lantana, L.</i> Каўна чорная.	16	27	165	6	20	38,1	—	—	26—30	7,5	—	—
2	<i>Acer platanoides, L.</i> Каён востраградзёўва.	26	22	150	6	18	158,6	233,5	41,0	14—18	25,6	15—19	10,6
3	<i>Acer pseudoplatanus, L.</i> Каён—Двар.	1	22	145	16	18	91,2	111,7	73,5	26—30	12,9	30	12,1
4	<i>Acer tataricum, L.</i> Каён татарскі.	1	22	145	26	18	84,0	—	—	15—19	9,0	—	—
5	<i>Rhamnus cathartica, L.</i> Крушына звычайная.	6	27	145	16	10	97,0	—	—	26—30	13,8	—	—
6	<i>Ulmus effusa, Willd.</i> В я з.	6	22	140	6	13	110,3	140,1	80,4	30	16,6	30	10,0
7	<i>Ulmus montana, Witt.</i> А с м.	6	22	140	6	18	221,3	—	—	30	26,5	—	—
8	<i>Betula verrucosa, Ehrh.</i> Бяроза гузаватая.	1	18	100	21	18	88,1	—	—	30	9,3	—	—
9	<i>Salix fragilis, L.</i> Вярга крохкая.	1	18	100	21	13	133,0	142,0	124,0	20—24	18,0	26—30	12,6
10	<i>Tilia cordata, Mill.</i> Ліпа дробналісьцевая.	1	4	65	26	29	35,0	—	—	26—30	7,7	—	—
11	<i>Quercus pedunculata, Ehrh.</i> Дуб доўгадзёрты	6	4	60	6—30	15—29	30,4	43,2	17,5	20—24	14,2	20—24	8,0
12	<i>Abies sibirica, Ledeb.</i> Ельніца сыбірская.	6	4	60	21	19	8,9	9,5	8,3	31	2,1	10—14	1,6
13	<i>Pinus silvestris, L.</i> Хвой звычайная.	1	19	50	6	30	12,8	16,0	9,5	26—30	5,0	26—30	3,5
14	<i>Picea excelsa, Lk.</i> Елка звычайная	6	24	50	21	19	9,5	18,0	3,5	10—14	4,3	10—14	2,4
15	<i>Daphne Mezereum, L.</i> Воўчыя ягады	1	9	40	16	30	2,0	—	—	26—30	0,4	—	—

Падобнага роду для ўсіх нашых відаў і адмен табліца вельмі цікава і для лесаводнай практыкі. Нашы даныя паказваюць, напрыклад, наколькі мы гвалтуем прыроду хвой звычайнай, калі вельмі спазьняемся вясною яе саджаць.

Чым больш мы зацягваем пасадку, тым больш у супроць натуральных умова ставім нашу хвою звычайную, дзеля таго што к канцу траўня пры нашых умовах яна ўжо амаль канчае рост свайго парастку (канец інтэнсыўнага пэрыяду росту).

Агульнавядома лесаводнае правіла, што елку вясною можна саджаць значна пазьней, чым хвою. Графа 2 і 4 толькі што паданай табліцы моваю лічбаў тлумачаць нам прычыну гэтага. Хоць у лесаводнай практыцы даўно было вядома, што елка ідзе ў рост крыху пазьней хвой, але цяпер мы яшчэ ведаем і ведаем дакладна, што елка ня толькі на тыдзень пазьней ідзе ў рост, але і пэрыяд інтэнсыўнага росту галоўнага парастку ў яе адсунуты значна далей, чым у хвой: ён пачынаецца на цэлых два тыдні і канчаецца на 3 тыдні пазьней, чым у хвой.

11.

Пры разглядзе матар'ялу ніжэйпаказаных 4-х табліц самі сабою набіваюцца яшчэ некаторыя законамернасьці ў разьвіцьці верхавіннага парастку.

Разглядаючы табліцы № 1 і № 2 лёгка ўбачыць, што ўсе асобы аднаго і таго-ж віду разьвіваюць свой верхавінны парастак зусім аднакава. Прыблізна ў адзін час пачынаецца рост, а канчаецца ён амаль што ўва ўсіх выпадках адначасова. Адначасова пачынаецца і канчаецца поўны перапынак у росьце (у дуба і ў хвой), адначасова пачынаецца і канчаецца інтэнсыўны пэрыяд росту, адначасова бывае максімальны прырост пабегу.

Законамернасьць гэтая ідзе і далей. З табліц № 3 і № 4, а таксама і з табліцы, зьмешчанай на старонцы 172, відаць, што рост парастку ў розных відаў аднаго і таго-ж роду таксама мае шмат агульнага, падлягаючы як-бы аднаму пэўнаму закону (вяз і лём; клён востралісьцеўвы, клён-явар і клён татарскі).

Гэнэтычна блізкія роды, як бяроза і вярба, елка і ельніца, таксама схожа разьвіваюць свой парастак. А таму можна лічыць, што фіта-фэнамэтрычныя нагляданьні можна скарыстаць у пэўных межах і ў пэўных выпадках для вызначэньня гэнэтычнай сувязі паміж мала вивучаных відаў дрэўнай расьліннасьці краю.

12.

Падводзячы кароткі падрахунак агляду фіта-фэнамэтрычнага матар'ялу, здабытага ў 1924 годзе, можна зрабіць наступныя вывады:

1) Рост верхавіннага парастка дрэў у натуральнай абстаноўцы падлягае закону „вялікага пэрыяду росту“, але крывая Сакса выходзіць няплынная, няправільная. Нарастаньне даўжыні верхавіннага парастка ідзе скачкамі.

Правільнасьць крывой вялікага пэрыяду росту трэба лічыць як зьявішча самаўраднага парадку, што абумаўляецца ўнутранымі ўласьцівасьцямі арганізму. Нарушэньне-ж плыннасьці гэтай крывой, нарастаньне парастка скачкамі, ёсьць зьявішча індуцыраванага парадку, што выклікаецца ўплывам знадворных фактараў росту і ў першую чаргу фактараў мэтэаралогічных.

2) Кожны від дрэўнай расьліннасьці для верхавіннага парастку мае сваю пэўную і пільна ўсімі асобамі данага віду захаваную працяжнасьць

росту, свой уласны пэрыяд інтэнсыўнага росту, свой пэўны час максі-
мальнага сутачнага прыросту, свой час для пачатку і сканчэння росту
кожнай сваёй часткі, а для данага ўзросту і сярэдняю даўжыню верха-
віннага парастка.

3) Пасьля намнажэння ў задавальняючай колькасці матар'ялу фіта-
фэнамэтрычных нагляданьяў, зробленых на адным месцы над значным
лікам відаў, можна будзе ўсе нашы дрэвы і хмызьнякі разьмеркаваць па
пэўных спадаючых шэрагах адносна ўсіх элементаў росту (працяжнасьць
пэрыяду росту, працяжнасьць і час інтэнсыўнага росту, максімальнага
сутачнага прыросту і г. д.), падобна да таго, як складаюцца скалы ценя-
трываласьці драўных парод, шыбкасці росту, зыскоўнасьці к пладарод-
насьці глебы і інш.

15 дасьледжаных у 1924 годзе відаў па працяжнасьці пэрыяду росту
ў даўжыню верхавіннага парастку разьмяшчаюцца ў наступны шэраг:

№№	Працяжнасьць росту ў даўжы- ню верхавіннага парастку ў днёх	Час пачатку і кан- ца пэрыяду росту ў даўжыню верха- віннага парастку	Віды дрэў і хмызьнякоў
1	165	$\frac{16}{iv} - \frac{27}{ix}$	<i>Viburnum Lantana</i> , L.
2	150	$\frac{26}{iv} - \frac{22}{ix}$	<i>Acer platanoides</i> , L.
3	145	$\frac{1}{v} - \frac{22}{ix}$	<i>Acer pseudoplatanus</i> , L.
4		$\frac{1}{v} - \frac{22}{ix}$	<i>Acer tataricum</i> , L.
5	140	$\frac{6}{v} - \frac{27}{ix}$	<i>Rhamnus cathartica</i> , L.
6		$\frac{6}{v} - \frac{22}{ix}$	<i>Ulmus effusa</i> , Willd.
7	100	$\frac{6}{v} - \frac{22}{ix}$	<i>Ulmus montana</i> , With.
8		$\frac{1}{v} - \frac{18}{viii}$	<i>Betula verrucosa</i> , Ehrh.
9	65	$\frac{1}{v} - \frac{18}{viii}$	<i>Salix fragilis</i> , L.
10		$\frac{1}{v} - \frac{4}{vii}$	<i>Tilia cordata</i> , Mill.
11	60	$\frac{6}{v} - \frac{4}{vii}$	<i>Quercus pedunculata</i> , Ehrh.
12		$\frac{6}{v} - \frac{4}{vii}$	<i>Abies sibirica</i> , Ledb.
13	50	$\frac{1}{v} - \frac{19}{vi}$	<i>Pinus silvestris</i> , L.
14		$\frac{6}{v} - \frac{24}{vi}$	<i>Picea excelsa</i> , Lk.
15	40	$\frac{1}{v} - \frac{9}{vi}$	<i>Daphne Mezereum</i> , L.

4) У характары росту верхавіннага парастка праяўляюцца агульныя законамерныя рысы для розных відаў аднаго і таго-ж роду і нават для розных родаў, гэнэтычна адзін к аднаму блізкіх.

5) Лесаводныя фіта-фэнамэтрычныя нагляданьні зьяўляюцца па сутнасьці камбінацыяй біамэтрычнага і фэналёгічнага мэтадаў дасьледваньня.

Такога роду нагляданьні канечна патрэбны пры некаторых фэналёгічных і фізыялёгічных досьледах, напрыклад, пры азначэньні часу сканчэньня росту парастка, пры дасьледваньні ходу росту парастка па даўжыні, а ствала дрэва па таўшчыні ў залежнасьці ад часткі году ці часткі вэгэацыйнага пэрыяду. Але яшчэ больш каштоўным мэтад фіта-фэнамэтрычных нагляданьняў будзе ў справе пашыранага вывучэньня біялёгіі дрэўных відаў, што канечна патрэбна, як для пашырэньня сучаснага стану вучэньня аб лесе, таксама і для практычнага лесаводзтва.

6) У залежнасьці ад характару заданьняў дасьледчай працы лесаводныя фіта-фэнамэтрычныя нагляданьні трэба рабіць ці праз кожныя 10 дзён, ці праз 5, ці штодзённа, ці па некалькі разоў у суткі.

II—1926 г.

Прафэсар С. П. Мельнік.

Дадатак табліцы: № 1, № 2, № 3, № 4.

Forstliche phytophänometrische Beobachtungen im Gorkischen dendrologischen Pflanzgarten.

Zusammenfassung.

Die von Quetelet und Fritsche begründete Phänologie galt lange Zeit für einen Teil der Meteorologie. Es wurden Beobachtungen mit völliger Nichtachtung des Charakters der Versuchsobjekte und ohne Berücksichtigung streng spezialisierter Programme angestellt. Heutzutage befriedigen solche allgemein-phänologische Beobachtungen Niemanden mehr, Landwirte Forstwirte, Pflanzenzüchter, Pomologen u. s. w. arbeiten ihre eigenen Programme und Methoden für etwaige phänologische Beobachtungen aus.

Forstlich-phänologische Beobachtungen lassen sich in 3 Gruppen einteilen: 1) phytophänologische, 2) Zoo-phänologische und 3) phänologische Beobachtung forstwirtschaftlichen und forstbetrieblichen Charakters.

Die Beobachtungen der ersten Gruppe können von dreierlei Art sein: 1) Beobachtungen an Bäumen und Sträuchern (forstbaulich-phänologische), 2) an den krautartigen Gewächsen im Walde und 3) an Pilzen, die im Walde und auf den Bäumen wachsen (Mykophänologische Beobachtungen).

Die waldbaulich-phänologischen Beobachtungen kann man in Asaberracht des Charakters ihrer Objekte, ihres Endzweckes, ihres Programms und ihrer Methodik in Folgende 5 Arten einteilen:

- 1) Beobachtungen an Einzelexemplaren von Bäumen und Sträuchern,
- 2) Beobachtungen an Beständen,
- 3) Beobachtungen im forstlichen Pflanzgarten an Sämlingen und Setzlingen.

4) Beobachtungen in die Tiefe gehen der Spezialisierung (z. B. spezielle Beobachtungen über der Fruchtertrag der Bestände, über die Zeit des Abwerfens der Früchte, über die Zeit des Verholzens der Triebe, Anlage neuer Knospen u. dgl.)

5. Phytophänometrische Beobachtungen.

Das Wesen der *phyto-phänometrische Beobachtungen* besteht darin, dass periodisch das eine oder das andere Organ einer Pflanze (der Gipfeltrieb, Blatt, Frucht, Stammdurchmesser u dgl.) gemessen wird.

Im Gorki'schen dendrologischen Versuchsgarten der Weisrussischen Staatlichen Landwirtschaftlichen Akademie wurde vom Jahre 1923 an mit der Anlage von kleinen Flächen zu Baumschulzwecken begonnen, in welchen eine möglichst grosse Zahl von Arten unserer Bäume und Sträucher verpflanzt werden in der Absicht an den jungen Pflänzchen gleichen Alters *phyto-phänometrische Beobachtungen* anzustellen.

Im Jahre 1924 wurden zum ersten Mal derartige Beobachtungen an 36 Exemplaren verschiedener Baum—und Straucharten angestellt.

Vom 16 April bis zum 8 Oktober wurde nach je 5 Tagen die Länge der Gipfeltriebe gemessen.

Das erzielte Beobachtungsmaterial ist von hohem forstwirtschaftlichen Werte, da es uns die Möglichkeit giebt in die Biologie unserer Bäume und Sträucher einzudringen.

Im Allgemeinen kann man die Ergebnisse in folgenden Sätzen zusammenfassen.

1) Der Wuchs der Gipfeltriebe bei Bäumen unter natürlichen Verhältnissen in der Tat dem Gesetze „grosser Wachstumsperioden“ unterworfen, die Sachs'sche Kurve verläuft jedoch nicht gleichmässig stetig, sondern unregelmässig. Das Längenwachstum der Gipfeltriebe geht sprungweise vor sich.

Der regelmässige Verlauf der Kurve grosser Wachstumsperioden ist als eine Erscheinung autonomen Charakters, der von den inneren Eigenschaften der organismen beeinflusst wird, aufzufassen. Eine Störung im regelmässigen Verlauf der Kurve, ein sprungweises Anwachsen des Triebes, dass sind Erscheinungen inducirenden Charakters, hervorgerufen durch äussere Wachstumsfaktoren, in erster Reihe durch meteorologische Faktoren.

2) Jede Art eines baumartigen Gewächses hat seine bestimmte, von allen Einzelwesen derselben Art streng eingehaltene Wachstumsdauer, seine eigene Periode intensiven Wachstums, seine bestimmte Zeit des maximalen täglichen Zuwachses, seine eigene Zeit für Anfang und Abschluss des Wachstums eines jeden Organs und für sein jeweiliges Alter auch seine Durchschnittslänge am Gipfeltriebe.

3) Nach Anhäufung einer genügenden Anzahl von Materialien phyto-phanometrischer Beobachtungen, welche an ein und demselben Orte an einer grossen Anzahl von Arten anzustellen wären, wäre die Möglichkeit gegeben, unsere Bäume und Sträucher in bestimmte Reihen absteigender Ordnung in Beziehung auf alle Elemente ihres Wachstums (Andauer der Wachstumsperiode, Dauer und Zeit intensiven Wuchses, Maximum des täglichen Zuwachses u. dgl) einzuordnen, etwa in der Art, wie die Skalen für schattenliebende Baumarten, Schnelligkeit des Wuchses, Ansprüche an die Fruchtbarkeit des Bodens u. s. w, aufgestellt werden.

Die 15 im Jahre 1924 auf die Dauer der Wachstumsperiode ihres Gipfeltriebes hin untersuchten Arten ordnen sich in folgenden Reihen an:

№№	Dauer des Längenwachstums der Gipfeltriebe in Tagen	Anfangs—u. Endzeit der Periode des Längenwachstums des Gipfeltriebe	Arten der Bäume und Sträucher
1	165	16/iv — 27/ix	Viburnum Lantana, L.
2	150	26/iv — 22/ix	Acer platanoides, L.
3	145	1/v — 22/ix	Acer pseudoplatanus, L.
4		1/v — 22/ix	Acer tataricum, L.
5		6/v — 27/ix	Rhamnus cathartica, L.
6		6/v — 22/xi	Ulmus effusa, Willd.
7	140	6/v — 22/ix	Ulmus montana, With.
8	100	1/v — 18/viii	Betula verrucosa, Ehrh.
9		1/v — 18/viii	Salix fragilis, L.
10	65	1/v — 4/vii	Tilia cordata, Mill.
11	60	6/v — 4/vii	Quercus pedunculata, Ehrh.
12		6/v — 4/vii	Abies sibirica, Ledb.
13	50	1/v — 19/vi	Pinus silvestris, L.
14		6/v — 24/vi	Picea excelsa, Lk.
15		1/v — 9/vi	Daphne Mezereum, L.

4. Im Charakter des Wuchses der Gipfeltriebe lassen sich allgemeine gesetzmässige Züge für die einzelnen Abarten ein und derselben Gattung und sogar für die einzelnen Gattungen, die genetisch einander nahe stehen, erkennen.

5. Forstliche phyto-phänometrische Beobachtungen bestehen im Grunde genommen aus einer Kombination von biometrischen und phänologischen Versuchsmethoden.

Beobachtungen dieser Art sind bei manchen phänologischen und physiologischen Untersuchungen, z. B. bei einer Bestimmung der Zeit des Anfanges des Wachstums der Triebe, bei der Erforschung des Längerzuwachses des Triebes, beim Stamme eines Baumes jedoch für das Dickewachstum in Abhängigkeit von der Jahreszeit, oder in Teilen der Vegetationsperiode, unbedingt geboten. Viel wert voller jedoch erweist sich die Methode phyto-phänometrischer Beobachtungen jedoch auf dem Gebiete der ein gehen deren Erforschung der Biologie der Baumarten, was unbedingt netwending erscheint sowohl für Erweiterung des gegenwärtigen Staudes der Lehre vom Walde als auch für die Praxis der Forstwirtschaft.

6. In Abhängigkeit vom Charakter der Aufgaben der Forschungsarbeiten müssen forstliche phyto-phänometrische Beobachtungen entweder alle 10 Tage, oder alle 5 Tage, oder aber alltäglich, ja sogar mehrere Mal om Tage vorgenommen werden.

S. M.

Уплыў акругленьняў пры памерах вышынь і дыямэтраў на дакладнасьць вылічэньня аб'ёмаў дрэў.

Для высвятленьня першай часткі гэтага пытаньня зроблена параўнаньне аб'ёмаў, якія атрымліваюцца паводле масавых табліц з градацыяй вышынь праз аршын (узяты расійскія, апрацованыя праф. Арловым табліцы 29 А ў даведніку яго-ж укладаньня) з табліцай па банітэтах, якая мае больш грубую градацыю па вышынях — праз 3—4 арш. Для прыкладу ўзята хвоя ў 8 вяршкоў на вышыні грудзей. Табліца № 1.

Графа 5 дае лічбы акругленьняў, ці хібнасьцяй, што ў даным выпадку ўсё роўна, вышынь дрэў пры карыстаньні табліцамі банітэтаў. Графа 6 дае адпаведную памылку ў аб'ёмах, паказаную ў графе 7 у ‰ ад аб'ёмаў у графе 2. У графе 8-й паказаны ‰ хібнасьцяй, здабытых па формуле $\rho = 100 \frac{h}{H}$, а ў графе 9 разыходжаньне лічбаў па графах 7-ай і 8-ай.

З табліцы выразна відаць, што банітэты I, II, III і IV ахопліваюць кожны размах вышынь у 4 аршыны (II б.—3 арш.); I-а і IV, як крайнія, прымушаны абслугоўваць вельмі нізкарослы лес (для якога трэба, каб была градацыя V-а) і вельмі высокарослы лес (трэба мець для яго 1-в). Акругленьні в + 1 арш, што найбольш часта сустракаюцца ў практыцы, даюць памылкі ад 4,1‰ да 1,5‰; больш для нізкарослага лесу V—в. і менш для высокарослага (I-а). Сярэдняя памылка без падліку знакаў \pm з 12 лічбаў для ўсіх 6 банітэтаў роўна 2,5‰. Калі прыняць пад увагу знакі, дык сярэдняе з тых жа лічбаў будзе + 0,1‰. Адпаведныя лічбы і рэзультаты па формуле $\rho = 100 \frac{h}{H}$ (графа 8) гэтакія: ад 4‰ да 2,2‰; сярэднія 2,9‰ і з падлікам знакаў + 0,1‰.

Акругленьні да двух аршын даюць памылкі ад 8,9‰ да 3,1‰. Сярэдняя памылка без падліку знакаў роўна 5‰, а з падлікам іх + 0,5‰.

Адпаведныя лічбы паводле формулы гэтакія: 8,3 — 4,3‰; сярэднія 5,76‰ і + 0,4‰, хоць тут лепш лічыць апошняю лічбу за 0,0‰, калі ня ўводзіць у падлік крайнія лічбы + 8,3 для V і — 4,3 для I-а.

Абагульняючы вывад для 1 і 2 арш. акругленьняў і прымаючы пад увагу што для дрэвастанаў заўсёды мае месца кампэнсацыя вышынь, для табліц банітэтаў, якія маюць інтэрвал у вышынях у 4 арш., г. з. за максімальным акругленьнем у 2 арш., гэтыя акругленьні зусім не адчуваюцца на аб'ёмах.

Спрощаная формула $\rho = 100 \frac{h}{H}$ дае задавальняючыя рэзультаты, а іменна: 22 лічбы графы 9 у сярэднім без падліку знакаў даюць 0,5‰. З выпадкі даюць 1,2 — 1,3‰; значныя лічбы разыходжаньняў наглядаюцца для высокарослага лесу ў 48—55 арш., а іменна 2,6‰.

Грубый акругленьні вышынь, звыш 2 арш., значна падвышаюць ‰

хібнасьці, прычым акругленьні мацней адбіваюцца на нізкарослым лесе, напр., акругленьне да 4-х арш. (26 замест 22) для V банітэтаў дае хібнасьць у + 18,1⁰/₀, а для I-а (45 замест 49) дае — 5,4⁰/₀.

У другой частцы гэтай табліцы паказаны данныя з расійскіх часовых масавых табліц, якія вельмі яскрава падкрэсьліваюць іх поўную нявязку ні з банітыровачнымі адносінамі, ні з агульным размахам вышынь паводле падрабязных табліц. З прычыны толькі адных аграмадных зьніжэньняў вышынь для найбольш высокарослага, а значыцца, і каштоўнага лесу, дзякуючы акругленьню да вышыні I разраду атрымоўваюцца хібнасьці для III б.—7⁰/₀, II—13,6⁰/₀, I—20,7⁰/₀ і I-а—25,7⁰/₀, а для самага высокарослага лесу I-в б звыш 30⁰/₀. Апроч таго „часовыя“ даюць меншыя аб'ёмы, раўнуючы з іншымі, нават пры аднакавых вышынях, так, напрыклад, для 32,5 арш. па „часовых“ аб'ём 34,9 к. ф. у той час, як па табліцах Арлова 36,2 к. б., г. з.—2,7 к. ф. ці — 7,4⁰/₀.

Акругленьне ў дыямэтрах больш адбіваецца на аб'ёмах, чым акругленьне вышынь. Для асьвятленьня гэтага пытаньня падаюцца лічбы з удзельнага выданьня масавых табліц для хвоі па табл. I, тыпу I, групы 1, узросту 95 — 120 гадоў, паўднёвай і сухадольнай, вышынёю 42 арш. Табліца № 2.

Разглядаючы табліцу бачым, што ⁰/₀⁰/₀ хібнасьцяй ад акругленьня ў дыямэтры да 1 вяршка вельмі высокія, асабліва для тонкага лесу (+ 21,2⁰/₀), паступова памяншаючыся для тоўстага лесу (+ 8,2⁰/₀ для 11¹/₂ в.).

Спрощаная формула $\rho = 200 \frac{d}{D}$ дае добрыя рэзультаты, якія мала адрозьніваюцца ад графы 6. Пры агульнай таксацыі дрэвастану, дзе можна чакаць кампэнсацыі у дыямэтрах, можна абмяжоўваюцца грубымі ступенямі ў 1 вяршок, асабліва для тоўстага лесу. Пры дыфэрэнцыраванай таксацыі дрэвастану, з падлікам катэгорый лесу буйнага, сярэдняга і дробнага, а асабліва пры ўвядзеньні значнай колькасьці гатункаў, хоць бы напрыклад тых VI, што паказаны Арловым у сваіх „Очерках лесоустройства“, грубыя акругленьні да 1-го вяршка не павінны быць, затым што тады ня можна пазбавіцца вялікіх хібнасьцяй у разьмеркаваньні запасу на гатункі.

Ф. Турыцын.

Табл. 1 Крудэнэра, хвоя I тыпу, 1 групы, 95—120 г., паўдн. сухад.,
H = 42 арш.

Дыяметр у вяршках	Аб'ём у футах	Памыкі ад акруг- леньня		Памылка сярэдняя ±	‰ ‰ памылак	‰ ‰ памылак па форму- ле $200 \frac{d}{D}$	Ухіленьне ў ‰/‰
		+	-				
1	2	3	4	5	6	7	8
4	12,6						
4 ^{1/2}	15,8	+3,5	-3,2	±3,35	±21,2	±22,2	+1 ^{0/0}
5	19,3						
5 ^{1/2}	23,1	+4,1	-3,8	±3,95	±17,3	±18,1	+1 ^{0/0}
6	27,2						
6 ^{1/2}	31,5	+4,7	-4,3	±4,5	±14,3	±15,4	+1,1 ^{0/0}
7	36,2						
7 ^{1/2}	41,1	+5,3	-4,9	±5,1	±12,4	±13,3	+0,9
8	46,4						
8 ^{1/2}	51,9	+5,7	-5,5	±5,6	±10,8	±11,8	+1
9	57,6						
9 ^{1/2}	63,6	+6,3	-6,0	±6,15	±9,7	±10,5	+0,8
10	69,9						
10 ^{1/2}	76,3	+6,7	-6,4	±6,55	±8,6	±9,5	+0,9
11	83						
11 ^{1/2}	90,3	+7,5	-7,3	±7,4	±8,2	±8,7	+0,5
12	97,8						

III.

Намнажэньне мінэральнай матэрыі ў асобных ворганах аўса ў час росту.

(з работ аграхэмічнай лябараторыі).

Распрацоўка гэтай тэмы невялічкі ўклад у досыць ужо багаты матэрыял у галіне дасьледаваньня і вывучэньня пытаньня мінэральнага жыўленьня расьлін. Першыя падыходы да гэтага пытаньня з навуковага боку, трэба аднесці к канцу XVIII і пачатку XIX стагодзьдзя. Лічучы непатрэбным чапаць падрабязнасьці гісторыі і эвалюцыі пытаньня, я дадам да гэтай працы толькі самы кароткі нарыс першых крокаў у паказаным кірунку.

Яшчэ ў XVIII стагодзьдзі дасьледчыкі, робячы з рознымі мэтамі аналізы расьлін, наткнуліся на факт сталай прысутнасьці ў расьлінах попелу. Ні пры якіх умовах не ўдавалася спаліць расьлінны прадукт без астачы. Пры больш дакладным дасьледаваньні попелу розных расьлін у ім былі знойдзены элемэнты Са, Р, Fe, К, Si і шмат іншых, прычым з боку колькасьці і якасьці была заўважана вялікая разнастайнасьць. Гэты факт сталай прысутнасьці элемэнтаў попелу ў расьліне зьвярнуў на сябе ўвагу вучонага сьвету і перш асобныя вучоныя, а потым цэлыя навуковыя арганізацыі ставілі на вырашэньне пытаньне: ці ёсьць попел выпадковаю дамешкаю арганічных утварэньняў, ці ён уваходзіць у іх склад, як канечна патрэбная састаўная частка. Дасьледаваньні Шрадэра ¹⁾ (1800 г.) схілілі яго да першага пункту погляду, з чым згадзілася і Бэрлінская Акадэмія, прэміраваўшы яго адказ. Але ў работах таго-ж часу Сэнэб'е ²⁾ і Сасюра ³⁾ (1804 г.) і крыху пазьней Дэві ⁴⁾ і Шпрэнгэля ⁵⁾, праўда, без задавальняючых угрунтаваньняў, элемэнты попелу разглядаюцца ўжо, як пажыўная матэрыя, патрэбная расьліне. Толькі пры другой пастаноўцы пытаньня ў 1838 годзе Гэтынгэнскай Акадэміяй, праз 4 гады Вігман і Пальсторф ⁶⁾ далі пэўны, абгрунтаваны дасьледчымі па мэтаду пясковых культур данымі, адказ, што пры адсутнасьці ў глебе задавальняючай колькасьці растварымых мінэральных соляў разьвіцьцё расьлін затрымліваецца і нават зусім прыгнячаецца. Узьнікшая тады-ж лібіхаўская тэорыя мінэральнага жыўленьня расьлін ужо толькі ў мінэральным складзе глебавага асяродку бачыла яе каштоўнасьць. Крайна-

¹⁾ Schrader, 1800. Preisschrift über eigentl. Erzeugung der erdigen Bestandteile in den Getreidearten. Berlin.

²⁾ Senebier, 1800. Physiologie végétale. Bd. 3.

³⁾ Th. Saussure, 1804. Recherches sur la végétation.

⁴⁾ Дэві. 1819. Elements de chimie agricole.

⁵⁾ С. Sprengel. 1839. Die Lehre vom Dünger.

⁶⁾ Wiegman und Polstorff, 1842. Ueber die anorganische Bestandteile der Pflanze. Braunschweig.

сьці і талентнасьць распрацоўкі гэтай тэорыі ўзьнялі глыбокую зацікаўленасьць да гэтага пытаньня; як супраціўнікі гэтак сама і прыхільнікі яе жвава ўзяліся за дасьледаваньні, тым больш, што цяпер пытаньне аб попеле расьлін, апроч глыбокага тэарэтычнага, здабыў яшчэ і чыста практычны інтарэс, як грунтаваньне тэорыі ўгнаеньняў.

Дзякуючы шматлікавым бязупынным дасьледаваньням мы пашлі далёка ўперад, але, ня гледзячы на вялікія дасягненьні ў гэтай галіне, пытаньне застаецца яшчэ далёка ня вычэрпаным, далёкім ад канчатковага вырашэньня; яшчэ шмат ёсьць нявыразнага, гаданьяў, спрэчных пунктаў, вымагаючых падрабязнай распрацоўкі, правэркі і вывучэньня. Але ўсё-ж, падобна таму, як даўней няўцямнасьць і таемнасьць магутных праяў сілы прыроды прымушала чалавека гадаць аб нейкіх невядомых магутных боствах, а цяпер паступовае высвятленьне сутнасьці зьяў дало тлумачэньне ўсяму на падставах законаў фізыкі і хэміі і скінула багоў з іх п'едэсталу, таксама і з боку сьвета расьліннага ўведзенае Арыстотэлем паняцьце „сілы пажыўной“ (*Vis vegetativa*) і, падобна для сьвету жывёлін, плюс „сілы адчуваючай“ (*Vis sensitiva*) цяпер усё больш і больш пачынае губляць сваё значэньне і ўжо мала калі даводзіцца клікаць на дапамогу асобную „жыцьцёвую сілу“ для тлумачэньня якіх-небудзь фактаў, а звычайна ўжо ёсьць магчымасьць гаварыць аб кожным працэсе, што адбываецца ў расьліне, як аб прыватным выпадку агульных фізычных і хэмічных законаў. Недалёка той дзень, калі ўсё складанае жыцьцё расьлін будзе выяўлена шэрагам формул, згодных з гэтымі законамі. Тады вывучэньне расьліны можна будзе лічыць скончаным і сказаць: „Так. Доўгі і цяжкі быў шлях, але мы дабіліся мэты—навуковая думка перамагла ўсе перашкоды“.

Тэма гэтай працы прапанована мне загадчыкам катэтры Агранамічнай і Арганічнай Хэміі Горы-Горацкага С.-Г. Інстытуту (цяпер Акадэміі) праф. О. К. Зіхман-Кедравым і выканана пад яго непасрэдным кіраваньнем, за вошта лічу прыемным абавязкам выразіць яму сваю падзяку.

Аб'ект аналізу.

За матар'ял дасьледваньня ў гэтай працы паслужыў авёс шацілаўскі-гаспадарчы, насення дасьледчай станцыі Іванова, насеены на блізкай да гароднай глебе калякцыйнага гадавальніку катэдры агульнага земляробства інстытуту, на другім кліне 4-х палёвага севазвароту—1 кораньплоды на гнаі, 2—авёс, 3—зярнёвыя бабовыя і 4—авёс. Сяўба была зроблена 15-га траўня 1924 году радоваю сьвалкаю, маякуючы па пяць пудоў на дзесяціну ў 27 см. паміж радкоў. Авёс узышоў 25-га траўня. Першая проба была ўзята 1-га чэрвеня спачатку кусткаваньня. Наступныя спробы браліся правільна на 10-ы, 20-ы і 30-ы дзень кожнага месяца аж да моманту поўнай сьпеласьці—20-га жніўня (з іх спроба ад 10—VIII была ня зусім прыгоднаю, дзякуючы адсутнасьці даных аб колькасьці расьлін і масе). Знойдзена, што ўраджаі даў 390 пудоў з дзесяціны паветрана-сухой расьліннай масы. Спробы падганяліся да паветрана-сухога стану сушэньнем на сонцы і толькі ў пэрыяд асаблівай сакавітасьці зялёнай масы ў сушні. Карэньне бралася да глыбыні каля 25 см., прычым пільна адмываліся ад часьцінак глебы, але, вядомая рэч, абсалютнай велічыні карнявой масы прыходзіцца надаваць толькі прыблізнае адноснае значэньне; дзеля гэтага ўва многіх выпадках укладаньня табліц я браў пад увагу галоўным чынам надземную масу.

Перад аналіз на дземяная частка спробы аўса дзялілася на асобныя органы—каласкі; ліставыя пласткі і сьцяблы. Ліставыя похвы пакідаліся пры сьцяблах пры дапушчэнні, што яны па сваіх функцыях, а значыцца, і па хэмічнаму складу будуць больш набліжана да сьцябёл, чым да ліставых пласткоў. Даныя, што адносяцца да гэтай часткі працы з пералічэннем паветрана-сухой масы на 100 расьлін, сгрупаваны ў наступнай табліцы:

Табліца I.

Час, калі ўзята спроба.	Стадыя развіцця і стан расьліны.	Доўжыня ў см.	Колькасць расьлін у спробе	Лік сьцябёл	Энэргія куст-каванья	Сырая маса	% сухой матэрыі.	Паветрана-сухая маса спробы ў грамах					Паветрана-сухая маса 100 расьлін у грамах				
								Агульная	Каласкі	Ліставыя пласткі	Сьцяблы	Карэньні	Агульная	Каласкі	Ліставыя пласткі	Сьцяблы	Карэньні
10/VI	Пачатак куст-каванья	26	60	—	—	75,5	12,0	8,90	—	5,0	2,85	1,05	14,9	—	8,3	4,8	1,8
20/VI	Моцна раскусцілася	45	68	182	2,7	299,0	15,0	46,0	—	28,0	12,7	5,3	67,7	—	43,4	16,5	7,8
30/VI	Яшчэ ня выкаласавалася	78	50	137	2,7	502,0	17,0	87,9	—	33,5	45,5	8,9	129,3	—	49,3	66,9	13,1
10/VII	Ужо высыпала ў верх сьцяблах а ў прыдатковых не	95	70	123	1,7	863,0	24,0	201,5	13,1	36,7	146,2	14,5	300,7	18,7	52,3	209	20,7
20/VII	Красаваньне ніжэй пачало жоўкнуць	120	35	60	1,7	533,0	25,0	128,7	17,0	22,2	80,0	9,5	367,7	48,6	63,4	228,6	27,1
30/VII	Стадыя наліву.	130	35	54	1,5	490,0	31,0	148,5	29,9	19,1	90,0	9,5	422,1	85,5	54,5	255,0	27,1
20/VIII	Поўная сьпе-ласць	130	25	34	1,4	332,0	43,0	135,5	32,6	13,2	79,0	10,7	542,8	130,6	52,8	316,6	42,8

Уся праца, калі браліся расьлінныя спробы і падганяліся да паветрана-сухога стану, была зроблена асыстэнтам пры катэдры агульнага земляробства А. Ц. Савельевым, пасля чаго матар'ял любезна быў перададзены ім катэдры аграрна-хімічнай хэміі для аналітычнага дасьледваньня, што было зроблена мною.

Мэтодыка аналізу.

Падрыхтоўка матар'ялу рабілася драбленьнем у мятне „Excelsior“. Звычайна для аналізу бралася наважка ў 5 гр. паветрана-сухой матэрыі. Апопліваньне рабілася на суха у вялікіх парацлянавых тыглях; апэрацыя цягнулася звычайна 3—4 гадзіны. Хістаньні ў роўналежных дасягалі 0,2^{0/0} на сухую масу. У сэнсе паўнаты і чыстаты апопліваньня поўнасьцю задавальняючых рэзультатаў удалося дабіцца толькі ў зярнят і карэньняў, ісьцяблі-ж і ліставыя пласткі звычайна давалі попел шэрага ці нават цёмна-шэрага колеру. Гэтым я і абмяжоўваўся, дзеля таго што паліць затрыманы ў попеле вугаль прапаканьнем паводле літаратурных даных не мэтазгодна, па-першае, таму, што гэтая апэрацыя доўгая і цяжкая, і ў гэтай жа часе дае ніякай грунтоўнай пераважнасьці*), па-другое, як мною было канстатавана, пры ёй адбываецца частковае раскладаньне вуглясоляў з прычыны чаго ў роўналежных бываюць значныя разыходжаньні,

*) Э. Х. Роллов. 1914. О количественном определении кали и фосфора в оастиельных материалах.

і па-трэцяе, пры гэтым няўхільны значныя страты фосфарнае кісьлі ¹⁾ з прычыны рэдакцыі яе вуглем, а таксама пераходу ў цяжкарастворны нават у гарачай азотнай кісьлі стан. Зробленыя мною некалькі параўнальных апопліваньняў паказаным сухім спосабам і мокрымі—сумесьсю азотнай і серкавай кісьлі, і адною азотною кісьляю ў к'ельдальляўскіх колбах з уткнутымі ў рылцы апошніх невялічкімі лейкамі, каб ня выходзіла з параю кісьлі P₂O₅—паказалі, што, як відаць з прыведзеных даных, пры асьцярожным сухім апопліваньні страты фосфарнай кісьлі, чаго звычайна вельмі баяцца, ня бывае (Табл. II). Пасьля выдаленьня крамнёвай кісьлі паўторным выпарваньнем і высушваньнем пры 120°C. фільтрат даганяўся да аб'ёму (звычайна ў 100 куб. см.), частка якога трацілася для выяўленьня P₂O₅, а рэшта для азначэньня сумы паўтарачных вокіслаў СаО і MgO.

Табліца II.

P₂O₅ у 0/0 на сухую масу пры розных спосабах апопліваньня.

Аб'ект аналізу.	Сухое апопліваньне	Гарт з HNO ₃	Гарт з HNO ₃ + N ₂ SO ₄
Плады бабоў	1,362 ; —	1,358 ; 1,316	1,358 ; 1,358
Лісьцё бабоў	0,685 ; 0,683	0,681 ; 0,677	0,687 ; 0,681

Выяўленьне P₂O₅ рабілася па Nyssens'у. Мэтад быў вельмі ўдалым, як з боку шывкасьці выкону, таксама і дакладнасьці рэзультатаў, нават пры дужа малых колькасьцях P₂O₅. За аптымальную колькасьць у абодвух сэнсах мною бралася 15—20 гр. на аналіз.

З прычыны таго, што гэтым мэтадам наша лябараторыя пачала карыстацца і для іншых работ, ужываючы яго пры розных умовах, я прадпрыняў больш падрабязнае вывучэньне умоў гэтага мэтаду, што паказала ўжо пры папярэдніх дасьледваньнях шэраг пераважнасьцяў гэтага мэтаду ў параўнаньні з падвойным асаджваньнем, а іменна стойкасьць яго ў прысутнасьці вельмі значных колькасьцяў серкавай і сяляннай кісьлі, калі яны перш нейтралізаваны. 50 к. см. малібдату, што звычайна раіцца было намі скарачана з мэтаю эканоміі рэактыву да 25 к. см., але з тым, аднак, разьлікам, каб колькасьць P₂O₅ не перавышала 25 mgr. на аналіз, што відаць з наступных атрыманых мною даных:

Табліца III.

Асаджальнасьць P₂O₅ 25 куб. см. малібдату пры розных яе колькасьцях

Узята	19,9 mgr.	24,8 mgr.	29,2 mgr.	34,6 mgr.	37,1 mgr.	44,5 mgr.	49,4 mgr.
Атрымана	19,9 „	24,8 „	27,9 „	34,2 „	36,5 „	39,3 „	37,6 „
Не даасаджана	—	—	1,3 „	0,4 „	0,6 „	5,2 „	11,8 „

¹⁾ S. Leavith u S. Le Leclere. Journ. Amer. Chem. Soc. 1908. T. 30 стр. 391—394.

У другой частцы фільтрату перш за ўсе адшуквалася сума паўтарачных вокіслаў— $\text{Fe}_2\text{O}_3 + \text{Al}_2\text{O}_3$. Асаджэньне рабілася звычайным ацэтатным спосабам у гарачым стане. Пасьля першага-ж асаджваньня, асад адмываўся ад сыядоў Са і прапьяканьнем знаходзілася сума $\text{Fe}_2\text{O}_3 + \text{Al}_2\text{O}_3 + \text{P}_2\text{O}_5$. Растварэньня і паўторнага асаджваньня не рабілася, таму што Fe асобна не азначалася, а з іншымі мэтамі апэрацыя гэта мае мала сэнсу. Дзеля таго што колькасьць P_2O_5 ужо была вядома з папярэдняга азначэньня па Nyssen'sy, вылічэньне сумы $\text{Fe}_2\text{O}_3 + \text{Al}_2\text{O}_3$ рабілася наступным чынам. У выпадку, калі колькасьць P_2O_5 была менш паловы агульнай сумы $\text{Fe}_2\text{O}_3 + \text{Al}_2\text{O}_3 + \text{P}_2\text{O}_5$, яна проста адымалася, калі-ж была больш паловы, дык для вылічэньня сумы $\text{Fe}_2\text{O}_3 + \text{Al}_2\text{O}_3$ браўся каэфіцыэнт 0,5. Гэткі разрахунак, прымаючы пад увагу невялікую колькасьць Al_2O_3 ў параўнаньні з Fe_2O_3 , быў-бы ў значнай ступені правільным (усе лічбы ў данай працы атрыманы такім спосабам), каб жалеза і алюміні ў першую чаргу зьвязваліся і асаджваліся ў відзе фасфатаў і толькі лішак іх адносна P_2O_5 асаджваўся-б у відзе асноўнага ацэтату. Але я пазьней, шукаючы прычыны досыць частага разыходжаньня паміж роўналежных, знайшоў, што гэта далёка не заўсёды бывае і прытым не заўсёды ў аднакавай ступені. Уласьне кажучы як аб тым ёсьць паказаньне ў Трэдвеля¹⁾, FePO_4 часткаю растварыма ў воцатавакіслым і хлёрным жалезе што поўнасьцю сыцьвердзілася і пры зробленых мною досьледах. Гэтая акалічнасьць сваім вынікам мае тое, што ў выпадку лішку Fe_2O_3 ў параўнаньні з P_2O_5 , воцатава-кіслае жалеза, што ствараецца ў раствору, часткаю распускае выпаўшае пры нейтралізаваньні FePO_4 , і таму ня ўся P_2O_5 ападае, а частка яе праходзіць у фільтрат. Апошняя акалічнасьць бывае і пры лішку P_2O_5 , дзеля таго што, хоць тут усё Fe_2O_3 зьвязваецца з P_2O_5 , пры бязумоўнай прысутнасьці ў раствору іонаў Cl' і NO'_3 ствараецца HCl і HNO_3 , якія раствараюць нязначныя колькасьці FePO_4 , у выніку чаго ў раствору зьяўляецца воцатавакіслае і хлёрнае жалеза ад чаго яшчэ больш павялічваецца растварэньне FePO_4 , тым больш, што выпадзеньне асаду, што бывае пры награваньні, асноўнага воцатавакіслага жалеза, будзе пазбаўляць перашкоды для ходу рэакцыі ў гэтым кірунку. У рэзультате адбываецца выпадзеньне некаторай колькасьці жалеза ў відзе асноўнага ацэтату, ня гледзячы на прысутнасьць лішку P_2O_5 .

З паданых меркаваньняў ясна, што ў абодвух выпадках, г. з. пры лішку і пры недахопу P_2O_5 , раўнуючы з Fe_2O_3 , у асадзе мы заўсёды будзем мець P_2O_5 , колькасьць якой зьмяняецца пры паўторных аналізах нават аднаго і таго-ж раствору ў залежнасьці ад ступені кісьліннасьці, ад тэмпературы і ад прамежку часу, па працягу якога робіцца апэрацыя асаджваньня і фільтраваньня, г. з. фактараў, заведама неідэнтчных для асобных аналізаў; адсюль недакладнасьць і няпэўнасьць рэзультатаў.

Выходзячы з гэтых меркаваньняў, хоць шляхам многакратнай паўторнасьці (у некаторых асобных выпадках да 6-ці разоў) мне і ўдалося дабіцца больш—меньш сталых лічбаў, паданья ў гэтай працы сумы паўтарачных вокіслаў ні ў якой меры ня могуць прэтэндаваць на абсалютнае значэньне, а толькі на адноснае.

У згущаным, пасьля аддзяленьня паўтарачных вокіслаў, фільтраце рабілася асаджваньне СаО шчаўяманійнаю солью. Стольгане ў сваім падручніку²⁾ раіць рабіць асаджваньне ў нейтральным ці слаба-шчола-

¹⁾ F. P. Treadwell. Курс аналитической химии. Рус. перевод А. Комаровского Т. I стр. 302.

²⁾ Н. Я. Демьянов. Общие приемы анализа растительных веществ. Приложение А. А. Стольчане. 1923 г.

кавым асяродку; але пры першым-жа аналізе мяне занепакоіла выпадаўне асаду фосфарнакіслага кальцыю. І вось, з мэтай вызначыць, ці не хаваецца тут крыніца хібнасьці, я зрабіў некалькі аналізаў касьцянага попелу, з колькасьцю СаО каля 55% і Р₂О₅ каля 45%, у якім выпадку хібнасьць павінна была-б выявіцца асабліва выразна. Рэзультаты аналізу роўных колькасьці раствору попелу паказаны ў табліцы.

Табл. № IV.

Рэакцыя слаба-шчолакавая			Падкісьлена СН ₂ СООН		
СаО ў mgr		MgO ў mgr	СаО ў mgr		MgO ў mgr
Вагасн. м.	Аб'ёмн. м.	Аб'ёмн. м.	Вагасн. м.	Аб'ёмн. м.	Аб'ёмн. м.
32,7	—	0,37	29,4	—	0,56
37,5	—	0,34	29,9	—	0,46
—	25,5	0,43	—	30,0	0,48
—	24,2	0,34	—	29,9	0,48

Адсюль ясна, што пры шчолакавай альбо нейтральнай рэакцыі частка СаО злучаецца з фосфарнаю кісьляю, чым уплывае на рэзультат зьніжаюча пры аб'ёмным мэтадзе і падвышаюча пры вагасным. На колькасьць MgO, у выпадку наступнага азначэньня, рэакцыя асяродку пры асаджваньні СаО таксама адбываецца, але ў які бок, г. з. набліжаючы ці аддаляючы ад абсалютнай велічыні, мною ня высветлялася; паводле-ж літаратурных даных¹⁾ памылка адносна MgO менш пры слабакіслай рэакцыі асяродку, чым пры нейтральнай ці слабащчолакавай. З сказанага вынікае, што пры аналізах расьлінных прадуктаў, звычайна багатых на фосфарную кісьлю, асаджваньне СаО павінна рабіцца выключна пры слабым падкісьленьні воцатаваю кісьляю.

Магні знаходзіўся аб'ёмным мэтадам. Цытраваньне салянаю кісьляю па мэціл-аранжу, якое звычайна раіцца пасля прамываньня асаду сьпірытусам і высушваньня яго, пры бязупынным памешваньні да тых пор, покуль зьявіцца слабаружовы колер, апэрацыя надта цяжкая і марудная, дзеля таго што ўсю патрэбную колькасьць цытру прыходзіцца даліваць каплямі, ружовы колер то зьяўляецца то зьнікае, і к канцу нават аднаго цытраваньня, якое займае 10—15 хвілін, вока морыцца настолькі, што гадаць аб канцы цытраваньня бывае вельмі цяжка, асабліва прымаючы пад увагу прысутнасьць разбоўтанага ў жыжцы фільтру. Дзеля гэтага мною было спрабавана адваротнае цытраваньне едкім калі па мэціл-аранжу. Рэзультаты вышлі самыя лепшыя, як ў сэнсе лёгкасьці, раўнуючы з простым, таксама і дакладнасьці атрыманых даных. Апроч таго, пры зробленых мною параўнаньнях аб'ёмнага мэтаду з вагасным быў выяўлены факт значнага разыходжаньня мэтадаў, а іменна, аб'ёмны даваў яўна падвышаныя рэзультаты. Пры першых-жа спробах высьвятленьня прычыны гэтага ўдалося знайсці, што ўся сутнасьць тут зьмяшчалася ў шчо-

¹⁾ E. Murmann. Zeitschr. f. an. Chem.

лчансьці фільтраў. Спрабаваныя мною фільтры для свайго ўсераднення патрабавалі наступных колькасцяў $\frac{1}{10}$ N HCl

Са звычайнай фільтравальнай паперы дыям. 12 см. 1,44 к. см.

” ” ” Schleicher i Schüll № 597, ” дыям. 9 ” 0,81 ” ”

” I. Green, ” grade ” 597, ” 11 ” 0,32 ” ”

” ” ” ” ” 8 ” 0,24 ” ”

Папярэдняя апрацоўка фільтраў аманіякам, прамываньне спірытусам і высушваньне (паўтарэнне апэрацый аналізу) на шчолачнасьць іх ніякага ўплыву не зрабілі. Ясна, што такія колькасці без увядзеньня належнай папраўкі зусім скажалі-б рэзультаты аналізу. Параўнаньне вагаснага мэтаду з аб’ёмным у яго новай мадыфікацыі, з папраўкаю на шчолачнасьць фільтраў і са ўжываньнем адваротнага цытраваньня, дало поўнае супаданьне. Дзеля гэтага мною ў гэтай працы азначэнне магнія рабілася наступным чынам: у шклянку з асадам, фільтрам і 25—30 к. см. вады даліваўся лішак $\frac{1}{10}$ N HCl; фільтр з асадам разбоўтваўся ў жыццы і праз 10—15 хвілін адцытроўваўся дэцынармальным растварам едкага калі. Праўда, трэба зазначыць, што для дакладнасьці цытраваньня тут патрэбен мэціл-аранж вельмі добрай якасьці, каб ня цяжка было ўгледзець пераход колеру.

Даныя аналізу:

Цяпер прыйдем да вывучэння аб’екта аналізу і рэзультатаў аналітычнага даследваньня. Што да выбранага мною мэтаду вывучэння аналітычнага матар’ялу па асобных кампанентах, дык я лічу, што ён дасць больш магчымасці ўявіць сабе нагул характар працэсаў, што адбываюцца ў расьліне, чым вывучэнне гэтых працэсаў па асобных органах, хоць як той, так і другі спосаб маюць свае вартасці і недахопы.

Сухая маса:

Намнажэнне сухой масы аўсом паказана ў наступнай табліцы, і для нагляднасьці тое-ж самае паказана ў вобразе графікам № 1.

Табл. V.

Намнажэнне і размяшчэнне па асобных органах сухой масы.

Месяц і дзень.	Абсолютна сухая маса на 100 расьлін у грамах.						Сухая маса асобных органаў у $\frac{0}{100}$ ад наземнай.			
	Агульн.	Надземн.	Карэньні	Каласкі.	Лістав. пласткі.	Сьцяб.	Каласкі.	Лістав. пласткі.	Сьцяблі.	Карэн.
10 чэрвеня . . .	13.4	11.7	1.7	—	7.4	4.3	—	63.2	36.8	14.5
20 ” . . .	60.3	53.2	7.1	—	38.4	14.8	—	72.2	27.8	13.3
30 ” . . .	112.8	101.0	11.8	—	43.1	57.9	—	42.7	57.3	11.7
10 ліпеня . . .	270.7	251.8	18.9	16.7	47.1	188.0	6.6	18.7	74.7	7.5
20 ” . . .	331.4	306.6	24.8	43.7	57.4	205.5	14.3	18.7	67.0	8.9
30 ” . . .	380.0	355.2	24.8	76.8	49.4	229.0	21.6	13.9	64.5	7.0
20 жніўня . . .	486.4	447.2	39.2	115.6	47.3	284.3	25.9	10.6	63.5	8.8

Як відаць з паказанага, намнажэньне сухой масы аўсом цягнецца да самага канца вэгэтацыі, да моманту поўнай сьпеласьці. Па асобных ворганах гэты працэс адбываецца наступным чынам. У першую чаргу найбольш інтэнсіўна разьвіваецца асыміляцыйны апарат расьліны—ліставыя пласткі, складаючы ў пэрыяд стадыі кусткаваньня 72% усяе наземнай масы. Пасьля гэтага намнажэньне сухой масы ліставымі пласткамі скарачаецца; яна дасягае максімуму к стадыі красаваньня, пасьля чаго, у зьвязку з адыходам плястычнага матар'ялу ў гэнэрацыйныя органы, зьніжаецца. Пасьля сканчэньня кусткаваньня і разьвіцьця ліставых ворганаў ідзе пабудова сьцябла; інтэнсіўнасьць гэтага працэсу крыху павышаецца з моманту высыпаньня. Разьвіцьцё каласкоў і карнявой масы адбываецца вельмі роўнамерна, але з рознаю інтэнсіўнасьцю. Нарэшце, к поўнай сьпеласьці сухая маса разьмяшчаецца па асобных ворганах гэтак: ліставыя пласткі—10,6% ад усяе надземнае масы, сьцяблы з ліставымі похвамі — 63,5% і каласкі з зярнятамі 25,9%.

Тут зьвяртае на сябе ўвагу надта нізкі процант зярнят. Як выявілася, гэтае зьявішча цалком залежыць ад умоў вэгэтацыі 1924-га году, дзеля таго, што ўраджай 1923 году пры гэткай-жа прыблізна абсалютнай велічыні (360 п. на 1 дзесяціну) на гэтым-жа вучастку і гэтага-ж сорту аўса трымаў каля 37,7% чыстых зярнят. Сяўба аўса ў 1923 годзе была зроблена таго-ж дня, як і ў 1924-м г., г. з. 15 траўня, але поўнай сьпеласьці ён дасягае толькі 4-га верасьня. Такім чынам пры іншых роўных умовах вэгэацыйны пэрыяд быў больш на 15 дзён і, нібы адпаведна гэтаму, процант зярнят больш на 50%. З мэтай высьвятленьня такой розьніцы я падаю мэтэаралёгічныя даныя за 1923 і 24 г. г.

Табл. VI.

Д Э К А Д Ы	Сярэднія велічыні				Колькасць ападкаў у мм.	Сярэднія велічыні				Колькасць ападкаў у мм.
	Сярэдняя сутачная t°	Адносная вільготнасьць	Хмарн. аб 1-й г.у. дзень	Сярэдняя сутачная t°		Адносная вільготнасьць	Хмарн. аб 1-й г.у. дзень	Колькасць ападкаў у мм.		
1 чэрвеня—10 чэрвеня	11,7	70,1	8,1	25,0	15,9	75,7	6,1	61,6		
11 „ —20 „	15,2	73,1	7,5	17,0	17,2	73,0	4,6	10,2		
21 „ —30 „	14,4	82,1	9,4	33,6	16,2	78,2	7,6	29,0		
1 ліпеня—10 ліпеня	17,6	69,6	6,7	9,6	16,4	75,3	6,6	17,7		
11 „ —20 „	18,9	73,0	6,1	72,6	15,5	81,5	8,8	47,8		
21 „ —30 „	14,8	81,5	9,1	21,9	19,7	72,5	7,4	17,7		
31 „ —10 жніўня	14,3	83,2	8,9	74,6	19,3	69,9	6,1	12,8		
11 жніўня —20 „	13,0	79,1	7,1	26,7	18,8	70,5	3,6	0,8		
21 „ —30 „	14,8	78,5	6,4	17,5	—	—	—	—		
31 жніўня — 4 верасьня	15,0	79,0	6,5	7,1	—	—	—	—		

Дзея таго, каб мець які-небудзь крытэры пры параўнаньні прыведзеных даных з мэтай высвятленьня іх уплыву на разьвіцьцё аўса, пабачым да якіх вывадаў прыходзяць дасьледчыя па гэтай пытаньню.

І. Віхляеў¹⁾ у артыкуле „Критический период в развитии овса“ на падставе сваіх нагляданьняў і на падставе ранейшых Пульмана, Скраштаева, Бельскага, Лявіцкага і Стэбута прыходзіць да наступных вывадаў.

1) Колькасьць атмасферных ападкаў на працягу ўсяго вэгэацыйнага пэрыяду знаходзіцца ў простае залежнасьці да ўраджаю аўса і працяжнасьці вэгэацыйнага пэрыяду (які, што відаць з прыведзеных аўтарам даных, вар'іруе ў межах 87—131 дня. А. Л).

2) Сярэдняя тэмпература—у адваротнай залежнасьці да таго-ж.

3) Ураджай аўса знаходзіцца ў простае залежнасьці да вільготнасьці глебы ў пэрыяд перад і ў час высыпаньня: высокая вільготнасьць—добры ўраджай, нізкая—дрэнны.

4) Чым менш градусаў цяпла прыпадае на 1 мм. ападкаў перад і ў час высыпаньня на працягу ўсяго вэгэацыйнага пэрыяду, тым вышэйшы ўраджай і наадварот.

5) Сярэдняя хмарнасьць і колькасьць дзён з ападкамі на працягу ўсяго вэгэацыйнага пэрыяду знаходзіцца ў простае залежнасьці да ўраджаю аўса.

6) Чым вышэй адносная вільготнасьць паветра, перад і ў час высыпаньня, тым вышэйшы ўраджай.

Дзея таго, што істотных разгалосьсяў у літаратуры па гэтай пытаньню няма, я абмяжуюся прыведзенымі данымі.

Дапасоўваючы гэтыя палажэньні да нашага выпадку і прымаючы пад увагу, што, як відаць з табліцы VI, мэтаралягічныя ўмовы 1923 і 1924 году ад пачатку вэгэацыі і да 20 VII амаль што зусім схожы, можам адзначыць, што ўплыў „крытычнага пэрыяду“ (у нашым выпадку ад 1/VII да 20/VII) ня мог адбіцца адмоўна на процанту зярнят у ўраджаі, таму што ўмовы гэтага пэрыяду ў абодвух выпадках былі зусім добрыя (у залежнасьці ад гэтага і абсалютныя ўраджаі, як зярнят, так і саломы таксама ня могуць лічыцца нізкімі ў абодвух выпадках). Пасьля 20 VI кліматычныя фактары 1923 і 1924 г. г. рэзка разыходзіцца—застаюцца вельмі памыснымі для 1923 году і надта непамыснымі (высокая тэмпература, нізкая адносная вільготнасьць, мінімальнае хмарнасьць, нязначнасьць ападкаў) для 1924 году. Так што рашучы ўплыў на значнае паніжэньне процанту зярнят ў ураджаі і хуткае дасьпяваньне трэба прыпісаць на сухасьць пэрыяду наліваньня зярнят, з якога боку асабліва вызначылася апошняя дэкада ад 10 VIII да 20 VIII.

Аналягічныя нагляданьні для пшаніцы даюць Дэгэрэн і Дзюпон²⁾ і П. Мелікаў³⁾. Уласьне кажучы імі зазначана, што ў выпадку сухасьці апошняга пэрыяду вэгэацыі пшаніцы, зэрня пры падвышанай бялковасьці і попельнасьці зьніжае ўраджай. Аўтары тлумачаць гэта тым, што цяга азотнай матэрыі ў зэрня пшаніцы спыняецца к стадыі малочнай сьпеласьці, між тым, як, што ўстанаўляецца работамі І. П'ера, Бэртэло і Андрэ, крухмал намнажаецца ў самы апошні пэрыяд, нават пасьля ўсыханьня лісьця. Пры асаблівай сухасьці апошняга пэрыяду сьцябло хутка ўсыхае і ў зярняці колькасьць бялку застаецца сталаю, а крухмалу аказваецца

1) И. Вихляев. Жур. Оп. Агр. 1908 г. стр. 257.

2) Дегерен и Дюпон. Ann. Agron. 1902. XXVIII p. 522.

3) П. Меликов. Жур. Оп. Агр. 1900 г. стр. 256.

значна менш, што знадворна і праяўляецца ў падвышэнні процанту азоту ў зерні і зніжэнні процанту зярнят у ўраджаі. Вельмі магчыма, што гэткае тлумачэнне можна даць і да аўсоў; гэта нібы свярджаецца выпадкам, які я разглядаю. Калі паданае тлумачэнне вернае, дык тады можна было-б выказаць і больш агульнае тлумачэнне, а іменна, што ўсякая прычына, спыняючая ці асабляючая сынтэз і падачу ў зерня вугляводаў, як напрыклад, недахоп калію, знадворна праявіцца ў зніжэнні ўраджаю зерня і ў падвышэнні яго бялковасці.

Агульная попельнасць.

Табліца VII.

Намнажэнне і размяшчэнне па асобных зорганях нячыстага попелу ў аўса.

Месяц і дзень	Колькасць нячыстага попелу на 100 расьлін у грамах						Няч. попел у ⁰ /10 ⁰ /о ад сухой масы						Няч. попел асобн. зоргану у ⁰ /10 ⁰ /о ад надземнай масы			
	Агульная	У надземн. частцы	У карэньных	У каласках	У ліставых пластках	У сьцяблох	Агульны	У надземн. частцы	У карэньных	У каласках	У ліставых пластках	У сьцяблох	Каласкі	Ліставыя пласткі	Сьцяблы	Карэньні
10/VI	1,89	1,53	0,36	—	0,98	0,55	14,1	13,1	21,0	—	13,2	12,8	—	64,1	35,9	23,5
20/VI	9,00	6,87	2,13	—	4,99	1,88	14,9	12,9	30,0	—	12,9	12,7	—	72,6	27,4	31,0
30/VI	15,38	12,49	2,89	—	6,35	6,14	13,6	12,3	24,5	—	14,7	10,6	—	50,9	49,1	23,1
10/VII	30,45	24,94	5,51	0,90	7,32	16,72	11,3	9,9	29,1	5,4	15,5	8,9	3,2	29,4	67,4	22,1
20/VII	29,03	25,53	3,50	2,28	8,62	14,63	8,8	8,3	14,1	5,2	15,0	7,1	9,0	33,7	57,3	13,7
30/VII	30,48	26,36	4,12	4,45	7,63	14,28	8,0	7,4	16,6	5,8	15,4	6,2	16,0	28,9	54,2	15,6
20/VIII	51,77	36,71	15,06	5,62	8,61	22,48	10,7	8,2	38,4	4,9	18,2	7,9	15,3	23,5	61,2	41,0

Як відаць з прыведзеных у табліцы даных, часткаю прадстаўленых графікам № 2, колькасць попелу ў расьліне хутка ўзрастае да пэрыяду высыпаньня, далей застаецца амаль што стацыянарнаю, у апошнюю-ж дэкаду ізноў імпатна ўзрастае; у процантах на сухую масу попельнасць бязупынна падае, дасягае мінімуму 30/VII, а за апошнюю дэкаду таксама падвышаецца. У каласках намнажэння залы ідзе бязупынна да моманту пэўнай сьпеласці, прычым асабліва інтэнсыўна ў пэрыяд канца красаваньня і пачатку наліваньня; у процантах перад пачаткам наліваньня вызначаецца нязначны максімум. Найбольш энэргічна намнажэнне попелу, таксама, як гэта было ўжо зазначана адносна сухой масы, адбываецца ў ліставых пластках; максімум намнажэння прыпадае на 20/VII, пасля чаго бывае адыход попельнай матэрыі; апошняя дэкада, як і ўва ўсіх іншых зорганях, дае падвышэнне. У сьцяблох процантава попел траціцца з яўна выражаным мінімумам спачатку наліваньня у абсалютных-жа велічынях наглядаецца два максімуы — першы меншы 10/VII, а другі большы 20/VIII. У карэньных таксама адбываюцца значныя хістаньні колькасці попелу, як у абсалютных велічынях, так і ў процантавых адносінах. Для высвятленьня характару змянення попельнасці у карэньняў я падаю наступную табліцу.

Табл. VIII.

Процантaвы склад попелу карэньняў.

Месяц і дзень	0/онячыст. попелу	У % ад агульнай колькасці нячыстага попелу				
		P ₂ O ₅	K ₂ O	CaO	MgO	Усяго падліч. элемент.
10 чэрвеня	21,0	4,89	10,33	4,00	2,11	21,33
20 „	30,0	3,21	6,43	3,08	1,59	14,31
30 „	24,5	3,95	6,31	2,41	1,63	14,30
10 ліпеня	29,1	2,83	6,43	3,52	1,03	13,81
20 „	14,1	4,85	10,76	3,58	1,55	20,74
30 „	16,6	3,88	9,00	2,95	1,32	17,15
10 жніўня	13,4	4,48	11,79	3,36	1,29	20,92
20 „	38,4	1,32	6,62	2,41	0,77	11,12

Уявіць нейкую законамернасць змен процантaвых і абсалютных велічынь агульнага попелу і асобных элементаў попелу ў карэньнях на першы погляд вельмі цяжка. Але калі мы параўнаем гэтыя даныя з мэтэаралагічнымі фактарамі (табл. VI), дык адразу ўбачым паміж іх простую сувязь. Уласне кажучы, як абсалютная колькасць попелу, таксама процантавае размяшчэнне па асобных ворганях, колькасць падлічаных элементаў і процант попелу ад сухой масы, змяняюцца ў правільнай залежнасці ад колькасці ападкаў і тэмпературы, якія характарызуюць вільготнасць глебы (на вялікі жаль, даных непасрэдных нагляданняў над зьменамі вільготнасці глебы я ня маю). Асабліва гэта кідаецца ў вочы для 20/VII і 20/VIII.

Дэкада ад 10/VII да 20/VII вызначаецца надта вялікаю параўнальнаю колькасцю ападкаў—47,8мм., мінімальнаю за ўвесь перыяд вэгэтацыі сярэдняю тэмператураю—15,5°C, максімальнаю адноснаю вільготнасцю—81,5% і максімальнаю хмарнасцю—8,8 балаў. У выніку ўплыву гэтых фактараў у попеле карэньняў к 20/VII адбыліся наступныя змены параўнальна са станам за 10/VII: змяншэнне колькасці попелу на 36,5%, павялічэнне процанту падлічаных элементаў, за кошт павялічэння амаль што выключна фосфарнай кіслы і паўтарачных вокіслаў, таксама на 51,5%.

Дэкада ад 10/VIII да 20/VIII вызначаецца адваротнымі мэтэаралагічнымі ўмовамі—поўнаю адсутнасцю ападкаў, параўнальна высокаю тэмператураю—18,8°C, мінімальнаю адноснаю вільготнасцю—70,5% і мінімальнаю хмарнасцю—3,6 балаў. Згодна з гэтым колькасць попелу ў карэньнях (з прычыны адсутнасці лічбаў за 10/VIII абсалютная колькасць раўнуецца з 30/VII) павялічылася на 265,5%, процант попелу павялічыўся на 186%, а процант падлічаных элементаў паменшыўся на 46,8% за кошт тэй самай матэрыі.

Сярод аналітычных лічбаў ёсць яшчэ два тэрміны, што набліжаюцца да такіх за 20/VII—10/VI і 10/VIII. Мэтэаралагічныя ўмовы належных

дэкад у першым выпадку кажуць самі за сябе; за 10—VII гэта ня так яскрава, але мы будзем мець надобны малюнак, калі сгрупуем мэтэаралагічныя даныя па пэнтадах. Ад 26/VII да 31/VII тэмпература—20,9°C, ападкі—6,9мм.; ад 1/VII да 5/VIII тэмпература 20,0°C, ападкі—1,1 мм.; ад 6/VIII да 10/VIII тэмпература—18,6°C, ападкі—11,7мм. З гэтых даных відаць, што на попеле карэньняў за 10/VIII адбыўся ўплыў апошняй пэнтады якая параўнальна значна адмяняецца ад дзвёх папярэдніх.

Адзначаючы факт непасрэднай сувязі паміж зьмяненняў попелнасьці, пакуль што толькі карэньняў, і мэтэаралагічных фактараў, можна са значнаю доляю праўдападобнасьці характар гэтай сувязі прадставіць у наступным відзе. Пры збытку выпадзеньня атмасфэрных ападкаў глебавы раствор разжыжаўся і паступленьне мінеральнай матэрыі ў расьліну з глебы часова спынялася; а дзеля таго што асыміляцыя ня спынялася і інтэнсыўнасьць цёку вады ўгару па трубачках узмацнялася, прасоўваньне растварымых соляў у асымілюючыя органы з карэньняў ня спынялася, што і запрычынілася зьбядненьню апошніх. Пераважнае-ж затрыманьне ў карэньнях паўтарачных вокіслаў і фосфарнай кісьлі прымушае дапусьціць частковае выпадзеньне фосфатаў жалеза і алюмінія асадам пасля паглыненьня іх з раствораў. З другога боку адсутнасьць ападкаў, высокая тэмпература і інсалацыя значна зьніжалі вільготнасьць глебы і павялічвалі канцэнтрацыю глебавага раствору, што пры асматычным выраўніваньні канцэнтрацыі і запрычынілася значнаму падвышэньню попелнасьці, як карэньняў, таксама і ўсяе расьліны, і належнаму якасному зьмяненню яе складу.

Фосфарная кісьля.

Табл. IX.

Намнажэньне і разьмяшчэньне па асобных органах аўса P₂O₅.

Месяц і дзень	Колькасьць P ₂ O ₅ на 100 расьлін у грам.						P ₂ O ₅ у 0/0 ад сухой масы						P ₂ O ₅ асобных органаў ад надземнай			
	Агульная	У надзем. частцы	У карэньнях	У каласках	У ліставых пластах	У сьцяблах	Агульная	У надзем. частцы	У каласках	У лістав. пластах	У сьцяблах	У карэньнях	Каласкі	Ліст. пласт.	Сьцяблы	Карэньні
10/vi	0,282	0,265	0,017	—	0,184	0,081	2,105	2,260	—	2,482	1,878	1,038	—	69,5	30,5	6,7
20/vi	1,261	1,193	0,068	—	0,986	0,207	2,091	2,242	—	2,568	1,395	0,961	—	82,7	17,3	5,8
30/vi	1,982	1,868	0,114	—	1,094	0,774	1,757	1,850	—	2,538	1,337	0,968	—	58,5	41,5	6,1
10/vii	3,060	2,904	0,156	0,216	0,849	1,839	1,129	1,153	1,300	1,802	0,974	0,824	7,5	29,2	63,3	5,4
20/vii	2,866	2,697	0,169	0,330	0,696	1,671	0,865	0,880	0,754	1,213	0,813	0,680	12,2	25,8	62,0	6,3
30/vii	3,143	2,983	0,160	0,581	0,591	1,811	0,827	0,840	0,757	1,197	0,791	0,645	19,5	19,8	60,7	5,3
20/viii	3,791	3,592	0,199	1,134	0,492	1,966	0,778	0,803	0,981	1,040	0,610	0,509	31,6	13,7	54,7	5,6

Намнажэньне фосфарнай кісьлі расьлінаю адбываецца ў першы перыяд вэгэтацыі да стадыі высыпаньня і пачатку красаваньня, пасля-ж гэтага адбываецца толькі перамяшчэньне яе з аднаго органа ў другі.

Гэта палажэнне, якое можна лічыць правільным і да іншай пажыўной матэрыі, з бязумоўнасьцю выходзіць з існуючых літаратурных даных, як для аўса, таксама і для некаторых іншых злакавых расьлін; некаторае, праўда, падвышэньне пры аналізе агульнай масы можа быць вынікам падрастаньня. Але ў разгледжаным мною выпадку пры самым канцы вэгэтацыі наглядаецца павялічэньне колькасьці P_2O_5 , каля 25% (бач. табл. IX і графік № 3). Гэтае павялічэньне ўжо ня прыходзіцца глумачыць уплывам падрастаньня, а яно можа быць высветлена, як і адзначанае вышэй агульнае павялічэньне попельнасьці ў апошні пэрыяд, толькі ўплывам мэтарэлягічных фактараў — адсутнасьцю ападкаў, нязначнаю адноснаю вільготнасьцю і хмарнасьцю і высокаю тэмпэратураю, што ўсё разам выклікае значнае павялічэньне канцэнтрацыі глебавага раствору. Значыцца, у выпадку яўнага парушэньня роўнавагі глебавага раствору і клетачнага соку расьліны, намнажэньне можа быць і пасля пачатку красаваньня, хоць гэта ўжо і ня выклікаецца тады фізыялягічнаю патрэбнасьцю расьліны ў фосфарнай кісьлі, як пажыўной матэрыі. Праўда, у апошнім выпадку можна гаварыць аб фізыялёгічнай патрэбнасьці расьліны захаваць сябе ад пагібелі з прычыны страты тургару, але гэта працэс ужо больш фізычны.

Дынаміка фосфарнай кісьлі па асобных ворганах прадстаўляецца ў наступным відзе. Найбольш энэргічна намнажэньне ідзе ў ліставых пластках; пры надзвычайна высокім процантавым зьмесьце (2,5%) у абсалютных велічынях ліставымі пласткамі намножана за першы пэрыяд ад 25/V да 20/VI — 26% усяе фосфарнай кісьлі, якую расьліна ўбірае за ўвесь пэрыяд вэгэтацыі. Максімум колькасьці P_2O_5 у ліставых пластках прыпадае на тэрмін за 30/VI, а можа быць і яшчэ на некалькі дзён далей. Пасля максімуму пачынаецца зьмяншэньне колькасьці фосфарнай кісьлі, і цягнецца яно да канца вэгэтацыі з прычыны адыходу кісьлі ў генэрацыйныя ворганы. Што тут ёсьць, ці толькі адыход P_2O_5 з ліставых пластоў, ці перавышэньне адыходу над надыходам, сказаць нельга. Тая акалічнасьць, што к канцу вэгэтацыі ў ліставых пластках аказалася 0,492 гр. на 100 расьлін, замест 1,094 гр. за 30/VI, г. з. відавочная страта роўна 0,602 гр. тады, як толькі каласкі намножылі за гэты час 1,334 гр., пры няўпэўнай праўдападобнасьці дапушчэньня, што фосфарная кісьля можа падавацца з карэньняў проста ў зерня, мінаючы лябараторыю першапачатковага сынтэзу, кажа за тое, што ўгледжаная страта P_2O_5 у ліставых пластках ёсьць толькі перавышэньне расходу над прыходам. Калі-ж прыняць пад увагу, што тую-ж функцыю асыміляцый часткова робяць і ліставыя похвы і зялёныя часткі сьцябёл, дзе таксама ёсьць значнае намнажэньне P_2O_5 і аддача яе, дык дакладнасьць падагнага вышэй доваду зьмяншаецца. Калі-ж палічыцца яшчэ з тым, што паступленьне P_2O_5 у расьліну, як агульнае паказанае намі правіла, канчаецца к пэрыяду калашэньня і пачатку красаваньня, дык гэта прымусяць нас прыняць першае палажэньне, іменна, што тут ёсьць толькі адыход P_2O_5 . У каласках, у абсалютных велічынях P_2O_5 правільна ўзрастае да самага моманту поўнай сьпеласьці, у процантах-жа на сухую масу каласкі пры высыпаньні маюць параўнальна значную колькасьць P_2O_5 — 1,3%; к часу красаваньня ён падае да 0,754%, а ў час наліваньня ізноў ўзрастае да 0,981%. К моманту поўнай сьпеласьці ў каласках намножылася ўсяго толькі 31,6% фосфарнае кісьлі ад агульнае колькасьці яе ў надземнай масе — процант надзвычайна нізкі. У сьцяблох дакладна паўтараецца малюнак зьмяненьняў ува усёй расьліне; у процантавым стасунку колькасьць P_2O_5 бязупынна падае да самага канца

вэгэтацыі, застаючыся к моманту поўнай сьпеласьці ўсё-ж надта высокай, лічучы, як на сухую масу сьцябёл (0,61%), таксама і ў процантах ад агульнай колькасці $P_2 O_5$ у надземных ворганях (54,7%).

Трэба адзначыць, што за дэкаду ад 10/VII да 20/VII страчана $P_2 O_5$ у колькасці 0,194 гр. на 100 расьлін, што ад агульнай колькасці дасць 6,3%. Дзеля таго, што падобны факт наглядаецца за гэты-ж пэрыяд і для CaO і для MgO , іменна CaO страцілася 0,157 гр., што дае 10,7% і MgO — 0,180 гр., што дае 20,9% ад агульнай колькасці, дык тут ня можа быць і гаворкі аб якой-небудзь выпадковай хібнасьці аналізу.

Факт страты попельнай матэрыі расьлінамі даведзен многалікавымі дакладнымі дасьледамі. I. Pier'a, Arendt'a¹⁾, G. André²⁾, Wimmer'a³⁾, Th. Pfeiffer'a⁴⁾ P. L. Gile⁵⁾, I. O. Carrero, L. Seidler'a і Stutzer'a⁶⁾ і шмат іншымі, і зьяўляецца агульнапрызнаным. Гэтыя-ж досьледы паказалі, што страта попельнай матэрыі адбываецца ў пэрыяд ад красаванья і далей да канца вэгэтацыі, прычым для K і Na яна наглядаецца амаль што заўсёды і ў асобных выпадках дасягае значных разьмераў — 66% для Na і 40% для K; для N, $P_2 O_5$, Ca і Mg гэтае зьявішча менш стала і страты хістаюцца ў межах ад 0 да 20%. Што-ж да прычын і кірунку, праз якія адбываюцца гэтыя страты, дык гэта пытаньне яшчэ мала высветлена, і па ім да гэтага часу яшчэ ня зусім дагаварыліся.

Лічучы непатрэбным займацца тут тэарэтычнымі меркаваньнямі па гэтаму пытанню і пакідаючы гэта да бліжэйшай будучыні, калі дасьледваньне дадатковага матэрыялу, сабранага ў тым-жа 1924 годзе, а можа быць і некаторыя экспэрымэнтальныя вышукваньні, дадуць магчымасьць гаварыць больш пэўна і довадна, я пакуль што абмяжуюся паказаньнямі на тое, што страта попельнай матэрыі прыпадае на адзначаную ўжо дэкаду ад 10/VII да 20/VII, якая яўна вызначаецца з мэтэаралогічнага боку. Гэты факт я лічу далёка не выпадковым.

Другім фактарам, што зьявляе на сябе ўвагу пры разглядзе дынамікі фосфарнай кісьлі ў аўсе, зьяўляецца ненармальна высокі процант яе ў сьцяблах. Паказаная акалічнасьць напэўна кажа за тое, што ў глебе быў значны лішак гэтага злучэньня і лішні раз сьцьвярджае палажэньне, што матэрыя, якой знаходзіцца ў глебе з лішкам, намнажаецца з лішкам і ў расьліне. З досьць шырокага артыкулу В. Буткевіча⁷⁾ па літаратуры пытаньня аб магчымасьці дапасаванья гэтага прынцыпу для азначэньня плодароднасьці глебы шляхам аналізу расьлін выходзіць, што ім сапраўды можна карыстацца, але пры досьць умелай арыентыроўцы і ў уплыве іншых вэгэцыйных фактараў, ці нівеліруючы іх у кожным асобным выпадку, ці дакладна падлічваючы. Да такога-ж вываду схіляецца і І. Якушкін⁸⁾ які зазначае, між іншым, значную сталасьць складу зерня, асабліва ў аўсе, і значныя варыяцыі гэтага складу ў саломе. І. Савін⁹⁾, які прычыць магчымасьці дапасаванья гэтага мэтаду, кажа, што намнажэньне

¹⁾ Arendt. Vers. St. I 1859.

²⁾ G. André. C. R. № 24 і 26 1912 г.

³⁾ Wimmer Vers. St. 1905 стар. 1—70.

⁴⁾ Th. Pfeiffer. Fuhl landw. Ztg. 1919 N 5/6.

⁵⁾ P. L. Gile et I. O. Carrero. Sur. of Agricult. Research. Depart. of. Agriculture. Washington 1915. T. V, стар. 358—364.

⁶⁾ L. Seidler und A. Stutzer. I. Landw. T. 65 1908 г. стар. 273—277.

⁷⁾ В. Буткевич. Отчет сел.-хоз. лаб. Мин. Земл. при Лесном Ин-те за 1898 г. стар. 90—163.

⁸⁾ И. Якушкін. Жур. Оп. Agr. 1915. стар. 118.

⁹⁾ И. Саввин. Жур. Оп. Agr. 1916 г. стар. 1—12.

фасфатаў ў саломе показвае на лішак P_2O_5 у расьліне, але ня ў глебе, дзеля таго што пры адных і тых самых колькасцях P_2O_5 у пажыўным раствору (пясковыя культуры) пры розных ураджаях расьліна ці намагае яе ў саломе, ці не. Я лічу, што гэтую прычынасьць можна прыймаць ня як прычынасьць, а як сьцьвярджэньне, дзеля таго што паказаны аўтарам выпадак гаворыць за тое, што для вырабу адной масы ўраджаю колькасць P_2O_5 у пажыўным раствору было з лішкам, а для другой, большай — з недахопам.

Паўтарачныя вокіслы

Табліца X.

Намнажэньне і разьмяшчэньне па асобных ворганах $Fe_2O_3 + Al_2O_3$

Месяц і дзень	Кольк. $Fe_2O_3 + Al_2O_3$ на 100 расьлін у грамах						Fe_2O_3 у $\frac{0}{100}$ ад сухой масы						Fe_2O_3 асобных ворганаў у $\frac{0}{100}$ ад надземнай			
	Агульная	У надземн. частцы	У карэньнях	У каласках	У ліставых пластках	У сьцяблах	Агульная	У надземн. частцы	У карэньнях	У каласках	У ліставых пластках	У сьцяблах	Каласкі	Ліставыя пласты	Сьцяблы	Карэньні
10 чэрв.	0,074	0,037	0,037	—	0,027	0,010	0,554	0,316	2,185	—	0,363	0,234	—	72,7	27,3	100,0
20 „	0,294	0,157	0,137	—	0,123	0,034	0,487	0,294	1,930	—	0,300	0,228	—	78,4	21,6	87,4
30 „	0,381	0,199	0,182	—	0,129	0,070	0,338	0,197	1,545	—	0,300	0,120	—	65,0	35,0	91,7
10 ліпен.	0,648	0,294	0,354	—	0,137	0,157	0,239	0,117	1,875	—	0,292	0,083	—	46,7	53,3	120,4
20 „	0,710	0,334	0,376	0,025	0,199	0,110	0,214	0,109	1,519	0,057	0,347	0,059	7,4	59,7	32,9	112,9
30 „	0,709	0,331	0,378	0,041	0,198	0,092	0,187	0,093	1,523	0,053	0,402	0,042	12,3	59,8	27,8	113,9
20 жніўн.	1,443	0,446	0,997	0,060	0,139	0,247	0,297	0,100	2,544	0,052	0,296	0,087	13,5	31,1	55,4	224,0

Паўтарачныя вокіслы азначаліся мною толькі дзеля таго, што пры азначэньні CaO і MgO іх трэба было выдаліць, чаму сума не падзялялася на Fe_2O_3 і Al_2O_3 . Гэтая акалічнасьць, а таксама паказаныя вышэй недахопы скарыстанай метадыкі, не дазваляюць сказаць чаго-небудзь пэўнага аб гэтых злучэньнях і іх дынаміцы, дзеля чаго адносна да іх я абмяжуюся толькі самымі агульнымі ўвагамі.

Намнажэньне паўтарачных вокіслаў, таксама як і іншай попельнай матэрыі (бач табл. X і графік № 4), амаль што спыняецца пасля стадыі каласаванья; за апошнюю дэкаду колькасць іх падваяецца. З надземных ворганаў больш за ўсё паўтарачных вокіслаў знаходзіцца ў ліставых пластках. У зерні процантавая колькасць іх амаль што не мяняецца і намнажэньне, праўда нязначнае, адбываецца прапарцыянальна сухой масе. Зьвяртае на сябе ўвагу намнажэньне паўтарачных вокіслаў у карэньнях, дзе іх затрымоўваецца больш $\frac{2}{3}$ усяе паглынёнае расьлінаю колькасці; гэта прымушае гадаць аб частковым, як мы ўжо бачылі, выпадзеньні іх з раствору ў відзе асаду $FePO_4$, а галоўным чынам, здаецца, пераход да калёйнага стану ў відзе гідрату. Апошняя акалічнасьць на кіроўвае думку аб ролі соляў жалеза ў расьлінах, як рэгулятараў рэакцыі асяродку ў каморках расьлін. Ці ня ў гэтым зьмяшчаецца адна з важных функцый маларухамага жалеза ў расьліне і між іншым, што да такой высокаадчувачай да зьмен рэакцыі матэрыі, як хлёрафіл?

Вапна и магнэзія.

Табл. XI.

Намнажэньне і размяшчэньне па асобных ворганах СаО.

Месяц і дзень	Кольк. СаО на 100 расьлін у грамах						СаО ў % ад сухой масы						СаО асобн. ворганаў ў % ад надземнай			
	Агульная	У надземн. частцы	У караньнях	У каласках	У ліст. пласт.	У сьцяблах	Агульная	У надземн. частцы	У караньнях	У ліст. пласт.	У сьцяблах	У каласках	Каласкі	Ліст. пласты	Сьцяблы	Караньні
10 чэрвеня	0,137	0,123	0,014	—	0,089	0,034	1,027	1,053	0,850	—	1,205	0,791	—	72,4	27,6	11,2
20 „	9,697	0,631	0,066	—	0,488	0,143	1,156	1,206	0,923	—	1,271	0,969	—	77,3	22,7	10,5
30 „	0,748	0,678	0,070	—	0,493	0,185	0,663	0,672	0,592	—	1,144	0,320	—	72,7	27,3	10,5
10 ліпеня	1,457	1,263	0,194	0,074	0,668	0,521	0,538	0,501	1,035	0,445	1,418	0,277	5,9	52,9	41,2	15,5
20 „	1,300	1,175	0,125	0,122	0,560	0,493	0,392	0,383	0,505	0,280	0,977	0,239	10,5	47,6	41,9	10,5
30 „	1,539	1,418	0,121	0,302	0,673	0,443	0,405	0,399	0,490	0,393	1,363	0,193	21,3	47,5	31,2	8,5
20 жніўн.	2,391	2,028	0,363	0,362	0,815	0,851	0,492	0,454	0,925	0,314	1,523	0,294	17,8	40,2	42,0	13,5

Табл. XII.

Намнажэньне і размяшчэньне па асобных ворганах MgO.

Месяц і дзень	Кольк. MgO на 100 расьлін у грамах						MgO ў % ад сухой масы						MgO асобн. ворганаў ў % ад надземнай			
	Агульная	У надземн. частцы	У караньнях	У каласках	У ліст. пласт.	У сьцяблах	Агульная	У надземн. частцы	У караньнях	У ліст. пласт.	У сьцяблах	У каласках	Каласкі	Ліст. пласты	Сьцяблы	Караньні
10 чэрвеня	0,078	0,070	0,008	—	0,051	0,019	0,581	0,600	0,447	—	0,685	0,453	—	72,2	27,8	10,5
20 „	0,434	0,400	0,034	—	0,324	0,076	0,719	0,752	0,476	—	0,843	0,515	—	80,9	19,1	8,5
30 „	0,620	0,573	0,047	—	0,362	0,211	0,550	0,566	0,400	—	0,840	0,364	—	63,2	36,8	8,5
10 ліпеня	0,820	0,763	0,057	0,042	0,336	0,385	0,303	0,303	0,301	0,254	0,713	0,205	5,6	44,0	50,4	7,5
20 „	0,640	0,586	0,054	0,114	0,221	0,251	0,193	0,191	0,219	0,260	0,384	0,122	19,2	38,0	42,8	9,5
30 „	0,796	0,742	0,054	0,269	0,192	0,281	0,210	0,209	0,219	0,351	0,389	0,122	36,8	25,9	37,3	7,5
20 жніўн.	1,017	0,901	0,116	0,346	0,245	0,310	0,209	0,202	0,296	0,299	0,518	0,109	38,4	27,2	34,4	12,5

З разгляданьня вышэйпаданых табліц, а таксама графікаў № 5 і № 6 відаць, што намнажэньне, як СаО, таксама і MgO, падваяе ўжо знаёмы нам малюнак—максімум намнажэньня к 10/VII, потым страта к

20/VII і зноў значнае намнажэнне ў апошнюю дэкаду. Для MgO таксама яўна вызначаецца адыход з лісьця ў каласкі, для CaO гэты працэс адбываецца нібы больш за кошт сьцябёл. Магчыма, што гэта толькі так здаецца. У каласкох намнажэнне CaO і MgO ідзе бязупынна да часу поўнай сьпеласьці, прычым найбольш інтэнсыўна яно ідзе ў дэкаду ад 20/VII да 30/VII, г. з. у пэрыяд красаванья і пачатку наліваньня; к часу поўнай сьпеласьці ў зерня перацякае 17,8% CaO і 38,4% MgO ад усяе колькасці надземнай часткі. У момант каласаванья CaO было ў каласкох у 1,8 разы больш, чым MgO, але к часу красаванья гэты стасунак набліжаецца да адзінкі і далей падыход іх у каласкі ідзе роўналежна з вельмі невялікім увесь час лішкам CaO над MgO. Спецыяльнымі досьледамі S. Schulze і Ch. Godet'a ¹⁾ Willstätter'a ²⁾ і іншых аўтараў вызначана, што ў зерні злакаў і многіх іншых расьлін MgO змяшчаецца значна больш, чым CaO, а ў плеўках—наадварот. У працы В. О. Корнеенкі³⁾ мы натыкаемся, між іншым, нават на такі цікавы факт: у дасьледжаных аўтарам зернях вэнгэрскага аўса з плеўкамі і бяз плевак, пры амаль што роўналежным, з невялікаю пераважнасьцю CaO над MgO намнажэнні іх у зярнят з плеўкамі, у голым зерні ў першыя стадыі CaO знайшліся толькі сьляды, і толькі к моманту поўнай сьпеласьці самыя нязначныя колькасці.

Паводле думкі О. Loew'a ⁴⁾ аднёю з функцый магнія ёсьць яго ўдзел у перамяшчэньні па расьліне фосфарнай кісьлі. Поўнасьцю згаджаючыся з гэтаю думкаю, якая сьцьвярджаецца размяшчэньнем MgO P₂ O₅ у зерні ⁵⁾, я на падставе адзначанай мною роўналежнасьці прыцёку CaO і MgO к гэнэрацыйным ворганам, лічу магчымым выказаць дапушчэньне, што тую-ж функцыю з роўным посьпехам выконвае і кальцы. Тую-ж акалічнасьць, што ў самае зерня CaO пападае ў меншай колькасці, чым MgO, і лічу праўдападобным тлумачыць затрымліваньнем яго і адкладам у плеўках шчаўлёваю кісьляю, акая выдзяляецца пры сынтэтычнай дзейнасьці зялёных плевак; гэта больш чым праўдападобна, хоць покуль што яшчэ ня сьцьверджана досьледамі.

¹⁾ S. Schulze u Ch. Godet. Trans. Am. Chem. Soc., New. Haven 1908, 30—36.

²⁾ Willstätter. Ztschr. f. Physiol. Chem. 58, стр. 438—439.

³⁾ В. О. Корнеенко. Химия скоро и позднеспелых сортов овса. 1922.

⁴⁾ О. Loew. Flora. 75. 1892. 368—394.

⁵⁾ M. Lewy. Zeitschr. f. Unters. d. Nahrungs. u. — Genussum. Bd. 19. Л. 31 — II, 1910 г. стр. 113—136.

Вывады.

Аналітычнае дасьледваньне гэтай працы дае магчымасьць зрабіць наступныя вывады:

1. Намнажэньне сухой масы аўсом цягнецца аж да поўнай сьпеласьці.
2. Умовы „крытычнага пэрыяду“ не прадракаюць цалком ураджаю.
3. Сухасьць апошняга пэрыяду ў разьвіцьці аўса можа выклікаць значнае зьніжэньне процанту зярнят у ўраджаі.
4. Значнае намнажэньне мінэральнай матэрыі можа быць і ў апошніх стадыях вэгетацыі расьліны, супраць думкі, якая асталявалася ў літаратуры, што гэтае намнажэньне канчаецца к моманту каласаваньня і пачатку красаваньня.
5. Зьмяненні ў канцэнтрацыі глебавага раствору хутка і яўна адбываюцца на попелнасьці карнявой сыстэмы, то павялічваючы, то зьніжаючы яе і мяняючы якасны склад.
6. Расьліна пры належных умовах можа траціць попелную матэрыю, што звычайна наглядаецца і зазначаецца ў пэрыяды пасья высыпаньня і пачатку красаваньня расьліны.
7. Паміж стратаю і намнажэньнем попелнай матэрыі і іх перамяшчэньнем па расьліне—з аднаго боку і мэтэаралогічнымі фактарамі—з другога—наглядаецца простая сувязь.
8. З моманту высыпаньня наглядаецца моцны адыход пажыўной мінэральнай і арганічнай матэрыі з лясьці ў гэнэрацыйныя ворганы аўса, што асабліва прыкметна для P_2O_5 і MgO .
9. Намнажэньне CaO , MgO і P_2O_5 каласкамі аўса можа адбывацца да моманту поўнай сьпеласьці.
10. CaO і MgO намнажаюцца каласкамі аўса амаль што роўналежна, прычым найбольш інтэнсыўна ў пэрыяд красаваньня і пачатку наліваньня.
11. Да $\frac{2}{3}$ паступаючых у расьліну паўтарачных вокіслаў затрымліваюцца ў карэньнях.
12. З надземных ворганаў прыкметныя колькасьці паўтарачных вокіслаў намнажаюцца ліставымі пласткамі.

Увагі, што да мэтодыкі дасьледваньня.

- а) Звычайны ацэтатны спосаб азначэньня сумы паўтарачных вокіслаў вельмі недакладны з прычыны нясталасьці выпадаючай колькасьці P_2O_5 .
- б) Калі ў раствору, што аналізуецца, ёсьць прыкметныя колькасьці фосфарнай кісьлі, асаджэньне кальцыя павінна рабіцца пры слабым падкісьленьні воцатаваю кісьляю, з мэтай, каб ухіліцца хібнасьцяй, што могуць быць пры нейтральным ці слабащочлакавым асяродку.
- в) Пры аб'ёмным азначэньні магнаія вельмі зручна ўжываць адваротнае цытраваньне едкім калі па мэціл-аранжу.

А. Ю. Лявіцкі.

Мікрарэльеф лёсавых плято і ўплыў яго на глыбіню пакладу карбанатнага пазёму.

(з нагляданьняў на Стэбутаўскім дасьледчым полі).

Калі глядзець на глебавую карту Эўрапейскай Расіі ¹⁾, дык Горкі (б. Магілёўская губ., цяпер Аршанская акруга БССР), ляжаць амаль што ў сярэдзіне шырокай паласы падзолавых глеб. Паводле клясыфікацыі праф. Афанасьева ²⁾ гэта раён моцна падзолавых глеб, які пераходзіць на поўначы ў падзолы, а на поўдні ў зону леса-стэпавых глеб.

Як геаграфічны пункт, Горкі характарызуюцца: шырата $54^{\circ}17'$, даўгата $30^{\circ}59'$ на ўсход ад Грынвіцкага палудзеньніку.

Даныя аб кліматалягічных фактарах запазычаны з работ праф. Кайгародава ³⁾.

Табл. № I.

ФАКТАРЫ	ЗА													Год	Вегетац. перыяд
	С	Л	С	К	Т	Ч	Л	Ж	В	К	Л	С			
Тэмпература паветра . .	-8,2	-7,5	-3,0	4,6	12,5	16,7	18,2	16,2	11,0	4,7	-1,0	-5,8	4,9	15,0	
„ глебы на 40 см.	-0,5	-0,5	-0,4	1,2	10,3	15,4	17,0	16,6	13,1	7,9	2,7	0,5	6,9	14,5	
„ „ „ 80 „	-0,8	-0,4	0,4	1,1	7,8	13,8	15,5	15,8	13,4	9,0	4,3	1,9	7,0	13,3	
Колькасць ападкаў у мм.	29	25	27	31	42	66	82	68	46	41	39	33	52,9	30,4	

Вэгетацыйным перыядам лічыцца час ад траўня да верасня ўключна.

Трэба зазначыць значную цеплаправоднасьць глеб, дзеля таго, што розніца тэмператур паветра і глебы нязначная, асабліва на працягу вэгетацыйнага перыяду. Сярэдняя моц вятроў 3—4 м. ў сэк.; кірунак галоўных вятроў на паўднёвы захад.

Стэбутаўскае дасьледчае поле (гл. карту), дзе рабілася гэтая праца, ляжыць на тэрасападобным вучастку вадападзелу рэк Капылкі і Парасіцы (прытокі ракі Проні, што ўпадае ў Сож).

¹⁾ Складзена Сібірцавым, Танфільлевым і Фэрмхіным, 1900. Маштаб 60 в. у цалі.

²⁾ Афанасьев Я. Н. „Зональные системы почв“, Горкі 1924 г.

³⁾ Кайгородов А. И. 1) „Температурный режим Горещкого района“.

2) „Осадки, снеговой и ледяной покров Западной Области“ ч. I Осадки. Горки 1924 г.

Глебаўтвараючаю матчынаю пародаю вучастку зьяўляецца тыповы палава-жоўты лёс, грубінёю каля 10—12 м. Ніжэй ідуць гумозна-балотавыя стварэнні ў 1—1,5 м. грубіні (даўні тарфянік), а пад імі два пласты марэн, падзеленыя пяскамі. Бліжэйшаю карэннаю пародаю будуць, як відаць, вапнякі дэвонскага ўзросту. Грунтовае вады на кантакце лёсу і марэны тут ня знойдзена.

Мэханічны склад лёсу наступны:

Табл. 2.

Адрас і №№ перарэзаў	Глыбіня	Пясковых		Пылаватых		Фізычныя гліны 0,01 мм.	Увага
		0,25 мм. ∧	0,25—0,1 мм.	0,1—0,05 мм.	0,05—0,01 мм.		
Горкі, шурф № 1	0—10	0,9	2,4	19,1	46,9	30,7	Паводле Сабаніна
„ шчыліна № 63	220	—	0,3	27,8	49,1	22,8	„ „
„ яма № 82 г. п.	170	0,1	0,6	9,0	61,1	29,2	„ „
„ „ № 61 г. п.	0—10	0,6	1,1	10,0	51,9	36,4	„ „

Як відаць з паданых аналізаў, лёс больш чым на $\frac{2}{3}$ складаецца з частак пясковага пылу, а колькасць пясковай фракцыі выражаецца ў 0,1—3,0%. Колькасць фізычнай гліны ў лёсе хістаецца дужа шырока, як усторч, таксама і паземна.

Прысутнасць на ўсёй плошчы Стэб. дасьл. поля аднае досць грубай матчынай пароды пры тэрасападобным тыпе рэльефу і, вядомая рэч, аднакавым клімаце, здаецца, павінна было-б абумовіць стварэнне аднастайнага глебавага насыцілу, з аднастайнымі марфалагічнымі азнакамі, у тым ліку і з адною глыбінёю ўскіпаньня. Між тым пры павярхоўным поглядзе на глебавую карту данага вучастку нас дзівіць складанасць і стракатасць глебавага насыцілу.

Прычына гэтай стракатасці ў мікрарэльефе. Амаль што паземная тэраса Стэб. дасьл. поля на ўсім сваім працягу мае выгляд усхваляванага мора, раптам застылага ў нярухомасці. Грабяні хвал — груды — праз кожныя 30—40 м. змяняюцца западзінаю паміж іх, далей ізноў уздымаецца гэткай-жа вышыні хваля і зноў змяняецца западзінаю і г. д. Падобнасць да ўсхваляванага мора ўзмацняецца яшчэ тым, што ўсё гэта агулам, як груды, таксама і западзіны выцягнуты з поўначы на поўдзень і раўналежна адно да другога. Паверхня такога характару ідзе ў гару і займае ўвесь вадаладзел. Перад намі тыповы малюнак мікрарэльефнага комплексу. Самаю характэрнаю азнакаю такога комплексу зьяўляецца частае чаргаванне адмоўных элементаў (западзіны, лейкі, ісподачкі, нізінкі, далінкі і інш.) з дадатнымі: (плято, грывы, купалі).

Найбольш поўна і з розных бакоў вывучан мікрарэльеф паўднёвых стэпавых зон. Яшчэ Дакучаеў, працуючы ў зоне чарназёмаў першы зьвярнуў увагу на збытак мікразападзін, „западзіны стракацілі стэп, як восьпіны твар“, паводле яго вобразнага выразу¹⁾. Але, як кажа праф. Афанасьеў, „западзінныя краявіды“ сустракаюцца ад стэпавых (поўдзень)

¹⁾ Докучаев В. В. „Наши степи прежде и теперь“ 1892 г.

да таежных (поўнач) зон, прычым „на пародах ня лёсавага тыпу западзінныя палі сустракаюцца толькі па аблюбованых мясцох і параўнальна ня часта.“— „Лёсавыя-ж плято, як правіла, заўсёды усевяны рознымі западзінамі і ў такой ступені, што рэльеф і глебы заўсёды зьяўляюцца тут тыповымі комплексамі“.

З прычыны некаторых непрадуганых акалічнасьцяў мы ня будзем разглядаць тут літаратуры па мікрарэльефу стэповых зон, хоць ўсё-ж такі трэба адзначыць абшырную манаграфію Дзімо і Кэлера „Из области полупустыни“¹⁾, работы Панагайбо па Драбоўскім дасьл. полі²⁾ і работы чарнігаўскіх глебазнаўцаў: Афанасьева, Бэрга, Жаўтынскага і Парубіноўскага³⁾.

Для падзолавых зон Захараў вызначае тры тыпы рэльефу:

1) дробнагрудны ці купністы.

2) хвалісты.

3) узгоркаваты.

Разьмеры грудой ці купін першага тыпу мікрарэльефу хістаюцца ў межах ад некалькіх дэцымэтраў да 1—2 м.; яны ўздымаюцца на 30—50 см. над бліжэйшымі западзінкамі. „На западзінкі прыходзіцца значна большая частка плошчы, чым на ўзгорачкі“.

Другі тып — хвалісты мікрарэльеф аўтар наглядаў у ваколіцах Рыгі на выдмавых пясках; ён выяўляе чаргаваньне мініятурных град і лагчынак, прычым разьмеры не паказваюцца за выключэньнем аднае „невялічкай другараднай грыўкі“ даўжынёю 5 м. і вышынёю 75 см.; па ёй зьмяніліся тры глебавых тыпы.

Лічбовай характарыстыкі трэцяга тыпу мікрарэльефу ў даступнай мне літаратуры няма; ёсьць толькі паказаньне Туміна⁴⁾ што „тут глыбокіх западзін больш, больш і западзін з вадою, г. з. балотных“. Георгіеўскі, Зяметчынскі і Рудніцкі прыводзяць даныя аб зьмяненні грубіні глебавых падэмаў па мікрарэльефу без паказаньняў разьмераў элемэнтаў.

Для параўнаньня велічынь мікрарэльефу дадзім разьмеры западзін „у шырокім сэнсе слова“, г. з. лічучы, што западзіна пачынаецца там, дзе пачынаюцца мікрасхілы з паземных пляцоў ці грыў. Пры чым будзем раўнаваць толькі мікрарэльеф, разьвіты на лёсах (гл. стар. 204).

Як відаць з паданай табліцы велічыня западзін павялічваецца з поўдня на поўнач, колькасьць іх на адзінку плошчы памяншаецца. На западзіны ў падзолавай зоне прыходзіцца 84,2⁰/₁₀₀. Гэта паказвае на моцную распрацоўку мікрарэльефу, але зусім ня значыць, што запраўды на 84⁰/₁₀₀ плошчы глебы жывуць жыцьцём западзін, разумеючы пад гэтым вільготнасьць паверхні, забалочанасьць і г. д. Верхнія часткі схілаў, наадварот, атрымоўваюць у параўнаньні з плячкамі менш атмасфэрных ападкаў, з прычыны сыську іх к цэнтру западзін. Дзеля гэтага ў далейшым у аснову выдзелу западзін „у вузкім сэнсе слова“ пакладзены іншыя спосабы,—адзін натуральна-гістарычны, другі—тапаграфічны.

Аказваецца, што ўся плошча Стэбутаўскага дасьледчага поля доўга размывалася атмасфэрнымі водамі; пачатак гэтага працэсу прыстасоўваецца к моманту узорваньня. Змыты матар’ял адкладываўся на падзолава-балотавыя глебы западзін, у выніку чаго стварыўся наносны (дэлю-

¹⁾ Димо Н. А. и Келлер Б. И. „Из области полупустыни“ 1907 г.

²⁾ Панагайбо Н. Д. „Рекогносцировочные работы по изучению микрорельефа на Драбовском оп. поле“ 1915 г. Полтава.

³⁾ Сборник под редакцией Берга Л. С. „Предварит. отчет о работах по изучению ест.-ист. условий Чернигов. губ.“ 1913 г., Москва.

⁴⁾ Тумин Г. М. „Материалы для оценки земель Смоленской губ.“ вып. I, т. IV, Смоленск 1909 г.

Табл. № 3.

Зона	№№ западін	Характеры- стыка	Даўжыня	Шырыня	Плошча ў кв. м.	Глыбіня ў см.	Увага
Падзолавая зона (Горкі, БССР).	VI	Буйная	170	140	20000	275	На адзін гектар прыходзіцца 0,9 западін. У 0,00% ад усяе плошчы запа- дзіны займаюць 84,20%.
	I	„	180	120	18000	140	
	IV	„	160	100	15000	250	
	XI	„	160	80	10000	160	
	X	„	100	90	7000	230	
	XI	„	90	80	6000	160	
	VIII	„	110	60	5000	120	
	II	Сярэдняя	70	70	4000	120	
	V	„	70	50	3000	100	
	VII	„	90	—	—	140	
III	„	—	—	—	150		
		Сярэдняя	120	87,8	9778	168	
Зона леса-стэпу Чарнігаўскай г. ¹⁾	139a	Буйная	120	35	3500	100	
	138a	„	100	40	3500	150	
	540	Сярэдняя	40	35	1500	150	
	541	„	29	23	500	150	
Чарназёмная (Палтаўская г. ²⁾	—	Буйная	60	50	2500	—	На адзін гектар 14 западін. У 0,00% ад усяе плошчы — 50%.
	—	Сярэдняя	45	35	1500	—	
	—	Невялікая	30	20	500	—	
Зона поўпустынь Поўдзень Сара- таўскай губ. ³⁾	I	Аграмадная	44	42	1160	20	На адзін гектар 8 западін. У 0,00% ад усяе плошчы — 11,76% + 38,14 пад „падзінкамі“
	III	Сярэдняя	20	18	295	14	
	VIII	Невялікая	11	6	58	5	

¹⁾ Афанасьев Я. Н. „Темноцветные почвы западин лессовых плато Чернигов. губ.“ ж. Русск. Почвовед 1906 г. № 5—6.

²⁾ Понагайбо Н. Д. „Рекогносцировочные работы по изучению микрорельефа на Дравовском оп. поле“ 1915 г. Полтава.

³⁾ Димо Н. А. и Келлер Б. И. „Из области полупустыни“ 1907 г.

віяльны пазём Ad); непасрэдна пад ім ляжыць захаваны пазём A₁ інтэнсыўна-чорнага колеру. Верхнія часткі схілаў, наадварот, змыты аж да пазёму B₂, які цяпер арэцца.

Пашыранасьць захаванай глебы і пакладзена ў аснову натуральна-гістарычнага мэтаду выдзелу западзін у вузкім сэнсе.

Другі спосаб, тапаграфічны,—у вызначэньні па паземніках замкнёнай катліны, якая можа напаўняцца вадою, не пераліваючыся па лагчынах у суседнія паніжэньні (максімальная люстра вады).

Для самых буйных западзін Стэб. дасьл. поля (№ 1, II, VI і IX) абодва мэтады сходзяцца, па іншых больш дробных западзінах захаваныя глебы пашыраюцца часам далёка за межы замкнёнай катліны, а для самых маленькіх, далічаных да другой групы, можна прыстасаваць толькі першы спосаб выдзелу дзеля таго што паземнікі праз 20 см. іх зусім не выяўляюць.

Разьмеры западзін першай і другой групы на Стэб. дасьл. полі паказаны ў табл. № 4 (глядзі стар. 206).

Раўнуючы сярэднія вялічыні западзін Стэб. дасьл. поля з іншымі зонамі можна бачыць, што другая група западзін паводле сваіх разьмераў адпавядае буйным нізінкам поўпустынь. Уся-ж першая група, ня гледзячы на тое, што мы лічым тут западзінаю толькі ніжэйшую частку, якая найбольш увільгатняецца, з захаванаю глебаю,—паводле разьмераў элемэнтаў зьяўляецца „волатам“, які не ўкладаецца нават у схэму С. А. Захарава, дзе элемэнт, „мераныя дзсяткамі і сотнямі мэтраў“, адносяцца да макрарэльефу. Але характар чаргаваньня западзін з грудамі і грывамі, выразная комплекснасьць—гаворыць за тое, што тут мы маем справу з мікрарэльефам у яго, нават, найвышэйшай ступені выразнасьці. Пераважнасьць западзін (84,2% ад усяе плошчы) прымушае назваць даны мікрарэльеф **западзінным**.

Дадатныя элемэнтны мікрарэльефу, г. з. мікравадападзелы, што аддзяляюць западзіны адну ад другой, паводле іх формы можна падзяліць на тры групы: **плято**, **грыўкі** і **купалі**.

Плято маюць больш-менш значны, амаль што паземны пляцок, як рэшта раўніцы пасьля стварэньня западзін. Звычайна на іх ляжаць западзінкі другой групы, а па краёх мікраплято ідуць схілы к сумежным буйным западзінам.

Грыўкі—выцягнутая дахападобная форма; процілеглыя схілы стыкаюцца, паземнага пляцку зусім няма.

Купалі—паземнага пляцку няма, зьверху ва ўсе бакі ідуць схілы к западзінам; паземнікі ўяўляюць сабою амаль што правільныя канцэнтрычныя акружыны.

Разьмеры элемэнтаў плято, купаляў і грыў Стэбутаўскага дасьл. поля паказаны ў табліцы № 5 (глядзі стар. 207).

Паводле даўжыні відочнага схілу (ад верхавіны да цэнтру западзін) дадатныя элемэнтны мікрарэльефу сартуюцца па асобных формах гэтак: плято 74 м., купалі 59 м., грыўкі 49,4 м.

Гэты парадак адпавядае ступені распрацоўкі: плято—гэта яшчэ непачатая рэшта раўніны; купалі—тыя-ж плято, але значна зьменшаныя разрослымі западзінамі аж да самай верхавіны кўпалю; грыўкі—апошняя ступень разьвіцця западзін, якія стыкнуліся адна з адною, чаму схілы значна скарачаны.

Уплыў экспазыцыі на даўжыню і стромкасьць схілаў паказан табліцаю № 6. Паўднёвымі схіламі лічацца павернутыя схілам на поўдаень, паўночнымі—на поўнач і г. д. (глядзі стар. 208).

Размеры буйных западзін (першая група)

Табліца № 4.

№№ западзін	Форма	Па пахаванай глебе			Па паземніках (замкнёныя катаны)				Плошча вадазбору	Абсалютная азнака дна ў метр.	У вага
		Даўжыня ў м.	Шырыня ў м.	Плошча ў гектар.	Даўжыня ў м.	Шырыня ў м.	Глыбіня ў м.	Плошча ў гектр.			
I	Карытападобн.	130	40	0,5587	122	40	30	0,3599	2,4313	187,2	
II	Акруглая	52	40	0,2504	52	40	50	0,1848	0,7499	188,0	
III	„	48	48	0,1324	12	12	10	0,0079	0,7820	186,6	
IV	„	80	52	0,4064	66	46	90	0,2727	1,5022	186,6	
V	„	46	30	0,1108	30	24	30	0,0636	0,5179	188,0	
VI	Грыбавідная	88	106	0,9105	88	112	130	0,7545	3,3661	186,8	
VII	Авальная	48	20	0,0911	32	12	10	0,0335	0,6762	188,0	
VIII	„	78	26	0,1593	78	24	40	0,1521	0,7029	188,2	
IX	„	66	22	0,1620	22	8	20	0,0131	0,5631	188,2	
X	Акруглая	52	52	0,3160	52	52	140	0,2557	0,6634	186,6	
XI	Выцягнутая	120	60	0,7590	50	28	30	0,1303	1,5837	186,6	
Сума		808	496	3,8566	604	398	580	2,2275	13,5387	2060,8	
Сярэдняе		73	45	0,3506	55	36	53	0,2025	1,2308	187,35	
Квадрат. памылка t		9	8	—	10	9	14	—	—	0,22	

Размеры дробных западзін (другая група)

№№ западзін	Форма	Па пахаванай глебе			Глыбіня	У вага
		Даўжыня ў м.	Шырыня ў м.	Плошча ў гектар.		
1	Авальна-выцягнутая з Пн. на Пд.	42	14	0,0577	Менш 10 см.	Апроч таго ў склад Стэб. дасыл. поля ўваходзяць невялікія часткі 3-х западзін, агульнаю плошчаю ў 0,1665 гект. і сетка вузкіх амаль няпрыкметных лашчынак і падзінак.
2		24	10	0,0210		
3		18	6	0,0111		
4		28	4	0,0105		
5		16	10	0,0118		
Сума		128	44	0,1121		
Сярэдняе		26	9	0,0102		

Размеры дадатных элементаў мікрарэльефу.

Табл. № 5.

П Л Я Т О

№№ грузаў	Ф о р м а	Ведлічны паверхавы пляцку			Даўжыня схілу				Даўжыня схілу				Абсалютная вышыня пляцку
		Даўжыня	Шырыня	Паверх	Ад краю пляцку да пачатку паверхавай глебы				Ад цэнтру пляцку да сярэдзіны западзіны				
					Пн.	Пд.	З.	У.	Пн.	Пд.	З.	У.	
I	Плято высокае з мілі—мікрарэльеф.	76	58	0,3710	40	50	48	—	70	102	86	—	190,2
II	Плято купалападобнае	70	50	0,3474	36	20	30	14	78	52	106	42	190,0
III	Плято нізкае з зап. другой групы	90	60	0,4307	6	20	—	—	60	58	—	82	188,2
VI	Плято тэрасападобнае з мілі—мікрарэльефам	76	44	0,2733	24	—	30	30	76	—	70	76	189,0
Сума		312	212	1,4224	102	90	108	44	284	214	262	202	757,4
Сярэдняе		78	53	0,3656	26	30	36	22	71	71	87	67	189,4
					Сярэдняе 29				Сярэдняе 74				

Г Р Ы В Ы

№№ грузаў	Ф о р м а	Арыентыроўка	Даўжыня грабяня	Даўжыня схілаў								Абсалютная вышыня грабяня	
				Да пачатку паверхавай глебы				Да цэнтру западзіны					
				Пн.	Пд.	З.	У.	Пн.	Пд.	З.	У.		
V	Грыва між 2-х буйных западзін	Пн.-Пд.	90	—	—	24	20	—	—	51	42	188,8	
VI	Грыва між 2-х западзін на У і з на З.	ПнЗ.-ПдУ.	160	—	—	120	24	—	—	30	74	189,4	
VII	Грыва ахоплівае падковаю западзіну № II з УПн. і З.	Пн.-Пд. З.-У. ПнЗ.-ПдУ.	90	—	—	20	16	—	—	36	26	189,2	
			60	52	20	—	—	86	40	—	—	189,0	
			66	48	12	—	—	72	32	—	—	188,8	
Сума			466	100	32	112	94	158	72	178	184	1154,6	
Сярэдняе			932	50	16	28	24	79	36	44	46	189,1	
					Сярэдняе 29.				Сярэдняе 51.				

К У П А Л Ы

№№ грузаў	Ф о р м а	Даўжыня схілу								Абсалютная вышыня купалу			
		Да пачатку западзіны				Да цэнтру западзіны							
		Пн.	Пд.	З.	У.	Пн.	Пд.	З.	У.				
VIII	Купал (заходняя 1/2 па за вучасткам)	48	52	—	40	62	76	—	52	189,4			
IX	Купал (правільнай формы)	34	54	34	28	60	76	54	42	189,0			
X	Купал (усходняя 1/2 па за вучасткам)	—	—	36	—	—	—	52	—	189,0			
Сума		82	106	70	68	122	152	106	94	567,4			
Сярэдняе		41	53	35	34	61	76	53	47	189,14			
					Сярэдняе 41				Сярэдняе 60				

Даўжыня схілаў (сярэдняе для плято, грыў і купалаў)

Табл. № 6.

Экспазыцыя схілу	Даўжыня схілу				Абсалютная вышыня	Розьніца ў даўжыні схілаў рознай экспа- зыцыі	Розьніца ў даўжыні	Памылка розьніцы	Стасунак эфекту да памылкі
	Да пачатку западзін		Да цэнтру западзін						
	Сярэ- д- няе	Па- мылка +	Сярэ- д- няе	Па- мылка +					
Пн.	35,6	5,4	71,2	3,3	189,18 ± 0,15 м.	Паўночн. і паўдзён.	8,6	9,8	0,9 : 1
Пд.	32,6	7,4	62,6	9,3		Заходн. і ўсходн.	7,2	7,9	0,9 : 1
З.	32,2	3,4	60,6	7,9		Паўночн. і ўсходн.	17,8	3,2	5,2 : 1
У.	25,8	3,0	53,4	6,6		Паўночн. і заходн.	10,6	8,5	1,2 : 1
Сярэдняе	31,6	2,3	61,6	3,8					

Стромкасьць мікрасхілаў (схілы да цэнтру западзін)

Форма грудоў	№№ грудоў	Пн.	Пд.	З.	У.	Сума	Сярэдняе	Сярэдняе для ўсіх	Даўжыня схілаў
Плято	I	1°29'	1°40'	1°29'	—	4°38'	1°33'	1°32'	74,0
	II	1°53'	1°46'	1°44'	1°53'	7°16'	1°49'		
	III	1°10'	1°35'	—	—	2°45'	1°22'		
	IV	—	—	0°50'	1°22'	2°12'	1°06'		
Грывы	V	—	—	2°12'	2°10'	4°22'	2°11'	1°44'	49,4
	VI	1°45'	—	1°22'	1°38'	4°45'	1°32'		
	VII	1°37'	1°27' 1°24'	1°54'	—	6°25'	1°36'		
Купалы	VIII	—	1°49'	2°07'	2°12'	4°01'	2°01'	1°55'	59,6
	IX	2°07'	1°49'	2°07'	1°23'	7°26'	1°51'		
	X	—	—	1°59'	—	1°59'	1°59'		
Сума . .		10°01'	11°43'	13°37'	10°38'	45°49'	—	—	—
		1°42'	1°39'	1°42'	1°46'	—	1°42'	—	—

Тэарэтычныя меркаваньні аб тым, што паўночныя схілы, якія найменш падлягаюць уплыву інсалацыі сонца, павінны менш размывацца і быць, значыцца, самымі доўгімі і спадзістымі, а паўднёвыя, як іх антыподы—больш стромкімі і кароткімі, не апраўдваюцца з задавальняючай пэўнасьцю. Тое-ж і для заходніх і ўсходніх схілаў. Трэба сказаць, што экспазыцыя не адбываецца на даўжыні і стромкасьці схілаў пры ўмовах Стэб. дасьл. поля; мусіць працэс змываньня і нівэляваньня не пасьпеў яшчэ прыкметна выявіцца ў сэнсе рознай інтэнсыўнасьці на схілах рознай экспазыцыі. Адносна большая даўжыня паўднёвых і паўночных схілаў тлумачыцца тым, што ўсе элемэнтны выцягнуты з поўначы на поўдзень.

Гэткім чынам западзінны мікрарэльеф лёсавых плято характарызуецца прысутнасьцю купаляў і грыв, схілы якіх пlynна апускаюцца да дна западзін і затым таксама пlynна ўздымаюцца амаль што на тую-ж вышыню, затым ізноў апускаюцца ў наступную западзіну. Разьмер кожнай „хвалі“ $61,6 \times 2 = 123,6 \pm 7,6$ м.; вышыня $189,18 - 187,34 = 1,84$ м. $\pm \pm 0,35$ м., спад $= 0,0297$ ($1^\circ 42'$). На 13,7 гэктару плошчы Стэб. дасьл. поля ёсьць 10 мікразападзелаў, 11 буйных западзін (1-й групы) і 5 западзін маленькіх (2-й групы) і цэлая сетка лагчынак, мілімікразападзінак і ўдзіскеньняў, прыстасаваньня галоўным чынам да вадападзельных плято.

Разьмеркаваньне глебавых тыпаў паводле элемэнтаў мікрарэльефу паказана ў табліцы 7-й (глядзі стар. 210).

У табліцы паказана дэталізацыя глеб, якая крыху адхіляецца ад чыста рэльефных азнак, дзеля таго што стасунак элемэнтаў рэльефу вельмі просты і быў ужо раней паказан— $15,8\%$ больш-менш паземных пляцоў і $84,2\%$ западзін „у шырокім сэнсе слова“. Але-ж калі $15,8\%$ пад плячкамі занята моцна падзолавымі глебамі з нармальным падзолавым пазёмам, дык плошча пад западзінамі занята цэлым шэрагам глебавых тыпаў.

Перш за ўсё выяўляюцца верхнія часткі схілаў к западзінам і вузкія грывы, змытыя аж да буравата-чырвонага пазёму В₂; гэтакіх „лысін“— $29,3\%$. Затым—паземныя, моцна забалочаныя днішчы западзін заняты падзолава-балотавымі глебамі з намытым верхам, да 50 см. грубіні,—іх $4,2\%$. Днішчы шырока вакол агорнуты таксама падзолава-балотавымі глебамі, але менш забалочанымі і з меншаю грубінёю намытага пласту (да 30 см.)—іх 24% . Яшчэ вышэй ляжыць колца, часам разарванае, моцна падзолавых глеб; працэс змыву і намыву ў іх трымаецца рухомай роўнавай, чаму пабудова іх амаль ува ўсім падобна да нармальна-ных глеб паземных пляцоў (на карце яны ня вызначаны),—іх $24,7\%$. На дробныя западзіны другой групы прыпадае $0,8\%$ ўсяе плошчы; пабудова іх ува ўсім падобна да глеб буйных западзін.

Сумуючы аднайменныя глебы паводле разьмяшчэньня іх на розных элемэнтах мікрарэльефу будзем мець гэтакі стасунак:

1. Глеб са змытым верхам (моцна падзолавых)— $29,3\%$.
2. „ з нармальным „ „ „ — $40,5$ „
3. „ „ наносным „ (падзолава-балотавых)— $30,2$ „

Перад намі тыповыя маюнак комплексу; няма ні воднага пераважаючага тыпу, ўсе кампанэнтны выяўлены моцна.

Апісаны тып мікрарэльефу характэрны для моцных тоўшчаў лёэсу ў 10 і больш мэтраў; з памяншэньнем тоўшчы лёэсу зьмяншаецца велічыня западзін, форма іх робіцца распыўнаю, нявыразнаю.

Свайго поўнага выяўленьня мікрарэльеф дасягае на плято ці тэрасападобных схілах; больш стромкія макрасхілы зусім ня маюць западзін, што тлумачыцца памяншэньнем тоўшчы лёэсу, а з другога боку—шпаркім

Суаносіны глебавых тыпаў паводле мікрарэльефу.

Табл. № 7.

№№ па парадку	Элементы мікрарэльефу	Глебавы тып	Плошча ў гакт.	ад усёе плошчы	Сума	
1	Вузкія гряды і верхнія часткі схілаў	Моцна паэзолаваная са змытым паэзолавым паэсам	4,0166	29,3	} 29,3% ⁰	
2	Паземныя плацкі і спадзістыя схілы мікравадападземаў палто	Моцна паэзолаваная з нармальным паэзолавым паэсам	2,1618	15,8		} 40,5% ⁰
3	Ніжнія часткі схілаў	Той-самы (№ 2)	3,3912	24,7	} 30,2% ⁰	
4	Парыферныя буйных западзін па пахаваннай глебе	Паэзолаваная—багатаваная з намільным верхам, слаба забалочаная	3,2802	24,0		} 0,8
5	Дробныя западзіны II гр.	Той-самы (№ 4)	0,1121	0,8		
6	Западыны часткаю ў вучастку, часткаю на-за вучасткам	Той-самы (№ 4)	0,1665	1,2		
7	Днішчыя буйныя западзіны	Той-самы, што і № 4, але больш намільт. і больш забалочан	0,5794	4,2		
УСЯГО			13,7078	100		

цёкам атмасфэрных ападкаў па лагчынах (якія зьмяняюцца з часам на равы).

Незалежна ад спосабу стварэння лёэсу (воднага, эолавага і інш.) усе згодны, што матар'ялам для яго стварэння былі ледавіковыя адклады марэны. Ледавік па сваім шляху „узараў“ і перамалоў на парашок аграмадныя колькасці пластовых парод, галоўным чынам вапнякоў, чаму марэны амаль заўсёды карбанатны. Пры стварэнні лёэсаў гэтыя карбанаты ўвайшлі ў склад апошніх, дзеля чаго прысутнасць свабодных карбанатаў лічыцца адною з характарных асаблівасцяў лёэсу, як пароды.

У далейшым карбанаты вымываліся з верхніх пластоў лёэсу атмасфэрнымі водамі на тую ці іншую глыбіню ў залежнасці ад умоў клімату і рэльефу мясцовасці. Чым клімат сушэй і кантынэнтальней, тым вышэй ляжыць пазём ускіпаньня, чаму глыбіня пакладу карбанатаў паступова зьмяншаецца з поўначы і паўночнага захаду на поўдзень і паўднёвы ўсход (гл. профіль № 11).

Лёс выпадаючых ападкаў траякі: адна частка выпарваецца назад у атмасферу, другая сцякае ў западзіны, лагчыны, равы, рэкі і інш., трэцяя пранікае ў глебу на тую ці іншую глыбіню, у залежнасці ад колькасці вады, ўласцівасцяў глебы і г. д., нясучы разам з сабою карбанаты і іншыя солі. Значыцца, верхавінкі купаляў і грэбяні грыў, з якіх сцякае больш вады па паверхні, павінны ўскіпаць вышэй роўных пляцоў. Верхнія часткі схілаў хоць таксама губляюць шмат вады сцёкам, але частка яе пасьпее прасачыцца ў зямлю, і значыцца ўскіпаць павінны ніжэй грыў і купаляў. Па ніжніх частках схілаў цячэ яшчэ больш вады зверху, чаму ўскіпаньне павінна быць больш нізкім. Дробныя лагчынікі, зьяўляючыся ложаў сцякаючых вод, атрымоўваюць больш вады і павінны ўскіпаць глыбей. Нарэшце западзіны, апроч вады непасрэдна з атмасферы, атрымоўваюць яшчэ і сцякаючую з усяе плошчы вадазбору; у іх яна пасля вялікіх дажджоў ці сьнегапуску доўга стаіць, паволі прасякаючы ў глыбіню; значыцца глебы западзін, тэарэтычна, павінны ўскіпаць найбольш глыбока.

Наколькі гэтыя тэарэтычныя меркаваньні адпавядаюць супраўднасці, будзе відаць з наступнага разьдзелу, прысьвечанага пытаньню ўплыву мікрарэльефу на глыбіню пакладу карбанатнага пазёму.

У ліпені 1924 году на Стэб. дасьл. полі было зроблена каля 100 азначэнняў глыбіні ўскіпаньня, прычым ува ўсіх выпадках ад 2% НСІ было бурнае выразна прыкметнае ўскіпаньне. Вынятак спроб рабіўся жалонкавым сьвердлам; глыбіня шчылін хісталася ад 118 да 400 см.; пабудова і тып глебы амаль для кожнай шчыліны вызначаліся невялічкаю ямаю да пачатку ілювіяльнага пазёму В₂ (70—100 см.); ямы замалёўваліся фарбоўнымі алаўкамі.

Апроч таго скарыстаны матар'ял, за сабраны 1921—22 г.г. глебазнаўчым аддзелам Горацкай с.-г. дасьл. станцыі, а ўласьне: 1) глебавая карта Стэб. дасьл. поля, — маштаб 10 саж. у цалі; 2) каля 20 ям глыбінёю 2—6 мэтраў, размешчаных часткаю на Стэб. дасьл. полі часткаю на суседніх палёх, і 3) каля 15 глыбокіх (10—15 м.) сьвідравальных шчылін праз усю тоўшчу лёэсу да марэны, размешчаных па розных элементах мікрарэльефу. Аднак, з мэтай аднастайнасці матар'ялу апрацоўцы будзе падлягаць толькі матар'ял, сабраны спецыяльна для данай працы.

Вялікае значэнне мае сама тэхніка сьвідравання, дзеля таго што ад яе залежыць дакладнасць азначэння глыбіні ўскіпаньня, а значыцца і пэўнасць вывадаў. Пры дыямэтры жалонкі сьвердла каля 4 см. адпор глебы аказаўся значным, дзеля чаго працу сьвідравання прыйшлося ра-

біць удваіх. Сьвердзел заганяўся ў глебу адразу на 15—50 см., пасья чаго круціць станавілася цяжка і яго выймалі для ачысткі жалонкі. Здавалася-б, што азначэньне глыбіні ўскіпаньня сьвердлам рэч досыць клопотная, вымагаючая вялікай уважнасьці, дзеля таго што лёгка „перасьвердліць“, г. з. прайсьці сьвердлам глыбей пачатку ўскіпаньня. Праўда, у жалонцы сьвердла лёгка адшукаць край ўскіпаньня, спрабуючы розныя вучасткі НСІ, але прамер ад значка на штанзе ў паверхні глебы, які ставіцца крэйдаю перад выйманьнем сьвердла, да гэтага краю ня ёсьць сапраўдная глыбіня ўскіпаньня, затым што ў жалонцы матар'ял прасуецца ў 2—3 разы ў параўнаньні з грубінёю пройдзенага пласту. Значыцца патрэбна дакладна азначаць глыбіню ўскіпаньня, што, як пабачым ніжэй, аказалася зусім магчымым.

Пры праходжаньні розных глебавых пазёмаў былі заўважаны вось якія асаблівасьці: зьверху да пазёму B_2 сьвердзел ідзе надта лёгка і хутка, але ў паземе B_2 (каля 40—50 см.) адпор яўна павялічваецца, сьвердзел прыходзіцца выймаць праз кожныя 15—20 см. Канец пазёму B_2 (каля 100—120 см.) і пачатак шырокіх артзандаў (псеўдафібры), г. з. пазём B_3 і далей пазём вузкіх струменчатых артзандаў— B_4 сьвердзел праходзіць лёгка і хутка (адразу па 50 см.). Пачатак ускіпаньня заўсёды адчуваўся па яўнаму павялічэньню адпору сьвердла, праўда, некалькі меншым, чым у пазёме B_3 , але ўсе-ж больш адчуванаму для рук. Дзякуючы гэтаму ня прыходзілася выймаць сьвердзел праз кожныя 5—10 см. і яго канец ніколі не заходзіў глыбей як 5—7 см. у карбанаты пазём. Другою азнакаю блізкага ўскіпаньня было ссыпаньне матар'ялу з канца сьвердла, што станавілася прыкметным за 20—30 см. перад ўскіпаньнем, і яўнае пасьвятленьне матар'ялу. Пры зьяўленьні тых ці іншых азнак ускіпаньня на штанзе сьвердла ў паверхні глебы рабілася адзнака перад падняцьцем, прамер ад якой да канца сьвердла з ускіпаючым лёсам і ёсьць глыбіня ўскіпаньня. Пры закладцы дзвёх шчылін радам розніца азначэньняў звычайна не перавышала 3—5 см., што пры сярэдняй глыбіні ўскіпаньня 1,5—2 м. складае 2—3%, дакладнасьць зусім здавальняючая, тым больш, што памылкі могуць быць толькі ў бок павялічэньня.

Сабраны матар'ял апрацоўваўся абодвымі мэтадамі—графічным і статыстычным. Разгледзім перш статыстычны мэтад.

Вышэй было ўжо адзначана змываньне схілаў і заглейваньне западзін. У залежнасьці ад стромкасьці схілу, экспазыцыі і да т. п. змытымі аказаліся ці толькі A_1 , ці яшчэ і A_2 , а ў некаторых выпадках нават і B_1 , так што ніжэй ворнага пазёму (20—22 см. грубіні) ляжыць ці падзолавы пазём A_2 (па плято, ніжэйшых частках схілаў і ў мілімікрапаніжэньнях), ці пазём B_1 і B_2 (верхнія часткі стромкіх схілаў, купалі, грывы), ці па пэрыфэрыі і днішчах западзін—дэлювіяльны пазём A^d і ніжэй захаваная глеба. Групууючы ўсе сьвідравыя шчыліны паводле прысутнасьці таго ці іншага глебавага пазёму непасрэдна пад ворным пластом, што можна зрабіць досыць дакладна, дзеля таго што пабудова глеб высьветлена ямамі, мы будзем мець гэткае разьмяшчэньне глыбіні ўскіпаньня (гл. табліцу № 8, на старонцы 213).

З табліцы відаць залежнасьць глыбіні ўскіпаньня ад ступені змываньня. Так, глебы, у якіх непасрэдна пад ворным пластом (20 см. грубіні) ляжыць пазём B_2 , ускіпае ў сярэдні на 175 ± 4 см. Гэтыя мясьціны добра прыкметны зьверху, дзякуючы свайму буравата-чырвоному колеру. Асабліва яўна віднеліся змытыя „лысіны“ пры замярзаньні ўзоранай глебы, пры поўнай адсутнасьці расьліннасьці ў бясьнежную зіму 1924—25 г. Аказваецца, што змываньне схілаў ідзе ня суцэльнаю паласою, а асоб-

Глыбіні ўскіпаньня па глебавых тыпах

Табл. № 8.

Ніжэй ворнага пазём В ₂		Ніжэй ворнага пазём В ₁		Ніжэй ворнага пазём А ₂		Ніжэй ворнага пахаван А ₀	
№№ шчылін	Глыбіня ўскіп ў см.	№№ шчылін	Глыбіня ўскіп ў см.	№№ шчылін	Глыбіня ўскіп ў см.	№№ шчылін	Глыбіня ўскіп ў см.
6	190	2	234	1	250	5	275
7	160	3	261	9	194	10	312
14	180	8	185	12	245	11	—
16	118	13	190	18	240	15	270
19	158	25	205	20	218	17	—
21	185	32	210	29	180	22	—
27	177	55	225	30	300	23	230
31	184	63	200	33	245	24	305
35	190	65	214	36	212	26	360
49	170	67	240	37	220	28	328
50	153	67 ₁	235	41	295	34	—
51	200	67 ₂	215	42	312	38	—
51 ₁	167	68	200	44	280	39	286
51 ₂	170	73	210	45	260	40	—
54	180	78	208	46	260	43	—
60	190	79	240	47	210	53	—
66	197	81	226	48	280	57	380
70	170			56	282	62	338
74	180			52	244	69	350
				58	215	71	380
				59	218	76	215
				64	345	77	330
				72	215	82	—
				75	235	83	—
				80	247	84	—
				85	265	88	—
				86	272		
				87	260		
Сума	19 3319	17 3698	28 6999	26(14)	4359		
Сярэдняе	— 175	— 218	— 250	з 14	311		
Памылка сярэдняг — ± а	— 4	— —	— 7	—	14		

Сярэдняе для В₂+В₁=195±5 см.

нымі плямамі круглай ці часьцей выцягнутай папярок схілу формы, разьмешчанымі як на верхніх, таксама і на ніжніх частках мікрасхілаў. Змытыя вучасткі схілаў падзелены вузкімі лагчынамі бяз бурай водцeni, якія сплятаюцца ў складаную сетку, злучаную з сярэдзінаю западзіны.

Глебы з уцалеўшым пазёмам B_1 (А-В) бурога колеру з плямамі падзолу ўскіпаюць з 218 см. На глебай карце абедзьве гэтыя адмены злучаны разам (хоць правільней было-б іх разьдзяліць), чаму для іх была вызначана сярэдняя глыбіня ўскіпаньня— 195 ± 5 см. Падзолавья глебы з пазёмам A_2 (падзолавым) пад ворным ускіпаюць з 250 ± 7 см. Глебы з намыўным верхам (падзолава-балотавыя) ускіпаюць толькі на ўздымах, днішчы западзін і ніжэйшая частка схілаў зусім ня ўскіпаюць да самай марэны (10-12 м.), што было высветлена глыбокімі шчылінамі 1921-22 г.г. для вывучэньня вільготнасьці лёсавай тоўшчы. Для глеб з намыўным верхам, дзе сярэдняе з 14 азначэньняў ускіпаньне было 311 ± 14 см., калі адкінуць пласт глебы да пазёму B_2 будзем мець гэтка глыбіні ўскіпаньня:

- | | |
|---|---------|
| 1) Змытыя да B_2 —175-20 см. (глыбіня ворнага пласту) . . . | 155 см. |
| 2) " " " B_1 —218-38 " (сярэднее з 17 ям) . . . | 180 " |
| 3) Нармальныя —250-41 " (" 9 ") . . . | 209 " |
| 4) Намыўныя —311-62 " (" 15 ") . . . | 248 " |

Значыцца, высокае ўскіпаньне змытых глеб залежыць ня толькі ад набліжэньня пры змываньні карбанатнага пазёму к паверхні, але яны наогул прамыты атмасфэрнаю вадою на меншую глыбіню, чым глебы нармальныя і тым больш глебы з намыўным верхам.

Уплыў розных элемэнтаў мікрарэльефу на глыбіню ўскіпаньня не залежна ад глебавых тыпаў паказан ў табліцы № 9 (глядзі стар. 215).

Паданья вышэй тэарэтычныя меркаваньні аб залежнасьці глыбіні ўскіпаньня ад колькасьці прасякашай уніз вады цалком сьдзьвярджаюцца вывадамі сярэдніх велічынь. Верхавінкі купалю і грэбяні грыў ускіпаюць ня толькі вышэй іншых элемэнтаў, але глыбіні ўскіпаньня ў іх супадаюць: грывы з $179,4 \pm 12$ см., купалі з $174,2 \pm 6$ см., агульная глыбіня ўскіпаньня $177,5$ см. з хістаньнем 118-218 см. Больш-менш паземныя пляцкі ўскіпаюць ужо з $246,1 \pm 7,6$ см.; верхнія $\frac{1}{3}$ схілаў па ўмовах сьдэку набліжаюцца да грыў і купалю ўскіпаюць з $184,6 \pm 5$ см.; сярэдзіна схілу з $212,6 \pm 14$ см.; ніжняя $\frac{1}{3}$ схілу толькі з $298,9 \pm 15$ см. Западзіны нават невялікія (другая група) вымыты на ўсю тоўшчу лёсу. Невялічкія лагчыні схілаў і мілімікрарэльефныя падзінкі ўскіпаюць з $270,2 \pm 14$ см., тады як роўныя мясціны побач ускіпаюць з 200-240 см.

Графічны мэтад, г. з. разгляданьне канкрэтных профіляў па мікрарэльефу Стэб. дасьл. поля, дасьць магчымасьць дэталізаваць уплыў разнастайных, больш-менш памысных умоў фільтрацыі на глыбіню пакладу карбанатнага пазёму.

Профіль № 1 ідзе з поўначы на поўдзень (лінія АВ) праз тры буйных западзіны № VI, IV і II, разьдзеленых купалям № 9 і грываю № 2/IX. Усе тры западзіны пазбаўлены карбанатаў да пачатку марэны (12 м.). Вышэй па схілах ускіпаньне стромка ўздымаецца ўгару, дасягае на самых стромкіх перагібах максімуму і зноў апускаецца ў суседнія западзіны. На самай верхавіне купалю № 9 ўскіпаньне разка панізілася да 275 см., замест чаканых 180-190 см. Закладзеная ў гэтым месцы яма паказала, што тут адбыўся раскол усяе тоўшчы лёсу ў кірунку з захаду на ўсход, роўналежна суседнім западзінам. Шырыня шчыліны 20-45 см., глыбіня дагледжана да 280 см., дзе шчыліна дасягнула 45 см. ушыркі і йшла яшчэ

№№	П'ято			Купальні грови			Верхня з снігу			Середня снігу			Нижня 1/3 снігу			Западні			Мімікре-западні			
	п'ять	паз.	Ускі-паньне	№№	п'ять	паз.	Ускі-паньне	№№	п'ять	паз.	Ускі-паньне	№№	п'ять	паз.	Ускі-паньне	№№	п'ять	паз.	Ускі-паньне	№№	п'ять	паз.
1	A ₂	250	Купальні	8	B ₁	185	234	10	A ₀	312	4	A ₀	23	A ₀	230							
20	A ₂	218	6 B ₂	13	"	190	261	15	"	270	11	"	24	"	305							
32	B ₁	210	7 B ₂	21	B ₂	185	194	18	A ₂	240	17	"	30	A ₂	300							
33	A ₂	245	24 B ₂	31	"	184	180	26	A ₀	360	22	"	64	"	345							
36	A ₂	212	49 B ₂	50	"	153	200	28	"	328	34	"	72	"	215							
37	A ₂	220	4 — 697	54	"	180	167	39	"	286	38	"	76	A ₀	215							
42	A ₂	312	Середня 174	60	"	190	170	41	A ₂	295	40	"	77	"	330							
44	A ₂	280	Пам'ятка — 6	65	B ₁	214	225	52	"	244	43	"	79	A ₂	240							
45	A ₂	260	Грови	67 ²	"	195	305	56	"	282	53	?	86	"	272							
46	A ₂	260	16 B ₂	70	B ₂	170	190	68	B ₁	200	57	A ₀	5	A ₀	275							
47	A ₂	210	19 " 158					69	A ₀	350	82	"	12	A ₂	245							
48	A ₂	280	25 " 205					71	"	380	83	"		"								
58	A ₂	215	35 " 190								84	"		"								
59	A ₂	218	66 " 197								88	"		"								
63	B ₁	200	75 B ₁ 208																			
75	A ₂	235	74 B ₂ 180																			
80	A ₂	247	7 — 1256																			
81	B ₁	226	Середня 179																			
85	A ₂	265	Пам'ятка — 12																			
87	A ₂	260																				
20	—	4923	— — 1953	10	—	1846	2126	12	—	3885	14	—	11	—	2972							
—	—	246	— — 177	—	—	185	213	—	—	299	—	—	—	—	270							
—	—	7	— — —	—	—	5	14	—	—	15	—	—	—	—	14							
Сума	—	—	— — 1953	10	—	1846	2126	12	—	3885	14	—	11	—	2972							
Середня	—	—	— — 177	—	—	185	213	—	—	299	—	—	—	—	270							
Пам'ятка сар-	—	—	— — —	—	—	5	14	—	—	15	—	—	—	—	14							

глыбей. Цэнтральная частка шчыліны выкладзена лёсавым матар'ялам буравата-чырвонага колеру з безьліччу праснаводных чарапашак (Planorbis, Limnaea і інш.). Пачалася шчыліна ў пазёме В₂ шырокаю розьверцюлейкаю, у В₁ звужалася да 15 см., глыбей ізноў пашырылася. Над шчылінаю аказалася невялікая пляма (5-6 м. упряко) глеб, аналягічных глебам западзін. Ускіпаньне ў шчыліне пачалося з 230 см., дзе зьявіліся чарапашкі. Незачэплены пласт лёсу ўскіпае злева з 275 см., справа з 245 см.; глебавыя пазёмы аказаліся таксама адпаведна ніжэй, — маем малюнак „скіду“ ўсяе левай часткі лёсу, зьмешчанай у бок больш буйнай западзіны № VI. Аналягічная шчыліна была выяўлена на адным з мікравадападзелаў высокага плято фэрмскага поля; глыбіня яе была прасьледжана ямаю да 6 м. ішла далей углыб. Ускіпаньне ў ёй панізілася ад 170 да 280 см. Зьверху таксама аказалася пляма захаваных глеб.

На грыве № 7 лінія профіля перасякае ўдаўжкі невялікую лагчынку, адну з цэлае сеткі „языкоў“, што паўзуць ад западзін па схілах; па іх галоўным чынам адбываецца сьцяканьне вады са схілаў у западзіны, што прычыніцца большаму прамываньню глебы і, значыцца, зьніжэньню глыбіні ўскіпаньня.

Профіль № 2 ідзе па схілу роўналежна западзіне № 1 і сячэ некалькі языкоў-лагчын у папярочным кірунку. Пабудова глебы схілу і зьмяненне глыбіні ўскіпаньня вельмі характарны і не патрабуюць тлумачэньняў.

Профіль № 3 высьвятляе ўплыў на глыбіню ўскіпаньня невялікіх западзін другой групы і вельмі вузкіх грыв. Шчыліна № 16 зроблена на вельмі вузкай грыве змытых глеб (10 м. папярок); ускіпаньне ў ёй аказалася самым высокім на ўсім апісаным вучастку—118 см. і ляжыць у межах дасягненьня карнявой сыстэмы амаль ўсіх культурных расьлін. Маленькая западзінка (< 20 см. углыбкі) паводле характару ўскіпаньня поўнасьцю адпавядае буйным западзінам.

Профіль № 4 зьмешчаны на плято з добра выяўленымі мілімікра-рэльефнымі падзінкамі, часта мала прыкметнымі зьверху. Выгіны крывой ускіпаньня ў дзесяткі разоў мацней адбываюць выгіны і ўдзісканьні павярхні. Пры доўгім узорваньні падзінкі могуць зусім зьнівеліравацца і азначыць іх велічыню і месца можна толькі паводле зьмененай глыбіні ўскіпаньня. Таксама вузкія грывы могуць быць зруйнованы, як напр., грыва з шчылінаю № 19, дзе яна ня вызначаецца ўжо паземнікамі, аднак характарныя змытыя глебы і высокае ўскіпаньне (180 см.) паказваюць на грыву.

Профіль № 5 зьмешчаны на больш спакойным плято (№ III) з нармальнымі глебамі, якія ўскіпаюць з 260 см. Невялікая западзінка (другой групы) № 3, вышчалачава зусім.

Профіль № 6 зьяўляецца не канкрэтным прыкладам, а некаторым абагульненьнем. У аснову яго пабудовы пакладзены сярэднія арытматычныя належных элементаў мікראрэльефу; крывыя ўскіпаньня пабудованы таксама на падставе сярэдніх вывадаў (гл. табліцу на старонцы 213). Характарна звужэньне калюмны ўскіпаючага лёсу ад плято к купалям і грывам, што адпавядае, як было зазначана вышэй, ступені распрацоўкі мікראрэльефу.

Профіль № 7 узяты з ваколц Горак (Іванова). Тоўшча лёсавай накідкі зьмяншаецца к р. Проні і дасягае тут толькі 5-7 мэтраў, у зьвязку з чым мікראрэльеф выражаны значна слабей і неаформлены так ясна, як на Стэб. дасьл. полі. На профілі паказана самая буйная западзіна. Другая асаблівасьць профілю-гэта тое, што тут непасрэдна пад лёсам ёсьць

першы вельмі нясталы пазём грунтовых вод, што затрымоўвае прамываньне грунту атмасфэрнымі водамі. Дзеяля чаго глыбіня ўскіпаньня мікравапападзелаў значна вышэй—105-135 см., а западзіны вышчалачаны ня зусім і ўскіпаюць з 525 см.

Профілі № 8 і 9 выяўляюць мікрарэльеф і глыбіні ўскіпаньня глеб паўпустыні (поўдзень Саратаўскай губ.). Профілі складзены паводле матар'ялаў Н. А. Дзімо ¹⁾. Характар ускіпаньня больш-менш захаваўся: пукатыя элемэнтны ўскіпаюць вышэй, угнутыя ніжэй, затое рэзка зьмяніліся вядлічыні сустаўных элемэнтаў, раўнуючы са Стэб. дасьл. полем.

Профіль № 10. Тут паказаны чатыры схілы рознай экспазыцыі, прыблізна аднае даўжыні і стромкасці, для высвятленьня ўплыву экспазыцыі на глыбіню ўскіпаньня. Найбольшага разыходжаньня крывыя дасягаюць на сярэдзіне схілаў, прычым найбольш высока ўскіпаюць паўночныя схілы — 185 см., потым Пд.-ПдУ—230 см., У—285 см. і З—ПдЗ—385 см. Магчыма, што тут запрычыніўся уплыў больш павольнага адмярзаньня паўн. схілаў вясною, так што частка сьнегавай вады пасьпела зьбегці ў западзіны яшчэ на мёрзлай зямлі.

Профіль № 11 паказвае глыбіні ўскіпаньня розных глебавых тыпаў у плякорных умовах на лёсах. Пазём вечнай мерзлаты і тундравых глеб перашкаджае вымываньню карбанатаў у глыб, чаму гэтыя глебы ўскіпаюць параўнальна ня глыбока.

Што-ж за прычыны стварэньня і які далейшы лёс мікрарэльефу? Ёсьць некалькі тэорый паходжэньня западзін, галоўнейшыя з іх наступныя:

- 1) тэорыя правалаў ці асяданьня грунту (суфцыя) пры вымываньні пачор у ніжэйляжачых лёгкарастварымых пародах — вапняках, крэйдзе і і інш. (Паўлаў, Козьменка, Бэрг),
- 2) тэорыя выдуваньня ветрам (Туткоўскі, Набокіх),
- 3) тэорыя прасьвечваньня першапачатковага марэнавага рэльефу (Бэрг),
- 4) тэорыя паступовага асяданьня пры вымываньні соляў, якія былі раней у самым грунце (Касовіч, Ф. П. Саварэнскі, Афанасьеў, Мажа-роўскі).

Гэлягічная пабудова парод і значная грубіня лёэсу Стэб. дасьл. поля прымушае застанавіцца на гэтай апошняй тэорыі. Колькасць карбанатаў у лёэсе досыць значная: паводле Мушкетова ад 6 да 67⁰/₁₀₀, Саварэнскі для Насоўскага дасьл. поля паказвае лічбу 10,2⁰/₁₀₀ СаСО₃, як сярэдняю з 9 ям. Лёэс Стэб. дасьл. поля на глыбіні 410 см. мае (аналіз лябараторыі аграхэміі) 11,13⁰/₁₀₀ СаСО₃. Пры выдаленьні адных толькі карбанатаў з 12 мэтравай тоўшчы лёэсу можа стварыцца зьніжэньне ў $12 \times 11,13\% = 1,33$ м, ці каля 135 см. У сапраўднасьці сярэдняя глыбіня западзін роўна 168 см. (старонка 204), г. з. крыху больш; лішак з посьпехам можна аднесці за кошт вымываньня з лёэсу іншых злучэньняў (напр., пераход вокіснага Fe ў закіснае) і тых „першапачатковых няроўнасьцяў“ Саварэнскага ²⁾, якія з прычыны значнага ўвільгатненьня зьявіліся пачаткамі сучасных западзін.

Прысутнасьць у грунтовых водах карбанатаў паказвае на тое, што ўсё яшчэ ідзе вымываньне іх з павярхоўных парод, а значыцца, пры адпаведных умовах рост западзін можа быць яшчэ і цяпер. З другога боку, пры разворваньні западзіны інтэнсыўна заглеяваюцца, мікрарэльеф

¹⁾ Дімо Н. А. и Келлер Б. Н. „Из области полупустыни“ 1907 г.

²⁾ Саваренский Ф. П. „Почвенный покров Носовского оп. поля“ Киев 1924 г.

згладжваецца ці змяняецца на сетку равоў. Адсюль два кірункі далейшага разьвіцця рэльефу: першы — невеліраваньне паверхні, змяненьне на раўніну, другі кірунак — шпаркі рост равоў, глытаючых адну западзіну за другою, у выніку чаго лёсавая плято перарэзваецца часам сапраўды вялізнаю сеткаю равоў, прычым гіне значны % культурнай плошчы, утвараюцца перашкоды для вырабу глебы, для зносін і г. д.

Для Стэб. дасьл. поля можна чакаць, што з часам западзіны увойдуць у сыстэму равоў, якія ўжо і цяпер досыць значна парэзалі акраіны данага лёсавога плято.

Яшчэ Дакучаевым ¹⁾ была адзначана важная роля западзін на цалінным стэпэ, як натуральных хавальнікаў вады і рэгулятараў вільготнасьці, але ўжо па Чаргігаўскай губ. для ворных раёнаў праф. Афанасьёў дае адмоўную ацэнку ролі западзін. Забалочваньне днішч западзін вядзе да страты культурнай плошчы, а працэс змываньня са схілаў верхняга найбольш каштоўнага пласту чарназёму пагаршае якасьць глеб вакол западзін.

Забалочваньне днішч западзін падзолавай зоны робіць іх тым больш нягоднымі, таму што яны ці заняты асакою і іншымі вадалюбамі, ці па іх сыстэматычна адбываецца вымаканьне пасеваў вясною і ў восень, асабліва азімых. Змываньне-ж верхніх пластоў падзолавых глеб аж да пазёму В₂ не зьяўляецца тут такім абсалютным ліхам, як у зоне чарназёмаў. Агранамічная практыка даўно адмоўна ацаніла ўплыў падзолавага пазёму; досьледы Даярэнка наглядна паказалі, наколькі пагаршаецца вадапраніклівасьць і аэрацыя падзолавага пазёму пры разбурваньні натуральнага складу, ад чаго нельга ўхіліцца пры больш-менш глыбокім узорваньні. Дзеля гэтага выдаленьне падзолавага пазёму пры змываньні зьяўляецца дадатнасьцю, якая можа кампэнсаваць трату нязначнай колькасьці гумусу змытага пазёму А₁.

Добрае дрэніраваньне мікрасхілаў са змытымі глебамі, добрая іх аэрацыя, таксама зьяўляецца важным агранамічным плюсам. Вырабляючы непасрэдна ілювіяльны пазём В₁, узбагачаны асаваньнямі, умацняючы ў ім працэс выветрываньня, мы на такой „скалечанай“ глебе можам мець досыць пажыўной матэрыі для добрага ўраджая. Правільны севазварот разам з угнаеньнем можа запрычыніцца намнажэньню перагною, і тады гэтыя змытыя глебы з усіх бакоў будуць значна лепшымі за нармальных глеб з удалейшым падзолавым пазёмам.

Многу была зроблена спроба праверыць гэтыя меркаваньні канкрэтнымі данымі ўраджайнасьці глеб Стэб. дасьл. поля, для чаго былі скарыстаны матэрыялы катэдры агульнага земляробства па ўраджайнасьці зімовага жыта ў 1924 г. Умовы росту жыта — халоднае і дажджыстае лета з ліўнямі. Уплыў севазваротаў яшчэ ня мог выявіцца, дзеля таго што пасьяля спробнай сяўбы аўсу ўгнаеньне (гной) ўсюды клася адзін раз. Плошча падлікавай дзялянкі $10 \times 12 = 120$ кв. м.; усяго скарыстана 47 дзялянак. Сырая маса ўраджаю з дзялянкі важылася, $\frac{0}{100}$ зерня, вільгаці і сьмяціцін знаходзіліся па спробнаму снопу. У табл. № 10 паказан ураджай у пудох з дзясціны (глядзі стар. 219).

Як відаць з табліцы, найбольш ураджайнымі аказаліся падзолавабалотавыя глебы пэрыферыі западзін з намыўным верхам. За імі ідуць моцна-падзолавыя глебы са змытым верхам, далей нармальныя глебы плято і ніжніх частак схілаў. Днішчы буйных западзін (№ VI) з вялікаю вадазборнаю плошчаю значна вымакаюць вясною і ў восень, чаму ураджай з іх мізэрны.

¹⁾ Докучае В. В. „Наши степи прежде и теперь“ 1892 г.

Ураджайнасьць па глебавых тыпах зімовага жыта (у кілёграмах на гэктар).

Табл. № 10.

Папары	Глебы	Ураджай паветрана сухой масы (з+с)		Ураджай зерня		% зерня ад усяе масы (з+с)		% сарнякоў	
		Сярэди.	Памыл. —	Сярэди.	Памыл. —	Сярэди.	Памыл. —	Сярэди.	Памыл. —
Гнойны	Намыўныя	4707	387	1578	198	33,4	0,9	9,0	5,9
	Змытыя	4029	243	1401	112	33,9	0,7	6,7	3,1
	Нармальныя . . .	4167	129	1425	43	34,3	0,9	6,6	1,4
Вікавы	Намыўныя	4149	105	1494	88	35,0	0,8	3,5	1,1
	Змытыя	3996	141	1524	49	37,5	0,6	2,7	0,4
	Нармальныя . . .	3726	369	1255	172	34,1	0,8	6,6	2,2
	Днішчы западзін .	(603)	—	(174)	—	(29,1)	—	(12,0)	—
Канюшыны	Намыўныя	3318	333	1032	31	30,3	1,8	12,0	4,3
	Змытыя	3501	225	1144	84	33,0	1,8	8,4	2,4
	Нармальныя . . .	3195	33	882	249	27,5	3,5	15,3	1,9
Прэсны	Змытыя	(3057)	(165)	(1078)	(66)	(35,3)	(0,6)	(3,7)	(0,7)
Сярэдняе	Сярэдняе для ўсіх глебавых адмен (днішчы выключаны)	4300	—	1468	—	33,9	—	7,4	—
		3942	—	1425	—	35,5	—	4,3	—
		3342	—	1020	—	30,3	—	11,9	—
		(3057)	—	(1078)	—	(35,3)	—	(3,7)	—
		3861	—	1306	—	33,2	—	7,8	—
Сярэдняе для ўсіх папараў (прэсны выключан)	Намыўныя	4057	174	1368	73	32,9	0,7	8,0	2,5
	Змытыя	3843	120	1356	46	34,8	0,7	5,9	1,3
	Нармальныя . . .	3679	130	1188	102	32,0	1,2	9,5	1,1
	Днішчы западзін .	(603)	—	(174)	—	(29,1)	—	(12,0)	—

Гной падвышае ўраджай нармальных і намыўных глеб у большай ступені, чым змытых; як відаць, тут адбіваецца, апроч павялічэння пажыўной матэрыі, памяншэнне фізыкі глебы. Процент зерня найбольш высокім быў для змытых глеб—34,8⁰/₀, потым ідуць намыўныя—32,9⁰/₀, нармальныя—32,0⁰/₀ і днішчы западзін—29,1⁰/₀. Нарэшце, па засьмеча-насьці нармальныя глебы апынуліся таксама на апошнім месцы; папар з гноем таксама зрабіў на іх лепшы ўплыў.

Адсюль вынікае адзін вывад: нельга ставіць адзін досьлед на роз-ных глебавых тыпах; так, калі-б мы вывучалі, напрыклад, уплыў гною, дык падлікавыя дзялянкі на нармальных глебах дадуць большы эфэкт, чым тыя-ж дзялянкі з большаю колькасьцю гною, але зьмешчаныя на змытых глебах; пры аднакавых дозах рэзультаты будуць непараўнальна розныя.

Даная тэма была прапанована прафэсарам Я. М. Афанасьевым і зроблена пры катэдры глебазнаўства Горацкага С.-Г. Інстытуту пад яго кіраваньнем у 1924—25 г. г.

А. П. Мядзьведзеў.

Das Mikrorelief von Lössplateaus und sein Einfluss auf die Tiefe der Ablagerung des Karbonathorizontes.

Zusammenfassung.

1. Die Grösse der Elemente eines Mikroreliefs stehen in einem Zusammenhange mit der Mächtigkeit der Lössablagerung ihrer Tiefe nach, je stärker letztere ist, um so grösser und tiefer sind die Einsenkungen.

2. Einen deutlichen Ausdruck erreicht ein Mikrorelief auf Lössebenen der Wasserscheiden, steilen Abhängen fehlen sie vollständig.

3. Das Mikrorelief des Stebutischen Versuchsfeldes kann zu dem Typus eines Relief mit stark entwickelter Einsenkungsbildung gerechnet werden, die Anzahl der unversehrt gebliebenen kleinen Horizontalflächen beträgt im Ganzen nur 15,8% der Gesamtfläche, Einsenkungen im weiteren Sinne dieses Wortes nehmen die übrigen 84,2% für sich in Anspruch.

4. Der mittlere Umfang der Einsenkungen beträgt 120×88 M., ihre Tiefe 168 sm., auf ein Hektar entfallen 0,9 Einsenkungen.

5. Eine Exposition, im Sinne einer Veränderung der Länge und Steilheit der Hänge auf dem Stebutischen Versuchsfelde macht sich nicht sonderlich bemerkbar.

6. Die oberen Teile der Mikrohänge weisen Spuren von Abwaschung des Bodens auf. Die Einsenkungen sind in ihren unteren Teilen verschlammt, daher wird im weiteren Verlauf unter der Bezeichnung „verschlammt“ entweder dieser niedrigste versumpfte Teil überschwemmter Böden zu verstehen sein, oder „der Spiegel des maximalen Wasserstandes“ in den Einsenkungen.

7. Alle niedriger liegenden Teile lassen sich in drei Gruppen einteilen: 1) Grössere Senkungen (I Gruppe) ihr Umfang auf den angeschwemmten Böden beträgt im Mittel 73×45 M., bei einer Tiefe des abgeschlossenen Kessels von 53 cm. 2) Einsenkungen der II Gruppe— 26×9 M. bei einer Tiefe von weniger als 20 sm., und 3) kleine Einsenkungen und Vertiefungen, von der Oberfläche aus kaum bemerkbar.

8. Der Bodenkomplex setzt sich folgendermassen zusammen; stark podsolischer Boden mit normaler Oberkrume (auf dem Plateau und den niederen Teilen der Hänge)—40,5% 2) stark podsolischer mit abgeschwemmter Oberkrume (auf den höchst gelegenen Teilen der Mikrohänge, der Kämmchen und kleinen Kuppeln)—29,3% 3) podsolisch—sumpfiger mit angeschwemmter Oberkrume (in den Einsenkungen und Schluchten)—28,2% von ihnen werden 4,2% von den versunften Böden der Einsenkungen eingenommen.

7. Der Löss ist ein Umlagerungsprodukt der karbonathaltigen Moränen, weswegen er selbst ein Karbonathaltiges Gestein darstellt. Bei den Vorgängen der Bodenbildung werden die Karbonate ausgeschwemmt in verschiedene Tiefen, in Abhängigkeit vom Klima, der Vegetation und dem Relief (sowohl Gross—als Kleinrelief).

10. Die ausgebauchten Elemente eines Mikroreliefs-Kuppeln und Kömme brausen am stärksten auf—aus einer Tiefe von 177 sm. an, die horizontalen Kleinflächen sind tiefer ausgelaugt—bis 250 sm; die oberen Teile der Hänge brausen von einer Tiefe von 184 sm. an auf; die Mitte der Hänge von

212sm an, die unteren Teile der Hänge von 300 sm. an. Die Einsenkungen der ersten und zweiten Gruppe brausen überhaupt nicht auf bis zur Morene. Die kleinen Einsenkungen und Vertiefungen (ohne angeschwemmten Boden brausen von 50—100 sm. grösserer Tiefe an auf, als die sie umgebenden ebenen Flächen. Die mittlere Tiefe des Aufbrausen beträgt bei angeschwemmten Böden 195 sm., bei normalen 250 sm., während angeschwemmte gewöhnlich bis zu den Morenen hin nicht aufbrausen.

11. Die aller wahrscheinlichste Art der Bildung der Einsenkungen des Stebutischen Versuchsfeldes besteht wohl im Socken und einer Verhärtung des Bodens veranlasst durch das Auslaugen der Karbonate und anderer löslicher Verbindungen aus dem Löss. Das voraussichtliche Schicksal des Mikroreliefs im natürlichen Verlaufe der Dinge besteht in dem Uebergang der Einsenkungen in ein Netz von immerfort anwachsen der Schluchten.

12. Verschiedene Bodentypen reagiren nicht in gleicher Weise auf Bearbeitung und Düngung, im Sinne einer Ertragssteigerung.

A. M.

Да пытаньня аб скарыстаньні азоту з торфу ў сельскай гаспадарцы.

Пытаньне аб ужываньні торфу як угнаеньня даўно вырашана ў аддатным сэнсе сялянамі Архангельскай губ. У „Историческом писании Архангельской губ.“ 1885 году ёсьць паказаньні на торфавае ўгнаеньне (И. С. Бирюзов „Торфяное удобрение и его применение на нашем севере“).

Там торф, перш чым пакласьці ў глебу, падрыхтоўваюць, каб дапамагчы распаду яго арганічнай масы і адшчэпленую пажыўную матэрыю зрабіць даступнаю расьлінам. Спосабы падрыхтоўкі наступныя: 1) прапусканьне торфу праз скотны двор, у якасьці падсыцілу для скаціны і 2) кампаставаньне торфу з попелам, вапнаю і рознымі адкідамі сельскай гаспадаркі, з паліўкаю жыжкаю з пад гною, памыямі і да т. п.

У Прыбальтыцы і Фінляндыі кампаставаньне торфу з вапнаю і попелам звычайная рэч (журн. *Baltische Wochenschrift*).

Такім чынам, пытаньне аб ужытку торфу ў сельскай гаспадарцы, як угнаеньня, вырашана ў роўнай меры латышом, фінам і расійцам, ня гледзячы на розныя гаспадарчыя ўмовы.

Падвышэньне ўраджаяў у гаспадарцы залежыць ад накладу угнаеньня, а колькасьць апошняга ёсьць функцыя жывёлагадоўлі ў той-час, калі выраб мінеральных угнаеньняў яшчэ толькі пачынаецца, і гаспадарка мусіць карыстацца амаль што выключна гноем. Разьвіццё-ж жывёлагадоўлі ў сваю чаргу залежыць ад ураджайнасьці палёў, ад стварэньня значнай колькасьці арганічнай матэрыі для корму, як зерня, саломы, сена і да т. п. Ясна, што тут утвараецца круг, з якога нельга выйсьці без замены гною мінеральнымі ўгнаеньнямі, як гэта робіцца ў Нямецчыне, дзе шырока разгорнута хэмічная прамысловасьць, ці шукаць іншых спосабаў, не патрабуючых разьвітай прамысловасьці, ужываючы фасфарыт, вапну, попел, торф, зялёнае ўгнаеньне і інш.

Першае, замена гною мінеральнымі ўгнаеньнямі, цяпер у нас аддае ці праўдзівей, адыходзіць на задні плян з прычыны пачатковага стану хэмічнай прамысловасьці, а другое—ужытак торфу, фасфарыту, попелу, вапны, як угнаеньня, павінен заняць першае месца.

Ў гэтай працы разглядаецца толькі торфавае ўгнаеньне.

Вялізныя запасы торфу ў паўночнай і сярэдняй частцы СССР. (Для 24-х губ. 6. Эўрапейскай Расіі без Архангельскай губ. паводле даных Ц. С. К. 1887 г. агульная плошча дасягае 17 міл. дзесьцін) надаюць права спадзявацца на яго аграмаднае значэньне. Калі-ж прыняць пад увагу яго добрую якасьць, як угнаеньня, мяркуючы аб ім, як аб азотавым і арганічным угнаеньні, як растваральніку фасфарыта, а таксама падрахоўваючы яго каштоўнасьць, як падсыцільнага матар'ялу („Торф и торфяной навоз, как удобрение“ П. Ф. Купреенок), дык яшчэ рэльефней намалю-

еще то е палажэньне, якое павінен заняць торф у нечарназёмнай паласе СССР (гл. „карту распределения удобрений по районам“ проф. Д. Н. Прянишникова).

Асабліва вялікае значэньне можа мець торф, як угнаенне, для Беларусі. Значная колькасць торфавых балот, больш-менш роўнамерна раскіданых па Беларусі, даюць права спадзявацца на гэта.

Паводле даных Меліазема на Беларусі ёсць: агульная плошча балот 1643500 дзес., у тым ліку торфавых балот 650000 дз. Глыбіня пакладу торфу ў сярэднім 1 саж. Гэта дасць каля 1.560.000.000 куб. саж. сырога торфу.

У круглых лічбах у 1 куб. сажні сырога торфу можна лічыць 80—100 пуд. сухога торфу, з 25—30% вільгаці. Калі лічыць колькасць азоту ў торфе 2—3%, дык кожны куб. саж. будзе мець каля двух пудоў азоту. У сярэднім, значыцца, мы маем для Беларусі запас азоту, зьмешчанага ў арганічнай матэрыі торфу, каля 3-х мільярдаў пудоў (гэтая лічба хутчэй зьніжаная). Пры пераводзе на сэлітру гэта дасць каля 18-ці мільярдаў пудоў сэлітры. На гэткую колькасць азоту ў земляробчай краіне нельга не звярнуць увагі. Калі прыняць пад увагу беднасць нашых беларускіх глеб на азот і арганічную матэрыю, дык ужытак торфу, як угнаення, адыграе вялікую ролю ў падвышэнні нашых нізкіх ураджаяў (35—40 пуд. з дзесяціны). Трэба сказаць, што торф дапаможа сваімі арганічнымі кісьлямі ператварыць цяжка-спажывуную P_2O_5 фасфарытаў у даступную расьлінам форму. Вапна, што ёсць на Беларусі ў задавальняючай колькасці, дапамагае распаду арганічнай матэрыі торфу, як гэта будзе відаць далей.

Такім чынам, на Беларусі ёсць вельмі добрыя ўмовы для ўжытку ў сельскай гаспадарцы фасфарыту, торфу, попелу і вапны, як угнаення. Праблемы ўгнаення нашых палёў, якія распрацоўваюцца Навуковым Інстытутам па Угнаеннях, лябараторый праф. Д. Н. Пранішнікава і інш. навуковымі ўстановамі, больш чым дзе-небудзь могуць знайсці прыстаўсаванне на Беларусі.

Калі ў Шэнкурскім і Халмагорскім паветах Архангельскай губ., пры выключнай беднасці паўночных глеб, кароткім леце з марозамі ў траўні і жніўні, ўраджай трымаецца ў сярэднім 60—70 п. з дзесяціны (сярэдняя ўраджайнасць па СССР. 50 п. з дзес.), дзякуючы ўгнаенню торфам, дык пры беларускіх значна больш памысных умовах ураджай павінен быць узнят яшчэ больш.

У далейшым патрэбна толькі шчыльнай падыйсці да гэтага пытаньня, прызаняцца яго вывучэннем і адначасна практычным правядзеньнем у жыццё ўжо здабытых навукаю рэзультатаў.

Апошнім часам пытаньне аб прыпасаванні торфу да сельскай гаспадаркі стаіць на чарзе заняткаў шмат якіх даследчых устаноў.

Яшчэ ў 1906 годзе Münr і Lainé паказалі, што торф зьяўляецца добрым асяродкам для працы нітрафікуючых бактэрыяў. Торф значна багацей азотам (1%-3%), чым гной, які мае толькі 0,5% азоту. Натуральна павінна паўстаць пытаньне аб скарыстанні запасу торфавага азоту для жыўлення расьлін. У гэтым кірунку вялося і выдзецца шмат працы. Ня пераказваючы іх усіх, супынімся ў агульных рысах толькі на некаторых.

У гэтым кірунку шмат чаго зроблена клясычнымі даследамі Wollny (Wollny. Die zersetzung der organischen stoffe und die Humusbildungen. Heidelberg. 1897. s. 185), які вывучаў уплыў вапны на працэсы раскладання торфу.

Вялікая праца, што да працэсаў нітрыфікацыі і дэнітрыфікацыі ў торфе, зроблена Arnd'am у Брэмене, дзе ён адзначае выдатную ролю вапны пры раскладанні торфу.

Tacke, Immendorf і Missen (Landw. Jahrbücher. s. 78 Bd 27. Ergänzungsband 4, s 349) паказалі, што пры задавальняючым вапнаваньні балотавых глеб нітрыфікацыя ідзе, а пры недастачы вапны не.

Каб сьцьвердзіць вывады Tacke і інш. Arnd падае цэлы шэраг досьледаў, з якіх відаць, што як толькі ўглебу дадаць CaCO_3 і заразіць, дык нітрыфікацыя ідзе, што відаць з наступнай табліцы.

Для нітрыфікацыі дан $(\text{NH}_4)_2\text{SO}_4$, што адпавядае 31,2mlgr. N. Заражонасьць глебаю ў колькасьці 2⁰/₀-10⁰/₀ ад пажыўнога раствору.

№№ досьледаў	Сьвежая глеба ў колькасьці 70 gr	Колькасьць CaCO_3 ў gr	Пад канец досьледу было знойдзена	
			N аманіяку ў mlgr	Злучаны з кіслародам азот ў mlgr
1	Махавы торф з Каралаўскага балота Дэлянкі—20, 11, 14	—	29,8	Сьляды
2		—	29,9	"
3		—	30,1	"
4		—	28,6	"
5		0,25	28,3	"
6		—	28,3	"
7		—	26,1	"
8		0,5	27,1	"
9		—	26,8	"
10		—	—	23,8
11		1,0	—	23,4
12		—	—	23,5
13		—	—	20,1
14		2,5	—	23,2
15		—	—	22,6

З досьледаў Andr'a ясна відаць роля CaCO_3 , у пераводзе N з аманіякавых злучэньняў у нітраты.

Шырокія досьледы адбыліся на Энгэльгардаўскай дасьледчай с.-г. станцыі. Торф клаўся ў колькасьці 4800 п. на дзесяціну з тым разрахункам, каб з ім клалася столькі арганічнай матэрыі, колькі з саломенным гноем. У 1910 годзе торф на пустапарожняй зямлі падняў ураджай на 29⁰/₀, саломенны гной—на 40⁰/₀. Торф у наступныя гады падвышаў ураджай зерня да 25⁰/₀. З досьледаў высветлілася, што торфавы гной

у нармальнай колькасці мала чым падаецца саломеннаму гною і толькі палавінная яго колькасць робіць слабейшы ўплыў, чым саломенны гной. З дабаўкаю да торфу крэйды ён значна перавышае саломенны.

У 1891 і 1892 г.г. Запольская даследчая станцыя Ленінградзкай губ., на сугліністай глебе з зімовым жытам паказала, што дабаўка да торфу фасфарыту дала дадатны рэзультат.

Асабліва многа вэгэцыйных досьледаў з торфам было зроблена ў лябараторыі праф. Д. Н. Пранішнікава. Ува ўсіх досьледах торф дзейнічаў дадатна. Гэты ўплыў яго быў яшчэ большым, калі торф клаўся з вапнаю, якая зьяўляецца добрым нейтралізатарам арганічных і іншых кісьляў, што знаходзяцца ў торфе, і дапамагае раскладаньню торфа.

Падаю адну табліцу з кнігі П. Р. Купраёнка „Торф и торфяной навоз, как удобрение“.

Уплыў попелу і вапны пры махавым торфе на ўраджай сухой матэрыі.

№ № судзін	Угнаенні	Сярэдняя вага зерня ў gr з 2-х судзін	Сярэдняя вага саломы ў gr з 2-х судзін	Сярэдняя вага надземнага ўраджаю з 2-х судзін ў gr	0/0 0/0 ухлельняў	Надземны ўраджай ў 0/0 0/0
3 і 4	КР	4,28	6,17	10,45	7,7	100
9 і 10	КР+торф	8,71	16,74	25,45	3,4	243
25 і 26	КР+торф+попел	10,86	20,49	31,35	2,8	300
29 і 30	КР+попел	6,90	16,38	23,28	1,4	223
87 і 88	КР+торф+вапна	12,56	20,27	32,63	1,7	314
85 і 86	КР+вапна	5,54	8,11	13,65	5,0	131

Адсюль відаць, што адзін торф падвышае ўраджай на 143⁰/₀, дабаўка к торфу попелу на 200⁰/₀, а торф, попел і вапна падвышаюць ураджай на 214⁰/₀.

Апошнім часам вядуцца працы па кампаставаньню са шчолачамі і фасфарытам. У першым выпадку шчолачы дапамагаюць нейтралізаваньню кісьляў, раскладзенай арганічнай матэрыі торфу і мінэралізаваньню азота, а ў другім—фасфарыт раскладаецца торфам (торфавымі кісьлямі) і фосфар, які там зьмяшчаецца, становіцца даступным для расьлін. „Пры шырокім стасунку між колькасцямі торфу і фасфарыту можна раскладаньне фасфарыту давесці да ²/₃ ад таго раскладаньня, што робіцца серкаваю кісьляю ў супэрфасфатнай вытворчасці“. З гэз дакладу „О значение торфа, как материала для приготовления навоза и компоста“ праф. Д. Н. Пранішнікава.

Такім чынам, вельмі цікаваю і многа абяцваючаю зьяўляецца праблема праф. Д. Н. Пранішнікава аб падрыхтаваньні штучнага гною, яшчэ больш багатага пажыўною матэрыяй, чым гной з-пад скаціны, шляхам

кампаставанья торфу са шчолачамі і фасфарытам; гэтым можна будзе падвысіць належным чынам нашы нізкія ўраджаі. Адною з прац у гэтым кірунку ёсць яшчэ неапублікаваная праца студэнта Ц. С.-Г. Акадэміі Рындзіна, з якой відаць, што пры кампаставанні торфу з СаО вельмі добра ідзе мінералізавацьне торфавага азоту. За 158 дзён досьледу мінералізавана да 15% (14,76%) ад агульнай колькасці азоту, што знаходзіцца ў торфе

Гэтая праца мае на мэце прасачыць дынаміку азота пры кампаставанні торфу шчолачамі, і праведзена ў лябараторыі прафэсара Д. Н. Пранікава пад кіраўніцтвам П. Р. Купраёнка.

1. Досьлед у лябараторыі.

Дасьледны матар'ял. Для досьледу быў узяты торф з моху ў балочэ Алфёрава пры ст. Рашэтнікаў, Кастр. чыг. Торф узят з пакунку, прыгатаванага для падсыцілу, слаба раскладзены з ясна прыкметнымі сьцябламі моху (*Sphagnum*). Батанічны склад узятага торфу быў прыблізна наступны:

<i>Sphagnum</i> (medium і інш. віды)	50-60%
<i>Eriophorum vaginatum</i>	20%
Дамешкі (белы верас, карэньні і драўніна хвой і інш.)	20-30%

хэмічны склад:

На абсалютна сухую матэрыю торфа N	1,03%
У 100 gr попелу трымаецца СаО	15,75 „
Попелу на абс. сух. матэрыю торфа	4,09 „

Пачатковы матар'ял торфу трымаў 24,27% гіграскапічнай вільгаці. Вільгаэмістасьць торфу 864,1%.

Ненасычанасьць торфу аснованьнямі вызначана па Ва Cl₂—1,7% (у досьледзе прынята 2%).

Пры загатоўцы воднай выцяжкі, як з пачатковага матар'ялу, таксама і ў час досьледу, браўся стасунак торфу к вадзе 1:30, узбоўтывалася 20 хвілін.

Рэзультат аналізу воднай выцяжкі з пачатковага матар'ялу торфа:

На 100 gr абсалютна сухога торфу NO ₃ —	
„ „ „ „ „ „ NO ₂	0,49 mlgr
„ „ „ „ „ „ NH ₃	17,81 „
РН	6,64 „

Агульная шчолачнасьць: на 100 gr абсал. сух. торфу $\frac{2N}{100}$ HCl — 103,9 куб. с.

Агульная кісьлясьць: на 100 gr абс. сух. торфу $\frac{2N}{100}$ Ва (ОН)₂ — 37,4 куб. с.

Воднарастварымага СаО ад абс. сух. торфу—0,068%.

Воднарастварымай арганічнай матэрыі, паводле Ішчарэкава на 100 gr абс. сух. торфу 0,35 gr

Узятая для заражэньня кампостаў нітрыфікатамі гародняя зямля трымала 0,55% агульнага N, а водная выцяжка з яе (браўся стасунак зямлі к вадзе 1:4 і ўзбоўтывалася 20 хвілін) зьяшчала наступнае:

На 100 gr абсалютна сухой зямлі NO_3 —1,02 mgr
 " " " " " " NO_2 —сляды
 " " " " " " NH_3 —0,93 mgr
 РН 7,35 „

Нягашаная вапна змяшчала: CaO —85%, CaCO_3 —15%.

Колькасьць у мяшаным дрэўным попелу К, Na, Ca і Mg бралася сярэдняя, паводле „справочной книги русского сельского хозяина“ (Выд. 2-е 1896 г.).

К — 10%

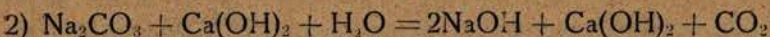
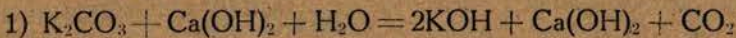
Na—2,5 „

Ca—30 „

Mg— 5 „

Схема і разрахунак досьледу.

Мэта досьледу—прасачыць дынаміку N (NO_3 , NO_2 і NH_3) пасья кампаставанья торфу з попелам і CaO ў розных камбінацыях. Былі закладзены два роўналежныя досьледы: з заражэньнем нітрыфікатарамі (гароднаю зямлёю) і без заражэньня. Камбінацыі браліся наступныя: 1) торф, 2) торф + 1% CaO , 3) торф + 2% CaO , 4) торф + 4% CaO , 5) торф + 4% попелу і 6) торф + 4% попелу + 0,38% CaO . Прычым, у выніку таго, што ўзятая нягашаная вапна змяшчала 15% CaCO_3 , бралася адпаведна гэтаму большая яе колькасьць. У попелу бралася пад увагу знаходжаньне соляў К, Na, Ca і Mg і ўсё пераводзілася для прастаты разрахунку на CaO . Пры гэтым выявілася, што ў попелу CaO было 53,13%, а таму, каб пакласьці аснованьняў да поўнай насычанасьці торфу, трэба было 3,7% попелу, але для прастаты класяся 4%. Нельга было спадзявацца, каб 4% попелу зрабілі такі самы ўплыў, як 2% CaO , дзеля таго што з попелам пападалі і іншыя непадлічаныя фактары, здольныя рабіць належны ўплыў на працэсы, што адбываюцца ў кампостах. У камбінацыі, калі да попелу дабаўлялі CaO , дык яе (CaO) дабаўлялі столькі, каб паміж соляў К і Na ў попелу і Ca(OH)_2 адбываліся поўнасьцю рэакцыі:



Пры гэтым разрахунку K_2CO_3 і Na_2CO_3 пераводзіліся на K_2O .

Заражэньне рабілася гароднаю зямлёю з падліку 5 gr абсалютна сухой гароднай зямлі на 100 gr абс. сух. торфу.

Кампосты закладзены ў звычайных вэгэтацыйных шклянках судзінах у кожнай па 100 gr абсалютна сухога торфу з адпаведнаю колькасьцю попелу і нягашанай вапны. Вільготнасьць трымалася ўвесь час 60% ад поўнай вільгаёмістасьці торфу. Паліўка рабілася па меры выпарваньня па вазе. Для лепшай аэрацыі кампосты ад часу да часу старанна пера-мешваліся. Кампосты захоўваліся пры тэмпературы 17-21°C. і толькі к канцу досьледа перадапошняга і апошняга тэрміну ў аналізе тэмпература была ніжэй за 15°C. Досьлед закладзен 22-25 лістапада 1924 г.

Результаты анализу.

Даныя пэрыядычнага анализу водных выцяжак з незаражоных і заражоных нітрыфікатарамі кампостаў паказаны ў табліцах і дыяграмах, зьмешчаных у канцы артыкулу. Тут-жа супынімся толькі каротка на іх разборы.

З табліцы № 1 і дыяграм №№ 1 і 2 відаць, што нітрыфікацыя адбываецца ў кампостах, як з заражэньнем, так і без заражэньня, ў выпадку, калі пакладзены попел і вапна ў гэй ці іншай колькасьці. Нават няпоўная насычанасьць 1% СаО ўжо выклікала нітрыфікацыю, але тут яна пачалася толькі пазьней. У кампостах без заражэньня нітрыфікацыйныя працэсы пачаліся з значным апазьненьнем. У той час, калі ў заражоных судзінах нітрыфікацыя была ўжо выяўлена ў поўнай меры на 24 дзень ува ўсіх судзінах, апрача аднаго торфу, у незаражоных судзінах нітрыфікацыя яшчэ не пачыналася і толькі былі зазначаны сьляды NO₃, дзе было пакладзена 4% СаО. Спачатку нітрыфікацыя ідзе бурна, але хутка паслабляецца і нават пачынаецца зьніканьне нітратаў там, дзе пакладзена больш шчолачаў. У той час, калі за 72 дні ў незаражоных кампостах з 4% попелу ствараецца 388,51 mgr NO₃, а з 4% попелу + 0,38% СаО — 387,1 mgr, дык праз 151 дзень у гэтых кампостах знойдзена належна па 408 і 474 mgr NO₃ на 100 gr абс. сухога кампосту; у заражоных кампостах з 2% СаО праз 72 дні — 405 mgr, а праз 151 дзень — 463 mgr NO₃.

Такім чынам, можна дапусьціць, што мінэралізаваньне азоту ў торфе можа быць да пэўнае мяжы ў тым выпадку, калі прадукты жыцьцядзейнасьці нітрыфікатараў (NO₃) ня будуць тым ці іншым спосабам выдалены, і што бяз іх выдаленьня ўвесь азот у торфе ня можа мінэралізавацца. Гэткае дапушчэньне вымагае далейшых у гэтым кірунку досьледаў. У адным торфе без заражэньня нітрыфікацыі зусім ня было, а з заражэньнем толькі на 151 дзень зьявілася трохі NO₃ (16 mgr на 100 gr абс. сух. торфу).

У дыяграме № 1 адзначаецца нібы няўв'язка. Спачатку ідзе павялічэньне аманіяку, а потым яго зьмяншэньне між тым як NO₃ не ствараецца, і робіцца ўраджаньне, што NH₃ зьнікае няма ведама куды. Гэта бывае з тае прычыны, што малыя колькасьці NO₃ не маглі быць падлічаны, дзякуючы афарбоўцы водных выцяжак; апрача таго, з памяншэньнем NH₃ заўсёды наглядалася павялічэньне NO₂, што не паказана на дыяграме з прычыны іх нязначнай колькасьці.

У адваротным парадку ідзе зьніканьне нітратаў: там, дзе яны перш зьявіліся, там і раней пачынаецца іх зьніканьне. Асабліва яўнае зьніканьне NO₃ адбылося ў кампостах з заражэньнем з 4% СаО, 4% попелу і 4% попелу + 0,38% СаО, дзе, як відаць, з гароднаю зямлёю пакладзены фактары, дапамагаючыя гэтаму зьявішчу. У кампостах-жа без заражэньня пачалася зьніканьне NO₃ толькі з 4% СаО. Далей будзе выяўлена сувязь гэтага зьявішча з РН і воднарастварымаю арганічнаю матэрыяй.

Зьніканьне NO₃ ў некаторых кампостах выклікала канечную патрэбу ў тым, каб зрабіць выяўленьне агульнай колькасьці азоту спосабам Юдльбаўэра, каб выявіць, якая колькасьць агульнага азоту будзе ў кампостах, дзе NO₃ зьніклі і дзе не. Для гэтага мною зроблена выяўленьне агульнай колькасьці N ў заражоных кампостах: 1) Торф + 2% СаО, дзе ня было ўпаду нітратаў, і 2) Торф + 4% попелу + 0,38% СаО, дзе зьніканьне NO₃ выявілася ў поўнай меры — да сьлядоў.

Результаты выяўленьня агульнай колькасці азоту былі наступныя:

1) Торф + 2⁰/₀ СаО 1,07⁰/₀ N

2) „ + 4 „ попелу + 0,38⁰/₀ СаО . 1,1 „ N

Раўнууючы гэтую колькасць агульнага азоту з колькасцю азоту ў пачатковым матар'яле, дзе было знойдзена 1,03⁰/₀, можна, ня робячы з прычыны малой колькасці нагляданых фактаў пэўных вывадаў, сказаць, што памяшэння азоту ня было пасля знікання NO₃, а таму можна здагадацца ў даным выпадку аб адсутнасці дэнітрыфікацыйных працэсаў у вузкім сэнсе гэтае з'явы, а нітраты страчаны ў працэсах біялагічнага жыцця ў кампостах і ператвораны на нерастварымае бялковае злучэнне, як гэта мае месца ў чарназёмных глебах. (Артыкул проф. А. Н. Лебедянцева „Значение фосфоритов для сельского хозяйства северной половины черноземной полосы“.—Труды Научного Института по Удобрениям, вып. 12).

Магчыма таксама часткова і фізыка-хэмічнае паглынанне азотнай кіслі, як гэта адбываецца ў чарназёме. (Научно-Агрономический журнал № 2 1924 г. Артыкул праф. А. А. Шмука „Из явлений поглощения азота селитры черноземной почвы“).

У 5 тэрмін аналізу значны % мінэралізаванага азоту ў кампостах належыць да NH₃, які намнажаецца адначасна з нітрыфікацыяй, тымчасам у кампостах з заражэннем ідзе памяншэнне NH₃.

У кампостах без шчолачаў, як з заражэннем, так і без заражэння NH₃ павялічваўся да пэўнага роўню і потым заставаўся нязьменным. Адначасна з азотам шукалася РН, воднарастварымая арганічная матэрыя, паводле Ішчарэкава, агульная шчолачнасць і кісласць.

РН (табліца № 2 і дыяграмы №№ 3 і 4) у водных выцяжках з усіх кампостаў мянялася ў межах ад 6,2 да 7,65. Здавалася-б РН было такім, што не перашкаджала развіццю нітрыфікуючых бактэрыяў. Для высвятленьня канцэтрацыі вадародных іонаў у кампоставым раствору, дзе нітрыфікацыя выяўлена ў поўнай меры і дзе нітрыфікацыі ня было, мною быў здабыты раствор кампосту праз выцісканне прэсам. Раствор выходзіў з кампосту з заражэннем праз 56 дзён пасля закладкі кампостаў (4 тэрмін аналізу) бяз шчолачаў і з 2⁰/₀ СаО. Адначасна з гэтым у 4 тэрмін аналізу ў водных выцяжках гэтых самых кампостах шукалася воднарастварымая СаО. Результат быў наступны:

РН у кампостным раствору (торф бяз шчолачаў) . . . 5,6

РН „ ч „ („ „ 2⁰/₀ СаО) . . . 5,91

Воднарастварымай СаО ад абсалютна сухоў матэрыі кампосту (торф бяз шчолачаў) — 0,04⁰/₀.

Воднарастварымай СаО ад абсалютна сухой матэрыі кампосту (торф + 2⁰/₀СаО)—1,96⁰/₀.

Значная адмена воднарастварымай СаО і РН з адным торфам і торфам з 2⁰/₀ СаО паказвае на важную ролю гэтых фактараў у працэсе мінэралізавання азоту арганічнай матэрыі торфу.

Пры разглядзе табліцы змянення РН відаць нязначны ўхіл у бок кісласці. Што да РН у розных кампостах, дык яно знаходзіцца ў прастай залежнасці ад пакладзеных шчолачаў,—дзе пакладзена больш шчолачаў, там наглядаецца больш РН (выцяжкі больш шчолачны).

Раўнючы дыяграмы №№ 1 і 2—дынамікі азоту—і №№ 3 і 4—змянення РН, можна ўбачыць, што нітраты пачалі знікаць там, дзе РН вышэй 7, і ня знікаюць—дзе РН ніжэй 7. Хоць РН велічыня адносная, залежная ад спосабу загатоўкі выцяжак і інш., тым ня менш такое зьявішча паказальна. З працы Т. М. Захаравай „К вопросу о зависимости процесса денитрификации от реакции среды“ (Труды Научного Института по Удобрениям, вып. 15) відаць, што рэакцыя 7—8,2 дапамагае дэнітрыфікацыі, падкільсеньне асяродку спыняе яе. Зусім можна дапусьціць, што шчолачны асяродак дае магчымасьць і разьвівацца арганізмам, якія злучаюць NO_3 ў складанае бялковае злучэньне, нерастварымае ў вадзе.

Воднарастварымая арганічная матэрыя з нітрыфікацыйнай зьявішча (табліца № 3 і дыяграмы № 5 і 6). Асабліва выразна гэта выявілася ў кампостах з заражэньнем, дзе працэс нітрыфікацыі пачаўся раней і цягнуўся даўжэй, чым у кампостах без заражэньня. Са зьніканьнем нітрату воднарастварымая арганічная матэрыя павялічваецца. Такая сувязь выяўлена Б. А. Голубавым у чарназёмнай глебе пры ўгнаеньні дэфекацыйнаю гряззю. „Дефекационная грязь и известь как удобрения в районе свеклосахарного производства. Особенности черноземных почв при удобрении их известью“. У „Сборнике статей по сахарной промышленности“. Выд. 1924 году.

У табліцах №№ 4 і 5 паказаны агульная шчолачнасьць і кісьлясьць. За 12 дзён досьледу як агульная шчолачнасьць, таксама і кісьлясьць падвысіліся; у далейшым агульная шчолачнасьць зьнізілася, а кісьлясьць амаль ня зьмянілася.

У апошні тэрмін аналізу мною параўноўваліся афарбоўкі водных выцяжак з кампостаў, прычым яны разьмясьціліся па спадаючай ступені афарбоўкі гэтак: самую інтэнсыўную афарбоўку (колера моцнай гарбаты) мелі выцяжкі з кампостаў—1) торф + 4% попелу + 0,38% CaO , потым выцяжкі разьмясьціліся ў наступным парадку: 2) торф + 4% попелу, 3) торф, 4) торф + 4% CaO , 5) торф + 2% CaO і 6) торф + 1% CaO . У кампостах з заражэньнем такая градацыя інтэнсыўнасьці афарбоўкі выцяжак выражана значна рэльефней, чым у кампостах без заражэньня.

З тае прычыны, што няма здавальняючых спосабаў выявіць раскладаньне торфу, абмяжваліся толькі параўнаньнем афарбоўкі кампостаў. Дзеся гэтага мною браліся аднакавыя колькасьці кампостаў, клаліся на чыстую белую паперу аднастайнымі кучкамі і параўнаньне рабілася навока. Паводле цьмянасьці афарбоўкі як з заражэньнем, так і без заражэньня, кампосты разьмясьціліся наступным чынам, пачынаючы ад самых цьмяных, блізу чорных: 1) торф + 4% CaO , 2) торф + 4% попелу + 0,38% CaO , 3) торф + 4% попелу, 4) торф + 2% CaO , 5) торф + 1% CaO і 6) адзін торф. Кампост з аднаго торфу бяз шчолачаў аказаўся самым сьветлым, амаль што зусім нераскладзеным.

У зьвязку з тым, што торф зьяўляецца нібы губкаю, якая паглынае аманіак і трымае яго, не даючы магчымасьці перайсьці ў водную выцяжку, і каб даведацца, ці адзін толькі аманіак пераходзіць у нітраты пры кампаставаньні торфу, мною быў зроблен наступны досьлед. Праз 10 месяцаў ад пачатку кампаставаньня торфу мінералізаваны азот з пачатковага матар'ялу торфа і з кампосту з 1% CaO (з заражэньнем гароднаю зямлёю) выцясьняўся нармальным раствором NaCl і дыстыляванаю вадою. Браліся наважкі, зьмяшчаліся на фільтры бяз попелу і рабілося прамываньне да зьніканьня рэакцыі на NH_3 (рэактыў Nessler'a).

Результаты анализу показаны ў таблиці:

№ №	Матар'ял	Чым рабілася выцясьненне	Наважка у gr	NH ₃ на 100 gr абс. сух. матэрыі ў mgr			NO ₃ на 100 gr абс. сух. матэрыі ў mgr			Увага	
				pH	NH ₃	Азот NH ₂	% ад агульнага колькасці N	NO ₃	Азот NO ₃		% ад агульнага колькасці N
1	Некампаст. торф .	NaCl	2,3279	3,6	79,20	65,18	6,33	—	—	—	Сьляды
2	„ „ .	H ₂ O	1,9782	4,4	41,04	33,78	3,28	—	—	—	„
3	Кампост	NaCl	2,3527	4,4	43,32	35,65	3,46	—	—	—	„
4	„	H ₂ O	1,9588	4,8	20,74	17,07	1,66	531	119,91	11,54	„

Ад анализу выцяжкі з кампосту пры стасунку абсалютна-сухога кампосту к вадзе 1:30 былі наступныя вынікі:

На 100 gr абс. сух. кампосту NH₃ 5 mgr Азот NH₃ 4,12 mgr 0/0 ад агульнай колькасці N—0,40/0.
 „ „ „ „ „ „ NO₃—498mgr. Азот NO₃—112,55-mgr 10,93/0.
 „ „ „ „ „ „ NO₂—сьляды

Калі параўнаць рэзультаты анализу воднай выцяжкі пачатковага торфу, зьмешчаныя ў адзеле: „пачатковы матар'ял“, з рэзультатамі воднай выцяжкі з 10-ці месячнага кампосту з 10/0 CaO (з заражэньнем) і з рэзультатамі анализу фільтрату, здабытага прамываньнем нармальным растворам NaCl і H₂O, як пачатковага матар'ялу торфа, таксама і кампосту, дык будзем мець зусім розныя лічбы. Асабліва вялікая розніца ў колькасці аманіяку у воднай выцяжцы і фільтрате ад прамыванья некампастаннага торфу і кампосту. У той час, калі ў пачатковым матар'яле торфу ў выпадках воднай выцяжкі было N—1,41/0 ад агульнай колькасці торфавага азоту,—пры выцясьненні дыстыляванаю вадою 3,28/0,—а пры выцясьненні нармальным растворам NaCl—6,33/0 ад агульнай колькасці торфавага азоту. У кампосце воднаю выцяжкаю выяўлена 0,4/0 аманіячнага азоту і 10,93/0 нітратнага азоту ад агульнай колькасці азоту, у той час, калі шляхам выцясьнення вадою атрымана 1,66/0 азоту NH₃ і 11,54/0 азоту NO₃, а пры выцясьненні нармальным растворам NaCl—3,46/0 азоту NH₃ ад агульнай колькасці кампоставага азоту; што да азоту NO₃, дык яго ў даным выпадку не ўдалося азначыць дзякуючы NaCl.

З параўнанья колькасці рознага азоту, выцесненага вадою з пачатковага матар'ялу торфа і з кампосту, бачым, што яго з апошняга выцеснена значна больш—13,2/0 ад агульнай колькасці кампоставага азоту, тады як з першага (пачатковага матар'ялу торфа)—3,28/0. Гэта дазваляе сказаць, што частка азоту арганічнай матэрыі торфу перайшло ў мінеральную форму даступную для жыўлення расьлін.

Даны досьлед не вырашае наогул пытанья аб скарыстанні торфавага азоту ў сельскай гаспадарцы, дзеля таго што працэсы мінералізаваўня пойдуць, як відаць, зусім у іншым кірунку, калі ўзяць для до-

сьледу які-небудзь іншы торф, створаны пры іншых умовах і пры іншай расьлінай фармацыі. Ён становіць толькі праблемы, якія могуць вырай шацца далейшаю працаю.

Гэты невялікі матар'ял паказвае на складанасьць працэсаў, што адбываюцца ў кампостах, залежных ад размаітых прычын (гэнэзісу торфа, батанічнага складу, бактэрыяльных працэсаў, кампаставаньня і інш.) і паказвае, што гэтыя працэсы могуць быць лепш вывучаны сумеснаю працаю аграхэмікаў, глебазнаўцаў, батанікаў, бактэрыялёгаў.

У выніку гэтае працы можна зрабіць наступныя вывады для данага торфу і умоў, пры якіх быў пастаўлен досьлед.

1) Пры кампаставаньні торфу з шчолачамі нітрыфікацыя адбываецца; без заражэньня нітрыфікатарамі яна пачынаецца пазьней.

2) Калі торф кампастуецца бяз шчолачаў, дык нітрыфікацыя ў ім ня мае месца.

3) Нітрыфікацыя спачатку ідзе напорна, а потым сьціхае і нават зусім спыняецца.

4) Намнажэньне нітратаў ідзе да пэўнага моманту, пасля якога ў залежнасьці ад умоў яны ці зьнікаюць ці намнажаюцца.

5. Нітрыфікацыя залежыць ад РН, якая зьяўляецца функцыяй шчолачай.

6. Зьніканьне нітратаў пачынаецца там, дзе большая шчолачнасьць (РН > 7). Пытаньне аб тым, куды дзяваюцца нітраты, вымагае далейшых досьледаў.

7. Са зьніканьнем нітратаў воднарастварымая арганічная матэрыя павялічваецца. (Гэтая зьява адзначаецца, як факт. Сувязь яе са зьніканьнем нітратаў вымагае далейшых тлумачэньняў).

II. Вэгэтацыйны досьлед.

Кам мець адказ ад самой расьліны, я правёў кампосты праз вэгэтацыйны досьлед. Мэта досьледу — высвятленьне пытаньня аб скарыстаньні торфу расьлінамі.

Для досьледу была ўзята глеба з пяскова-бульбянага дасьледчага поля (Малахаўка, Маскоўскай губ.). Глеба перш адсявалася на рэшаце ад буйных камкоў, каменя і трэсак. Высушвалася глеба да паветрана-сухога стану. У такім стане яна мела 5,43% гіграскапічнае вады. Поўная вільгаёмістасьць глебы 27%. З глебы рабілася перш водная выцяжка пры стасунку глебы к вадзе 1:5 і ўзбоўтывалася 20 хвілін.

Рэзультаты аналізу воднае выцяжкі былі наступныя:

На 1 kgr абс. сух глебы: NO_3 — 62 mgr, NH_3 — 1,5 mgr, NO_2 — сьляды. РН воднай выцяжкі—6,81.

Для досьледу былі ўзяты вялікія шклянныя вэгэтацыйныя судзіны. Глебы на кожную судзіну клалася 5 kgr. Дрэнаж у судзінах—паўконусы з пяском.

Колькасьць торфу і кампосту на судзіну бралася 60 gr абс. сух. (каля 0,6 gr N на судзіну), што пры пералічэньні на дзесяціну дае 2400 пуд. торфу ці кампосту. Na_2HPO_4 1% была дадзена на кожную судзіну 50 к. с. (0,25 gr P_2O_5), KCl 1%—119 куб. с. (0,75 gr K_2O).

У вэгэацыйныя судзіны без кампосту клалася СаО і попелу адпаведна столькі, колькі з 60 gr абс. сух. кампосту, каб падлічыць і іх уплыў на рост расьлін.

Торф, кампост, растворы, СаО і попел перад тым, як пакласьці ў судзіны, перш перамешваліся з глебаю. Была зьвернута ўвага на тое каб пры набіўцы судзін глебаю захоўвалася аднакавая вільготнасьць глебы і аднакавая шчыльнасьць. За ўвесь час досьледу вільготнасьць трымалася ў 60% ад поўнай вільгаёмістасьці глебы. Вільгацеёмістасьць торфу таксама бралася пад увагу. На працягу досьледа судзіны паліваліся па вазе.

Для досьледу браліся 4 парных судзіны, з якіх 3 былі з расьлінамі і адна без расьліны. У апошняй судзіне пэрыядычна браліся пробы для воднай выцяжкі, у якіх (прабах) азначаліся розныя віды азоту (NO_3 , NO_2 і NH_3) і РН. Гэтакі аналіз даў нам магчымасьць сачыць за працэсамі, што адбываюцца ў глебе без расьлін, хоць пад расьлінамі працэсы ідуць зусім па іншаму з тае прычыны, што намножаныя нітраты ішлі на жыўленьне расьлін; але аб гэтых працэсах нам казаў значворны выгляд расьліны, якая разьвівалася. Пасьля ўборкі расьлін быў зроблен аналіз воднай выцяжкі з глебы з-пад расьлін. Рэзультаты аналізу зьмешчаны ў канцы тэксту ў табліцы № 6. З табліцы відаць, што ў судзінах з торфам нітратаў увесь час досьледу было больш, за выключэньнем: 1) N_{17} КР + кампост Т. з 1% СаО без заражэньня ў 3 і 4 тэрмін аналізу, 2) N_{13} КР + кампост торфу без заражэньня ў 1 тэрмін аналізу, 3) N_{20} кампост торфу з 4% попелу без заражэньня ў 4 тэрмін аналізу, 4) N_{33} КР + кампост торфу з 4% попелу + 0,38% СаО без заражэньня ў 3 і 4 тэрміны аналізу, 5) N_{73} КР + кампост торфу з 4% попелу з заражэньнем у 3 тэрмін аналізу і 6) N_{77} КР + кампост торфу з 4% попелу + 0,38% СаО з заражэньнем у 2 тэрмін аналізу.

Сяўба, вэгэацыйны пэрыяд і ўборка.

Расьлінаю для досьледу быў узяты авёс. Сяўба зроблена 9 чэрвеня. Насеньне перш прарошчвалася між аркушаў фільтравальнай паперы, якія мачыліся дыстыляванаю вадою, і пасаджана ў судзіны прарослым ужо настолькі, каб карэньчык быў роўны з даўжынёю зерня. Пасадка рабілася на глыбіню 2 см. У кожную судзіну пасаджана па 10 шт. зернят. Пасьля прарэджваньня ў судзінах засталася па 5 расьлін. Для большасьці расьлін пачатак куставаньня 30 чэрвеня, пачатак калашэньня 23 ліпеня і пачатак дасьпяваньня 10 жніўня.

У час вэгэацыі расьліны ў судзінах з кампостам выглядалі значна лепш па моцы разьвіцьця і яскравей па зялёнасьці, чым расьліны ў судзінах без кампосту.

З пачатку вэгэацыйнага пэрыяду асабліва добры выгляд мелі расьліны ў судзінах, дзе былі пакладзены кампосты без заражэньня гароднаю зямлёю (NN 13—33 з расьлінамі). Судзіны-ж з кампостамі з заражэньнем, (NN 57—80 з расьлінамі), хоць і мелі добры зялёны выгляд, але крыху спазьняліся ў росьце і толькі ў другі пэрыяд вэгэацыі, пасьля калашэньня, яны пачалі даганяць у росьце расьліны ў судзінах з кампостамі без заражэньня, а к канцу вэгэацыі выглядалі крыху лепш. Расьліны зьняты ня зусім сьпелымі, чаму ў табліцы падаецца сярэдняя вага надземнага ўраджаю:

№№ судзін	У Г Н А Е Н Ь Н І	Сярэдняя вага надземнага ўрадкаю з 3-х судзін.	$\frac{0}{100}$ ухіленьняў ўрадкаю ад сярэдняга.	Надземны ўра- дак у $\frac{0}{100}$
6, 7 і 8	КР	8,48	7,2	100
10, 11 і 12	КР + пачатковы матар'ял торфу	10,78	7,3	125,94
14, 15 і 16	КР + кампаставаны торф без заражэньня	9,64	19,5	114,03
18, 19 і 20	КР + " " з $1\frac{0}{10}$ СаО б. з.	11,8	5,0	139,15
22, 23 і 24	КР + " " з $2\frac{0}{10}$ СаО б. з.	13,02	2,4	153,53
26, 27 і 28	КР + " " з $4\frac{0}{10}$ СаО б. з.	12,03	3,7	141,86
30, 31 і 32	КР + " " з $4\frac{0}{10}$ попелу б. з.	12,23	4,5	144,22
34, 35 і 36	КР + " " з $4\frac{0}{10}$ попелу + + $0,38\frac{0}{10}$ СаО без зар.	12,37	4,7	145,87
38, 39 і 40	КР + 0,64 gr СаО	9,02	9,3	106,35
42, 43 і 44	КР + 1,27 gr СаО	8,58	6,3	101,18
46, 47 і 48	КР + 2,54 gr СаО	9,82	5,2	115,80
50, 51 і 52	КР + 2,4 gr попелу	9,92	9,6	116,98
54, 55 і 56	КР + 2,4 gr попелу + 0,23 gr СаО	10,20	7,2	120,28
58, 59 і 60	КР + камп. торф з заражэньнем	12,50	4,3	147,41
62, 63 і 64	КР + " " з $1\frac{0}{10}$ СаО з зараж.	12,60	5,8	148,58
66, 67 і 68	КР + " " з $2\frac{0}{10}$ СаО з зараж.	13,95	4,5	164,5
70, 71 і 72	КР + " " з $4\frac{0}{10}$ СаО з зараж.	11,97	8,5	141,17
74, 75 і 76	КР + " " з $4\frac{0}{10}$ попелу з зар.	12,43	4,1	146,58
78, 79 і 80	КР + " " з $4\frac{0}{10}$ попелу + + $0,38\frac{0}{10}$ СаО з зараж.	12,47	11,0	147,05

Грунтуючыся на атрыманых даных надземнай масы, адзначаных у табліцы і раўнауючы ўрадкаю у судзінах з кампастамі і бяз іх, трэба адзначыць наступнае:

1. Падвышэньне ўрадкаю было ўва ўсіх судзінах, куды былі пакладзены кампасты і торф.

2. Значны прырост ураджаю надземнай масы атрымаўся там, дзе ў кампосты было пакладзена 2⁰/₀ СаО. (У кампостах без заражэння—53,53⁰/₀, а з заражэннем—64,5⁰/₀).

3. Атрыманы прырост ураджаю можна залічыць на кошт памыснага дзейнічання торфавага ўгнаення.

4. У судзінах з СаО і попелам ураджай атрымаўся крыху вышэй, чым у судзінах з КР. Пакладзеньня шчолачы шкоднага ўчынку на разьвіццё расьлін не зрабілі.

П. С. Трус.

Табліца № 2

змянення РН у водных выцяжках з торфавых кампостаў

Тэрміны аналізу	Торф		Торф + +1% СаО		Торф + +2% СаО		Торф + +4% СаО		Торф + +4% поспу		Торф + +4% поспу + +0,38% СаО	
	Без зара- жэння	З зара- жэннем	Без зара- жэння	З зара- жэннем	Без зара- жэння	З зара- жэннем	Без зара- жэння	З зара- жэннем	Без зара- жэння	З зара- жэннем	Без зара- жэння	З зара- жэннем
Праз 12 дзён .	6,44	6,44	7,15	6,79	7,35	6,88	7,35	7,37	7,15	7,37	7,35	7,37
„ 24 дні .	6,22	6,22	6,44	6,22	7,12	6,95	7,63	7,37	7,20	7,37	7,37	7,20
„ 40 дзён .	6,33	6,47	6,76	6,88	7,20	7,15	7,6	7,50	7,20	7,25	7,37	7,35
„ 56 „ .	6,47	6,22	6,64	6,55	7,06	6,81	7,15	7,35	6,98	6,89	7,06	7,15
„ 72 дні .	6,35	6,34	6,43	6,72	7,15	6,81	7,50	7,65	6,55	7,25	6,98	7,35
„ 151 дзень	6,45	6,22	6,54	6,34	6,81	6,64	7,35	7,65	6,34	7,15	6,81	7,35

Табліца № 3

змянення воднарастварымае арганічнае матэрыі паводле Ішчэрэкава ў gr на 100 gr абсалютна сухога торфу

Праз 12 дзён .	0,29	0,234	0,328	0,354	0,35	0,337	0,391	0,411	0,342	0,363	0,348	0,331
„ 24 дні .	0,35	0,426	0,386	0,46	0,47	0,437	0,522	0,466	0,485	0,40	0,443	0,457
„ 40 дзён .	0,275	0,305	0,29	0,285	0,335	0,325	0,465	0,305	0,41	0,36	0,485	0,365
„ 56 „ .	0,279	0,292	0,405	0,279	0,371	0,243	0,346	0,306	0,415	0,316	0,407	0,34
„ 72 дні .	0,35	0,216	0,372	0,208	0,423	0,184	0,34	0,276	0,367	0,232	0,396	0,297
„ 151 дзень	0,29	0,45	0,22	0,31	0,24	0,33	0,32	0,35	0,25	0,62	0,22	0,68

Табліца № 4

агульнай шчолачнасці ў водных выцяжках з торфавых кампостаў (колькасць к. с. $\frac{2N}{100}$ HCl на 10 gr (абсалютна сухога торфу)

Праз 12 дзён .	137,6	128,4	152,9	155,9	351,6	198,7	489,1	363,8	324	311,8	351,6	330,2
„ 24 дні .	58,1	70,3	119,2	97,8	192,6	119,2	256,8	226,2	206,9	217	207,9	186,5
„ 40 дзён .	73,4	85,6	113,1	122,2	177	128,4	321	226,2	131,5	155,9	266	161
„ 56 „ .	66,2	67,3	91,7	85,6	155,9	97,8	186,5	234,4	144,7	134,5	159	185,5
„ 72 дні .	76,4	61,1	125,3	76,4	177	88,7	192	266	118,2	122,3	159	223,2
„ 151 дзень	79,5	61,1	73,4	55	91,7	88,7	220,1	305,7	85,6	204,8	110,1	275,1

Табліца № 5

агульнай кісласці ў водных выцяжках з торфавых кампостаў (колькасць к. с. $\frac{2N}{100}$ Ва(ОН)₂ на 100 gr абсалютна сухога торфу)

Праз 12 дзён .	78	71,8	78	65,5	78	62,4	62,4	53	70,1	62,4	70,1	43
„ 24 дні .	68,6	67,6	65,5	62,4	53	59,3	53	62,4	62,4	62,4	65,5	49
„ 40 дзён .	68,6	81,1	59,3	78	59,3	62,4	65,5	53	65,5	56,2	56,2	49
„ 56 „ .	78	84,2	68,6	73,8	65,5	56,2	53	46,8	56,2	56,2	62,4	43
„ 72 дні .	93,6	68,6	78	68,6	68,6	46,8	46,8	46,8	81,1	56,2	87,4	56
„ 151 дзень	60,9	85,9	57,3	50,1	35,8	43	28,6	39,4	71,6	43	47,7	50

Гідроліз крухмалу дэстыляванаю вадою пад ціскам.

Ператварэнне крухмалу на дэкстрын і глюкозу пад уплывам слабых кісьлін наглядалася ў пярыню Кірхгофам у 1811 годзе. Ёсць таксама ўказаньне, што і бяз кісьлін, а толькі пры кіпячэнні з вадою крухмал можа пераходзіць у дэкстрын і часткаю ў глюкозу. Што да пытання аб уплыве ціску пры зацукраванні крухмалу, дык яно амаль што зусім нераспрацована. Прынамсі ў тэй літаратуры, якою мы маем магчымасць карыстацца, мы не знайшлі больш-менш дакладнага вывучэння гэтага пытання. Вядома толькі, што ў тэхніцы пры зацукраванні крухмалу, каб прыспяшыць рэакцыю, ужываюць ціск у 2-3 атмасфэры. Пэўна, што ў даным выпадку, пры зацукраванні крухмалу кісьлінаю, ціск прыспяшае рэакцыю, але ў якой меры—зусім яшчэ ня высветлена.

Вядома, што ціск і пры іншых каталітычных рэакцыях, напр., пры сынтэзе аманіяку, адыгрывае значную ролю. А таму нам здавалася вельмі цікавым высветліць ролю ціску пры гідролізе крухмалу бяз удзелу кісьліны. З гэтаю мэтай мы вивучалі зацукраванне крухмалу дэстыляванаю вадою, у аўтаклаве пры розных цісках—з аднаго боку, з другога—вивучалі ўплыў часу на ступень гідролізу крухмалу пры адным і тым самым ціску, іменна, пры 20 атм.

Для досьледаў браўся растварымы крухмал у колькасці аднаго граму. Крухмал усыпаўся ў шкляную коўбу, куды ўлівалася 200 куб. сант. дэстыляванай вады. Коўба затыкалася коркам і змяшчалася ў аўтаклаве. Зацукраванне крухмалу рабілася пры розных цісках, але ў першай сэрыі досьледаў на працягу аднаго і таго-ж часу, іменна, 30 хвілін.

Колькасць крухмалу знаходзілася вагавым спосабам: аднаўленьнем у шчолачным раствору медзянага купарвасу да закісі медзі і далей аднаўленьнем апошняй у струмені вадароду да мэталічнай медзі ў трубеці Аліна. Па колькасці аднаўлёнай медзі ў табліцы Аліна знаходзілася адпаведная колькасць цукру. З прычыны таго, што жывка Фэлінга, якую ўжываюць для вызначэння цукру, рэдуцыруецца і іншымі матэрыямі, напр., дэкстрынам, адначасна рабілася азначэнне і іншым растворам—растворам Soldaini, які, паводле думкі ўказанага аўтара, рэдуцыруецца толькі глюкозаю. Раствор Soldaini быў зроблен спосабам Dr. Preuss'a. Вынікі досьледаў першай сэрыі падведзены ў наступнай табліцы:

Табл. № 1.

Ціск у атмасфэрах	Колер раствору	Колькасны $\frac{1}{10}$ цукру	
		Фэлінгавая жывка	Раствор soldaini
1	Празрысты, бяз колеру	0	0
5	Таксама	0	0
10	Таксама	8	7
15	Празрысты, жоўты	24	12
20	Буры, амаль празрысты	70	45
30-35	Цёмны, мутны	34	17

Другая сэр'я досьледаў паказвае меру зацукраваньня крухмалу ў залежнасьці ад часу награваньня пры адным і тым-жа ціску, іменна, пры 20 атм. Данія, з гэтай сэр'і зьмешчаны ў табліцы № 2.

Табл. № 2.

Час награваньня	Колер раствору пасья награваньня	Колькасны % цукру	
		Фэлінгавая жыжка	Раствор soldaini
5 хвілін	Празрысты, слаба-жоўты	30	21
30 „	Амаль што празрысты, буры	70	45
60 „	Непразрысты, цёмна-буры	64	29
120 „	Таксама	53,5	20
240 „	Таксама	51	20

Працэс гідролізу крухмалу для абедзвюх сэр'ій наглядна паказан на дыяграмах першай і другой. Як відаць з дыяграмы першай (пунктыр), колькасны % цукру паволі расьце паміж 5 і 10 атмасф. ціску, яшчэ больш паволі паміж 10 і 15, а потым наглядаецца яўнае падвышэньне, пасья чаго, паміж 20 і 30 атм. ціску колькасны % цукру хутка спадае. Значыцца, пры зацукраваньні крухмалу дэстыляванаю вадою найбольшы колькасны % цукру можна здабыць пры 20 атм. ціску. Другая дыяграма дае залежнасьць хуткасьці гідролізу крухмалу ад часу пры сталым ціску ў 20 атм. як паказвае гэтая дыяграма, максімальная колькасьць глюкозы выходзіць праз 30 хвілін; пасья гэтага колькасьць глюкозы пачынае змяншацца і праз 4 гадзіны дасягае мінімальнай велічыні.

Зьмяншэньне колькасьці глюкозы пры цісках звыш 20 атм. і пры цісках у 20 атм. на працягу часу, больш як 30 хвілін, тлумачыцца далейшаю зьменаю глюкозы ад высокай тэмпэратуры.

Было-б вельмі цікава паўтарыць гэтыя досьледы ў поўфабрычным маштабе, прычым высветліць сумесны ўплыў абодвух фактараў, г. з., ціску і кісьліны.

Можна прадбачыць, што пры 20 атм. ціску трэба было-б мінімальнае колькасьць кісьліны дзеля таго, каб на працягу кароткага прамежку часу атрымаць найбольшы эфэкт.

Паўна, што рацыянальнае вырашэньне гэтага пытаньня з тэхнічнага боку вымагае найбольш спрыяючай камбінацыі, як у сэнсе тэхнічнага здзяйсненьня, таксама і ў сэнсе найменшай затраты сродкаў, іменна: найменшага ціску, найменшай траты кісьліны пры максімальных выходах прадукту на працягу мінімальнага прамежку часу.

І. Красікаў і С. Каржанеўскі.

Оптымум тэмпэратуры і вакууму ў працэсе раскладаньня дрэўнага парашку серкаваю кісьляю.

Працэс раскладаньня воцатавакальцыявай солі серкаваю кісьляю выяўляецца наступным хэмічным раўнаньнем: $\text{Ca}(\text{CH}_3\text{COO})_2 + \text{H}_2\text{SO}_4 = \text{CaSO}_4 + 2\text{CH}_3\text{COOH}$. Рэакцыя, здаецца, самая простая і на першы погляд працэс, які адбываецца ў апарате Ліндэ пры раскладаньні дрэўнага парашку, павінен быў бы ісьці бяз ніякіх перашкод. Але, як вядома, для атрымання воцатавай кіслі ў заводзкай практыцы ўжываецца ня чысты $\text{Ca}(\text{CH}_3\text{COO})_2$, а мешанка яго з рознымі смолападобнымі арганічнымі матэрыямі, што асабліва мае месца ў нас у СССР, дзе найбольш карыстаюцца чорным дрэўным парашком з нязначнаю колькасьцю $\text{Ca}(\text{CH}_3\text{COO})_2$, ад 50 да 60%. Тлумачыцца гэта тэю акалічнасьцю, што шмат якія заводы атрымліваюць парашок ад саматужнікаў, якія ў большасьці выпадкаў насычаюць вапнаю неперагнаную падсмольную ваду, у выніку чаго выходзіць прадукт з малою колькасьцю $\text{Ca}(\text{CH}_3\text{COO})_2$ і значнаю колькасьцю смаловых дамешак. Дамешка смолападобных матэрыяў у высокай меры ўскладняе працэс раскладаньня парашку серкаваю кісьляю.

Апроч мэханічнай чыннасьці (труднасьць выганкі рэшты CH_3COOH у канцы працэсу з прычыны абвалакваньня смаловаю матэрыяй кавалачкаў $\text{Ca}(\text{CH}_3\text{COO})_2$. Смаловая матэрыя робіць чыннасьць на аднаўленьне H_2SO_4 , выдзяляючы з яе воду і SO_2 , разжыжаючы і забруджваючы (SO_2) канчаткавы прадукт вырабу CH_3COOH .

У сваім творы „Technologie der Holzverkohlung“ М. Кляр і паказвае (2 выд. 1910 г. стар. 255), што працэс раскладаньня дрэўнага парашку ня так просты, як гэта здаецца адразу.

Праглядаючы бедную, галоўным чынам нямецкую літаратуру па гэтаму пытаньню, можна знайсці некаторыя ўказаньні практычнага характару, галоўным чынам у Кляра ў выжэйпаказаным творы. Наогул ўсе гэтыя ўказаньні накіроўваюцца к наступнаму: працэс трэба весці па магчымасьці пры абсалютнай паветранай пуштае, пры магчыма нізкай тэмпэратуры і г. д. Усе гэтыя ўказаньні маюць агульны характар.

У сучасны момант пытаньне аб радыяналізацыі нашай прамысловасьці, а таксама і хэмічнай набывае ўсё больш і больш важнае значэньне. Апошняя акалічнасьць і была прычынаю да таго, каб зрабіць гэтае невялічкае экспэрымэнтальнае абсьледваньне для высвятленьня аптымальных умоў раскладаньня дрэўнага парашку серкаваю кісьляю.

Пачатковым матэрыялам для працы быў дрэўны парашок двух сартоў: 1) для папярэдніх досьледаў парашок чорны з 42% колькасьці $\text{Ca}(\text{CH}_3\text{COO})_2$ і 4,35% вады і 2) для далейшых досьледаў сэрны парашок з 55,77% $\text{Ca}(\text{CH}_3\text{COO})_2$ і 5,52% вады.

Досьледы рабіліся ў шкляной рэторце (замест апарату Ліндэ), куда загрузалася ўва ўсіх выпадках 50 гр. парашку і розная колькасьць серкавай кіслі, у першай сэры досьледаў ад 30 да 35 гр. (66° Бомэ), і ў другой сэры ўва ўсіх выпадках 20 гр. (на 3 гр. больш тэарэтычнай

колькасьці). Праз тубулюс рэторты праходзіла шкляная мяшалка для разьмешваньня масы ў час досьледу. Рэторта награвалася ў гліцарынавай награвальні і злучалася праз ахаладальнік з прыёмнікам, а апошні праз дзьве шклянкі Цішчанка (з растворам NaOH для паглыненьня кіслай пары) з паветраюю помпаю і маномэтрам.

Ува ўсіх выпадках II сэрыі досьледаў, за выключэньнем аднаго, награваньне пачыналася без вакууму пры $t = 120^\circ$ і цягнулася 1 гадзіну, потым прыёмнік злучаўся з помпаю і дэстыляцыя цягнулася пры належным вакууме і тэмпературы $1/2$ гадзіны.

У здабытым дэстыляце (вага якога таксама азначалася), знаходзілася колькасьць 100% CH_3COOH і SO_2 цытраваньнем NaOH і растворам іоду. Кожны досьлед паўтараўся некалькі разоў, покуль не дабіваліся аднамасных вынікаў, і з іх браліся сярэднія лічбы. У ніжэйпададзенай табліцы паказаны, як умовы досьледаў (вакуум і тэмпература), таксама і сярэднія вынікі ўсіх досьледаў.

I сэрыя досьледаў (папярэдняя).

t°	Вакуум у прыёмніку	Час награваньня	Усяго дэстыляту ў гр.	У ім воднага і сернавага кіслы	Колькасьць SO_2 у гр.	Колькасьць частай 100% CH_3COOH у гр.	Адукасьць кіслы (дэстыляту) у $\%$	Колькасьць SO_2 у $\%$ адносна CH_3COOH (100%)	Тэмпература выхад 100% CH_3COOH у гр.	Сярэдняя вагаход у $\%$ ад тэарэтычна
160-170	Без вак.	1 гадз.	5,82	4,21	0,41	3,8	65,29	10,78	16,07	23,64
160-170°	560m/m.	"	7,02	4,58	0,228	4,352	61,96	5,2	"	27,06
160-170	410	"	9,02	5,8	0,39	5,41	59,97	7,02	"	33,66
160-170°	200	"	9,02	5,35	0,24	5,11	56,65	4,69	"	31,79
160°	80	"	11,5	6,1	0,199	5,9	51,39	3,3	"	36,77
120°-140°	80	"	4,8	3,72	0,13	3,59	74,79	3,6	"	22,33
140°	180	"	8,2	5,43	0,17	5,26	64,14	3,2	"	32,73

II сэрыя досьледаў.

120°	Без вак.	1 гадз.								
160°	160m/m	$1/2$ "	20,35	15,13	0,322	14,71	72,28	2,18	21,1	69,71
120°	Без вак.	1 "								
180°	160	$1/2$ "	22,3	16,1	0,35	15,75	70,62	2,22	"	74,64
120°		1 "								
160°	160m/m	$1/2$ "	20,0	14,92	0,478	14,44	72,2	3,31	"	68,43
120°	Без вак.	1 "								
140°	80m/m	$1/2$ "	16,5	12,42	0,274	12,15	73,63	2,25	"	57,58
120°	Без вак.	1 "								
140°	40m/m	$1/2$ "	17,8	11,77	0,274	11,5	64,6	2,38	"	54,5
120°	Без вак.	1 "								
180°	80	$1/2$ "	20,0	14,14	0,342	13,8	69,0	2,47	"	65,4
1°	Без вак.	1 "								
200°	40m/m	$1/2$ "	17,7	11,49	0,288	11,2	63,2	2,61	"	53,0

На падставе дасьледчага матар'ялу можна зрабіць наступныя вывады.

Пры раскладаньні 42^{0/0} парашку:

1) ува ўсіх выпадках бываюць нізкія выходы кісьлі, значныя колькасці SO_2 , і кісьля выходзіць нізкапроцэнтавая;

2) зьніжаючы тэмпэратуру да 140° і павялічваючы вакуум удаецца павялічыць канцэтрацыю кісьлі, значна зьменшыць колькасць SO_2 , але выходы кісьлі застаюцца малымі.

Пры раскладаньні 55^{0/0} парашку:

1) макімум выхаду параўнальна высокапроцэнтавай кісьлі (70^{0/0}) бывае пры пачатковай тэмпэратуры у 120°, канчатковай у 180°, прычым $\frac{2}{3}$ усяго часу дэстыляцыі апошняя робіцца без вакууму, і толькі ў канцы ўстанаўляецца вакуум у 160 мм. Пры гэтых-жа ўмовах бывае і мінімум SO_2 ;

2) вядзеньне працэсу без вакууму з самага пачатку працэсу ня мае сэнсу, бо хоць і дасягаецца нязначнае павялічэньне дужасьці кісьлі, але за тое зьмяншаецца выхад кісьлі і павялічваецца колькасць SO_2 ;

3) павялічэньне вакууму да 40 мм дае адмоўныя вынікі, зьмяншаючы выходы кісьлі і павялічваючы колькасць SO_2 ;

4) павялічэньне t° да 200° пры вакууме ў 40 мм павялічваецца колькасць SO_2 і зьніжае як выхад, так і дужасьць кісьлі, якая здабываецца.

5) нізкія t° —120°-140° і высокія вакуумы—80 мм і 40 мм не даюць дадатных вынікаў,—наглядаюцца нізкія выходы кісьлі і павялічэньне колькасці SO_2 .

К. М. Короткаў.